



PROVINCIA DI PESARO E URBINO

PROVINCIA DI PESARO E URBINO

AREA 3 Mobilità - Infrastrutture - Edilizia - Patrimonio - Protezione Civile
Servizio 3.3 - Edilizia Pubblica - Manutenzione - Patrimonio

COMPLESSO IMMOBILIARE "EX CARCERE MINORILE" GIA' CONVENTO DI S. MARIA DEGLI ANGELI DI PESARO

LAVORI DI RESTAURO PER L'UTILIZZO COME SEDE
DEL CENTRO PROVINCIALE PER L'IMPIEGO
E LA FORMAZIONE PROFESSIONALE DI PESARO
SITO IN VIA LUCA DELLA ROBBIA N.4 - PESARO

Conforme al parere della Soprintendenza per i Beni Architettonici delle Marche prot. n. 12952 del 25/09/2006

PROGETTO ESECUTIVO

RELAZIONE ILLUSTRATIVA STRUTTURALE
RELAZIONE SUI MATERIALI, RELAZIONE SULLE FONDAZIONI E GEOTECNICA
RELAZIONE DI CALCOLO DELLE STRUTTURE

Il Responsabile del procedimento : Dott. Arch. Daniele GALLERINI	N. Elab. 3.04
PROGETTAZIONE ARCHITETTONICA : Dott. Arch. Giuseppe ROMBINI Dott. Ing. Luigi MASSARINI	PROGETTISTI ESTERNI : Dott. Ing. Luigi FARINA
COLLABORATORI : Geom. Daniele BREGAMOTTI Geom. Marco TEBALDI Marco FERRETTI	COLLABORATORI ESTERNI : Dott. Ing. Stefano GRAMOLINI Per. Ind. Pierfranco TONELLI Dott. Ing. Andrea PACCAPELO
Visti e approvazioni	Data Agosto 2007 Revisione 0 Scala

Visti e approvazioni

1. INDICE

1. INDICE	1
2. RELAZIONE DI CALCOLO DELLE STRUTTURE.....	2
3. RELAZIONE SUI MATERIALI.....	6
4. RELAZIONE SULLE OPERE DI FONDAZIONE E GEOTECNICA.....	12
5. RELAZIONE DI CALCOLO DEGLI ELEMENTI STRUTTURALI	13
SOLAIO INTERMEDIO MISTO ACCIAIO - CALCESTRUZZO	14
TRAVI TIPO 1 - L=4,60 m.....	14
TRAVI TIPO 2 - L=6,74 m.....	16
SOLAIO DI COPERTURA IN LEGNO USO FIUME	19
ZONE A3 - B4 - B5 - C1 - C2	19
ZONE B6 – B7.....	24
VERIFICA DISPLUVIO E ROMPITRATTA ZONE C1 – C2.....	28
VERIFICA COMPLUVI ZONA B5.....	32
VERIFICA DISPLUVIO ZONA B3.....	36
CAPRIATE ZONE A1 – A2.....	38
CAPRIATE ZONA B1	49
BALLATOIO.....	61
NUCLEI ASCENSORI.....	100
CONSOLIDAMENTO VOLTE IN MURATURA CON FIBRE DI CARBONIO	102
SCALE.....	102

2. RELAZIONE DI CALCOLO DELLE STRUTTURE

- Oggetto della presente relazione:

COMPLESSO IMMOBILIARE “EX CARCERE MINORILE” GIA’ CONVENTO DI S. MARIA DEGLI ANGELI DI PESARO - LAVORI DI RESTAURO PER L’UTILIZZO COME SEDE DEL CENTRO PROVINCIALE PER L’IMPIEGO E LA FORMAZIONE PROFESSIONALE DI PESARO SITO IN VIA LUCA DELLA ROBBIA N. 4 – PESARO

L’edificio è del tipo in muratura portante di mattoni pieni in laterizio (a maschi murari), avente spessore variabile da 100 a 40 cm, è composto da piano terra ed un piano primo per un’altezza in gronda pari a 9,50 m circa; la forma è del tipo rettangolare con un chiostro al centro. Le condizioni generali di conservazione del fabbricato, per quanto possibile osservare da un’analisi visiva, sono buone sia per quanto riguarda le strutture in elevazione che per quelle in fondazione, infatti ne è testimonianza l’assenza di cedimenti o lesioni, ad eccezione di zone ammalorate dovute a fenomeni locali (quali umidità ecc.); per quanto riguarda invece i solai, sia di copertura che intermedi, non risultano adeguati alle nuove destinazioni d’uso.

Le opere di miglioramento in oggetto sono localizzate nei solai di copertura ed intermedi, sono previsti inoltre interventi sulle volte, sui vani scala, sugli architravi e su porzioni di pareti esistenti; lo scopo è quello di realizzare solai adeguati alle normative vigenti ed alla nuova destinazione d’uso, sia per quanto riguarda i carichi e sovraccarichi che per il soddisfacimento dell’ipotesi di solaio infinitamente rigido, e di garantire un maggior grado di sicurezza in tutte quelle porzioni di fabbricato ove sono previsti interventi puntuali.

Gli interventi descritti sopra in maniera sommaria soddisfano i requisiti del **D.M. 16 gennaio 1996** al **Punto C.9.0.**

“Interventi sugli edifici esistenti” e consistono in:

- **Sostituzione dei solai lignei di copertura esistenti con altrettanti della stessa tipologia**, previa realizzazione di cordoli di coronamento in tralicci di acciaio (profili metallici tipo piatti), ancorati alla sottostante muratura mediante perforazioni armate intasate con resine epossidiche. Il cordolo, attualmente assente, sarà annegato all’interno di una soletta minimale in cemento a protezione della struttura stessa, la casseforme sarà realizzata mediante la posa di mattoni pieni della stessa tipologia della muratura. La funzione del cordolo sarà quella di ripartire le forze trasmesse dagli elementi strutturali lignei di copertura alla muratura sottostante e di realizzare inoltre un effetto cerchiante in sommità, così da evitare le eventuali spinte orizzontali. Come operazione preliminare si prevede la ricostituzione della sommità del muro con mattoni in laterizio, di recupero ove possibile e se ritenuti idonei, con interventi di cuci-scuci. Come accennato precedentemente si prevede il rifacimento di tutti i solai lignei di copertura riproponendo le stesse caratteristiche tecnico-formali di quelli esistenti. Nei locali A1, A2, B1 si ripropone la Tipologia 1 consistente in una copertura a doppia falda formata da capriate, arcarecci e travicelli; nei locali A3, B2, B3, B5, B8, C1, C2 si ripropone la Tipologia 2 consistente in copertura a falda semplice con orditura formata da falsi puntoni, arcarecci e travicelli; nei locali B4, B6, B7 si ripropone la Tipologia 3 consistente in copertura a doppia falda con orditura formata da travi orizzontali e travicelli. Le travi sono costituite da legno massello di abete uso fiume. Il manto di copertura verrà inoltre

realizzato con pianelle di recupero ove possibile, uno strato di malta pozzolanica, uno strato di materiale isolante ed impermeabilizzante, ed infine coppi e sottocoppi di recupero ove possibile. In questo modo si è evitato di aumentare le masse all'ultimo piano, inoltre utilizzando lo stesso schema strutturale esistente non si è modificato il comportamento strutturale dell'edificio, anzi si è migliorata la risposta sismica dello stesso con la realizzazione del cordolo in sommità. Tale intervento è ritenuto necessario, in quanto dall'analisi dei risultati effettuati dalla "LegnoDoc", e da verifiche statiche del progettista, è risultato che le strutture stesse risultano in cattivo stato di conservazione e sottodimensionate (presenza di elementi inflessi, e collegamenti non più efficaci). **Punto C.9.8.5. "Coperture" del D.M. succitato**

- **Sostituzione dei solai esistenti intermedi, in parte in latero cemento ed in parte lignei, con altrettanti del tipo misto acciaio-calcestruzzo con connettori.** Tale intervento si è reso necessario in quanto dai sondaggi effettuati è emerso che i solai esistenti sono di recente realizzazione, del tipo in latero-cemento e tipologicamente eterogenei, infatti alcuni sono gettati in opera, altri con travetti prefabbricati, vi è perfino una zona con due tipi di solai differenti sovrapposti; vi è inoltre una porzione di solaio con travi in legno e tavolato, rinforzato con una putrella all'intradosso anch'essa di recente realizzazione. Visto il grado di incertezza sulla reale consistenza degli stessi (armatura effettivamente presente nei travetti prefabbricati, presenza o meno di cordoli perimetrali, luce eccessiva dei solai stessi), ed alla luce della nuova destinazione ad uffici, che comporta un carico accidentale di 300 Kg/mq, si è deciso di sostituirli integralmente. I nuovi solai intermedi saranno quindi realizzati con strutture metalliche aventi le seguenti caratteristiche: putrelle a C ancorate alla muratura con perni in acciaio (barre ancorate con resine) disposte perimetralmente ai muri portanti avenire funzione di cordolo perimetrale con effetto di cerchiatura e di irrigidimento; sull'ala superiore del profilato a C si prevede l'ancoraggio mediante bullonatura di travi portanti del tipo HEA, il riempimento sarà previsto con materiale leggero ed isolante, sopra le putrelle verranno ancorati dei connettori e successivamente posata una soletta in cemento con rete elettrosaldata, realizzando così un solaio collaborante a struttura mista acciaio-calcestruzzo, al fine di conferire rigidezza al solaio nel rispetto della normativa vigente e dei carichi previsti; la soletta sarà ancorata alla muratura mediante barre orizzontali posizionate ad interasse di 80 cm ca.. La scelta di tale tipologia di solaio è stata dettata da due esigenze principali: la prima di realizzare una struttura leggera ed allo stesso tempo rigida in accordo alla normativa sismica vigente, la seconda da richieste della Soprintendenza ai Beni Architettonici essendo l'edificio vincolato, di realizzare una struttura meno invasiva possibile compatibile con la struttura esistente (acciaio-muratura). **Punto C.9.8.2. "Solai" del D.M. succitato**
- **Demolizione di scale esistenti e realizzazione di nuovi vani scala ed ascensori in struttura metallica,** secondo quanto prescritto dalla normativa vigente. **Punto C.9.8.3. "Scale" del D.M. succitato**
- **Realizzazione di nuovi architravi in acciaio sopra le aperture nei muri portanti.**
- **Consolidamento delle murature esistenti mediante interventi di cuci-scuci, chiusura di aperture e rifacimento di porzioni di muratura demolita negli anni,** così da ripristinare l'integrità delle murature stesse. **Punto C.9.8.1. "Pareti murarie" del D.M. succitato**
- **Consolidamento delle volte in muratura esistenti mediante applicazione a fresco di tessuto di armatura unidirezionale in fibra di carbonio ammorsato alle pareti perimetrali.** Le volte esistenti verranno consolidate previa stuccatura accurata di eventuali lesioni o microlesioni, applicazione sulla superficie trattata

di resina sintetica consolidante bicomponente, successiva stesura a spatola di adesivo epossidico tixotropico a due componenti, applicazione a fresco di tessuto di armatura unidirezionale in fibra di carbonio e successiva impregnazione a fresco dello stesso con resina epossidica bicomponente fluida priva di solventi ed a bassa viscosità; le fibre verranno risvoltate sulle murature perimetrali ed ancorate con barre anch'esse in fibra di carbonio. Come materiale di riempimento è previsto uno strato di malta alleggerita, compatibile con la struttura originaria, sopra verrà posato un materiale avente funzionamento di isolamento acustico ed un massetto in cemento armato con rete elettrosaldata, per la ripartizione dei carichi e posa della pavimentazione, ancorata alla muratura con barre in acciaio; all'interno di tale massetto verrà realizzato l'impianto di riscaldamento e raffrescamento del tipo a pavimento. **Punto C.9.8.4. "Archi e volte" del D.M. succitato.**

- **Sostituzione delle catene esistenti e realizzazione di nuove catene nelle strutture spingenti quali volte ed archi**, così da eliminare la spinta orizzontale degli stessi nei muri perimetrali. **Punto C.9.8.4. "Archi e volte" del D.M. succitato.**
- **Recupero e consolidamento delle volte in camorcanna in copertura**, mediante rafforzamenti delle centine portanti con doppie tavole sagomate dello spessore di cm. 2,5, fissata con chiodi o viti mordenti e tambocciatura con murale da cm. 4x8 o 8x8 in sostituzione di quelli rotti o mancanti, due mani di prodotti antitarlo su tutta la struttura lignea, uno strato di gesso in quelle parti necessarie dell'estradosso del soffitto, compresa la demolizione, il rifacimento di piccole parti di intonaco con stuioie, la sigillatura di crepe e lesioni, la formazione di rinfianchi con murali da 8x8 E' prevista inoltre la tuccatura lesioni o microlesioni all'intradosso della volta da effettuare con idonee malte. L'intervento viene preceduto da una pulizia dell'estradosso, portando a vista l'incannucciato, con eliminazione totale di parti inconsistenti e di qualsiasi materiale, l'eliminazione totale della polvere dall'intera superficie nonché la rimozione di materiale inerte esistente negli estradossi dei soffitti.
- **Realizzazione di cerchiature con putrelle di acciaio**, in tutti quegli interventi ove si prevede di allargare o realizzare nuove aperture.

Tale intervento viene così inquadrato come "**intervento locale**" volto a sostituire singoli elementi strutturali dell'edificio con lo scopo di consentire un maggior grado di sicurezza **senza modificare il comportamento globale**", così come previsto al punto **C.9.1.2. del D.M. 16 gennaio 1996** (Interventi sugli edifici esistenti).

Tale intervento rientra nel "Miglioramento Sismico" in quanto riguarda elementi locali della struttura dell'edificio, aumentando il grado di sicurezza, non aggravando i carichi e senza modificare il comportamento strutturale globale dell'edificio.

Di seguito di espiongo le verifiche preliminari ed i metodi di calcolo utilizzati per la progettazione degli elementi portanti.

RIFERIMENTI NORMATIVI SUGLI INTERVENTI PROPOSTI

Nella redazione degli elaborati progettuali e degli interventi previsti, si è fatto riferimento alle Leggi ed alle Normative Tecniche vigenti di seguito riportate:

- **Legge 05 novembre 1971 n. 1086** "Norma per la disciplina delle opere in conglomerato cementizio, normale e precompresso ed a struttura metallica"

- **D.M. Min. LL.PP. 14 febbraio 1992** “Norme tecniche per l'esecuzione delle opere in cemento armato normale e precompresso e per le strutture metalliche”.
- **D.M. Min. LL.PP. 9 gennaio 1996** “Norme tecniche per il calcolo, l'esecuzione ed il collaudo delle strutture in cemento armato, normale e precompresso, e per le strutture metalliche”.
- **D.M. Min. LL.PP. 14 febbraio 1992** ” Norme tecniche per l'esecuzione delle opere in cemento armato normale e precompresso e per le strutture metalliche”.
- **Legge 02 Febbraio 1974 n. 64** “Provvedimenti per le costruzioni con particolari prescrizioni per le zone sismiche”.
- **D.M. Min. LL.PP. 16 gennaio 1996** “Norme tecniche relative ai criteri generali per la verifica di sicurezza delle costruzioni e dei carichi e sovraccarichi” eccetto che per il carico accidentale da assumersi per le scuole preso dal D.M. Min. PP.II. 18/12/75 “Norme tecniche aggiornate relative all'edilizia scolastica ...”.
- **CNR-UNI 10024**
- **CNR 10016/85** “Travi composte di acciaio e calcestruzzo istruzioni per l'impiego nelle costruzioni” del 14 febbraio 1985.
- **CNR 10011/80** “Costruzioni di acciaio. Istruzioni per il calcolo, l'esecuzione e la manutenzione” del 10 marzo 1980.

Alle citate normative seguono le circolari esplicative.

3. RELAZIONE SUI MATERIALI

STRUTTURE IN LEGNO (CAPRIATE, TRAVI E TAVOLATO)

CARATTERISTICHE DEI MATERIALI					
Classe :	2	Specie legnosa :	Abete bianco		
Tensioni nominali	σ_m N/mm ²	$\sigma_{t,0}$ N/mm ²	$\sigma_{t,90}$ N/mm ²	$\sigma_{c,0}$ N/mm ²	$\sigma_{c,90}$ N/mm ²
	10,0	9,0	0,05	9,0	2,0
	τ_v N/mm ²	τ_{tor} N/mm ²	E₀ N/mm ²	E_{90} N/mm ²	G, G_{tor} N/mm ²
	0,80	1,00	10 000	300	500
tipo di elemento: elemento protetto dalle intemperie					
coefficiente di ambiente : $K_w = 1,00$					
coefficiente correttivo : $K_e = 1,00$					
Rapporto di snellezza : $\lambda_b = 1,17$					
coefficiente di instabilità laterale : $K_b = 1,000$					

STRUTTURA IN C.A. (STRUTTURA FONDAZIONE NUCLEO ASCENSORE, SOLETTE PER SOLAI MISTI ACCIAIO-SOLETTE VOLTE)

1. GENERALITÀ'

Le prescrizioni relative alla qualità dei materiali, alle modalità d'esecuzione, ai controlli ed alle prove sui materiali stessi, dovranno essere conformi alla legge n. 1086 del 15.11.1971 "Disciplina per le opere in conglomerato cementizio armato ed a struttura metallica", alle norme tecniche emanate con D.M. 14.02.1992, intitolate "Norme tecniche per l'esecuzione delle opere in cemento armato normale e precompresso e per le strutture metalliche" ed alle norme tecniche emanate con D.M. 9.01.1996, intitolate "Norme tecniche per il calcolo, l'esecuzione ed il collaudo delle strutture in cemento armato, normale e precompresso e per le strutture metalliche".

2. INERTI

Devono provenire da fiume o da cava, e comunque dalla disgregazione naturale o dalla frantumazione di rocce, compatta di natura silicea, quarzosa, granitica, oppure di natura vulcanica.

Sabbia e pietrisco devono essere puliti, esenti da limo e da altre sostanze o materiali eterogenei estranei che per la loro natura possono compromettere le caratteristiche di resistenza e la durata normale del processo fisico-chimico di maturazione del calcestruzzo.

Composizione granulometrica degli inerti.

La composizione granulometrica della miscela degli inerti, espressa in percentuali di peso per i singoli componenti, passanti al setaccio a maglia quadra, dovrà essere comunque idonea alla esecuzione delle singole parti di opera cui il getto del conglomerato è destinato in relazione alla geometria delle carpenterie e all'ingombro delle armature, e tale da assicurare, congiuntamente al prescritto dosaggio di cemento ed al rapporto A/C, il raggiungimento del valore richiesto del R'ck prescritto; normalmente dovrà essere compresa tra i massimi e i minimi indicati nella seguente

tabella.

Miscela inerti

Setaccio maglia quadra percentuale passante
(UNI 2334) lato mm. (in massa)

50	30	15	100
25	15	7,5	60-80
12,5	7,5	4	
4		2,5	1,5

3. CEMENTO

Cemento tipo PORTLAND "425" in confezioni provviste di marchio ICTE -CNR.

4. ACQUA

L'acqua di impasto sarà limpida, priva di sali in percentuali dannose, e non aggressiva, possibilmente si dovrà usare acqua potabile, con pH compreso tra 4,5 e 7,5.

5. CALCESTRUZZO PER OPERE IN C. A.

5.1. Magro di sottofondazione

Dosaggio a min. Kg 150 per mc di impasto con lt 200 di acqua.

5.2. Opere di elevazione

Dosaggio min. Kg 350 di cemento per 1 mc di impasto con lt 180 di acqua, e comunque tale da assicurare un valore caratteristico della resistenza cubica a 28 gg; R'cK non inferiore a 300 Kg/cmq.

6. ACCIAIO DI ARMATURA

In barre ad aderenza migliorata tipo Fe B 44 K controllato in stabilimento.

Le barre non dovranno presentare eccessive corrosioni, ossidazioni o difetti superficiali, ne dovranno essere ricoperte da sostanze che possano ridurre l'aderenza del conglomerato (grassi, oli, terra e fango).

8. RETI DI ACCIAIO ELETTROSALDATE

Le reti elettrosaldate dovranno essere conformi a quanto prescritto dalle normative vigenti di cui al punto 1.

9. COPRIFERRO

La superficie dell' armatura resistente deve distare dalle facce esterne del conglomerato di cm 2 per le solette e travi, 4 cm per fondazioni casserate; mentre per fondazioni ed altri elementi strutturali gettati contro terra la distanza minima prescritta è di cm 5.

N.B.:

le prescrizioni riportate nella presente relazione dovranno essere rispettate scrupolosamente eccetto che per quanto altrimenti indicato sui disegni costruttivi.

STRUTTURA IN ACCIAIO

(IMPALCATI INTERMEDI - VANI SCALA – VANI ASCENSORI – TRAVI - CERCHIATURE)

- Acciaio Fe 360 UNI EN 10025 febbraio 1992

peso per unità di volume $P_g = 78,5 \text{ KN/mc}$ (7850 Kg/mc)

Tensioni ammissibili:

- per spessori $t \leq 40$ mm

condizione di carico I: $\sigma_{amm}^1 = 160$ N/mm² (1600 kg/cm²)

$$\tau_{amm}^1 = 92,37 \text{ N/mm}^2 (923,7 \text{ kg/cm}^2)$$

condizione di carico II: $\sigma_{amm}^2 = 180$ N/mm² (1800 kg/cm²)

$$\tau_{amm}^2 = 103,9 \text{ N/mm}^2 (1039 \text{ kg/cm}^2)$$

Modulo di elasticità normale $E = 206000 \text{ N/mm}^2 (2060000 \text{ Kg/cm}^2)$

Modulo di elasticità tangenziale $G = 78400 \text{ N/mm}^2 (784000 \text{ Kg/cm}^2)$

- **Saldature** a cordone d'angolo.

Precisazioni sul calcolo dei solai misti acciaio-calcestruzzo

Nella verifica è stata l'analisi elastica, che si basa sull'ipotesi di linearità delle relazioni tensione-deformazione dei materiali, indipendentemente dal livello di tensione.

Per il calcolo delle caratteristiche geometriche si può fare riferimento ad una sezione interamente reagente di acciaio, ottenuta omogeneizzando l'area di calcestruzzo compresso, attraverso il rapporto tra i moduli di elasticità dei due materiali.

$$n = E_a/E_m$$

Il programma tiene conto degli effetti della viscosità del calcestruzzo calcolando E_m nelle varie fasi con il metodo di Fritz

Con tale metodo gli effetti della viscosità sono valutati mediante un'analisi pseudo-elastica eseguita con un modulo elastico corretto.

$$E^*m = E_m / (1+j)$$

e quindi con un rapporto modulare corretto:

$$n = n^*(1+j)$$

Questo tipo di analisi deve essere eseguito per tutte le azioni di lunga durata che inducono uno stato di tensione permanente sulla struttura in calcestruzzo; in particolare per:

- carichi permanenti
- distorsioni imposte
- ritiro
- precompressione

Il programma tiene conto degli effetti primari del ritiro, trascurando sia l'effetto indotto dai vincoli esterni della trave che lo stato tensionale che nasce nella sezione - tensione di trazione sulla soletta, tensione di compressione sulla parte superiore della trave di acciaio e tensione di trazione sulla parte inferiore della stessa - per il fatto che la trave di acciaio impedisce parzialmente il ritiro della soletta.

Tali effetti interessano inoltre il sistema di connessione nei tratti terminali della trave.

Per la valutazione dello stato tensionale e deformativo prodotti dal ritiro è sufficiente effettuare un'analisi a $t=t_{inf}$,

considerando sulla soletta la deformazione finale ecs, per la quale l'EC4 suggerisce i seguenti valori:

- 325×10^{-6} per ambiente secco interno o esterno all'edificio
- 200×10^{-6} in altri ambienti e in elementi riempiti di calcestruzzo.

Per tenere conto dell'effetto concomitante della viscosità sarà sufficiente utilizzare il modulo elastico E^* cm

▪ **Calcolo momento elastico di progetto**

Il calcolo del momento elastico si effettua mediante un'analisi lineare della sezione sotto le ipotesi di:

- conservazione delle sezioni piane;
- perfetta aderenza tra la trave di acciaio e la soletta in calcestruzzo;
- comportamento lineare dei materiali costituenti le strutture;
- calcestruzzo non resistente a trazione.

Con queste ipotesi il calcolo delle tensioni può essere condotto facendo riferimento ad una sezione interamente reagente d'acciaio in cui l'area del calcestruzzo compresso è "omogeneizzata", cioè ridotta ad un'area equivalente d'acciaio, dividendola per il rapporto "n" tra i moduli di elasticità dei due materiali.

Ciò conduce ad una discontinuità nel diagramma delle tensioni normali in corrispondenza della fibra di contatto tra acciaio e calcestruzzo, in quanto a parità di deformazione si hanno due moduli elastici differenti.

Questo metodo può essere utilizzato sia per i carichi di breve durata che per quelli di lunga durata.

Si esegue dapprima il calcolo delle tensioni poi il calcolo del momento elastico di progetto.

▪ **Calcolo delle tensioni per azioni di breve durata**

Si fa riferimento al caso di flessione semplice, essendo immediata l'estensione al caso di sola forza assiale o di pressoflessione, analogamente alla teoria statica del c.a. e al caso di calcestruzzo tutto compresso.

Indicati con:

- A_a, G_a, J_a l'area il baricentro ed il momento d'inerzia rispetto all'asse baricentrico x_a della sezione trasversale di acciaio;
- A_c, G_c, J_c gli stessi enti relativi alla sezione in calcestruzzo;
- A_s l'area di eventuale armatura longitudinale della sezione in calcestruzzo;

l'area della sezione composta omogeneizzata:

$$A = A_a + A_c/n + A_s$$

Con questa area e detto G il baricentro di tale sezione, si calcola la sua distanza dal lembo superiore, e il momento d'inerzia della sezione omogeneizzata.

Con questi valori si definiscono i quattro moduli di resistenza W_{cs}, W_{ci} , valutati in corrispondenza dei lembi superiore e inferiore della soletta di calcestruzzo, e W_{as}, W_{ai} valutati in corrispondenza dei lembi superiore e inferiore della trave di acciaio.

In caso di asse neutro all'interno della soletta la posizione dell'asse neutro e le tensioni si calcolano trascurando il contributo offerto dal calcestruzzo tesio.

Quando il momento flettente è negativo il calcestruzzo è totalmente in zona tesa e la sezione è composta dalla trave di acciaio e le armature in soletta.

Il programma non considera questa casistica giacché ipotizza travi in semplice appoggio.

▪ **Calcolo delle tensioni per azioni di lunga durata**

Nel caso delle azioni di lunga durata - quali i carichi permanenti, le distorsioni, i sedimenti vincolari, il ritiro etc. -

bisognerà tenere conto della viscosità del calcestruzzo che produce una ridistribuzione delle tensioni all'interno della sezione mista, con riduzione dei livelli tensionali sulla soletta e aumento di quelli relativi alla trave di acciaio.

Il calcolo delle tensioni è condotto con le espressioni precedentemente determinate utilizzando il rapporto corretto n^* .

▪ **Larghezza efficace delle ali di calcestruzzo**

L' EC4 suggerisce un unico valore della larghezza efficace da utilizzare, sia nell'analisi globale che nella verifica della sezione.

La larghezza efficace complessiva $beff$. dell'ala di calcestruzzo associata ad ogni anima di acciaio è assunta pari alla somma delle larghezze efficaci delle due porzioni ai due lati dell'anima.

$be=lo/8$

e comunque non maggiore della metà dell'interasse delle travi. Al bordo libero la larghezza efficace può essere assunta pari all'intero sbalzo.

La lunghezza lo è la distanza approssimata tra i punti di momento nullo; e nel caso della trave in semplice appoggio coincide con la luce della trave.

E' da notare che la determinazione della larghezza efficace con questo metodo è applicabile alle travi di edifici. Per strutture più impegnative bisogna fare uno studio più accurato.

▪ **Calcolo della resistenza dei connettori Pd**

Le caratteristiche meccaniche della connessione sono desumibili dalle CNR 10016-85

Crisi acciaio:

$$Pd=0.7*(fu/gv)*(p*d^2)/4$$

Crisi calcestruzzo:

$$Pd=32*1.1*(fck/gv')*d*h'$$

La capacità portante del connettore Tecnaria e l'efficacia del collegamento chiodato alla trave di acciaio sono stati provati sperimentalmente seguendo le procedure delle Istruzioni CNR 10016, appendice A.

▪ **Calcolo della connessione**

La connessione tra la trave di acciaio e la soletta in calcestruzzo, dal punto di vista della resistenza può essere di due tipi:

-connessione a taglio completa

-connessione a taglio parziale

La differenza tra i due tipi è che nel primo caso l'aumento del numero di connettori non porta ad un aumento della resistenza a flessione della sezione.

Il programma indica l'interasse massimo a cui andranno posti i connettori, qualora si decida di porli a distanza costante o l'interasse massimo a cui andranno posti i connettori nel modo ottimale, ovvero più ravvicinati nei quarti verso gli appoggi e più diradati nella metà centrale; a tal proposito quindi la trave andrà suddivisa in 3 porzioni: [1/4 + 1/4 appoggi] e [2/4 metà centrale]

▪ **Calcolo della deformazione**

Il calcolo della deformazione viene eseguito con la teoria elastica e si divide in fase prima e fase seconda.

In fase prima si considerano tutti i carichi agenti sulla trave e il momento d'inerzia della trave composta, considerando per il calcestruzzo il modulo di rigidezza a $t= to$.

In fase seconda la deformazione è dovuta alla somma di due contributi, uno dovuto alle azioni permanenti e l'altro dovuto alle azioni accidentali. La freccia dovuta alle azioni permanenti viene calcolata con il momento di inerzia della trave composta, considerando per il calcestruzzo il modulo di rigidezza al $t=t_{inf}$. La freccia dovuta alle azioni accidentali viene calcolata con il momento d'inerzia della trave composta, considerando per il calcestruzzo il.

4. RELAZIONE SULLE OPERE DI FONDAZIONE E GEOTECNICA

Da indagini dirette in situ effettuate su scavi, da indagini geologiche realizzate su terreni adiacenti all'interno di fabbricati aventi le stesse caratteristiche (edifici in muratura pluripiano), risulta che le caratteristiche geomeccaniche dei terreni superficiali sono medio-basse, infatti lo strato di terreno superficiale è costituito da terreni rimaneggiati, ciò nonostante l'edificio risulta integro nelle strutture, essendo privo di lesioni, i muri presentano un buon ammorsamento agli angoli, e gli spessori sono adeguati alla struttura stessa ($S_{medio} > 50$ cm sia al piano terra che al piano primo, al piano terra la maggior parte dei muri ha uno spessore di 70 cm). Ciò fa presupporre che le fondazioni poggino su preesistenze più antiche o che l'edificazione del manufatto sia avvenuta in tempi piuttosto lenti, dando la possibilità al terreno di assestarsi; occorre inoltre sottolineare che il fabbricato è costituito da un piano terra, un piano primo ed un piano copertura (quest'ultimo in legno), quindi i carichi sono di modesta entità.

Dalle considerazioni sopra esposte, l'intervento di “**restauro**”, consistente nella sostituzione dei vecchi solai lignei in copertura con altrettanti aventi le stesse caratteristiche tipologiche e la realizzazione di un cordolo-tirante in traliccio di acciaio in sommità, nella sostituzione dei solai di interpiano in latero-cemento con altrettanti del tipo misti acciaio-calcestruzzo più leggeri, del consolidamento delle volte in muratura con fibre di carbonio, e della realizzazione di nuove scale in acciaio, risulta adeguato alla conformazione strutturale dell'edificio, inoltre non si ritiene necessario alcun intervento di consolidamento delle fondazioni vista la mancanza di cedimenti e lesioni, evitando anche di andare a turbare un equilibrio esistente aumentando eventualmente il carico sulla fondazione.

Quindi **gli interventi** stessi identificati dal **D.M. 16 Gennaio 1996** ai punti **C.9.8.2. “Solai”** e **C.9.8.2. “Scale”** come “**miglioramento sismico**” non comporterà alcun aggravio di carico ma un adeguato irrigidimento dei solai stessi mediante interventi non invasivi.

5. RELAZIONE DI CALCOLO DEGLI ELEMENTI STRUTTURALI

SOLAIO INTERMEDIO MISTO ACCIAIO - CALCESTRUZZO

TRAVI TIPO 1 - L=4,60 m

I solai sono realizzati con un'orditura principale costituita da putrelle HEA 140 con interasse $i=70$ cm, il sottofondo e una pavimentazione.

ANALISI DEI CARICHI

Peso Travi HEA 140	P	=	24,7	Kg/m
Interasse Travi HEA 140	i	=	70	cm
Peso Soletta armata ($P_g=2100$ Kg/mc, $s=6$ cm)	P	=	126	Kg/m ²
Sottofondo con rete antiritiro per impianti a pavimento ($P_g=2100$ Kg/mc, $s=5$ cm)	P	=	105	Kg/m ²
Pavimentazione in cotto ($s=2$ cm)	P	=	60	Kg/m ²
Tramezzi ripartiti	P	=	100	Kg/m ²

Carichi permanenti: p.p.

Travi Principali	(24,7/0,70)	=	17,29	Kg/m ²
Soletta armata		=	126,00	"
Sottofondo per impianti a pavimento		=	105,00	"
Pannello Acustico		=	13,27	"
Pavimentazione		=	60,00	"
Tramezzi ripartiti		=	100,00	"
Controsoffitti ed impianti		=	50,00	"

	QP	=	471,56	Kg/m ²
Carichi accidentali:	QA	=	300	"

	Q tot	=	771,56	Kg/m²

VERIFICA

Progetto : Ex Carcere L=460 cm

Solaio a semplice orditura in struttura mista Acciaio-Calcestruzzo

La trave in acciaio prima del getto della soletta -non sarà- puntellata

Dati Travi

Luce travi 460 cm
Interassi travi 70 cm

Dati Sezione

Dati Trave in Acciaio

Profilo HE140A

Ala inferiore	larghezza	(cm)	14
	spessore	(cm)	.85
Ala superiore :	larghezza	(cm)	14
	spessore	(cm)	.85

Anima	altezza	(cm)	11.6
	spessore	(cm)	.55
Raggio di raccordo:	raggio	(cm)	.816

Dati Soletta in Calcestruzzo

Rettangolo superiore : base	(cm)	70
altezza	(cm)	6

Dati Carchi Agenti

Dati Sovracarichi Permanenti

Sottofondo 1.05 kN/m²

Pavimento .6 kN/m²

Tramezzi 1 kN/m²

Isolante acustico .1327 kN/m²

Controsoffitto ed impianti .5 kN/m²

Dati Sovracarichi variabili

Uffici 3 kN/m²

Dati Materiali

Acciaio Profilo = Fe360

Calcestruzzo Rck = 30 N/mm²

Modulo Elastico Acciaio Ea = 210000 N/mm²

Modulo Elastico Calcestruzzo Ec = 31220 N/mm²

Coefficiente Finale di Viscosità = 2,2

Coefficiente Finale di Ritiro = ,

Es/Ec a tempo iniziale 6,7264

Es/Ec a tempo infinito (metodo di Fritz)

per effetto delle forze 22,7248

per effetto del ritiro 14,3153

Dati Sollecitazioni agenti

Momento Flettente I Fase [kNm] 3,432

Momento Flettente II Fase [kNm] 11,6324

Taglio in appoggio I Fase [kN] 2,9839

Taglio in appoggio II Fase [kN] 10,1151

Dati Geometrici della sezione

H [cm] = Altezza Totale

A [cm²] = Area

Y [cm] = Distanza dell'asse neutro dal bordo inferiore

J [cm⁴] = Momento d'inerzia

W1 [cm³] = Momento statico al bordo superiore della soletta in calcestruzzo

W2 [cm³] = Momento statico al bordo inferiore della soletta in calcestruzzo

W3 [cm³] = Momento statico al bordo superiore della trave in acciaio

W4 [cm³] = Momento statico al bordo inferiore della trave in acciaio

	ACCIAIO	MISTA INIZ.	MISTA FINA.
--	---------	-------------	-------------

H [cm] =	13,30	19,30	19,30
----------	-------	-------	-------

A [cm ²] =	31,51	93,95	49,99
------------------------	-------	-------	-------

Y [cm] =	6,65	13,06	10,22
----------	------	-------	-------

J [cm ⁴] =	1035,98	3173,53	2176,26
------------------------	---------	---------	---------

W1 [cm ³] =	,00	- 3422,76	- 5445,07
-------------------------	-----	-----------	-----------

W2 [cm ³] =	,00	- 90211,07	- 16043,67
-------------------------	-----	------------	------------

W3 [cm ³] =	-155,79	- 13411,46	- 706,00
-------------------------	---------	------------	----------

W4 [cm ³] =	155,79	242,93	212,99
-------------------------	--------	--------	--------

Valori delle Tensioni

	I FASE	TOT. INIZ.	TOT. FINALI
CLS.SUP. =	,00	- 3,40	- 2,74

CLS.INF. =	,00	- ,13	- ,44
ACC.SUP. =	- 22,03	- 22,89	- 31,05
ACC.INF. =	22,03	69,91	73,43

Dati della deformabilità

FRECCIA FASE I 3,48 mm = 1/1323 luce

FRECCIA TOT. INIZ. 7,32 mm = 1/628 luce

FRECCIA TOT. FINA. 8,25 mm = 1/558 luce

Connettori

Altezza dei connettori Hp=> 36 mm

Pd,adm= 23,400 kN

Connettori a spaziatura costante i = 80,0 cm

Connettori a spaziatura variabile

- ai quarti estremi ia = 53,2 cm

- nella metà centrale im = 159,7 cm

TRAVI TIPO 2 - L=6,74 m

I solai sono realizzati con un'orditura principale costituita da putrelle HEA 200 con interasse i=70 cm, il sottofondo e una pavimentazione.

ANALISI DEI CARICHI

Peso Travi HEA 200	P =	42,3	Kg/m
Interasse Travi HEA 200	i =	70	cm
Peso Soletta armata (P _γ =2100 Kg/mc, s= 6 cm)	P =	126	Kg/m ²
Sottofondo con rete antiritiro per impianti a pavimento (P _γ =2100 Kg/mc, s=5 cm)	P =	105	Kg/ m ²
Pavimentazione in cotto (s=2 cm)	P =	60	Kg/m ²
Tramezzi ripartiti	P =	100	Kg/m ²

Carichi permanenti: p.p.

Travi Principali	(42,3/0,70)	=	29,61	Kg/m ²
Soletta armata		=	126,00	"
Sottofondo per impianti a pavimento		=	105,00	"
Pannello Acustico		=	13,27	"
Pavimentazione		=	60,00	"
Tramezzi ripartiti		=	100,00	"
Controsoffitti ed impianti		=	50,00	"

$$QP = 483,88 \text{ Kg/m}^2$$

Carichi accidentali:	QA	=	300	"
	Q tot		= 783,88	Kg/m²

VERIFICA

Progetto : Ex Carcere L=675 cm

Solaio a semplice orditura in struttura mista Acciaio-Calcestruzzo
 La trave in acciaio prima del getto della soletta -non sarà- puntellata

Dati Travi

Luce travi 675 cm
Interassi travi 70 cm

Dati Sezione

Dati Trave in Acciaio

Profilo HE200A

Ala inferiore	larghezza	(cm)	20
	spessore	(cm)	1
Ala superiore :	larghezza	(cm)	20
	spessore	(cm)	1
Anima	altezza	(cm)	17
	spessore	(cm)	.65
Raggio di raccordo:	raggio	(cm)	1.224

Dati Soletta in Calcestruzzo

Rettangolo superiore : base	(cm)	70
altezza	(cm)	6

Dati Carchi Agenti

Dati Sovracarichi Permanenti

Sottofondo 1.05 kN/m²

Pavimento .6 kN/m²

Tramezzi 1 kN/m²

Isolante acustico .1327 kN/m²

Controsoffitto ed impianti .5 kN/m²

Dati Sovracarichi variabili

Uffici 3 kN/m²

Dati Materiali

Acciaio Profilo = Fe360

Calcestruzzo Rck = 30 N/mm²

Modulo Elastico Acciaio Ea = 210000 N/mm²

Modulo Elastico Calcestruzzo Ec = 31220 N/mm²

Coefficiente Finale di Viscosità = 2,2

Coefficiente Finale di Ritiro = ,

Es/Ec a tempo iniziale 6,7264

Es/Ec a tempo infinito (metodo di Fritz)

per effetto delle forze 23,6241

per effetto del ritiro 14,4454

Dati Sollecitazioni agenti

Momento Flettente I Fase [kNm] 8,396

Momento Flettente II Fase [kNm] 25,0474

Taglio in appoggio I Fase [kN] 4,9756

Taglio in appoggio II Fase [kN] 14,8429

Dati Geometrici della sezione

H [cm] = Altezza Totale

A [cm²] = Area

Y [cm] = Distanza dell'asse neutro dal bordo inferiore

J [cm⁴] = Momento d'inerzia

W1 [cm³] = Momento statico al bordo superiore della soletta in calcestruzzo

W2 [cm³] = Momento statico al bordo inferiore della soletta in calcestruzzo

W3 [cm³] = Momento statico al bordo superiore della trave in acciaio

W4 [cm³] = Momento statico al bordo inferiore della trave in acciaio

	ACCIAIO	MISTA INIZ.	MISTA FINA.
H [cm] =	19,00	25,00	25,00
A [cm ²] =	54,05	116,49	71,82
Y [cm] =	9,50	16,20	12,59
J [cm ⁴] =	3705,91	8419,86	5849,53
W1 [cm ³] =	,00	- 6436,13	- 11139,00
W2 [cm ³] =	,00	- 20229,67	- 21572,15
W3 [cm ³] =	-390,10	- 3007,50	- 913,14
W4 [cm ³] =	390,10	519,73	464,47

Valori delle Tensioni

	I FASE	TOT. INIZ.	TOT. FINALI
CLS.SUP. =	,00	- 3,89	- 3,03
CLS.INF. =	,00	- 1,24	- 1,20
ACC.SUP. =	- 21,52	- 29,85	- 39,83
ACC.INF. =	21,52	69,72	72,71

Dati della deformabilità

FRECCIA FASE I 5,12 mm = 1/1318 luce

FRECCIA TOT. INIZ. 11,84 mm = 1/570 luce

FRECCIA TOT. FINA. 13,39 mm = 1/504 luce

Connettori

Altezza dei connettori Hp=> 36 mm

Pd,adm= 23,400 kN

Connettori a spaziatura costante i = 87,3 cm

Connettori a spaziatura variabile

- ai quarti estremi ia = 58,2 cm

- nella metà centrale im = 174,6 cm

SOLAIO DI COPERTURA IN LEGNO USO FIUME

ZONE A3 - B4 - B5 - C1 - C2

I solai di copertura sono realizzati con un'orditura principale costituita da travi uso fiume aventi dimensione **30x35 cm** con interasse **i=215 cm**, un'orditura secondaria (arcarecci) aventi dimensione **18x18 cm** e da travicelli aventi dimensione **7x7 cm** con soprastanti le pianelle ed uno strato di malta pozzolanica ($s=2$ cm); come isolamento è previsto un pacchetto costituito da pannello isolante e guaina di protezione ($s=2$ cm), manto di copertura in coppi e sottocoppi.

Peso specifico legno (Travi e Travicelli)	$P\gamma = 600$	Kg/m ³
Interasse Travi Principali (30x35 cm)	$i = 215$	cm
Interasse Travi Secondarie (18x18 cm)	$i = 120$	cm
Interasse Travicelli (7x7 cm)	$i = 30$	cm
Peso specifico Pianelle (15x30x2,5 cm)	$P\gamma = 1800$	Kg/m ³
Isolamento: pannello isolante e guaina di protezione ($s=2$ cm)	$P\gamma = 15$	Kg/m ²
Malta pozzolanica ($s=2$ cm)	$P\gamma = 12$	Kg/m ²
Coppi e sottocoppi	$P\gamma = 88$	Kg/m ²

ANALISI CARICHI

Carichi permanenti: p.p.

Travi Principali	$(0,30 \times 0,35 \times P\gamma / i)$	=	30	Kg/m ²
Travi Secondarie	$(0,18 \times 0,18 \times P\gamma / i)$	=	17	Kg/m ²
Travicelli	$(0,07 \times 0,07 \times P\gamma / i)$	=	10	"
Pianelle	$(0,15 \times 0,30 \times 0,025 \times P\gamma)$	=	70	"
Isolamento		=	15	"
Massetto	$(600 \times 0,02 =)$	=	12	"
Coppi		=	88	"
	QP	=	242	
Carichi accidentali neve:	QA	=	130	
	Q tot	=	372	Kg/m²

Schema di calcolo: Trave semplicemente appoggiata

VERIFICA TRAVE PRINCIPALE

<i>Caratteristiche geometriche e dei materiali</i>	
CARATTERISTICHE GEOMETRICHE	

Luce L	=	4,82	m
Interasse tra le travi i	=	2,15	m
Distanza tra i ritegni torsionali	=	1,00	m
Base sezione b	=	300	mm
Altezza sezione h	=	350	mm
Inclinazione falda α	=	-	$^{\circ}$

CARATTERISTICHE DEI MATERIALI					
Classe :	2	Specie legnosa :	Abete bianco		
Tensioni nominali	σ_m N/mm ²	$\sigma_{t,0}$ N/mm ²	$\sigma_{t,90}$ N/mm ²	$\sigma_{c,0}$ N/mm ²	$\sigma_{c,90}$ N/mm ²
	10.0	9.0	0.05	9.0	2.0
	τ_v N/mm ²	τ_{tor} N/mm ²	E_0 N/mm ²	E_{90} N/mm ²	G, G_{tor} N/mm ²
	0.80	1.00	10 000	300	500
tipo di elemento: elemento protetto dalle intemperie					
coefficiente di ambiente : $K_w = 1,00$					
coefficiente correttivo : $K_e = 1,00$					
Rapporto di snellezza : $\lambda_b = 1,97$					
coefficiente di instabilità laterale : $K_b = 1,000$					

<i>Analisi dei carichi</i>			
L)	Carico di lunga durata	212	daN/m ²
M)	Carico accidentale di media durata	130	daN/m ²
B)	Carico accidentale di breve durata	-	daN/m ²
I)	Carichi istantanei	-	daN/m ²
CARICHI A METRO LINEARE			
L)	Carico di lunga durata	519	daN/m
M)	Carico accidentale di media durata	280	daN/m
B)	Carico accidentale di breve durata	-	daN/m
I)	Carichi istantanei	-	daN/m
TOTALE		798	daN/m

Scomposizione dei carichi secondo le due direzioni principali		q_x daN/m	q_y daN/m
L)	Carico di lunga durata	-	519
M)	Carico accidentale di media durata	-	280
B)	Carico accidentale di breve durata	-	-
I)	Carichi istantanei	-	-

Condizioni di carico: verifiche										
K_d	K_{mod}	σ_m, adm N/mm ²	τ_v, adm N/mm ²	$M_{d,x}$ daN m	$M_{d,y}$ daN m	σ_m, d N/mm ²	$T_{d,x}$ daN	$T_{d,y}$ daN	$\tau_{v, d, x}$ N/mm ²	$\tau_{v, d, y}$ N/mm ²
1,00	1,000	10,00	0,80	-	2.318	3,78	-	1.924	-	0,27

Verifica di deformabilità					
Coeff. fluage φ	$u_{adm} =$ 1/300 L cm	u_x cm	u_y cm	u_{tot} cm	u_{tot}
0,5	1,61	-	0,76	0,76	1/631 L

VERIFICA TRAVE SECONDARIA

Caratteristiche geometriche e dei materiali					
CARATTERISTICHE GEOMETRICHE					
Luce L	=	2,15	m		
Interasse tra le travi i	=	1,20	m		
Distanza tra i ritegni torsionali	=	1,00	m		
Base sezione b	=	180	mm		
Altezza sezione h	=	180	mm		
Inclinazione falda α	=	-	°		
CARATTERISTICHE DEI MATERIALI					
Classe :	2	Specie legnosa :	Abete bianco		
Tensioni nominali	σ_m N/mm ²	$\sigma_{t,0}$ N/mm ²	$\sigma_{t,90}$ N/mm ²	$\sigma_{c,0}$ N/mm ²	$\sigma_{c,90}$ N/mm ²
	10.0	9.0	0.05	9.0	2.0
	τ_v	τ_{tor}	E_0	E_{90}	G, G_{tor}

	N/mm ²	N/mm ²	N/mm ²	N/mm ²	N/mm ²
	0,80	1,00	10 000	300	500
tipo di elemento:	elemento protetto dalle intemperie				
coefficiente di ambiente :	$K_w = 1,00$				
coefficiente correttivo :	$K_e = 1,00$				
Rapporto di snellezza :	$\lambda_b = 2,36$				
coefficiente di instabilità laterale :	$K_b = 1,000$				

Analisi dei carichi			
L)	Carico di lunga durata	195	daN/m ²
M)	Carico accidentale di media durata	130	daN/m ²
B)	Carico accidentale di breve durata	-	daN/m ²
I)	Carichi istantanei	-	daN/m ²
CARICHI A METRO LINEARE			
L)	Carico di lunga durata	253	daN/m
M)	Carico accidentale di media durata	156	daN/m
B)	Carico accidentale di breve durata	-	daN/m
I)	Carichi istantanei	-	daN/m
TOTALE =		409	daN/m
Scomposizione dei carichi secondo le due direzioni principali			
L)	Carico di lunga durata	-	253
M)	Carico accidentale di media durata	-	156
B)	Carico accidentale di breve durata	-	-
I)	Carichi istantanei	-	-

Condizioni di carico: verifiche										
K_d	K_{mod}	$\sigma_{m, adm}$ N/mm ²	$\tau_{v, adm}$ N/mm ²	$M_{d,x}$ daN m	$M_{d,y}$ daN m	$\sigma_{m, d}$ N/mm ²	$T_{d,x}$ daN	$T_{d,y}$ daN	$\tau_{v, d, x}$ N/mm ²	$\tau_{v, d, y}$ N/mm ²
1,00	1,000	10,00	0,80	-	237	2,43	-	440	-	0,20

Verifica di deformabilità					
Coeff. fluage	$u_{adm} =$	u_x	u_y	u_{tot}	u_{tot}

φ	1/300 L cm	cm	cm	cm	
0,5	1,08	-	0,19	0,19	1/1111 L

VERIFICA TRAVICELLI

Caratteristiche geometriche e dei materiali					
CARATTERISTICHE GEOMETRICHE					
Luce L	=	1,20	m		
Interasse tra le travi i	=	0,30	m		
Distanza tra i ritegni torsionali	=	1,00	m		
Base sezione b	=	70	mm		
Altezza sezione h	=	70	mm		
Inclinazione falda α	=	-	$^\circ$		
CARATTERISTICHE DEI MATERIALI					
Classe :	2	Specie legnosa :	Abete bianco		
Tensioni nominali	σ_m N/mm ²	$\sigma_{t,0}$ N/mm ²	$\sigma_{t,90}$ N/mm ²	$\sigma_{c,0}$ N/mm ²	$\sigma_{c,90}$ N/mm ²
	10.0	9.0	0.05	9.0	2.0
	τ_v N/mm ²	τ_{tor} N/mm ²	E_0 N/mm ²	E_{90} N/mm ²	G, G_{tor} N/mm ²
	0.80	1.00	10 000	300	500
tipo di elemento:	elemento protetto dalle intemperie				
coefficiente di ambiente :	$K_w = 1,00$				
coefficiente correttivo :	$K_e = 1,00$				
Rapporto di snellezza :	$\lambda_b = 3,78$				
coefficiente di instabilità laterale :	$K_b = 1,000$				

Analisi dei carichi				
L)	Carico di lunga durata	185	daN/m ²	
M)	Carico accidentale di media durata	130	daN/m ²	
B)	Carico accidentale di breve durata	-	daN/m ²	
I)	Carichi istantanei	-	-	daN/m ²

CARICHI A METRO LINEARE			
L)	Carico di lunga durata	58	daN/m
M)	Carico accidentale di media durata	39	daN/m
B)	Carico accidentale di breve durata	-	daN/m
I)	Carichi istantanei	-	daN/m
TOTALE =		97	daN/m
<i>Scomposizione dei carichi secondo le due direzioni principali</i>			
		q_x daN/m	q_y daN/m
L)	Carico di lunga durata	-	58
M)	Carico accidentale di media durata	-	39
B)	Carico accidentale di breve durata	-	-
I)	Carichi istantanei	-	-

Condizioni di carico: verifiche										
K_d	K_{mod}	$\sigma_{m, adm}$ N/mm ²	$\tau_{v, adm}$ N/mm ²	$M_{d,x}$ daN m	$M_{d,y}$ daN m	$\sigma_{m, d}$ N/mm ²	$T_{d,x}$ daN	$T_{d,y}$ daN	$\tau_{v, d, x}$ N/mm ²	$\tau_{v, d, y}$ N/mm ²
1,00	1,000	10,00	0,80	-	18	3,07	-	58	-	0,18

Verifica di deformabilità					
Coeff. fluage φ	$u_{adm} =$ 1/300 L cm	u_x cm	u_y cm	u_{tot} cm	u_{tot}
0,5	0,24	-	0,18	0,18	1/659 L

ZONE B6 – B7

I solai di copertura sono realizzati con un'orditura principale costituita da travi uso fiume aventi **dimensione 30x35 cm** con interasse **i=100 cm**, un'orditura secondaria realizzata con travicelli **7x7 cm** con soprastanti le **pianelle** ed uno strato di malta pozzolanica ($s=2$ cm); come isolamento è previsto un pacchetto costituito da pannello isolante e guaina di protezione ($s=2$ cm), manto di copertura in coppi e sottocoppi.

Peso specifico legno (Travi e Travicelli)

$P\gamma = 600$ Kg/m³

Interasse Travi Principali (30x35 cm)

$i = 100$ cm

Interasse Travicelli (7x7 cm)

$i = 30$ cm

Peso specifico Pianelle (15x30x2,5 cm)	$P\gamma = 1800$	Kg/m^3
Isolamento: pannello isolante e guaina di protezione (s=2 cm)	$P\gamma = 15$	Kg/m^2
Malta pozzolanica (s=2 cm)	$P\gamma = 12$	Kg/m^2
Coppi e sottocoppi	$P\gamma = 88$	Kg/m^2

ANALISI CARICHI

Carichi permanenti: p.p.

Travi Principali	$(0,30 \times 0,35 \times P\gamma/i)$	=	63	Kg/m^2
Travicelli	$(0,07 \times 0,07 \times P\gamma/i)$	=	10	"
Pianelle	$(0,15 \times 0,30 \times 0,025 \times P\gamma)$	=	70	"
Isolamento		=	15	"
Massetto	$(600 \times 0,02 =$	=	12	"
Coppi		=	88	"
	QP	=	258	
Carichi accidentali neve:	QA	=	130	
	Q tot	=	388	Kg/m^2

Schema di calcolo: Trave semplicemente appoggiata

VERIFICA TRAVE PRINCIPALE

<i>Caratteristiche geometriche e dei materiali</i>					
CARATTERISTICHE GEOMETRICHE					
Luce L	=	6,45	m		
Interasse tra le travi i	=	1,00	m		
Distanza tra i ritegni torsionali	=	1,00	m		
Base sezione b	=	300	mm		
Altezza sezione h	=	350	mm		
Inclinazione falda α	=	-	$^\circ$		
CARATTERISTICHE DEI MATERIALI					
Classe :	2	Specie legnosa :	Abete bianco		
Tensioni nominali	σ_m N/mm^2	$\sigma_{t,0}$ N/mm^2	$\sigma_{t,90}$ N/mm^2	$\sigma_{c,0}$ N/mm^2	$\sigma_{c,90}$ N/mm^2
	10.0	9.0	0.05	9.0	2.0

	τ_v N/mm ²	τ_{tor} N/mm ²	E_0 N/mm ²	E_{90} N/mm ²	G, G_{tor} N/mm ²
	0.80	1.00	10 000	300	500
tipo di elemento:	elemento protetto dalle intemperie				
coefficiente di ambiente :	$K_w = 1,00$				
coefficiente correttivo :	$K_e = 1,00$				
Rapporto di snellezza :	$\lambda_b = 1,97$				
coefficiente di instabilità laterale :	$K_b = 1,000$				

Analisi dei carichi			
L)	Carico di lunga durata	195	daN/m ²
M)	Carico accidentale di media durata	130	daN/m ²
B)	Carico accidentale di breve durata	-	daN/m ²
I)	Carichi istantanei	-	daN/m ²
CARICHI A METRO LINEARE			
L)	Carico di lunga durata	258	daN/m
M)	Carico accidentale di media durata	130	daN/m
B)	Carico accidentale di breve durata	-	daN/m
I)	Carichi istantanei	-	daN/m
TOTALE		388	daN/m
Scomposizione dei carichi secondo le due direzioni principali			
L)	Carico di lunga durata	-	258
M)	Carico accidentale di media durata	-	130
B)	Carico accidentale di breve durata	-	-
I)	Carichi istantanei	-	-

Condizioni di carico: verifiche										
K_d	K_{mod}	σ_m, adm N/mm ²	$\tau_{v, adm}$ N/mm ²	$M_{d,x}$ daN m	$M_{d,y}$ daN m	$\sigma_{m, d}$ N/mm ²	$T_{d,x}$ daN	$T_{d,y}$ daN	$\tau_{v, d, x}$ N/mm ²	$\tau_{v, d, y}$ N/mm ²
1,00	1,000	10,00	0,80	-	2.018	3,29	-	1.251	-	0,18

Verifica di deformabilità

Coeff. fluege φ	$u_{adm} =$ 1/300 L cm	u_x cm	u_y cm	u_{tot} cm	u_{tot} 1/561 L
0,5	2,15	-	1,15	1,15	

VERIFICA TRAVICELLI

Caratteristiche geometriche e dei materiali					
CARATTERISTICHE GEOMETRICHE					
Luce L	=	1,20	m		
Interasse tra le travi i	=	0,30	m		
Distanza tra i ritegni torsionali	=	1,00	m		
Base sezione b	=	70	mm		
Altezza sezione h	=	70	mm		
Inclinazione falda α	=	-	$^{\circ}$		
CARATTERISTICHE DEI MATERIALI					
Classe :	2	Specie legnosa :	Abete bianco		
Tensioni nominali	σ_m N/mm ²	$\sigma_{t,0}$ N/mm ²	$\sigma_{t,90}$ N/mm ²	$\sigma_{c,0}$ N/mm ²	$\sigma_{c,90}$ N/mm ²
	10.0	9.0	0.05	9.0	2.0
	τ_v N/mm ²	τ_{tor} N/mm ²	E_0 N/mm ²	E_{90} N/mm ²	G, G_{tor} N/mm ²
	0.80	1.00	10 000	300	500
tipo di elemento:	elemento protetto dalle intemperie				
coefficiente di ambiente :	$K_w = 1,00$				
coefficiente correttivo :	$K_e = 1,00$				
Rapporto di snellezza :	$\lambda_b = 3,78$				
coefficiente di instabilità laterale :	$K_b = 1,000$				

Analisi dei carichi			
L)	Carico di lunga durata	185	daN/m ²
M)	Carico accidentale di media durata	130	daN/m ²

B)	Carico accidentale di breve durata	-	daN/m ²
I)	Carichi istantanei	-	daN/m ²
CARICHI A METRO LINEARE			
L)	Carico di lunga durata	58	daN/m
M)	Carico accidentale di media durata	39	daN/m
B)	Carico accidentale di breve durata	-	daN/m
I)	Carichi istantanei	-	daN/m
TOTALE =		97	daN/m
<i>Scomposizione dei carichi secondo le due direzioni principali</i>			
		q _x daN/m	q _y daN/m
L)	Carico di lunga durata	-	58
M)	Carico accidentale di media durata	-	39
B)	Carico accidentale di breve durata	-	-
I)	Carichi istantanei	-	-

Condizioni di carico: verifiche										
K _d	K _{mod}	σ _{m, adm} N/mm ²	τ _{v, adm} N/mm ²	M _{d,x} daN m	M _{d,y} daN m	σ _{m, d} N/mm ²	T _{d,x} daN	T _{d,y} daN	τ _{v, d, x} N/mm ²	τ _{v, d, y} N/mm ²
1,00	1,000	10,00	0,80	-	18	3,07	-	58	-	0,18

Verifica di deformabilità					
Coeff. fluage φ	u _{adm} = 1/300 L cm	u _x cm	u _y cm	u _{tot} cm	u _{tot}
0,5	0,24	-	0,18	0,18	1/659 L

VERIFICA DISPLUVIO E ROMPITRATTA ZONE C1 – C2

VERIFICA DISPLUVIO					
DATI:					
P	=	2.900,00			kg
L	=	6,70		670	cm
β	=	26,00		0,27925268	rad

q peso proprio	=	72,00		kgm
E	=	100.000,00		kg/cmq
b	=	30,00		cm
h	=	45,00		cm
A	=	1.350,00		cmquarta
J	=	227.812,50		cmquarta
W	=	10.125,00		cmc
I₀	=	670	lungh. Lib. Inflessione	cm
romin	=	12,99	ro minimo	cm
Landa effettivo	=	51,58		
Landa rif	=	37,5	instabilità	51,58
omega	=	1,20		
C	=	0,90	coefficiente flessione	

VALORI AMMISSIBILI			
$\sigma_{m, adm}$	=	100	kg/cmq
ι_v, adm	=	8	kg/cmq
$f_{max, adm}$	=	1/500 L	1,34
			cm

1° CONDIZIONE "CARICHI CONCENTRATI"			
N_{max}^1	=	400	Kg
T_{max}^1	=	1.394	Kg
M_{max}^1	=	4.669	Kgm
f_{max}^1	=	0,766734942	cm
σ_v^1	=	0,36	kg/cmq
σ_m^1	=	51,24	kg/cmq
ι_v^1	=	1,55	kg/cmq

2° CONDIZIONE "CARICHI RIPARTITI"			
N_{\max}^2	=	66	Kg
T_{\max}^2	=	232	Kg
M_{\max}^2	=	388	Kgm
f_{\max}^2	=	0,079713995	cm
σ_v^2	=	0,06	kg/cmq
σ_m^2	=	4,26	kg/cmq
t_v^2	=	0,26	kg/cmq

TOTALE			
σ_v^{tot}	=	0,42	kg/cmq
σ_m^{tot}	=	55,50	kg/cmq
t_v^{tot}	=	1,81	kg/cmq
□			
f_{\max}^{tot}	=	0,85	cm

VERIFICA ROMPITRATTA			
DATI:			
P	=	790,00	kg
L	=	5,15	cm
β	=	26,00	rad
q	=	24,00	kgm
E	=	100.000,00	kg/cmq
b	=	30,00	cm
h	=	35,00	cm
A	=	1.050,00	cmquarta
J	=	107.187,50	cmquarta
W	=	6.125,00	cmc
I0	=	515 lungh. Lib. Inflessione	cm

r_{omin}	=	10,10	ro minimo	cm
Landa effettivo	=	50,97		
Landa rif	=	37,5	instabilità	50,97
omega	=	0,84		
C	=	0,90	coefficiente flessione	

VALORI AMMISSIBILI			
$\sigma_{m, adm}$	=	100	kg/cmq
ι_v, adm	=	8	kg/cmq
$f_{max, adm}$	= 1/500 L	1,03	cm

1° CONDIZIONE "CARICHI CONCENTRATI"			
N_{max}^1	=	436	Kg
T_{max}^1	=	1.519	Kg
M_{max}^1	=	2.347	Kgm
f_{max}^1	=	0,609658767	cm
σ_v^1	=	0,35	kg/cmq
σ_m^1	=	42,57	kg/cmq
ι_v^1	=	2,17	kg/cmq

2° CONDIZIONE "CARICHI RIPARTITI"			
N_{max}^2	=	17	Kg
T_{max}^2	=	59	Kg
M_{max}^2	=	76	Kgm

f_{\max}^2	=	0,019714076	cm
σ_v^2	=	0,01	kg/cmq
σ_m^2	=	1,39	kg/cmq
τ_v^2	=	0,08	kg/cmq

TOTALE			
σ_v^{tot}	=	0,36	kg/cmq
σ_m^{tot}	=	43,96	kg/cmq
τ_v^{tot}	=	2,25	kg/cmq
f_{\max}^{tot}	=	0,63	cm

VERIFICA COMPLUVI ZONA B5

VERIFICA COMPLUVIO ZONA B5 - C2					
DATI:					
P	=	2.232,00			kg
L	=	5,15	515		cm
β	=	26,00	0,27925268		rad
q peso proprio	=	36,00			kgm
E	=	100.000,00			kg/cmq
b	=	30,00			cm
h	=	35,00			cm
A	=	1.050,00			cmquarta
J	=	107.187,50			cmquarta
W	=	6.125,00			cmc
I0	=	515	lungh. Lib. Inflessione		cm
romin	=	10,10	ro minimo		cm
Landa effettivo	=	50,97			
Landa rif	=	37,5	instabilità		50,97
omega	=	1,19			
C	=	0,90	coefficiente flessione		

VALORI AMMISSIBILI			
σ_m, adm	=	100	kg/cmq
ι_v, adm	=	8	kg/cmq
$f_{max, adm}$	=	1/500 L 1,03	cm

1° CONDIZIONE "CARICHI CONCENTRATI"			
N_{max}^1	=	308	Kg
T_{max}^1	=	1.073	Kg
M_{max}^1	=	2.762	Kgm
f_{max}^1	=	0,569602826	cm
σ_v^1	=	0,35	kg/cmq
σ_m^1	=	50,11	kg/cmq
ι_v^1	=	1,53	kg/cmq

2° CONDIZIONE "CARICHI RIPARTITI"			
N_{max}^2	=	26	Kg
T_{max}^2	=	89	Kg
M_{max}^2	=	115	Kgm
f_{max}^2	=	0,029571114	cm
σ_v^2	=	0,03	kg/cmq
σ_m^2	=	2,08	kg/cmq

ι_v^2	=	0,13	kg/cmq
-------------	---	------	--------

TOTALE			
σ_{v}^{tot}	=	0,38	kg/cmq
σ_m^{tot}	=	52,19	kg/cmq
ι_v^{tot}	=	1,66	kg/cmq
\square			
f_{max}^{tot}	=	0,60	cm

VERIFICA COMPLUVIO ZONA B5 - A3					
DATI:					
P	=	1.860,00			kg
L	=	6,00	600		cm
β	=	26,00			rad
q peso proprio	=	36,00			kgm
E	=	100.000,00			kg/cmq
b	=	30,00			cm
h	=	40,00			cm
A	=	1.200,00			cmquarta
J	=	160.000,00			cmquarta
W	=	8.000,00			cmc
I0	=	600	lungh. Lib. Inflessione		cm
romin	=	11,55	ro minimo		cm
Landa effettivo	=	51,96			
Landa rif	=	37,5	instabilità		51,96
omega	=	1,21			
C	=	0,90	coefficiente flessione		

VALORI AMMISSIBILI			
$\sigma_{m, adm}$	=	100	kg/cmq
ι_v, adm	=	8	kg/cmq
$f_{max, adm}$	=	1/500 L	1,2 cm

1° CONDIZIONE "CARICHI CONCENTRATI"			
N_{\max}^1	=	256	Kg
T_{\max}^1	=	894	Kg
M_{\max}^1	=	2.682	Kgm
f_{\max}^1	=	0,502860025	cm
σ_v^1	=	0,26	kg/cmq
σ_m^1	=	37,25	kg/cmq
t_v^1	=	1,12	kg/cmq

2° CONDIZIONE "CARICHI RIPARTITI"			
N_{\max}^2	=	30	Kg
T_{\max}^2	=	104	Kg
M_{\max}^2	=	156	Kgm
f_{\max}^2	=	0,036497905	cm
σ_v^2	=	0,03	kg/cmq
σ_m^2	=	2,16	kg/cmq
t_v^2	=	0,13	kg/cmq

TOTALE			
σ_v^{tot}	=	0,29	kg/cmq
σ_m^{tot}	=	39,41	kg/cmq

$\mathfrak{l}_v^{\text{tot}}$	=	1,25	kg/cmq
\square			
$f_{\text{max}}^{\text{tot}}$	=	0,54	cm

VERIFICA DISPLUVIO ZONA B3

VERIFICA DISPLUVIO			
DATI:			
P	=	605,00	kg
L	=	6,90	cm
β	=	26,00	rad
q	=	36,00	kgm
E	=	100.000,00	kg/cmq
b	=	30,00	cm
h	=	40,00	cm
A	=	1.200,00	cmquarta
J	=	160.000,00	cmquarta
W	=	8.000,00	cmc
I ₀	=	690	lungh. Lib. Inflessione
romin	=	11,55	ro minimo
Landa effettivo	=	59,76	
Landa rif	=	37,5	instabilità
omega	=	1,15	
C	=	0,90	coefficiente flessione

VALORI AMMISSIBILI			
σ_m, adm	=	100	kg/cmq
$\mathfrak{l}_v, \text{adm}$	=	8	kg/cmq
$f_{\text{max}, \text{adm}}$	=	1/500 L	1,38 cm

1° CONDIZIONE "CARICHI CONCENTRATI"

N^1_{\max}	=	334	Kg
T^1_{\max}	=	1.163	Kg
M^1_{\max}	=	2.408	Kgm
f^1_{\max}	=	0,752254598	cm
σ^1_v	=	0,32	kg/cmq
σ^1_m	=	33,44	kg/cmq
t^1_v	=	1,45	kg/cmq

2° CONDIZIONE "CARICHI RIPARTITI"			
N^2_{\max}	=	34	Kg
T^2_{\max}	=	119	Kg
M^2_{\max}	=	206	Kgm
f^2_{\max}	=	0,063835064	cm
σ^2_v	=	0,03	kg/cmq
σ^2_m	=	2,86	kg/cmq
t^2_v	=	0,15	kg/cmq

TOTALE			
σ^{tot}_v	=	0,35	kg/cmq
σ^{tot}_m	=	36,30	kg/cmq
t^{tot}_v	=	1,60	kg/cmq
\square			
f^{tot}_{\max}	=	0,82	cm

CAPRIATE ZONE A1 – A2

I solai di copertura sono realizzati con un'**orditura principale** costituita da **capriate** con interasse **i=300 cm**, un'**orditura secondaria** realizzata con **travi** aventi dimensione **18x18 cm**, **travicelli** delle dimensioni di **7x7 cm** e soprastanti pianelle ed uno strato di malta pozzolanica ($s=2$ cm); un pacchetto soprastante costituito da pannello isolante e guaina di protezione ($s=2$ cm), infine un manto di copertura in coppi e sottocoppi.

Peso specifico legno (Travi e Travicelli)	$P\gamma =$	600	Kg/m ³
Interasse Travi (18x18 cm)	$i =$	100	cm
Interasse Travicelli (7x7 cm)	$i =$	30	cm
Peso specifico Pianelle (15x30x2,5 cm)	$P\gamma =$	1800	Kg/m ³
Isolamento: pannello isolante e guaina di protezione ($s=2$ cm)	$P\gamma =$	15	Kg/m ²
Malta pozzolanica ($s=2$ cm)	$P\gamma =$	12	Kg/m ²
Coppi e sottocoppi	$P\gamma =$	88	Kg/m ²

ANALISI CARICHI

Carichi permanenti: p.p.

Travi Principali	$(0,18 \times 0,18 \times P\gamma / i)$	=	20	Kg/m ²
Travicelli	$(0,07 \times 0,07 \times P\gamma / i)$	=	10	"
Pianelle	$(0,15 \times 0,30 \times 0,025 \times P\gamma)$	=	70	"
Isolamento		=	15	"
Massetto	$(600 \times 0,02 =$	=	12	"
Coppi		=	88	"

	QP	=	215	
Carichi accidentali neve:	QA	=	130	

	Q tot	=	345	Kg/m ²

Schema di calcolo: Trave semplicemente appoggiata

Carico lineare sulla capriata: $Q = 345 \text{ Kg/m}^2 \times 3,00 \text{ m} = 1035 \text{ Kg/m}$

Per la verifica dei travicelli si rimanda alle tabelle di calcolo precedenti

R E L A Z I O N E D I C A L C O L O

Sono illustrati con la presente i risultati dei calcoli che riguardano il progetto delle armature, la verifica delle tensioni di lavoro dei materiali e del terreno.

- NORMATIVA DI RIFERIMENTO

La normativa cui viene fatto riferimento nelle fasi di calcolo e progettazione e' la seguente:

- 1) Norme per la disciplina delle opere di conglomerato cementizio armato, normale e precompresso, e strutture metalliche (Legge 05/11/71, n.1086 e D.M. 14/02/92 e D.M. 09/01/96).
- 2) Provvedimenti per le costruzioni con particolari prescrizioni per le zone sismiche (Legge 2/02/74 n.64 e D.M. 16/01/96).
- 3) Criteri generali per la verifica di sicurezza delle costruzioni e dei carichi e sovraccarichi (D.M. 16/01/96).

- METODI DI CALCOLO

I metodi di calcolo adottati per il calcolo sono i seguenti :

- 1) per i carichi statici: metodo delle deformazioni;
- 2) per i carichi sismici metodo dell'analisi modale o dell'analisi sismica statica equivalente.

Per lo svolgimento del calcolo si e' accettata l'ipotesi che, in corrispondenza dei piani sismici, i solai siano infinitamente rigidi nel loro piano e che le masse ai fini del calcolo delle forze di piano siano concentrate alle loro quote.

- CALCOLO SPOSTAMENTI E CARATTERISTICHE

Il calcolo degli spostamenti e delle caratteristiche viene effettuato con il metodo degli elementi finiti (F.E.M.).

Possono essere inseriti due tipi di elementi:

- 1) Elemento monodimensionale asta ('beam') che unisce due nodi aventi ciascuno 6 gradi di liberta'. Per maggiore precisione di calcolo, viene tenuta in conto anche la deformabilita' a taglio e quella assiale di questi elementi. Queste aste inoltre non sono considerate flessibili da nodo a nodo ma hanno sulla parte iniziale e finale due tratti infinitamente rigidi formati dalla parte di trave inglobata nello spessore del pilastro; questi tratti rigidi forniscono al nodo una dimensione reale.
- 2) L'elemento bidimensionale shell ('quad') che unisce quattro nodi nello spazio. Il suo comportamento e' duplice, funziona da lastra per i carichi agenti sul suo piano, da piastra per i carichi ortogonali.

Assemblete tutte le matrici di rigidezza degli elementi in quella della struttura spaziale, la risoluzione del sistema viene perseguita tramite il metodo di Cholesky.

Ai fini della risoluzione della struttura, gli spostamenti X e Y e le rotazioni attorno l'asse verticale Z di tutti i nodi che giacciono su di un impalcato dichiarato rigido sono mutuamente vincolati.

- ANALISI SISMICA STATICÀ A MASSE CONCENTRATE

L'analisi sismica statica e' stata svolta imponendo, come da normativa, un sistema di forze orizzontali parallele alle direzioni ipotizzate come ingresso del sisma. Tali forze, applicate in corrispondenza dei nodi, sono calcolate mediante l'espressione:

$$F = C \cdot R \cdot \varepsilon \cdot \beta \cdot \Gamma \cdot I \cdot M$$

essendo:

C = coefficiente di intensita' sismica;

R = coefficiente di risposta;
 ε = coefficiente di fondazione;
 β = coefficiente di struttura;
 Γ = coefficiente di distribuzione;
 I = coefficiente di protezione sismica;
 M = peso delle masse strutturali afferenti al nodo

Le forze orizzontali così calcolate vengono ripartite fra gli elementi irrigidenti (pilastri e pareti di taglio). L'analisi tiene conto dell'eventuale presenza di piani dichiarati in input infinitamente rigidi assialmente.

I valori delle sollecitazioni sismiche sono combinate linearmente (in somma e in differenza) con quelle per carichi statici per ottenere le sollecitazioni per sisma nelle direzioni di calcolo.

- VERIFICHE

Le verifiche, svolte secondo il metodo delle tensioni ammissibili, si ottengono inviluppando tutte le condizioni di carico prese in considerazione.

In fase di verifica è stato differenziato l'elemento trave dall'elemento pilastro. Nell'elemento trave le armature sono disposte in modo asimmetrico, mentre nei pilastri sono sempre disposte simmetricamente.

Per l'elemento trave, l'armatura si determina suddividendola in cinque conci in cui l'armatura si mantiene costante, valutando per tali conci le massime aree di armatura superiore ed inferiore richieste in base ai momenti massimi riscontrati nelle varie combinazioni di carico esaminate. Lo stesso criterio è stato adottato per il calcolo delle staffe e degli eventuali ferri piegati.

Anche l'elemento pilastro viene scomposto in cinque conci in cui l'armatura si mantiene costante. Vengono però riportate le armature massime richieste nella metà superiore (testa) e inferiore (piede).

La fondazione su travi rovesce è risolta contemporaneamente alla sovrastruttura tenendo in conto sia la rigidità flettente che quella torcente, utilizzando per l'analisi agli elementi finiti l'elemento asta su suolo elastico alla Winkler.

Le travate possono incrociarsi con angoli qualsiasi e avere dei disassamenti rispetto ai pilastri su cui si appoggiano.

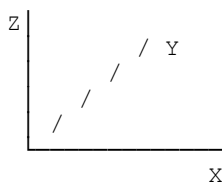
La ripartizione dei carichi, data la natura matriciale del calcolo, tiene automaticamente conto della rigidità relativa delle varie travate convergenti su ogni nodo.

Le verifiche per gli elementi bidimensionali (setti) vengono effettuate sovrapponendo lo stato tensionale del comportamento a lastra e di quello a piastra. Vengono calcolate le armature delle due facce dell'elemento bidimensionale disponendo i ferri in due direzioni ortogonali.

- SISTEMI DI RIFERIMENTO

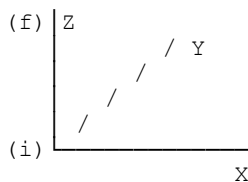
1) Sistema globale della struttura spaziale

Il sistema di riferimento globale è costituito da una terna destra di assi cartesiani ortogonali ($OXYZ$) dove l'asse Z rappresenta l'asse verticale rivolto verso l'alto. Le rotazioni sono considerate positive se concordi con gli assi vettori.



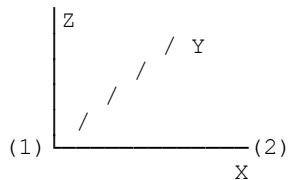
2) Sistema locale delle aste

Il sistema di riferimento locale delle aste, inclinate o meno, e' costituito da una terna destra di assi cartesiani ortogonali che ha l'asse Z coincidente con l'asse longitudinale dell'asta e orientamento dal nodo iniziale al nodo finale, gli assi X ed Y sono orientati come nell'archivio delle sezioni.



3) Sistema locale dello shell

Il sistema di riferimento locale dello shell e' costituito da una terna destra di assi cartesiani ortogonali che ha l'asse X coincidente con la direzione fra il primo ed il secondo nodo di input, l'asse Y giacente nel piano dello shell e l'asse Z in direzione dello spessore.



- UNITA' DI MISURA

Si adottano le seguenti unita' di misura:

[lunghezze] = m
[forza] = kgf / daN
[tempo] = sec
[temperat.] = °C

- CONVENZIONI SUI SEGNI

I carichi agenti sono:

- 1) - carichi e momenti distribuiti lungo gli assi coordinati;
- 2) - forze e coppie nodali concentrate sui nodi.

Le forze distribuite sono da ritenersi positive se concordi con il sistema di riferimento locale dell'asta, quelle concentrate sono positive se concordi con il sistema di riferimento globale.

I gradi di liberta' nodali sono gli omologhi agli enti forza, e quindi sono definiti positivi se concordi a questi ultimi.

ARCHIVIO SEZIONI IN ACCIAIO

SPECIFICHE CAMPI TABELLA DI STAMPA

Si riporta appresso la spiegazione delle sigle usate nella tabella caratteristiche statiche dei profili e caratteristiche materiali.

Sez.	: Numero d'archivio della sezione
U	: Perimetro bagnato per metro di sezione
P	: Peso per unita' di lunghezza
A	: Area della sezione
Ax	: Area a taglio in direzione X
Ay	: Area a taglio in direzione Y

Jx : Momento d'inerzia rispetto all'asse X
 Jy : Momento d'inerzia rispetto all'asse Y
 Jt : Momento d'inerzia torsionale
 Wx : Modulo di resistenza a flessione, asse X
 Wy : Modulo di resistenza a flessione, asse Y
 Wt : Modulo di resistenza a torsione
 ix : Raggio d'inerzia relativo all'asse X
 iy : Raggio d'inerzia relativo all'asse Y
 sver : Coefficiente per verifica a svergolamento ($h/(b*t)$)

E : Modulo di elasticita' normale
 G : Modulo di elasticita' tangenziale
 sigmaamm : Tensione ammissibile
 lamda : Valore massimo della snellezza
 fe : Tipo di acciaio (1=Fe360 ; 2=Fe430 ; 3=Fe510)
 Q : Prospetto per i coefficienti Q (1=a ; 2=b ; 3=c ; 4=d)
 (sezione legno: 5= latifoglie dure ; 6=conifere)
 Caric. estra: Coefficiente per carico estradossato verifica svergolam.
 E.lim. : Eccentricita' limite per evitare la verifica allo svergolamento.
 Coeff.'ni' : Coefficiente 'ni'
 ver. : -1 non esegue verifica ; 0 verifica solo aste tese
 1 verifica completa
 gamma : peso specifico del materiale

Wx Plast. : Modulo di resistenza plastica in direzione X
 Wy Plast. : Modulo di resistenza plastica in direzione Y
 Wt Plast. : Modulo di resistenza plastica torsionale
 Ax Plast. : Area a taglio plastica direzione X
 Ay Plast. : Area a taglio plastica direzione Y
 Iw : Costante di ingombramento (Momento di inerzia settoriale)
 Num.Rit.Tors: Numero di ritegni torsionali

ARCHIVIO SEZIONI IN ACCIAIO

PIATTI UNI				
Sez. N.ro	Descrizione	b mm	s mm	Mat. N.ro
934	L 25x30	250	300	7

PIATTI UNI				
Sez. N.ro	Descrizione	b mm	s mm	Mat. N.ro

ARCHIVIO SEZIONI IN ACCIAIO

CARATTERISTICHE STATICHE DEI PROFILI														
Sez. N.ro	U m ² /m	P kg/m	A cm ³	Ax cm ³	Ay cm ³	Jx cm ⁴	Jy cm ⁴	Jt cm ⁴	Wx cm ³	Wy cm ³	Wt cm ³	ix cm	iy cm	sver 1/cm
934	1.10	45.0	750.00	500.00	500.00	56250.0	39062.5	156250.0	3750.00	3125.00	5208.33	8.66	7.22	0.00

ARCHIVIO SEZIONI IN ACCIAIO

CARATTERISTICHE MATERIALE												
Mat. N.ro	E kg/cm ³	G kg/cm ³	sigmaamm. kg/cm ³	lambda max	fe	Q	caric estra	ecc. cm	coeff. ni	ver.	Gamma kg/cmc	
1	2100000	850000	1600	200.0	1	1	1.00	200	1.500	1	7850	
2	2100000	850000	1600	200.0	1	2	1.40	200	1.500	1	7850	
3	2100000	850000	1600	200.0	1	3	1.40	200	1.500	1	7850	
4	2100000	850000	1600	200.0	1	4	1.00	200	1.500	1	7850	
5	2100000	850000	1600	200.0	1	3	0.00	200	1.500	1	7850	
6	125000	10000	100	200.0	1	5	0.00	200	1.500	1	800	

7	100000	5000	100	200.0	1	6	0.00	200	1.500	1	600
---	--------	------	-----	-------	---	---	------	-----	-------	---	-----

ARCHIVIO SEZIONI IN ACCIAIO

DATI PER VERIFICHE EUROCODICE								
Sez. N.ro	Descrizione	Wx Plastico cm ³	Wy Plastico cm ³	Wt Plastico cm ³	Ax Plastico cm ²	Ay Plastico cm ²	Iw cm ⁶	
934	L 25x30	5625.00	4687.50	11250.00	750.00	750.00	0.00	

DATI GENERALI DI STRUTTURA

C O E F F I C I E N T I S I S M I C I	
Intensita' sismica :	0.07
Coefficiente di fondazione:	1.00
Coefficiente di struttura :	1.00
Coefficiente protez. sism.:	1.00

DATI GENERALI DI STRUTTURA

SPECIFICHE CAMPI TABELLA DI STAMPA

Si riporta appresso la spiegazione delle sigle usate nella tabella coordinate nodi.

Nodo3d : Numero del nodo spaziale
 Coord.X : Cordinata X del punto nel sistema di riferimento globale
 Coord.Y : Cordinata Y del punto nel sistema di riferimento globale
 Coord.Z : Cordinata Z del punto nel sistema di riferimento globale
 Filo : Numero del filo per individuare le travate in c.a.
 Piano Sism.: Numero del piano rigido di appartenenza del nodo
 Peso : Peso sismico del nodo; ogni canale di carico e' stato
 moltiplicato per il proprio coefficiente di riduzione del
 sovraaccarico

COORDINATE DEI NODI

IDENT. N.ro	POSIZIONE NODO			ATTRIBUTI		
	Coord.X (m)	Coord.Y (m)	Coord.Z (m)	Filo N.ro	Piano Sism.	Peso (t)
1	0.00	0.00	0.00	1	0	0.00
2	4.32	0.00	0.00	2	0	0.31
3	8.60	0.00	0.00	3	0	0.00
4	4.32	0.00	1.43	2	0	2.35
5	1.87	0.00	2.25	4	0	2.48
6	0.00	0.00	1.70	1	0	0.00
7	1.87	0.00	0.62	4	0	0.10
8	2.75	0.00	0.90	5	0	0.10
9	5.88	0.00	0.90	6	0	2.48

DATI ASTE SPAZIALI

SPECIFICHE CAMPI TABELLA DI STAMPA

Si riporta appresso la spiegazione delle sigle usate nella tabella dati di asta spaziale.

Asta3d : Numero dell'asta spaziale
 Filo in. : Numero del filo del nodo iniziale
 Filo fin. : Numero del filo del nodo finale
 Q. iniz. : Quota del nodo iniziale
 Q. fin. : Quota del nodo finale
 Nod3d iniz. : Numero del nodo iniziale
 Nod3d fin. : Numero del nodo finale
 Cr. Pr. : Numero del criterio di progetto per la verifica
 Sez. N.ro : Numero in archivio della sezione
 Base x Alt : Per le sezioni rettangolari base ed altezza; per le altre tipologie ingombro massimo della sezione
 Magr. : Dimensione del magrone per sezioni di fondazione
 Rot. : Angolo di rotazione della sezione
 dx : Scostamento in direzione X globale dell'estremo iniziale dell'asta dal nodo iniziale
 dy : Scostamento in direzione Y globale dell'estremo iniziale dell'asta dal nodo iniziale
 dz : Scostamento in direzione Z globale dell'estremo iniziale dell'asta dal nodo iniziale
 dx : Scostamento in direzione X globale dell'estremo finale dell'asta dal nodo finale
 dy : Scostamento in direzione Y globale dell'estremo finale dell'asta dal nodo finale
 dz : Scostamento in direzione Z globale dell'estremo finale dell'asta dal nodo finale

DATI ASTE SPAZIALI

Asta3d N.ro	IDENTIFICAZIONE						GEOMETRIA				SCOST. INIZIALI			SCOST. FINALI			
	Filo in.	Filo fin.	Q.iniz. (m)	Q.fin. (m)	Nod3d iniz.	Nod3d fin.	Cr. Pr.	Sez. N.ro	Sigla Sezione	Magr. (cm)	Rot. Grd	dx (cm)	dy (cm)	dz (cm)	dx (cm)	dy (cm)	dz (cm)
1	1	2	0.00	0.00	1	2	0	1934	L 25x30	0	0	0	0	0	0	0	0
2	2	6	1.43	0.90	4	9	0	1934	L 25x30	0	0	0	0	0	0	0	0
3	2	3	0.00	0.00	2	3	0	1934	L 25x30	0	0	0	0	0	0	0	0
4	4	2	2.25	1.43	5	4	0	1934	L 25x30	0	0	0	0	0	0	0	0
5	1	4	1.70	2.25	6	5	0	1934	L 25x30	0	0	0	0	0	0	0	0
6	2	2	1.43	0.00	4	2	0	1934	L 25x30	0	0	0	0	0	0	0	0
7	6	3	0.90	0.00	9	3	0	1934	L 25x30	0	0	0	0	0	0	0	0
8	4	1	0.62	0.00	7	1	0	1934	L 25x30	0	0	0	0	0	0	0	0
9	4	4	2.25	0.62	5	7	0	1934	L 25x30	0	0	0	0	0	0	0	0
10	2	6	0.00	0.90	2	9	0	1934	L 25x30	0	0	0	0	0	0	0	0
11	2	5	0.00	0.90	2	8	0	1934	L 25x30	0	0	0	0	0	0	0	0
12	4	5	0.62	0.90	7	8	0	1934	L 25x30	0	0	0	0	0	0	0	0
13	5	2	0.90	1.43	8	4	0	1934	L 25x30	0	0	0	0	0	0	0	0

VINCOLI E CEDIMENTI NODALI

SPECIFICHE CAMPI TABELLA DI STAMPA

Si riporta appresso la spiegazione delle sigle usate nella tabella vincoli nodali esterni.

Nodo3d : Numero del nodo spaziale
 Codice : Codice esplicito per la determinazione del vincolo
 I = incastro; C = cerniera completa; W = winkler
 E = esplicito; P = plinto; U = Vincolo unilatero
 Tx : Rigidezza traslante in direzione X sul sistema di riferimento locale del vincolo (-1 spostamento impedito)
 Ty : Rigidezza traslante in direzione Y sul sistema di riferimento locale del vincolo (-1 spostamento impedito)

Tz	: Rigidezza traslante in direzione Z sul sistema di riferimento locale del vincolo (-1 spostamento impedito)
Rx	: Rigidezza rotazionale in direzione X sul sistema di riferimento locale del vincolo (-1 spostamento impedito)
Ry	: Rigidezza rotazionale in direzione Y sul sistema di riferimento locale del vincolo (-1 spostamento impedito)
Rz	: Rigidezza rotazionale in direzione Z sul sistema di riferimento locale del vincolo (-1 spostamento impedito)

SCOSTAMENTO PER I VINCOLI ELASTICI

Tr. X	: Scostamento in direzione X globale del sistema di riferimento locale del vincolo
Tr. Y	: Scostamento in direzione Y globale del sistema di riferimento locale del vincolo
Tr. Z	: Scostamento in direzione Z globale del sistema di riferimento locale del vincolo
Azim	: Angolo formato fra la proiezione dell'asse Z locale sul piano XY e l'asse X globale (azimut)
CoZe	: Angolo formato fra l'asse Z locale e l'asse Z globale (complemento allo zenit)
Ass.	: Rotazione attorno dell'asse Z locale del sistema di riferimento locale

ATTRIBUTO DI VERSO PER I VINCOLI UNILATERI

Tr. X	: Attributo sul verso dello spostamento impedito dal vincolo unilatero lungo la direzione X
Tr. Y	: Attributo sul verso dello spostamento impedito dal vincolo unilatero lungo la direzione Y
Tr. Z	: Attributo sul verso dello spostamento impedito dal vincolo unilatero lungo la direzione Z
Rot.X	: Attributo sul verso della rotazione impedita dal vincolo unilatero lungo l'asse vettore X
Rot.Y	: Attributo sul verso della rotazione impedita dal vincolo unilatero lungo l'asse vettore Y
Rot.Z	: Attributo sul verso della rotazione impedita dal vincolo unilatero lungo l'asse vettore Z

Gli attributi sul verso degli spostamenti e delle rotazioni possono assumere i seguenti valori:

- 1 = Impedisce gli spostamenti sia positivi che negativi
- 3 = Impedisce solo gli spostamenti positivi
- 5 = Impedisce solo gli spostamenti negativi

VINCOLI E CEDIMENTI NODALI

IDENTIFIC.	RIGIDEZZE TRASLANTI				RIGIDEZZE ROTAZIONALI				SCOSTAMENTI				VERSO SPOSTAMENTI UNILATERI							
	Nodo3d	Codice	Tx t/m	Ty t/m	Tz t/m	Rx t*m	Ry t*m	Rz t*m	Tr.X cm	Tr.Y cm	Tr.Z cm	Azim Grd	CoZe Grd	Ass. Grd	Tr.X	Tr.Y	Tr.Z	RotX	RotY	RotZ
1 I	-1	-1	-1	-1	-1	-1	-1	-1	0	0	0	0	0	0	0	0	0	0	0	0
3 I	-1	-1	-1	-1	-1	-1	-1	-1	0	0	0	0	0	0	0	0	0	0	0	0
6 I	-1	-1	-1	-1	-1	-1	-1	-1	0	0	0	0	0	0	0	0	0	0	0	0

VINCOLI INTERNI ASTE

IDENT.	VINCOLO NODO INIZIALE							VINCOLO NODO FINALE							COEFFICIENTI BETA	
	RIGIDEZZE TRASLANTI				RIGIDEZZE ROTAZIONALI			RIGIDEZZE TRASLANTI				RIGIDEZZE ROTAZIONALI				
Asta3d	Codice	Tx t/m	Ty t/m	Tz t/m	Rx t/m	Ry t/m	Rz t/m	Codice	Tx t/m	Ty t/m	Tz t/m	Rx t/m	Ry t/m	Rz t/m	Beta X	Beta Y
4 I	-1.0	-1.0	-1.0	-1.0	-1.0	-1.0	-1.0	E	-1.0	-1.0	-1.0	0.0	-1.0	-1.0	1.00	1.00
5 E	-1.0	-1.0	-1.0	0.0	-1.0	-1.0	E	-1.0	-1.0	-1.0	0.0	-1.0	-1.0	-1.0	1.00	1.00
6 E	-1.0	-1.0	-1.0	-1.0	0.0	-1.0	E	-1.0	-1.0	-1.0	-1.0	0.0	-1.0	-1.0	1.00	1.00
7 E	-1.0	-1.0	-1.0	0.0	-1.0	-1.0	E	-1.0	-1.0	-1.0	0.0	-1.0	-1.0	-1.0	1.00	1.00
8 I	-1.0	-1.0	-1.0	-1.0	-1.0	-1.0	E	-1.0	-1.0	-1.0	0.0	-1.0	-1.0	-1.0	1.00	1.00
9 E	-1.0	-1.0	-1.0	-1.0	0.0	-1.0	E	-1.0	-1.0	-1.0	-1.0	0.0	-1.0	-1.0	1.00	1.00

10	E	-1.0	-1.0	-1.0	0.0	-1.0	-1.0	E	-1.0	-1.0	-1.0	0.0	-1.0	-1.0	1.00	1.00
11	E	-1.0	-1.0	-1.0	0.0	-1.0	-1.0	I	-1.0	-1.0	-1.0	-1.0	-1.0	-1.0	1.00	1.00
12	E	-1.0	-1.0	-1.0	0.0	-1.0	-1.0	E	-1.0	-1.0	-1.0	0.0	-1.0	-1.0	1.00	1.00
13	E	-1.0	-1.0	-1.0	0.0	-1.0	-1.0	E	-1.0	-1.0	-1.0	0.0	-1.0	-1.0	1.00	1.00

CARICHI TERMICI/DISTRIBUITI/CONCENTRATI

SPECIFICHE CAMPI TABELLA DI STAMPA

Si riporta appresso la spiegazione delle sigle usate nelle tabelle carichi termici aste, carichi distribuiti aste, carichi concentrati, carichi termici shell e carichi shell.

Carichi aste

Asta3d : Numero dell'asta spaziale
 Dt : Delta termico costante
 ALI.SISMICA: Coefficiente di riduzione del sovraccarico per la condizione in stampa ai fini della calcolo della massa sismica
 Riferimento: Sistema di riferimento dei carichi (0 globale ; 1 locale)
 Qx : Carico distribuito in direzione X sul nodo iniziale
 Qy : Carico distribuito in direzione Y sul nodo iniziale
 Qz : Carico distribuito in direzione Z sul nodo iniziale
 Qx : Carico distribuito in direzione X sul nodo finale
 Qy : Carico distribuito in direzione Y sul nodo finale
 Qz : Carico distribuito in direzione Z sul nodo finale
 Mt : Momento torcente distribuito

Carichi concentrati

Nodo3d : Numero del nodo spaziale
 Fx : Forza in direzione X nel sistema di riferimento globale
 Fy : Forza in direzione Y nel sistema di riferimento globale
 Fz : Forza in direzione Z nel sistema di riferimento globale
 Mx : Momento in direzione X nel sistema di riferimento globale
 My : Momento in direzione Y nel sistema di riferimento globale
 Mz : Momento in direzione Z nel sistema di riferimento globale

Carichi shell

Shell : Numero dello shell spaziale
 Dt : Delta termico costante
 Riferimento: Sistema di riferimento delle pressioni e dei carichi distribuiti; verticale e' la direzione dell'asse Z del sistema di riferimento globale, normale e' la direzione ortogonale all'elemento per le pressioni e ortogonale al lato per i carichi distribuiti.
 Codici: 0 = pressione verticale e carico normale
 1 = pressione normale e carico verticale
 2 = pressione normale e carico normale
 3 = pressione verticale e carico verticale
 P.a : Pressione sul primo vertice dello shell
 P.b : Pressione sul secondo vertice dello shell
 P.c : Pressione sul terzo vertice dello shell
 P.d : Pressione sul quarto vertice dello shell
 Q.ab : Carico distribuito sul lato ab
 Q.bc : Carico distribuito sul lato bc
 Q.cd : Carico distribuito sul lato cd
 Q.da : Carico distribuito sul lato da

CARICHI DISTRIBUITI ASTE

CONDIZIONE DI CARICO N.ro: 1				ALIQUOTA SISMICA: 100					
IDENT.		NODO INIZIALE		NODO FINALE					
Asta3d N.ro	Riferi mento	Qx t/ml	Qy t/ml	Qz t/ml	Qx t/ml	Qy t/ml	Qz t/ml	Mt t*m/ml	Pretens t

2	0	0.00	0.00	-1.03	0.00	0.00	-1.03	0.00	0.00
4	0	0.00	0.00	-1.03	0.00	0.00	-1.03	0.00	0.00
5	0	0.00	0.00	-1.03	0.00	0.00	-1.03	0.00	0.00
7	0	0.00	0.00	-1.03	0.00	0.00	-1.03	0.00	0.00

COMBINAZIONI CARICHI

DESCRIZIONI	1	2	3	4	5
PESO PROPRIO	1.00	1.00	1.00	1.00	1.00
MASSE CONC. DIR. 1	0.00	1.00	-1.00	0.00	0.00
MASSE CONC. DIR. 2	0.00	0.00	0.00	1.00	-1.00

VERIFICHE - ASTE IN LEGNO

VERIFICHE ASTE IN LEGNO																		
DATI DI ASTA	Fili	Quota	Trat	Cmb	N	Mx	My	Tx	Ty	Mz	qn	cMx	cMy	tx	ty	tm	cid	amm.
					(kg)	(kg*m)	(kg*m)	(kg)	(kg)	(kg*m)				(kg/cmq)				
Sez.N.1934	1	0.00	4	-1286	-406	-46	-18	253	21	2	11	1	0	1	0	14	100	
L 25x30	qn=	-45	4	-1286	36	-8	-18	156	21	2	1	0	0	0	0	3	100	
Asta:	1	2	0.00	4	-1286	268	31	-18	59	21	2	7	1	0	0	0	10	100
Instab.:=	432.0	lmax=	432.0															
Sez.N.1934	2	1.43	4	-10304	0	154	52	842	-3	14	0	5	0	2	0	19	100	
L 25x30	qn=	-1023	4	-10582	347	113	52	26	-3	14	9	4	0	0	0	27	100	
Asta:	2	6	0.90	4	-10877	0	69	52	-842	-3	15	0	2	0	2	0	17	100
Instab.:=	164.8	lmax=	164.8															
Sez.N.1934	2	0.00	4	1298	268	94	40	-62	-21	2	7	3	0	0	0	12	100	
L 25x30	qn=	-45	4	1298	33	8	40	-158	-21	2	1	0	0	0	0	3	100	
Asta:	3	3	0.00	4	1298	-408	-78	40	-254	-21	2	11	3	0	1	0	15	100
Instab.:=	428.0	lmax=	299.6															
Sez.N.1934	4	2.25	4	-3753	0	99	-15	1323	11	5	0	3	0	3	0	10	100	
L 25x30	qn=	-1024	4	-4196	855	118	-15	0	11	6	23	4	0	0	0	32	100	
Asta:	4	2	1.43	4	-4639	0	137	-15	-1323	11	6	0	4	0	3	0	12	100
Instab.:=	258.4	lmax=	258.4															
Sez.N.1934	1	1.70	4	-4445	0	-529	-331	1010	15	6	0	17	1	2	0	23	100	
L 25x30	qn=	-1036	4	-4140	492	-199	-331	-26	15	6	13	6	1	0	0	25	100	
Asta:	5	4	2.25	4	-3851	0	115	-331	-1010	15	5	0	4	1	2	0	10	100
Instab.:=	194.9	lmax=	194.9															
Sez.N.1934	2	1.43	4	1795	-8	0	0	59	-10	2	0	0	0	0	0	3	100	
L 25x30	qn=	0	4	1764	33	0	0	59	-10	2	1	0	0	0	0	3	100	
Asta:	6	2	0.00	4	1731	76	0	0	59	-10	2	0	0	0	0	4	100	
Instab.:=	143.0	lmax=	143.0															
Sez.N.1934	6	0.90	4	-13054	0	114	137	1469	-33	17	0	4	0	3	1	22	100	
L 25x30	qn=	-1025	4	-13531	1052	-79	137	26	-33	18	28	3	0	0	1	49	100	
Asta:	7	3	0.00	4	-14026	0	-279	137	-1469	-33	19	0	9	0	3	1	28	100
Instab.:=	286.5	lmax=	286.5															
Sez.N.1934	4	0.62	4	-6614	0	86	-22	42	17	9	0	3	0	0	0	12	100	
L 25x30	qn=	-43	4	-6628	21	108	-22	-1	17	9	1	3	0	0	0	13	100	
Asta:	8	1	0.00	4	-6642	0	130	-22	-42	17	9	0	4	0	0	0	13	100
Instab.:=	197.0	lmax=	197.0															
Sez.N.1934	4	2.25	4	54	61	0	0	-46	-24	0	2	0	0	0	0	2	100	
L 25x30	qn=	0	4	19	24	0	0	-46	-24	0	1	0	0	0	0	1	100	
Asta:	9	4	0.62	4	-19	-14	0	-46	-24	0	0	0	0	0	0	1	100	
Instab.:=	163.0	lmax=	163.0															
Sez.N.1934	2	0.00	4	-3284	0	12	-22	35	13	4	0	0	0	0	0	5	100	
L 25x30	qn=	-39	4	-3264	16	33	-22	0	13	4	0	1	0	0	0	6	100	
Asta:	10	6	0.90	4	-3243	0	53	-22	-35	13	4	0	2	0	0	0	6	100
Instab.:=	180.1	lmax=	180.1															
Sez.N.1934	2	0.00	4	-300	0	-80	-23	35	-1	0	0	3	0	0	0	3	100	
L 25x30	qn=	-39	4	-279	16	-59	-23	0	-1	0	0	2	0	0	0	3	100	
Asta:	11	5	0.90	4	-259	0	-38	-23	-35	-1	0	0	1	0	0	2	100	
Instab.:=	181.0	lmax=	181.0															
Sez.N.1934	4	0.62	4	-6608	0	-67	-65	20	39	9	0	2	0	0	0	1	100	
L 25x30	qn=	-43	4	-6602	5	-37	-65	0	39	9	0	1	0	0	0	1	100	
Asta:	12	5	0.90	4	-6596	0	-7	-65	-20	39	9	0	0	0	0	1	9	100
Instab.:=	92.3	lmax=	92.3															
Sez.N.1934	5	0.90	4	-6396	0	-34	-38	35	10	9	0	1	0	0	0	10	100	
L 25x30	qn=	-43	3	-6508	15	0	0	1	0	9	0	0	0	0	0	9	100	
Asta:	13	2	1.43	4	-6372	0	29	-38	-35	10	8	0	1	0	0	0	9	100
Instab.:=	165.7	lmax=	165.7															

VERIFICA TRAVE 18x18 cm

<i>Caratteristiche geometriche e dei materiali</i>					
CARATTERISTICHE GEOMETRICHE					
Luce L	=	3,00	m		
Interasse tra le travi i	=	1,00	m		
Distanza tra i ritegni torsionali	=	1,00	m		
Base sezione b	=	180	mm		
Altezza sezione h	=	180	mm		
Inclinazione falda α	=	-	$^{\circ}$		
CARATTERISTICHE DEI MATERIALI					
Classe :	2	Specie legnosa :	Abete bianco		
Tensioni nominali	σ_m N/mm ²	$\sigma_{t,0}$ N/mm ²	$\sigma_{t,90}$ N/mm ²	$\sigma_{c,0}$ N/mm ²	$\sigma_{c,90}$ N/mm ²
	10.0	9.0	0.05	9.0	2.0
	τ_v N/mm ²	τ_{tor} N/mm ²	E_0 N/mm ²	E_{90} N/mm ²	G, G_{tor} N/mm ²
	0.80	1.00	10 000	300	500
tipo di elemento:	elemento protetto dalle intemperie				
coefficiente di ambiente :	$K_w = 1,00$				
coefficiente correttivo :	$K_e = 1,00$				
Rapporto di snellezza :	$\lambda_b = 2,36$				
coefficiente di instabilità laterale :	$K_b = 1,000$				

<i>Analisi dei carichi</i>			
L)	Carico di lunga durata	195	daN/m ²
M)	Carico accidentale di media durata	130	daN/m ²
B)	Carico accidentale di breve durata	-	daN/m ²
I)	Carichi istantanei	-	daN/m ²
CARICHI A METRO LINEARE			
L)	Carico di lunga durata	214	daN/m
M)	Carico accidentale di media durata	130	daN/m

B)	Carico accidentale di breve durata	-	daN/m
I)	Carichi istantanei	-	daN/m
TOTALE	=	344	daN/m
<i>Scomposizione dei carichi secondo le due direzioni principali</i>		q_x daN/m	q_y daN/m
L)	Carico di lunga durata	-	214
M)	Carico accidentale di media durata	-	130
B)	Carico accidentale di breve durata	-	-
I)	Carichi istantanei	-	-

Condizioni di carico: verifiche										
K _d	K _{mod}	σ _{m, adm} N/mm ²	τ _{v, adm} N/mm ²	M _{d,x} daN m	M _{d,y} daN m	σ _{m, d} N/mm ²	T _{d,x} daN	T _{d,y} daN	τ _{v, d, x} N/mm ²	τ _{v, d, y} N/mm ²
1,00	1,000	10,00	0,80	-	387	3,99	-	517	-	0,24

Verifica di deformabilità					
Coeff. fluage φ	$u_{adm} =$ 1/300 L cm	u_x cm	u_y cm	u_{tot} cm	u_{tot}
0,5	0,60	-	0,58	0,58	1/515 L

CAPRIATE ZONA B1

I solai di copertura sono realizzati con un'orditura principale costituita da capriate con interasse $i=332$ cm, un'orditura secondaria realizzata con travi aventi dimensione 20x20 cm, travicelli delle dimensioni di 7x7 cm e soprastanti pianelle ed uno strato di malta pozzolanica ($s=2$ cm); un pacchetto soprastante costituito da pannello isolante e guaina di protezione ($s=2$ cm), infine un manto di copertura in coppi e sottocoppi.

Peso specifico legno (Travi e Travicelli)

$$P\gamma = 600 \text{ Kg/m}^3$$

Interasse Travi (20x20 cm)

$$i = 100 \text{ cm}$$

Interasse Travicelli (7x7 cm)

$$i = 30 \text{ cm}$$

Peso specifico Pianelle (15x30x2,5 cm)

$$P\gamma = 1800 \text{ Kg/m}^3$$

Isolamento: pannello isolante e guaina di protezione ($s=2$)

$$cm) \qquad \qquad \qquad P\gamma = 15 \qquad Kg/m^2$$

Coppi e sottocoppi

$P\gamma = 88 \text{ Kg/m}^2$

ANALISI CARICHI

Carichi permanenti: p.p.

Travi Principali	(0,20x0,20x P γ /i)	=	24	Kg/m 2
Travicelli	(0,07x0,07x P γ /i)	=	10	"
Pianelle	(0,15x0,30x0,025x P γ)	=	70	"
Isolamento		=	15	"
Massetto	(600x0,02=	=	12	"
Coppi		=	88	"
	QP	=	219	
Carichi accidentali neve:	QA	=	130	
	Q tot	=	349	Kg/m2

Schema di calcolo: Trave semplicemente appoggiata

Carico lineare sulla capriata: $Q = 349 \text{ Kg/m}^2 \times 3,32 \text{ m} = 1059 \text{ Kg/m}$

Per la verifica dei travicelli si rimanda alle tabelle di calcolo precedenti

R E L A Z I O N E D I C A L C O L O

Sono illustrati con la presente i risultati dei calcoli che riguardano il progetto delle armature, la verifica delle tensioni di lavoro dei materiali e del terreno.

- NORMATIVA DI RIFERIMENTO

La normativa cui viene fatto riferimento nelle fasi di calcolo e progettazione e' la seguente:

- 1) Norme per la disciplina delle opere di conglomerato cementizio armato, normale e precompresso, e strutture metalliche (Legge 05/11/71, n.1086 e D.M. 14/02/92 e D.M. 09/01/96).
- 2) Provvedimenti per le costruzioni con particolari prescrizioni per le zone sismiche (Legge 2/02/74 n.64 e D.M. 16/01/96).
- 3) Criteri generali per la verifica di sicurezza delle costruzioni e dei carichi e sovraccarichi (D.M. 16/01/96).

- METODI DI CALCOLO

I metodi di calcolo adottati per il calcolo sono i seguenti :

- 1) per i carichi statici: metodo delle deformazioni;
- 2) per i carichi sismici metodo dell'analisi modale o dell'analisi sismica statica equivalente.

Per lo svolgimento del calcolo si e' accettata l'ipotesi che, in corrispondenza dei piani sismici, i solai siano infinitamente rigidi nel loro piano e che le masse ai fini del calcolo delle forze di piano siano concentrate alle loro quote.

- CALCOLO SPOSTAMENTI E CARATTERISTICHE

Il calcolo degli spostamenti e delle caratteristiche viene effettuato con il metodo degli elementi finiti (F.E.M.).

Possono essere inseriti due tipi di elementi:

- 1) Elemento monodimensionale asta ('beam') che unisce due nodi aventi ciascuno 6 gradi di liberta'. Per maggiore precisione di calcolo, viene tenuta in conto anche la deformabilita' a taglio e quella assiale di questi elementi. Queste aste inoltre non sono considerate flessibili da nodo a nodo ma hanno sulla parte iniziale e finale due tratti infinitamente rigidi formati dalla parte di trave inglobata nello spessore del pilastro; questi tratti rigidi forniscono al nodo una dimensione reale.
- 2) L'elemento bidimensionale shell ('quad') che unisce quattro nodi nello spazio. Il suo comportamento e' duplice, funziona da lastra per i carichi agenti sul suo piano, da piastra per i carichi ortogonali.

Assemblate tutte le matrici di rigidezza degli elementi in quella della struttura spaziale, la risoluzione del sistema viene perseguita tramite il metodo di Cholesky.

Ai fini della risoluzione della struttura, gli spostamenti X e Y e le rotazioni attorno l'asse verticale Z di tutti i nodi che giacciono su di un impalcato dichiarato rigido sono mutuamente vincolati.

- ANALISI SISMICA STATICÀ A MASSE CONCENTRATE

L'analisi sismica statica e' stata svolta imponendo, come da normativa, un sistema di forze orizzontali parallele alle direzioni ipotizzate come ingresso del sisma. Tali forze, applicate in corrispondenza dei nodi, sono calcolate mediante l'espressione:

$$F = C \cdot R \cdot \varepsilon \cdot \beta \cdot \Gamma \cdot I \cdot M$$

essendo:

C = coefficiente di intensita' sismica;
R = coefficiente di risposta;
 ε = coefficiente di fondazione;
 β = coefficiente di struttura;
 Γ = coefficiente di distribuzione;
I = coefficiente di protezione sismica;
M = peso delle masse strutturali afferenti al nodo

Le forze orizzontali cosi' calcolate vengono ripartite fra gli elementi irrigidenti (pilastri e pareti di taglio). L' analisi tiene conto dell'eventuale presenza di piani dichiarati in input infinitamente rigidi assialmente.

I valori delle sollecitazioni sismiche sono combinate linearmente (in somma e in differenza) con quelle per carichi statici per ottenere le sollecitazioni per sisma nelle direzioni di calcolo.

- VERIFICHE

Le verifiche, svolte secondo il metodo delle tensioni ammissibili, si ottengono inviluppando tutte le condizioni di carico prese in considerazione.

In fase di verifica e' stato differenziato l'elemento trave dall'elemento pilastro. Nell'elemento trave le armature sono disposte in modo asimmetrico, mentre nei pilastri sono sempre disposte simmetricamente.

Per l'elemento trave, l'armatura si determina suddividendola in cinque conci in cui l'armatura si mantiene costante, valutando per tali conci le massime aree di armatura superiore ed inferiore richieste in base ai momenti massimi riscontrati nelle varie combinazioni di carico esaminate. Lo stesso criterio e' stato adottato per il calcolo delle staffe e degli eventuali ferri piegati.

Anche l'elemento pilastro viene scomposto in cinque conci in cui l'armatura si mantiene costante. Vengono pero' riportate le armature massime richieste nella metà superiore (testa) e inferiore (piede).

La fondazione su travi rovesce e' risolta contemporaneamente alla sovrastruttura tenendo in conto sia la rigidezza flettente che quella torcente, utilizzando per l'analisi agli elementi finiti l'elemento asta su suolo elastico alla Winkler.

Le travate possono incrociarsi con angoli qualsiasi e avere dei disassamenti rispetto ai pilastri su cui si appoggiano.

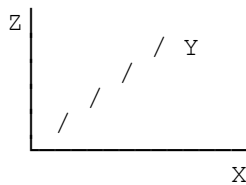
La ripartizione dei carichi, data la natura matriciale del calcolo, tiene automaticamente conto della rigidezza relativa delle varie travate convergenti su ogni nodo.

Le verifiche per gli elementi bidimensionali (setti) vengono effettuate sovrapponendo lo stato tensionale del comportamento a lastra e di quello a piastra. Vengono calcolate le armature delle due facce dell'elemento bidimensionale disponendo i ferri in due direzioni ortogonali.

- SISTEMI DI RIFERIMENTO

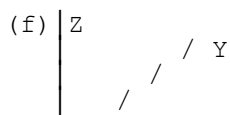
1) Sistema globale della struttura spaziale

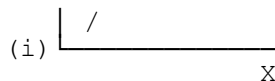
Il sistema di riferimento globale e' costituito da una terna destra di assi cartesiani ortogonali (OXYZ) dove l'asse Z rappresenta l'asse verticale rivolto verso l'alto. Le rotazioni sono considerate positive se concordi con gli assi vettori.



2) Sistema locale delle aste

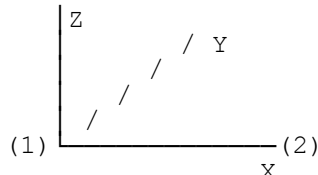
Il sistema di riferimento locale delle aste, inclinate o meno, e' costituito da una terna destra di assi cartesiani ortogonali che ha l'asse Z coincidente con l'asse longitudinale dell'asta e orientamento dal nodo iniziale al nodo finale, gli assi X ed Y sono orientati come nell'archivio delle sezioni.





3) Sistema locale dello shell

Il sistema di riferimento locale dello shell e' costituito da una terna
destra di assi cartesiani ortogonali che ha l'asse X coincidente con la
direzione fra il primo ed il secondo nodo di input, l'asse Y giacente nel
piano
dello shell e l'asse Z in direzione dello spessore.



- UNITA' DI MISURA

Si adottano le seguenti unita' di misura:

[lunghezze]	= m
[forza]	= kgf / daN
[tempo]	= sec
[temperat.]	= °C

- CONVENZIONI SUI SEGNI

I carichi agenti sono:

- 1) - carichi e momenti distribuiti lungo gli assi coordinati;
- 2) - forze e coppie nodali concentrate sui nodi.

Le forze distribuite sono da ritenersi positive se concordi con il sistema di riferimento locale dell'asta, quelle concentrate sono positive se concordi con il sistema di riferimento globale.

I gradi di liberta' nodali sono gli omologhi agli enti forza, e quindi sono definiti positivi se concordi a questi ultimi.

RELAZIONE GENERALE DI CALCOLO

SPECIFICHE CAMPI TABELLA DI STAMPA

Si riporta appresso la spiegazione delle sigle usate nella tabella coordinate nodi.

Nodo3d	: Numero del nodo spaziale
Coord.X	: Cordinata X del punto nel sistema di riferimento globale
Coord.Y	: Cordinata Y del punto nel sistema di riferimento globale
Coord.Z	: Cordinata Z del punto nel sistema di riferimento globale
Filo	: Numero del filo per individuare le travate in c.a.
Piano Sism.	: Numero del piano rigido di appartenenza del nodo
Peso	: Peso sismico del nodo; ogni canale di carico e' stato moltiplicato per il proprio coefficiente di riduzione del sovraccarico

DATI ASTE SPAZIALI

SPECIFICHE CAMPI TABELLA DI STAMPA

Si riporta appresso la spiegazione delle sigle usate nella tabella dati di asta spaziale.

Asta3d	: Numero dell'asta spaziale
Filo in.	: Numero del filo del nodo iniziale
Filo fin.	: Numero del filo del nodo finale
Q. iniz.	: Quota del nodo iniziale
Q. fin.	: Quota del nodo finale
Nod3d iniz.	: Numero del nodo iniziale
Nod3d fin.	: Numero del nodo finale
Cr. Pr.	: Numero del criterio di progetto per la verifica
Sez. N.ro	: Numero in archivio della sezione
Base x Alt	: Per le sezioni rettangolari base ed altezza; per le altre tipologie ingombro massimo della sezione
Magr.	: Dimensione del magrone per sezioni di fondazione
Rot.	: Angolo di rotazione della sezione
dx	: Scostamento in direzione X globale dell'estremo iniziale dell'asta dal nodo iniziale
dy	: Scostamento in direzione Y globale dell'estremo iniziale dell'asta dal nodo iniziale
dz	: Scostamento in direzione Z globale dell'estremo iniziale dell'asta dal nodo iniziale
dx	: Scostamento in direzione X globale dell'estremo finale dell'asta dal nodo finale
dy	: Scostamento in direzione Y globale dell'estremo finale dell'asta dal nodo finale
dz	: Scostamento in direzione Z globale dell'estremo finale dell'asta dal nodo finale

VINCOLI E CEDIMENTI NODALI

SPECIFICHE CAMPI TABELLA DI STAMPA

Si riporta appresso la spiegazione delle sigle usate nella tabella vincoli nodali esterni.

Nodo3d	: Numero del nodo spaziale
Codice	: Codice esplicito per la determinazione del vincolo I = incastro; C = cerniera completa; W = winkler E = esplicito; P = plinto; U = Vincolo unilatero
Tx	: Rigidezza traslante in direzione X sul sistema di riferimento locale del vincolo (-1 spostamento impedito)
Ty	: Rigidezza traslante in direzione Y sul sistema di riferimento locale del vincolo (-1 spostamento impedito)
Tz	: Rigidezza traslante in direzione Z sul sistema di riferimento locale del vincolo (-1 spostamento impedito)
Rx	: Rigidezza rotazionale in direzione X sul sistema di riferimento locale del vincolo (-1 spostamento impedito)
Ry	: Rigidezza rotazionale in direzione Y sul sistema di riferimento locale del vincolo (-1 spostamento impedito)
Rz	: Rigidezza rotazionale in direzione Z sul sistema di riferimento locale del vincolo (-1 spostamento impedito)

SCOSTAMENTO PER I VINCOLI ELASTICI

Tr. X	: Scostamento in direzione X globale del sistema di riferimento locale del vincolo
Tr. Y	: Scostamento in direzione Y globale del sistema di riferimento locale del vincolo
Tr. Z	: Scostamento in direzione Z globale del sistema di riferimento locale del vincolo
Azim	: Angolo formato fra la proiezione dell'asse Z locale sul piano XY e l'asse X globale (azimut)
CoZe	: Angolo formato fra l'asse Z locale e l'asse Z globale

Ass. (complemento allo zenit)
 : Rotazione attorno dell'asse Z locale del sistema di riferimento locale

ATTRIBUTO DI VERSO PER I VINCOLI UNILATERI

Tr. X : Attributo sul verso dello spostamento impedito dal vincolo unilatero lungo la direzione X
 Tr. Y : Attributo sul verso dello spostamento impedito dal vincolo unilatero lungo la direzione Y
 Tr. Z : Attributo sul verso dello spostamento impedito dal vincolo unilatero lungo la direzione Z
 Rot.X : Attributo sul verso della rotazione impedita dal vincolo unilatero lungo l'asse vettore X
 Rot.Y : Attributo sul verso della rotazione impedita dal vincolo unilatero lungo l'asse vettore Y
 Rot.Z : Attributo sul verso della rotazione impedita dal vincolo unilatero lungo l'asse vettore Z

Gli attributi sul verso degli spostamenti e delle rotazioni possono assumere i seguenti valori:

- 1 = Impedisce gli spostamenti sia positivi che negativi
- 3 = Impedisce solo gli spostamenti positivi
- 5 = Impedisce solo gli spostamenti negativi

CARICHI TERMICI/DISTRIBUITI/CONCENTRATI

SPECIFICHE CAMPI TABELLA DI STAMPA

Si riporta appresso la spiegazione delle sigle usate nelle tabelle carichi termici aste, carichi distribuiti aste, carichi concentrati, carichi termici shell e carichi shell.

Carichi aste
 Asta3d : Numero dell'asta spaziale
 Dt : Delta termico costante
 ALI.SISMICA: Coefficiente di riduzione del sovraccarico per la condizione in stampa ai fini della calcolo della massa

sismica
 Riferimento: Sistema di riferimento dei carichi (0 globale ; 1 locale)
 Qx : Carico distribuito in direzione X sul nodo iniziale
 Qy : Carico distribuito in direzione Y sul nodo iniziale
 Qz : Carico distribuito in direzione Z sul nodo iniziale
 QX : Carico distribuito in direzione X sul nodo finale
 QY : Carico distribuito in direzione Y sul nodo finale
 QZ : Carico distribuito in direzione Z sul nodo finale
 Mt : Momento torcente distribuito

Carichi concentrati
 Nodo3d : Numero del nodo spaziale
 FX : Forza in direzione X nel sistema di riferimento globale
 FY : Forza in direzione Y nel sistema di riferimento globale
 FZ : Forza in direzione Z nel sistema di riferimento globale
 MX : Momento in direzione X nel sistema di riferimento

globale
 MY : Momento in direzione Y nel sistema di riferimento
 globale
 MZ : Momento in direzione Z nel sistema di riferimento

Carichi shell
 Shell : Numero dello shell spaziale
 Dt : Delta termico costante

Riferimento: Sistema di riferimento delle pressioni e dei carichi distribuiti; verticale e' la direzione dell'asse Z del sistema di riferimento globale, normale e' la direzione ortogonale all'elemento per le pressioni e ortogonale al lato per i carichi distribuiti.

Codici:

- 0 = pressione verticale e carico normale
- 1 = pressione normale e carico verticale
- 2 = pressione normale e carico normale
- 3 = pressione verticale e carico verticale

P.a	: Pressione sul primo vertice dello shell
P.b	: Pressione sul secondo vertice dello shell
P.c	: Pressione sul terzo vertice dello shell
P.d	: Pressione sul quarto vertice dello shell
Q.ab	: Carico distribuito sul lato ab
Q.bc	: Carico distribuito sul lato bc
Q.cd	: Carico distribuito sul lato cd
Q.da	: Carico distribuito sul lato da

ARCHIVIO SEZIONI IN ACCIAIO

PIATTI UNI				
Sez. N.ro	Descrizione	b mm	s mm	Mat. N.ro
935 L 20x25		200	250	7

PIATTI UNI				
Sez. N.ro	Descrizione	b mm	s mm	Mat. N.ro

ARCHIVIO SEZIONI IN ACCIAIO

CARATTERISTICHE STATICHE DEI PROFILI														
Sez. N.ro	U m ² /m	P kg/m	A cm ³	A _x cm ³	A _y cm ³	J _x cm ⁴	J _y cm ⁴	J _t cm ⁴	W _x cm ³	W _y cm ³	W _t cm ³	i _x cm	i _y cm	sver 1/cm
935	0.90	30.0	500.00	333.33	333.33	26041.7	16666.7	66666.7	2083.33	1666.67	2666.67	7.22	5.77	0.00

ARCHIVIO SEZIONI

CARATTERISTICHE MATERIALE												
Mat. N.ro	E kg/cm ²	G kg/cm ³	σ amm. kg/cm ²	lambda max	f _e	Ω	caric estra	ecc. cm	coeff. ni	ver.	Gamma kg/cmc	
1	2100000	850000	1600	200.0	1	1	1.00	200	1.500	1	7850	
2	2100000	850000	1600	200.0	1	2	1.40	200	1.500	1	7850	
3	2100000	850000	1600	200.0	1	3	1.40	200	1.500	1	7850	
4	2100000	850000	1600	200.0	1	4	1.00	200	1.500	1	7850	
5	2100000	850000	1600	200.0	1	3	0.00	200	1.500	1	7850	
6	125000	10000	100	200.0	1	5	0.00	200	1.500	1	800	
7	100000	5000	100	200.0	1	6	0.00	200	1.500	1	600	

ARCHIVIO SEZIONI IN ACCIAIO

DATI PER VERIFICHE EUROCODICE							
Sez. N.ro	Descrizione	W _x Plastico cm ³	W _y Plastico cm ³	W _t Plastico cm ³	A _x Plastico cm ²	A _y Plastico cm ²	I _w cm ⁶
935 L 20x25		3125.00	2500.00	6250.00	500.00	500.00	0.00

DATI GENERALI DI STRUTTURA

C O E F F I C I E N T I S I S M I C I	

Intensita' sismica :	0.07	Coefficiente di struttura :	1.00
Coefficiente di fondazione:	1.00	Coefficiente protez. sism.:	1.00

COORDINATE DEI NODI

IDENT.	POSIZIONE NODO			ATTRIBUTI		
	Nodo3d N.ro	Coord.X (m)	Coord.Y (m)	Coord.Z (m)	Filo N.ro	Piano Sism.
1	0.00	0.00	0.00	1	0	0.00
2	3.52	0.00	0.00	2	0	0.16
3	6.94	0.00	0.00	3	0	0.00
4	3.52	0.00	1.17	2	0	1.89
5	1.84	0.00	1.74	4	0	2.22
6	0.00	0.00	1.18	1	0	0.00
7	1.84	0.00	0.60	4	0	0.05
8	2.34	0.00	0.74	5	0	0.05
9	4.79	0.00	0.73	6	0	2.17

DATI ASTE SPAZIALI

Ast3d N.ro	IDENTIFICAZIONE						GEOMETRIA				SCOST. INZIALI			SCOST. FINALI		
	Filo in. fin.	Filo Q.iniz. (m)	Q.fin. (m)	Nod3d iniz.	Nod3d fin.	Cr. Pr.	Sez. N.ro	Sigla Sezione	Magr. (cm)	Rot. Grd	dx (cm)	dy (cm)	dz (cm)	dx (cm)	dy (cm)	dz (cm)
1	1	2	0.00	0.00	1	2	0	1935 L 20x25	0	0	0	0	0	0	0	0
2	2	6	1.17	0.73	4	9	0	1935 L 20x25	0	0	0	0	0	0	0	0
3	2	3	0.00	0.00	2	3	0	1935 L 20x25	0	0	0	0	0	0	0	0
4	4	2	1.74	1.17	5	4	0	1935 L 20x25	0	0	0	0	0	0	0	0
5	1	4	1.18	1.74	6	5	0	1935 L 20x25	0	0	0	0	0	0	0	0
6	2	2	1.17	0.00	4	2	0	1935 L 20x25	0	0	0	0	0	0	0	0
7	6	3	0.73	0.00	9	3	0	1935 L 20x25	0	0	0	0	0	0	0	0
8	4	1	0.60	0.00	7	1	0	1935 L 20x25	0	0	0	0	0	0	0	0
9	4	4	1.74	0.60	5	7	0	1935 L 20x25	0	0	0	0	0	0	0	0
10	2	6	0.00	0.73	2	9	0	1935 L 20x25	0	0	0	0	0	0	0	0
11	2	5	0.00	0.74	2	8	0	1935 L 20x25	0	0	0	0	0	0	0	0
12	4	5	0.60	0.74	7	8	0	1935 L 20x25	0	0	0	0	0	0	0	0
13	5	2	0.74	1.17	8	4	0	1935 L 20x25	0	0	0	0	0	0	0	0

VINCOLI E CEDIMENTI NODALI

IDENTIFIC.	RIGIDEZZE TRASLANTI			RIGIDEZZE ROTAZIONALI			SCOSTAMENTI						VERSO SPOSTAMENTI UNILATERI				
	Nodo3d N.ro	Codice	Tx t/m	Ty t/m	Tz t/m	Rx t*m	Ry t*m	Rz t*m	Tr.X cm	Tr.Y cm	Tr.Z cm	Azim. Grd	CoZe Grd	Ass. Grd	Tr.X t/m	Tr.Y t/m	Tr.Z t/m
1	I	-1	-1	-1	-1	-1	-1	-1	0	0	0	0	0	0	0	0	0
3	I	-1	-1	-1	-1	-1	-1	-1	0	0	0	0	0	0	0	0	0
6	I	-1	-1	-1	-1	-1	-1	-1	0	0	0	0	0	0	0	0	0

VINCOLI INTERNI ASTE

IDENT.	VINCOLO NODO INIZIALE						VINCOLO NODO FINALE						COEFFICIENTI BETA			
	Asta3d N.ro	Codice	Tx t/m	Ty t/m	Tz t/m	Rx t/m	Ry t/m	Rz t/m	Codice	Tx t/m	Ty t/m	Tz t/m	Rx t/m	Ry t/m	Rz t/m	Beta X
4	I	-1.0	-1.0	-1.0	-1.0	-1.0	-1.0	E	-1.0	-1.0	-1.0	0.0	-1.0	-1.0	1.00	1.00
5	E	-1.0	-1.0	-1.0	0.0	-1.0	-1.0	E	-1.0	-1.0	-1.0	0.0	-1.0	-1.0	1.00	1.00
6	E	-1.0	-1.0	-1.0	-1.0	0.0	-1.0	E	-1.0	-1.0	-1.0	-1.0	0.0	-1.0	1.00	1.00
7	E	-1.0	-1.0	-1.0	0.0	-1.0	-1.0	E	-1.0	-1.0	-1.0	0.0	-1.0	-1.0	1.00	1.00
8	I	-1.0	-1.0	-1.0	-1.0	0.0	-1.0	E	-1.0	-1.0	-1.0	0.0	-1.0	-1.0	1.00	1.00
9	E	-1.0	-1.0	-1.0	-1.0	0.0	-1.0	E	-1.0	-1.0	-1.0	-1.0	0.0	-1.0	1.00	1.00
10	E	-1.0	-1.0	-1.0	0.0	-1.0	-1.0	E	-1.0	-1.0	-1.0	0.0	-1.0	-1.0	1.00	1.00
11	E	-1.0	-1.0	-1.0	0.0	-1.0	-1.0	I	-1.0	-1.0	-1.0	-1.0	-1.0	-1.0	1.00	1.00
12	E	-1.0	-1.0	-1.0	0.0	-1.0	-1.0	E	-1.0	-1.0	-1.0	0.0	-1.0	-1.0	1.00	1.00
13	E	-1.0	-1.0	-1.0	0.0	-1.0	-1.0	E	-1.0	-1.0	-1.0	0.0	-1.0	-1.0	1.00	1.00

CARICHI DISTRIBUITI ASTE

CONDIZIONE DI CARICO N.ro: 1				ALIQUOTA SISMICA: 100			
IDENT.	NODO INIZIALE			NODO FINALE			

Asta3d N.ro	Riferi mento	Qx t/ml	Qy t/ml	Qz t/ml	Qx t/ml	Qy t/ml	Qz t/ml	Mt t*m/ml	Pretens t
2	0	0.00	0.00	-1.16	0.00	0.00	-1.16	0.00	0.0
4	0	0.00	0.00	-1.16	0.00	0.00	-1.16	0.00	0.0
5	0	0.00	0.00	-1.16	0.00	0.00	-1.16	0.00	0.0
7	0	0.00	0.00	-1.16	0.00	0.00	-1.16	0.00	0.0

COMBINAZIONI CARICHI

DESCRIZIONI	1	2	3	4	5
PESO PROPRIO	1.00	1.00	1.00	1.00	1.00
MASSE CONC. DIR. 1	0.00	1.00	-1.00	0.00	0.00
MASSE CONC. DIR. 2	0.00	0.00	0.00	1.00	-1.00

VERIFICHE ASTE IN LEGNO

VERIFICHE ASTE

Si riporta appresso la spiegazione delle sigle usate nel tabulato di stampa delle verifiche delle aste in acciaio:

- Fili : Fili fissi iniziale e (sotto) finale.
- Quota : Quote dei fili fissi.
- Pos. : Posizione. Le sigle adottate sono le seguenti:
i = iniziale ; c = campata ; f = finale.
- Com : Numero della combinazione di carico riportata, per la quale e' stata effettuata la verifica piu' gravosa per la sezione.
- N : Sforzo normale.
- Mx : Momento relativo all'asse X (sistema locale di asta).
- My : Momento relativo all'asse Y (sistema locale di asta).
- Tx : Taglio in direzione X (sistema locale di asta).
- Ty : Taglio in direzione Y (sistema locale di asta).
- Mz : Momento torcente.
- σn : Tensione normale dovuta a sforzo normale.
- σMx : Tensione normale dovuta a momento Mx.
- σMy : Tensione normale dovuta a momento My.
- τx : Tensione tangenziale dovuta a taglio Tx.
- τy : Tensione tangenziale dovuta a taglio Ty.
- τMt : Tensione tangenziale da momento torcente (puo' riferirsi ad una combinazione di carico diversa da quella in cui si ottiene la massima da taglio).
- σid : Tensione ideale: $\sqrt{(\sigma_n + \sigma_{Mx} + \sigma_{My})^2 + 3 * (\tau_{max} + \tau_{Mt})^2}$, essendo τmax la tensione tangenziale dovuta al taglio risultante, nel punto in cui essa raggiunge il massimo valore assoluto.
- Sez.N. : Numero di archivio della sezione.
- Ac : Coefficiente di amplificazione dei carichi statici. Sostituisce il dato 'Sez.N.' se l' incremento dei carichi statici e' maggiore di 1.
- q_n : Carico distribuito normale all'asse della trave in kg/m, incluso il peso proprio.
- Asta : Numerazione dell'asta.

L'ultima riga delle quattro relative a ciascuna asta, si riferisce ai valori utili ad effettuare le verifiche di instabilita':

- l : Lunghezza dell'asta.
- β*_l : Lunghezza libera d'inflessione.
- N : Sforzo normale per la verifica di instabilita'.
- M_x : Momento M_x equivalente per la verifica di instabilita'.

My : Momento My equivalente per la verifica di instabilità.
 omega : Coefficiente per la verifica a carico di punta.
 lambda : Snellezza massima.
 σ.ins : Tensione equivalente per la verifica a carico di punta.
 σ.sve : Tensione equivalente per la verifica a svergolamento.
 W.max : Freccia massima dell'asta.
 W.rel : Spostamento relativo, depurato dalla traslazione rigida dei nodi.
 W.lim : Spostamento limite.

VERIFICHE - ASTE IN LEGNO

VERIFICHE ASTE IN LEGNO																		
DATI DI ASTA	Fili	Quota	Trat	Cmb	N	Mx	My	Tx	Ty	Mz	σn	σMx	σMy	tx	ty	τMt	σid	σamm.
Sez.N.1935	1	0.00	4	-950	-264	-27	-13	186	17	2	13	2	0	1	1	16	100	
L 20x25	qn=	-30	4	-950	17	-5	-13	133	17	2	1	0	0	0	1	4	100	
Asta:	1	2	0.00	4	-950	206	17	-13	81	17	2	10	1	0	0	1	13	100
Instab.:l=	352.0	Imax=	352.0							lambda=	61	σ.amm=	100	σ.rid=	45		W.max=	0.19 cm
Sez.N.1935	2	1.17	4	-8239	0	110	51	755	-3	16	0	7	0	2	0	23	100	
L 20x25	qn=	-1123	4	-8510	253	74	51	-28	-3	17	12	4	0	0	0	34	100	
Asta:	2	6	0.73	4	-8762	0	41	51	-755	-3	18	0	2	0	2	0	20	100
Instab.:l=	134.4	Imax=	134.4							lambda=	23	σ.amm=	100	σ.rid=	76		W.max=	0.32 cm
Sez.N.1935	2	0.00	4	978	206	60	32	-87	-18	2	10	4	0	0	1	16	100	
L 20x25	qn=	-30	4	978	13	5	32	-139	-18	2	1	0	0	0	1	3	100	
Asta:	3	3	0.00	4	978	-268	-50	32	-190	-18	2	13	3	0	1	1	18	100
Instab.:l=	342.0	Imax=	239.4							lambda=	0	σ.amm=	100	σ.rid=	100		W.max=	0.19 cm
Sez.N.1935	4	1.74	4	-2976	0	109	15	999	5	6	0	7	0	3	0	14	100	
L 20x25	qn=	-1126	4	-3324	443	95	15	-29	5	7	21	6	0	0	0	34	100	
Asta:	4	2	1.17	4	-3653	0	82	15	-999	5	7	0	5	0	3	0	13	100
Instab.:l=	177.4	Imax=	177.4							lambda=	31	σ.amm=	100	σ.rid=	70		W.max=	0.35 cm
Sez.N.1935	1	1.18	4	-3614	0	-392	-267	1094	17	7	0	24	1	3	1	32	100	
L 20x25	qn=	-1137	4	-3281	526	-135	-267	0	17	7	25	8	1	0	1	40	100	
Asta:	5	4	1.74	4	-2948	0	122	-267	-1094	17	6	0	7	1	3	1	15	100
Instab.:l=	192.3	Imax=	192.3							lambda=	33	σ.amm=	100	σ.rid=	67		W.max=	0.29 cm
Sez.N.1935	2	1.17	4	1628	6	0	0	49	-6	3	0	0	0	0	0	4	100	
L 20x25	qn=	0	4	1610	36	0	0	49	-6	3	2	0	0	0	0	5	100	
Asta:	6	2	0.00	4	1593	64	0	0	49	-6	3	3	0	0	0	6	100	
Instab.:l=	117.0	Imax=	117.0							lambda=	0	σ.amm=	100	σ.rid=	100		W.max=	0.27 cm
Sez.N.1935	6	0.73	4	-10620	0	74	126	1278	-27	21	0	4	0	4	1	27	100	
L 20x25	qn=	-1126	4	-11044	725	-66	126	28	-27	22	35	4	0	0	1	61	100	
Asta:	7	3	0.00	4	-11488	0	-212	126	-1278	-27	23	0	13	0	4	1	37	100
Instab.:l=	227.1	Imax=	227.1							lambda=	39	σ.amm=	100	σ.rid=	62		W.max=	0.27 cm
Sez.N.1935	4	0.60	4	-5672	0	59	-20	28	18	11	0	4	0	0	1	15	100	
L 20x25	qn=	-29	4	-5681	13	78	-20	-1	18	11	1	5	0	0	1	17	100	
Asta:	8	1	0.00	4	-5690	0	97	-20	-28	18	11	0	6	0	0	1	17	100
Instab.:l=	193.5	Imax=	193.5							lambda=	34	σ.amm=	100	σ.rid=	67		W.max=	0.19 cm
Sez.N.1935	4	1.74	4	-178	59	0	0	-54	-20	0	3	0	0	0	0	1	4	100
L 20x25	qn=	0	4	-196	27	0	0	-54	-20	0	1	0	0	0	1	2	100	
Asta:	9	4	0.60	4	-212	-3	0	-54	-20	0	0	0	0	0	1	2	100	
Instab.:l=	114.0	Imax=	114.0							lambda=	20	σ.amm=	100	σ.rid=	80		W.max=	0.25 cm
Sez.N.1935	2	0.00	4	-2820	0	12	-19	19	9	6	0	1	0	0	0	6	100	
L 20x25	qn=	-26	4	-2809	7	26	-19	1	9	6	0	2	0	0	0	8	100	
Asta:	10	6	0.73	4	-2798	0	40	-19	9	6	0	2	0	0	0	8	100	
Instab.:l=	146.5	Imax=	146.5							lambda=	25	σ.amm=	100	σ.rid=	74		W.max=	0.24 cm
Sez.N.1935	2	0.00	4	-610	0	-60	-23	18	-2	1	0	4	0	0	0	5	100	
L 20x25	qn=	-25	4	-599	6	-44	-23	0	-2	1	0	3	0	0	0	4	100	
Asta:	11	5	0.74	4	-588	0	-28	-23	-18	-2	1	0	2	0	0	3	100	
Instab.:l=	139.3	Imax=	139.3							lambda=	24	σ.amm=	100	σ.rid=	75		W.max=	0.18 cm
Sez.N.1935	4	0.60	4	-5611	0	-39	-72	7	29	11	0	2	0	0	1	14	100	
L 20x25	qn=	-29	4	-5608	1	-21	-72	0	29	11	0	1	0	0	1	13	100	
Asta:	12	5	0.74	4	-5606	0	-2	-72	-7	29	11	0	0	0	1	12	100	
Instab.:l=	51.9	Imax=	51.9							lambda=	9	σ.amm=	100	σ.rid=	90		W.max=	0.20 cm
Sez.N.1935	5	0.74	4	-5214	0	-23	-46	18	8	10	0	1	0	0	0	12	100	
L 20x25	qn=	-28	4	-5208	6	4	-46	1	8	10	0	0	0	0	0	11	100	
Asta:	13	2	1.17	4	-5201	0	35	-46	-18	8	10	0	2	0	0	0	13	100
Instab.:l=	125.6	Imax=	125.6							lambda=	22	σ.amm=	100	σ.rid=	78		W.max=	0.32 cm

VERIFICA TRAVE 20x20 cm

Caratteristiche geometriche e dei materiali									
CARATTERISTICHE GEOMETRICHE									
Luce L = 3,30 m									
Interasse tra le travi i = 1,00 m									

Distanza tra i ritegni torsionali	=	1,00	m		
Base sezione b	=	200	mm		
Altezza sezione h	=	200	mm		
Inclinazione falda α	=	-	$^{\circ}$		
CARATTERISTICHE DEI MATERIALI					
Classe :	2	Specie legnosa :	Abete bianco		
Tensioni nominali	σ_m N/mm ²	$\sigma_{t,0}$ N/mm ²	$\sigma_{t,90}$ N/mm ²	$\sigma_{c,0}$ N/mm ²	$\sigma_{c,90}$ N/mm ²
	10.0	9.0	0.05	9.0	2.0
	τ_v N/mm ²	τ_{tor} N/mm ²	E_0 N/mm ²	E_{90} N/mm ²	G, G_{tor} N/mm ²
	0.80	1.00	10 000	300	500
tipo di elemento:	elemento protetto dalle intemperie				
coefficiente di ambiente :	K_w		=	1,00	
coefficiente correttivo :	K_e		=	1,00	
Rapporto di snellezza :	λ_b		=	2,24	
coefficiente di instabilità laterale :	K_b		=	1,000	

Analisi dei carichi			
L)	Carico di lunga durata	195	daN/m ²
M)	Carico accidentale di media durata	130	daN/m ²
B)	Carico accidentale di breve durata	-	daN/m ²
I)	Carichi istantanei	-	daN/m ²
CARICHI A METRO LINEARE			
L)	Carico di lunga durata	219	daN/m
M)	Carico accidentale di media durata	130	daN/m
B)	Carico accidentale di breve durata	-	daN/m
I)	Carichi istantanei	-	daN/m
TOTALE		349	daN/m
<i>Scomposizione dei carichi secondo le due direzioni principali</i>		q_x daN/m	q_y daN/m
L)	Carico di lunga durata	-	219

M)	Carico accidentale di media durata	-	130
B)	Carico accidentale di breve durata	-	-
I)	Carichi istantanei	-	-

Condizioni di carico: verifiche

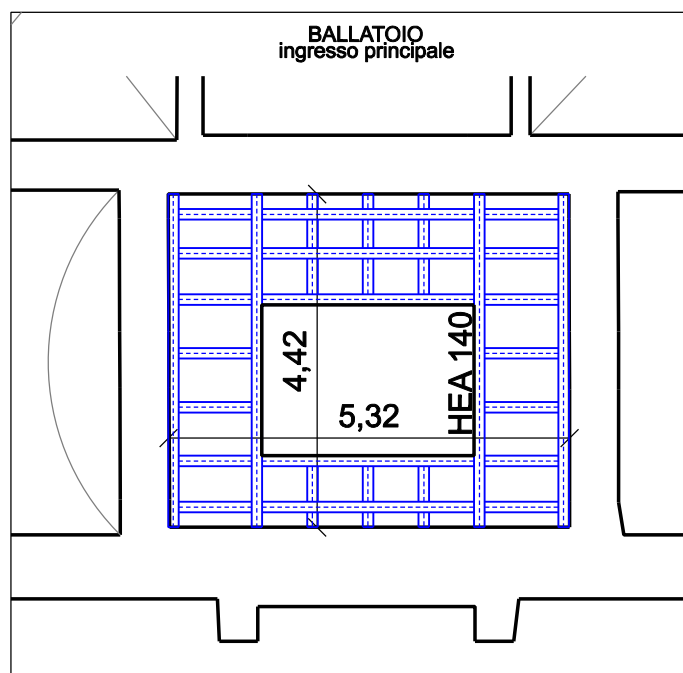
K_d	K_{mod}	σ_m, adm N/mm ²	τ_v, adm N/mm ²	$M_{d,x}$ daN m	$M_{d,y}$ daN m	σ_m, d N/mm ²	$T_{d,x}$ daN	$T_{d,y}$ daN	$\tau_{v, d, x}$ N/mm ²	$\tau_{v, d, y}$ N/mm ²
1,00	1,000	10,00	0,80	-	475	3,56	-	576	-	0,22

Verifica di deformabilità

Coeff. fluage φ	$u_{adm} =$ 1/300 L cm	u_x cm	u_y cm	u_{tot} cm	u_{tot}
0,5	0,66	-	0,57	0,57	1/580 L

BALLATOIO

Il ballatoio sarà realizzato con struttura in acciaio della stessa tipologia dei solai intermedi (struttura mista acciaio-calcestruzzo con connettori); le travi saranno disposte come da progetto con struttura a graticcio i cui elementi risultano saldati; la struttura appoggia su un cordolo perimetrale realizzato con un profilo UPN come evidenziato nell'elaborato grafico.

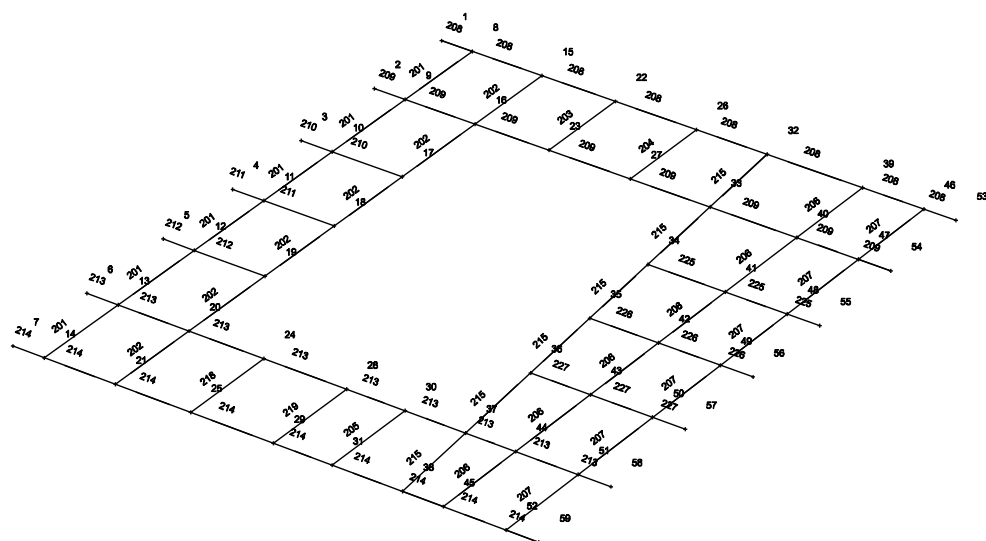


ANALISI DEI CARICHI

Peso Travi HEA 140	P =	24,7	Kg/m
Interasse Travi HEA 140	i =	70	cm
Peso Soletta armata ($P\gamma=2100$ Kg/mc, $s=6$ cm)	P =	126	Kg/m ²
Sottofondo con rete antiritiro per impianti a pavimento ($P\gamma=2100$ Kg/mc, $s=5$ cm)	P =	105	Kg/m ²
Pavimentazione in cotto ($s=2$ cm)	P =	60	Kg/m ²
Tramezzi ripartiti	P =	100	Kg/m ²

Carichi permanenti: p.p.

Travi Principali	(24,7/0,70)	=	17,29	Kg/m ²
Soletta armata		=	126,00	"
Sottofondo per impianti a pavimento		=	105,00	"
Pannello Acustico		=	13,27	"
Pavimentazione		=	60,00	"
Tramezzi ripartiti		=	100,00	"
Controsoffitti ed impianti		=	50,00	"
<hr/>				
Carichi accidentali:	QP	=	471,56	Kg/m ²
	QA	=	300	"
<hr/>				
	Q tot	=	771,56	Kg/m ²



SISTEMI DI RIFERIMENTO

Le coordinate, i carichi concentrati, i cedimenti, le reazioni vincolari e gli spostamenti dei NODI sono riferiti ad una terna destra cartesiana globale con l'asse Z verticale rivolto verso l'alto.
 I carichi in coordinate locali e le sollecitazioni delle ASTE sono riferite ad una terna destra cartesiana locale così definita:

- origine nel nodo iniziale dell'asta;
 - asse X coincidente con l'asse dell'asta e con verso dal nodo iniziale al nodo finale;
 - immaginando la trave a sezione rettangolare l'asse Y è parallelo alla base e l'asse Z è parallelo all'altezza. La rotazione dell'asta comporta quindi una rotazione di tutta la terna locale.

Si può immaginare la terza locale di un'asta comunque disposta nello spazio come derivante da quella globale dopo una serie di trasformazioni:

- una rotazione intorno all'asse Z che porti l'asse X a coincidere con la proiezione dell'asse dell'asta sul piano orizzontale;
- una traslazione lungo il nuovo asse X così definito in modo da portare l'origine a coincidere con la proiezione del nodo iniziale dell'asta sul piano orizzontale;
- una traslazione lungo l'asse Z che porti l'origine a coincidere con il nodo iniziale dell'asta;
- una rotazione intorno all'asse Y così definito che porti l'asse X a coincidere con l'asse dell'asta;
- una rotazione intorno all'asse X così definito pari alla rotazione dell'asta.

In pratica le travi prive di rotazione avranno sempre l'asse Z rivolto verso l'alto e l'asse Y nel piano del solaio, mentre i pilastri privi di rotazione avranno l'asse Y parallelo all'asse Y globale e l'asse Z parallelo ma controverso all'asse X globale. Da notare quindi che per i pilastri la "base" è il lato parallelo a Y.

Le sollecitazioni ed i carichi in coordinate locali negli ELEMENTI BIDIMENSIONALI e nei MURI sono riferiti ad una terza destra cartesiana locale così definita:

- origine nel primo nodo dell'elemento;
- asse X coincidente con la congiungente il primo ed il secondo nodo dell'elemento;
- asse Y definito come prodotto vettoriale fra il versore dell'asse X e il versore della congiungente il primo e il quarto nodo. Asse Z a formare con gli altri due una terza destra.

Praticamente un elemento verticale con l'asse X locale coincidente con l'asse X globale ha anche gli altri assi locali coincidenti con quelli globali.

ROTAZIONI E MOMENTI

Seguendo il principio adottato per tutti i carichi che sono positivi se CONTROVERSI agli assi, anche i momenti concentrati e le rotazioni impresse in coordinate globali risultano positivi se CONTROVERSI al segno positivo delle rotazioni. Il segno positivo dei momenti e delle rotazioni è quello orario per l'osservatore posto nell'origine: X ruota su Y, Y ruota su Z, Z ruota su X. In pratica è sufficiente adottare la regola della mano destra: col pollice rivolto nella direzione dell'asse, la rotazione che porta a chiudere il palmo della mano corrisponde al segno positivo.

UNITÀ DI MISURA

Le unità di misura adottate sono le seguenti:

- lunghezze : m
- forze : kg
- masse : kg massa
- temperature : gradi centigradi
- angoli : gradi sessadimali o radianti

NORMATIVA DI RIFERIMENTO

La normativa di riferimento è la seguente:

- Legge n. 64 del 2/2/1974 - Provvedimenti per le costruzioni con particolari prescrizioni per le zone sismiche.
- D.M. del 24/1/1986 - Norme tecniche relative alle costruzioni sismiche.
- Legge n. 1086 del 5/11/1971 - Norme per la disciplina delle opere di conglomerato cementizio armato, normale e precompresso ed a struttura metallica.
- D.M. del 14/2/1992 - Norme tecniche per l'esecuzione delle opere in c.a. normale e precompresso e per le strutture metalliche.
- D.M. del 9/1/1996 - Norme tecniche per l'esecuzione delle opere in c.a. normale e precompresso e per le strutture metalliche.
- D.M. del 16/1/1996 - Norme tecniche per le costruzioni in zone sismiche.
- Circolare n. 21745 del 30/7/1981 - Legge n. 219 del 14/5/1981 - Art. 10 - Istruzioni relative al rafforzamento degli edifici in muratura danneggiati dal sisma.
- Regione Autonoma Friuli Venezia Giulia - Legge Regionale n. 30 del 20/6/1977 - Documentazione tecnica per la progettazione e direzione delle opere di riparazione degli edifici - Documento Tecnico n. 2 - Raccomandazioni per la riparazione strutturale degli edifici in muratura.
- Norme Tecniche C.N.R. n. 10011-85 del 18/4/1985 - Costruzioni di acciaio - Istruzioni per il calcolo, l'esecuzione, il collaudo e la manutenzione.
- Norme Tecniche C.N.R. n. 10025-84 del 14/12/1984 - Istruzioni per il progetto, l'esecuzione ed il controllo delle strutture prefabbricate in conglomerato cementizio e per le strutture costruite con sistemi industrializzati di acciaio - Istruzioni per il calcolo, l'esecuzione, il collaudo e la manutenzione.
- Circolare n. 65 del 10/4/1997 - Istruzioni per l'applicazione delle "Norme tecniche per le costruzioni in zone sismiche" di cui al D.M. del 16/1/1996.
- Ordinanza n. 3274 del 20/3/2003 - Primi elementi in materia di criteri generali per la classificazione sismica del territorio nazionale e di normative tecniche per le costruzioni in zona sismica.
- Ordinanza n. 3316 del 2/10/2003 - Modifiche ed integrazioni all'Ordinanza n. 3274 del 20/3/2003.
- Ordinanza n. 3431 del 3/5/2005 - Modifiche ed integrazioni all'Ordinanza n. 3274 del 20/3/2003.
- Eurocodice 5 - Progettazione delle strutture di legno.
- DIN 1052 - Metodi di verifica per il legno.

ELENCO VINCOLI NODI

Simbologia

Vn	= Numero del vincolo nodo
Comm.	= Commento
Sx	= Spostamento in dir. X (L=libero, B=bloccato)
Sy	= Spostamento in dir. Y (L=libero, B=bloccato)
Sz	= Spostamento in dir. Z (L=libero, B=bloccato)
Rx	= Rotazione intorno all'asse X (L=libera, B=blockata)
Ry	= Rotazione intorno all'asse Y (L=libera, B=blockata)
Rz	= Rotazione intorno all'asse Z (L=libera, B=blockata)

RL = Rotazione libera
 Ly = Lunghezza (dir. Y locale)
 Lz = Larghezza (dir. Z locale)
 Kt = Coeff. di sotterraneo su suolo elastico alla Winkler

Vn Comm. Sx Sy Sz Rx Ry Rz RL Ly Lz Kt
 <grad> <m> <m> <kg/cmc>

1 Libero L L L L L L
 2 Incastro B B B B B B

ELENCO NODI

Simbologia

Nodo = Numero del nodo
 X = Coordinata X del nodo
 Y = Coordinata Y del nodo
 Z = Coordinata Z del nodo
 Imp. = Numero dell'impalcato
 Vn = Numero del vincolo nodo

Nodo	X <m>	Y <m>	Z <m>	Imp.	Vn	Nodo	X <m>	Y <m>	Z <m>	Imp.	Vn	Nodo	X <m>	Y <m>	Z <m>	Imp.	Vn
1	0.00	0.00	0.00	0	2	2	0.84	0.00	0.00	0	2	3	1.74	0.00	0.00	0	2
4	2.57	0.00	0.00	0	2	5	3.41	0.00	0.00	0	2	6	4.31	0.00	0.00	0	2
7	5.17	0.00	0.00	0	2	8	0.00	0.27	0.00	0	2	9	0.84	0.27	0.00	0	1
10	1.74	0.27	0.00	0	1	11	2.57	0.27	0.00	0	1	12	3.41	0.27	0.00	0	1
13	4.31	0.27	0.00	0	1	14	5.17	0.27	0.00	0	2	15	0.00	0.88	0.00	0	2
16	0.84	0.88	0.00	0	1	17	1.74	0.88	0.00	0	1	18	2.57	0.88	0.00	0	1
19	3.41	0.88	0.00	0	1	20	4.31	0.88	0.00	0	1	21	5.17	0.88	0.00	0	2
22	0.00	1.52	0.00	0	2	23	0.84	1.52	0.00	0	1	24	4.31	1.52	0.00	0	1
25	5.17	1.52	0.00	0	2	26	0.00	2.22	0.00	0	2	27	0.84	2.22	0.00	0	1
28	4.31	2.22	0.00	0	1	29	5.17	2.22	0.00	0	2	30	4.31	2.71	0.00	0	1
31	5.17	2.71	0.00	0	2	32	0.00	2.82	0.00	0	2	33	0.84	2.90	0.00	0	1
34	1.74	2.98	0.00	0	1	35	2.57	3.06	0.00	0	1	36	3.41	3.13	0.00	0	1
37	4.31	3.22	0.00	0	1	38	5.17	3.30	0.00	0	2	39	0.00	3.63	0.00	0	2
40	0.84	3.63	0.00	0	1	41	1.74	3.63	0.00	0	1	42	2.57	3.63	0.00	0	1
43	3.41	3.63	0.00	0	1	44	4.31	3.63	0.00	0	1	45	5.17	3.63	0.00	0	2
46	0.00	4.15	0.00	0	2	47	0.84	4.15	0.00	0	1	48	1.74	4.15	0.00	0	1
49	2.57	4.15	0.00	0	1	50	3.41	4.15	0.00	0	1	51	4.31	4.15	0.00	0	1
52	5.17	4.15	0.00	0	2	53	0.00	4.42	0.00	0	2	54	0.84	4.42	0.00	0	2
55	1.74	4.42	0.00	0	2	56	2.57	4.42	0.00	0	2	57	3.41	4.42	0.00	0	2
58	4.31	4.42	0.00	0	2	59	5.17	4.42	0.00	0	2						

ELENCO MATERIALI

Simbologia

Mat. = Numero del materiale
 Comm. = Commento
 P = Peso specifico
 E = Modulo elastico
 G = Modulo elastico tangenziale
 v = Coeff. di Poisson
 α = Coeff. di dilatazione termica

Mat.	Comm.	P <kg/mc>	E <kg/cmq>	G <kg/cmq>	v	α
1	Calcestruzzo	2500.00	300000	130000	0.10	1.00E-005
2	Acciaio	7850.00	2100000	800000	0.30	1.00E-005

ELENCO SEZIONI ASTE

Simbologia

Sez. = Numero della sezione
 Comm. = Commento
 Tipo = Tipologia
 2C = Doppia C lato labbri
 2Cdx = Doppia C lato costola
 2I = Doppia I
 2L = Doppia L lato labbri
 2Ldx = Doppia L lato costole
 C = C
 Cdx = C destra
 Cir. = Circolare
 Cir.c = Circolare cava
 I = I
 L = L
 Ldx = L destra
 Om. = Omega

Pg = Pi greco
 Pr = Poligono regolare
 Prc = Poligono regolare cavo
 Pc = Per coordinate
 Ia = Inerzie assegnate
 R = Rettangolare
 Rc = Rettangolare cava
 T = T
 U = U
 Ur = U rovescia
 V = V
 Vr = V rovescia
 Z = Z
 Zdx = Z destra
 Ts = T stondata
 Ls = L stondata
 Cs = C stondata
 Is = I stondata
 Dis. = Disegnata
 Me = Membratura
 G = Generica
 T = Trave
 P = Pilastro
 Ver. = Verifica prevista
 N = Nessuna
 C = Cemento armato
 A = Acciaio
 L = Legno
 B = Base
 H = Altezza
 s = Spessore ala
 a = Spessore anima
 r = Raggio raccordo anima-ala
 r1 = Raggio in testa ala
 Ma = Numero del materiale
 C = Numero del criterio di progetto

Sez.	Comm.	Tipo	Me	Ver.	B	H	s	a	r	r1	Ma	C
					<cm>							

1	HEA	140	Is	T	A	14	13.3	0.85	0.55	1.2	0	2	1
---	-----	-----	----	---	---	----	------	------	------	-----	---	---	---

ELENCO VINCOLI ASTE

Simbologia

Va = Numero del vincolo asta
 Comm. = Commento
 Tipo = Tipologia
 SVI = Definizione di vincolamenti interni
 ELA = Vincolo su suolo elastico alla Winkler
 BIE-RTC = Biella resistente a trazione e a compressione
 BIE-RC = Biella resistente solo a compressione
 BIE-RT = Biella resistente solo a trazione
 Ni = Sforzo normale nodo iniziale (0=sbloccato, 1=blockato)
 Tyi = Taglio in dir. Y locale nodo iniziale (0=sbloccato, 1=blockato)
 Tzi = Taglio in dir. Z locale nodo iniziale (0=sbloccato, 1=blockato)
 Mxi = Momento intorno all'asse X locale nodo iniziale (0=sbloccato, 1=blockato)
 Myi = Momento intorno all'asse Y locale nodo iniziale (0=sbloccato, 1=blockato)
 Mzi = Momento intorno all'asse Z locale nodo iniziale (0=sbloccato, 1=blockato)
 Nf = Sforzo normale nodo finale (0=sbloccato, 1=blockato)
 Tyf = Taglio in dir. Y locale nodo finale (0=sbloccato, 1=blockato)
 Tzf = Taglio in dir. Z locale nodo finale (0=sbloccato, 1=blockato)
 Mxf = Momento intorno all'asse X locale nodo finale (0=sbloccato, 1=blockato)
 Myf = Momento intorno all'asse Y locale nodo finale (0=sbloccato, 1=blockato)
 Mzf = Momento intorno all'asse Z locale nodo finale (0=sbloccato, 1=blockato)
 Kt = Coeff. di sotterraneo su suolo elastico alla Winkler

Va	Comm.	Tipo	Ni	Tyi	Tzi	Mxi	Myi	Mzi	Nf	Tyf	Tzf	Mxf	Myf	Mzf	Kt
												<kg/cmc>			

1	Inc+Inc	SVI	1	1	1	1	1	1	1	1	1	1	1	1	1
---	---------	-----	---	---	---	---	---	---	---	---	---	---	---	---	---

ELENCO ASTE

Simbologia

Asta = Numero dell'asta
 N1 = Nodo iniziale
 N2 = Nodo finale
 Sez. = Numero della sezione
 Va = Numero del vincolo asta
 Par. = Numero dei parametri aggiuntivi
 Rot. = Rotazione

FF = Filo fisso
 Dy1 = Scost. filo fisso Y1
 Dy2 = Scost. filo fisso Y2
 Dz1 = Scost. filo fisso Z1
 Dz2 = Scost. filo fisso Z2

Asta	N1	N2	Sez.	Va	Par.	Rot.	FF	Dy1	Dy2	Dz1	Dz2
							<grad>	<cm>	<cm>	<cm>	<cm>
201	8	9	1	1			0.00 11	0	0	0	0
201	9	10	1	1			0.00 11	0	0	0	0
201	10	11	1	1			0.00 11	0	0	0	0
201	11	12	1	1			0.00 11	0	0	0	0
201	12	13	1	1			0.00 11	0	0	0	0
201	13	14	1	1			0.00 11	0	0	0	0
202	15	16	1	1			0.00 11	0	0	0	0
202	16	17	1	1			0.00 11	0	0	0	0
202	17	18	1	1			0.00 11	0	0	0	0
202	18	19	1	1			0.00 11	0	0	0	0
202	19	20	1	1			0.00 11	0	0	0	0
202	20	21	1	1			0.00 11	0	0	0	0
203	22	23	1	1			0.00 11	0	0	0	0
204	26	27	1	1			0.00 11	0	0	0	0
205	30	31	1	1			0.00 11	0	0	0	0
206	39	40	1	1			0.00 11	0	0	0	0
206	40	41	1	1			0.00 11	0	0	0	0
206	41	42	1	1			0.00 11	0	0	0	0
206	42	43	1	1			0.00 11	0	0	0	0
206	43	44	1	1			0.00 11	0	0	0	0
206	44	45	1	1			0.00 11	0	0	0	0
207	46	47	1	1			0.00 11	0	0	0	0
207	47	48	1	1			0.00 11	0	0	0	0
207	48	49	1	1			0.00 11	0	0	0	0
207	49	50	1	1			0.00 11	0	0	0	0
207	50	51	1	1			0.00 11	0	0	0	0
207	51	52	1	1			0.00 11	0	0	0	0
208	1	8	1	1			0.00 11	0	0	0	0
208	8	15	1	1			0.00 11	0	0	0	0
208	15	22	1	1			0.00 11	0	0	0	0
208	22	26	1	1			0.00 11	0	0	0	0
208	26	32	1	1			0.00 11	0	0	0	0
208	32	39	1	1			0.00 11	0	0	0	0
208	39	46	1	1			0.00 11	0	0	0	0
208	46	53	1	1			0.00 11	0	0	0	0
209	2	9	1	1			0.00 11	0	0	0	0
209	9	16	1	1			0.00 11	0	0	0	0
209	16	23	1	1			0.00 11	0	0	0	0
209	23	27	1	1			0.00 11	0	0	0	0
209	27	33	1	1			0.00 11	0	0	0	0
209	33	40	1	1			0.00 11	0	0	0	0
209	40	47	1	1			0.00 11	0	0	0	0
209	47	54	1	1			0.00 11	0	0	0	0
210	3	10	1	1			0.00 11	0	0	0	0
210	10	17	1	1			0.00 11	0	0	0	0
211	4	11	1	1			0.00 11	0	0	0	0
211	11	18	1	1			0.00 11	0	0	0	0
212	5	12	1	1			0.00 11	0	0	0	0
212	12	19	1	1			0.00 11	0	0	0	0
213	6	13	1	1			0.00 11	0	0	0	0
213	13	20	1	1			0.00 11	0	0	0	0
213	20	24	1	1			0.00 11	0	0	0	0
213	24	28	1	1			0.00 11	0	0	0	0
213	28	30	1	1			0.00 11	0	0	0	0
213	30	37	1	1			0.00 11	0	0	0	0
213	37	44	1	1			0.00 11	0	0	0	0
213	44	51	1	1			0.00 11	0	0	0	0
213	51	58	1	1			0.00 11	0	0	0	0
214	7	14	1	1			0.00 11	0	0	0	0
214	14	21	1	1			0.00 11	0	0	0	0
214	21	25	1	1			0.00 11	0	0	0	0
214	25	29	1	1			0.00 11	0	0	0	0
214	29	31	1	1			0.00 11	0	0	0	0
214	31	38	1	1			0.00 11	0	0	0	0
214	38	45	1	1			0.00 11	0	0	0	0
214	45	52	1	1			0.00 11	0	0	0	0
214	52	59	1	1			0.00 11	0	0	0	0
215	32	33	1	1			0.00 11	0	0	0	0
215	33	34	1	1			0.00 11	0	0	0	0
215	34	35	1	1			0.00 11	0	0	0	0
215	35	36	1	1			0.00 11	0	0	0	0
215	36	37	1	1			0.00 11	0	0	0	0
215	37	38	1	1			0.00 11	0	0	0	0
218	24	25	1	1			0.00 11	0	0	0	0
219	28	29	1	1			0.00 11	0	0	0	0

225	34	41	1	1	0.00	11	0	0	0	0
225	41	48	1	1	0.00	11	0	0	0	0
225	48	55	1	1	0.00	11	0	0	0	0
226	35	42	1	1	0.00	11	0	0	0	0
226	42	49	1	1	0.00	11	0	0	0	0
226	49	56	1	1	0.00	11	0	0	0	0
227	36	43	1	1	0.00	11	0	0	0	0
227	43	50	1	1	0.00	11	0	0	0	0
227	50	57	1	1	0.00	11	0	0	0	0

CONDIZIONI DI CARICO ELEMENTARI

Simbologia

CCE = Numero della condizione di carico elementare
 Comm. = Commento
 s = Coeff. di riduzione
 Mx = Moltiplicatore della massa in dir. X
 My = Moltiplicatore della massa in dir. Y
 Mz = Moltiplicatore della massa in dir. Z
 Jpx = Moltiplicatore del momento d'inerzia intorno all'asse X
 Jpy = Moltiplicatore del momento d'inerzia intorno all'asse Y
 Jpz = Moltiplicatore del momento d'inerzia intorno all'asse Z

CCE	Comm.	s	Mx	My	Mz	Jpx	Jpy	Jpz
-----	-----	-----	-----	-----	-----	-----	-----	-----
1	Carichi permanenti	1.00	1.00	1.00	0.00	0.00	0.00	1.00

ELENCO CARICHI ASTE

CONDIZIONE DI CARICO 1: Carichi permanenti

CARICHI DISTRIBUITI

Simbologia

Asta = Numero dell'asta
 N1 = Nodo iniziale
 N2 = Nodo finale
 S = Numero del solaio di provenienza
 T = Tipo di carico
 QA = Carico accidentale da solaio
 QP = Carico permanente da solaio
 PP = Peso proprio
 M = Manuale
 DC = Direzione del carico
 XG,YG,ZG = secondo gli assi Globali
 XL,YL,ZL = secondo gli assi Locali
 Xi = Distanza iniziale
 Qi = Carico iniziale
 Xf = Distanza finale
 Qf = Carico finale

Asta	N1	N2	S	T	DC	Xi	Qi	Xf	Qf	Asta	N1	N2	S	T	DC	Xi	Qi	Xf	Qf
						<m>	<kg/m>	<m>	<kg/m>							<m>	<kg/m>	<m>	<kg/m>
201	8	9	--	M	ZG	0.00	800.00	0.84	800.00	201	8	9	--	PP	ZG	0.00	24.66	0.84	24.66
201	9	10	--	M	ZG	0.00	800.00	0.90	800.00	201	9	10	--	PP	ZG	0.00	24.66	0.90	24.66
201	10	11	--	M	ZG	0.00	800.00	0.83	800.00	201	10	11	--	PP	ZG	0.00	24.66	0.83	24.66
201	11	12	--	M	ZG	0.00	800.00	0.83	800.00	201	11	12	--	PP	ZG	0.00	24.66	0.83	24.66
201	12	13	--	M	ZG	0.00	800.00	0.90	800.00	201	12	13	--	PP	ZG	0.00	24.66	0.90	24.66
201	13	14	--	M	ZG	0.00	800.00	0.86	800.00	201	13	14	--	PP	ZG	0.00	24.66	0.86	24.66
202	15	16	--	M	ZG	0.00	800.00	0.84	800.00	202	15	16	--	PP	ZG	0.00	24.66	0.84	24.66
202	16	17	--	M	ZG	0.00	800.00	0.90	800.00	202	16	17	--	PP	ZG	0.00	24.66	0.90	24.66
202	17	18	--	M	ZG	0.00	800.00	0.83	800.00	202	17	18	--	PP	ZG	0.00	24.66	0.83	24.66
202	18	19	--	M	ZG	0.00	800.00	0.83	800.00	202	18	19	--	PP	ZG	0.00	24.66	0.83	24.66
202	19	20	--	M	ZG	0.00	800.00	0.90	800.00	202	19	20	--	PP	ZG	0.00	24.66	0.90	24.66
202	20	21	--	M	ZG	0.00	800.00	0.86	800.00	202	20	21	--	PP	ZG	0.00	24.66	0.86	24.66
203	22	23	--	M	ZG	0.00	800.00	0.84	800.00	203	22	23	--	PP	ZG	0.00	24.66	0.84	24.66
204	26	27	--	M	ZG	0.00	800.00	0.84	800.00	204	26	27	--	PP	ZG	0.00	24.66	0.84	24.66
205	30	31	--	M	ZG	0.00	800.00	0.86	800.00	205	30	31	--	PP	ZG	0.00	24.66	0.86	24.66
206	39	40	--	M	ZG	0.00	800.00	0.84	800.00	206	39	40	--	PP	ZG	0.00	24.66	0.84	24.66
206	40	41	--	M	ZG	0.00	800.00	0.90	800.00	206	40	41	--	PP	ZG	0.00	24.66	0.90	24.66
206	41	42	--	M	ZG	0.00	800.00	0.83	800.00	206	41	42	--	PP	ZG	0.00	24.66	0.83	24.66
206	42	43	--	M	ZG	0.00	800.00	0.83	800.00	206	42	43	--	PP	ZG	0.00	24.66	0.83	24.66
206	43	44	--	M	ZG	0.00	800.00	0.90	800.00	206	43	44	--	PP	ZG	0.00	24.66	0.90	24.66
206	44	45	--	M	ZG	0.00	800.00	0.86	800.00	206	44	45	--	PP	ZG	0.00	24.66	0.86	24.66
207	46	47	--	M	ZG	0.00	800.00	0.84	800.00	207	46	47	--	PP	ZG	0.00	24.66	0.84	24.66
207	47	48	--	M	ZG	0.00	800.00	0.90	800.00	207	47	48	--	PP	ZG	0.00	24.66	0.90	24.66
207	48	49	--	M	ZG	0.00	800.00	0.83	800.00	207	48	49	--	PP	ZG	0.00	24.66	0.83	24.66
207	49	50	--	M	ZG	0.00	800.00	0.83	800.00	207	49	50	--	PP	ZG	0.00	24.66	0.83	24.66
207	50	51	--	M	ZG	0.00	800.00	0.90	800.00	207	50	51	--	PP	ZG	0.00	24.66	0.90	24.66
207	51	52	--	M	ZG	0.00	800.00	0.86	800.00	207	51	52	--	PP	ZG	0.00	24.66	0.86	24.66
208	1	8	--	M	ZG	0.00	800.00	0.27	800.00	208	1	8	--	PP	ZG	0.00	24.66	0.27	24.66

208 8 15 -- M	ZG 0.00	800.00	0.61	800.00	208 8 15 -- PP	ZG 0.00	24.66	0.61	24.66
208 15 22 -- M	ZG 0.00	800.00	0.64	800.00	208 15 22 -- PP	ZG 0.00	24.66	0.64	24.66
208 22 26 -- M	ZG 0.00	800.00	0.70	800.00	208 22 26 -- PP	ZG 0.00	24.66	0.70	24.66
208 26 32 -- M	ZG 0.00	800.00	0.60	800.00	208 26 32 -- PP	ZG 0.00	24.66	0.60	24.66
208 32 39 -- M	ZG 0.00	800.00	0.81	800.00	208 32 39 -- PP	ZG 0.00	24.66	0.81	24.66
208 39 46 -- M	ZG 0.00	800.00	0.52	800.00	208 39 46 -- PP	ZG 0.00	24.66	0.52	24.66
208 46 53 -- M	ZG 0.00	800.00	0.27	800.00	208 46 53 -- PP	ZG 0.00	24.66	0.27	24.66
209 2 9 -- M	ZG 0.00	800.00	0.27	800.00	209 2 9 -- PP	ZG 0.00	24.66	0.27	24.66
209 9 16 -- M	ZG 0.00	800.00	0.61	800.00	209 9 16 -- PP	ZG 0.00	24.66	0.61	24.66
209 16 23 -- M	ZG 0.00	800.00	0.64	800.00	209 16 23 -- PP	ZG 0.00	24.66	0.64	24.66
209 23 27 -- M	ZG 0.00	800.00	0.70	800.00	209 23 27 -- PP	ZG 0.00	24.66	0.70	24.66
209 27 33 -- M	ZG 0.00	800.00	0.68	800.00	209 27 33 -- PP	ZG 0.00	24.66	0.68	24.66
209 33 40 -- M	ZG 0.00	800.00	0.73	800.00	209 33 40 -- PP	ZG 0.00	24.66	0.73	24.66
209 40 47 -- M	ZG 0.00	800.00	0.52	800.00	209 40 47 -- PP	ZG 0.00	24.66	0.52	24.66
209 47 54 -- M	ZG 0.00	800.00	0.27	800.00	209 47 54 -- PP	ZG 0.00	24.66	0.27	24.66
210 3 10 -- M	ZG 0.00	800.00	0.27	800.00	210 3 10 -- PP	ZG 0.00	24.66	0.27	24.66
210 10 17 -- M	ZG 0.00	800.00	0.61	800.00	210 10 17 -- PP	ZG 0.00	24.66	0.61	24.66
211 4 11 -- M	ZG 0.00	800.00	0.27	800.00	211 4 11 -- PP	ZG 0.00	24.66	0.27	24.66
211 11 18 -- M	ZG 0.00	800.00	0.61	800.00	211 11 18 -- PP	ZG 0.00	24.66	0.61	24.66
212 5 12 -- M	ZG 0.00	800.00	0.27	800.00	212 5 12 -- PP	ZG 0.00	24.66	0.27	24.66
212 12 19 -- M	ZG 0.00	800.00	0.61	800.00	212 12 19 -- PP	ZG 0.00	24.66	0.61	24.66
213 6 13 -- M	ZG 0.00	800.00	0.27	800.00	213 6 13 -- PP	ZG 0.00	24.66	0.27	24.66
213 13 20 -- M	ZG 0.00	800.00	0.61	800.00	213 13 20 -- PP	ZG 0.00	24.66	0.61	24.66
213 20 24 -- M	ZG 0.00	800.00	0.64	800.00	213 20 24 -- PP	ZG 0.00	24.66	0.64	24.66
213 24 28 -- M	ZG 0.00	800.00	0.70	800.00	213 24 28 -- PP	ZG 0.00	24.66	0.70	24.66
213 28 30 -- M	ZG 0.00	800.00	0.49	800.00	213 28 30 -- PP	ZG 0.00	24.66	0.49	24.66
213 30 37 -- M	ZG 0.00	800.00	0.51	800.00	213 30 37 -- PP	ZG 0.00	24.66	0.51	24.66
213 37 44 -- M	ZG 0.00	800.00	0.42	800.00	213 37 44 -- PP	ZG 0.00	24.66	0.42	24.66
213 44 51 -- M	ZG 0.00	800.00	0.52	800.00	213 44 51 -- PP	ZG 0.00	24.66	0.52	24.66
213 51 58 -- M	ZG 0.00	800.00	0.27	800.00	213 51 58 -- PP	ZG 0.00	24.66	0.27	24.66
214 7 14 -- M	ZG 0.00	800.00	0.27	800.00	214 7 14 -- PP	ZG 0.00	24.66	0.27	24.66
214 14 21 -- M	ZG 0.00	800.00	0.61	800.00	214 14 21 -- PP	ZG 0.00	24.66	0.61	24.66
214 21 25 -- M	ZG 0.00	800.00	0.64	800.00	214 21 25 -- PP	ZG 0.00	24.66	0.64	24.66
214 25 29 -- M	ZG 0.00	800.00	0.70	800.00	214 25 29 -- PP	ZG 0.00	24.66	0.70	24.66
214 29 31 -- M	ZG 0.00	800.00	0.49	800.00	214 29 31 -- PP	ZG 0.00	24.66	0.49	24.66
214 31 38 -- M	ZG 0.00	800.00	0.58	800.00	214 31 38 -- PP	ZG 0.00	24.66	0.58	24.66
214 38 45 -- M	ZG 0.00	800.00	0.34	800.00	214 38 45 -- PP	ZG 0.00	24.66	0.34	24.66
214 45 52 -- M	ZG 0.00	800.00	0.52	800.00	214 45 52 -- PP	ZG 0.00	24.66	0.52	24.66
214 52 59 -- M	ZG 0.00	800.00	0.27	800.00	214 52 59 -- PP	ZG 0.00	24.66	0.27	24.66
215 32 33 -- M	ZG 0.00	800.00	0.84	800.00	215 32 33 -- PP	ZG 0.00	24.66	0.84	24.66
215 33 34 -- M	ZG 0.00	800.00	0.91	800.00	215 33 34 -- PP	ZG 0.00	24.66	0.91	24.66
215 34 35 -- M	ZG 0.00	800.00	0.84	800.00	215 34 35 -- PP	ZG 0.00	24.66	0.84	24.66
215 35 36 -- M	ZG 0.00	800.00	0.84	800.00	215 35 36 -- PP	ZG 0.00	24.66	0.84	24.66
215 36 37 -- M	ZG 0.00	800.00	0.91	800.00	215 36 37 -- PP	ZG 0.00	24.66	0.91	24.66
215 37 38 -- M	ZG 0.00	800.00	0.86	800.00	215 37 38 -- PP	ZG 0.00	24.66	0.86	24.66
218 24 25 -- M	ZG 0.00	800.00	0.86	800.00	218 24 25 -- PP	ZG 0.00	24.66	0.86	24.66
219 28 29 -- M	ZG 0.00	800.00	0.86	800.00	219 28 29 -- PP	ZG 0.00	24.66	0.86	24.66
225 34 41 -- M	ZG 0.00	800.00	0.65	800.00	225 34 41 -- PP	ZG 0.00	24.66	0.65	24.66
225 41 48 -- M	ZG 0.00	800.00	0.52	800.00	225 41 48 -- PP	ZG 0.00	24.66	0.52	24.66
225 48 55 -- M	ZG 0.00	800.00	0.27	800.00	225 48 55 -- PP	ZG 0.00	24.66	0.27	24.66
226 35 42 -- M	ZG 0.00	800.00	0.57	800.00	226 35 42 -- PP	ZG 0.00	24.66	0.57	24.66
226 42 49 -- M	ZG 0.00	800.00	0.52	800.00	226 42 49 -- PP	ZG 0.00	24.66	0.52	24.66
226 49 56 -- M	ZG 0.00	800.00	0.27	800.00	226 49 56 -- PP	ZG 0.00	24.66	0.27	24.66
227 36 43 -- M	ZG 0.00	800.00	0.50	800.00	227 36 43 -- PP	ZG 0.00	24.66	0.50	24.66
227 43 50 -- M	ZG 0.00	800.00	0.52	800.00	227 43 50 -- PP	ZG 0.00	24.66	0.52	24.66
227 50 57 -- M	ZG 0.00	800.00	0.27	800.00	227 50 57 -- PP	ZG 0.00	24.66	0.27	24.66

PARAMETRI DI CALCOLO

La modellazione della struttura e la rielaborazione dei risultati del calcolo sono stati effettuati con:
ModeSt ver. 7.9, prodotto da Tecnisoft s.a.s. - Prato

La struttura è stata calcolata utilizzando come solutore agli elementi finiti:
SAP2000 ver. 91.4, prodotto da Computers & Structures Inc. - Berkeley, CA

Tipo di normativa: tensioni ammissibili

Tipo di calcolo: calcolo statico

Schematizzazione piani rigidi: nessun impalcato rigido

Modalità di recupero masse secondarie: mantenere sul nodo masse e forze relative

Opzioni di calcolo:

- Sono state considerate infinitamente rigide le zone di connessione fra travi, pilastri ed elementi bidimensionali con una riduzione del 20%
- Calcolo con offset rigidi dai nodi: no
- Uniformare i carichi variabili: no
- Massimizzare i carichi variabili: no
- Minimo carico da considerare: 0 <kg/m>
- Recupero carichi zone rigide: taglio e momento flettente
- Modalità di combinazione momento torcente: disaccoppiare le azioni

Opzioni del solutore:

- Lunghezza max elementi trave su suolo elastico: 0.3
- Numero min. di conci per trave su suolo elastico: 3
- Usare bidimensionali con deformabilità a taglio: No

- Intervento manuale in SAP2000: No

CONDIZIONI DI CARICO ELEMENTARI:

Simbologia

CCE = Numero della condizione di carico elementare
Comm. = Commento
s = Coeff. di riduzione
Mx = Moltiplicatore della massa in dir. X
My = Moltiplicatore della massa in dir. Y
Mz = Moltiplicatore della massa in dir. Z
Jpx = Moltiplicatore del momento d'inerzia intorno all'asse X
Jpy = Moltiplicatore del momento d'inerzia intorno all'asse Y
Jpz = Moltiplicatore del momento d'inerzia intorno all'asse Z

CCE	Comm.	s	Mx	My	Mz	Jpx	Jpy	Jpz

1 Carichi permanenti 1.00 1.00 1.00 0.00 0.00 0.00 1.00

COMBINAZIONI DELLE CCE:

Simbologia

CC = Numero della combinazione delle condizioni di carico elementari
Comm. = Commento
An. = Tipo di analisi
L = Lineare
NL = Non lineare
Bk = Buckling
S = Si
N = No

CC	Comm.	An.	Bk	1

1 Combinazione CCE L N 1.00				

ELENCO MASSE NODI:

Simbologia

Nodo = Numero del nodo
Mo = Massa orizzontale

Nodo	Mo	Nodo	Mo	Nodo	Mo	Nodo	Mo	Nodo	Mo	Nodo	Mo
<KG>		<KG>		<KG>		<KG>		<KG>		<KG>	

9	110.21	10	109.87	11	106.97	12	109.91	13	111.09	16	125.76
18	95.62	19	98.56	20	126.64	23	91.63	24	92.51	27	93.35
30	78.09	33	132.96	34	100.55	35	94.44	36	94.20	37	113.21
41	121.93	42	115.84	43	115.59	44	113.32	47	106.26	48	105.92
50	105.96	51	107.14								49 103.02

SPOSTAMENTI NODALI ALLE TA:

Simbologia

Nodo = Numero del nodo
Sx = Spostamento in dir. X
CC = Numero della combinazione delle condizioni di carico elementari
Sy = Spostamento in dir. Y
Sz = Spostamento in dir. Z
Rx = Rotazione intorno all'asse X
Ry = Rotazione intorno all'asse Y
Rz = Rotazione intorno all'asse Z

Nodo	Sx	CC	Sy	CC	Sz	CC	Rx	CC	Ry	CC	Rz	CC
	<cm>		<cm>		<cm>		<rad>		<rad>		<rad>	

9 Max	0	1	0	1	-0.01	1	0.0000	1	0.0000	1	0.0000	1
9 Min.	0	1	0	1	-0.01	1	0.0000	1	0.0000	1	0.0000	1
10 Max	0	1	0	1	-0.02	1	0.0000	1	0.0000	1	0.0000	1
10 Min.	0	1	0	1	-0.02	1	0.0000	1	0.0000	1	0.0000	1
11 Max	0	1	0	1	-0.03	1	-0.0011	1	0.0000	1	0.0000	1
11 Min.	0	1	0	1	-0.03	1	-0.0011	1	0.0000	1	0.0000	1
12 Max	0	1	0	1	-0.02	1	0.0000	1	0.0000	1	0.0000	1
12 Min.	0	1	0	1	-0.02	1	0.0000	1	0.0000	1	0.0000	1
13 Max	0	1	0	1	-0.01	1	0.0000	1	0.0000	1	0.0000	1
13 Min.	0	1	0	1	-0.01	1	0.0000	1	0.0000	1	0.0000	1
16 Max	0	1	0	1	-0.06	1	0.0000	1	0.0000	1	0.0000	1
16 Min.	0	1	0	1	-0.06	1	0.0000	1	0.0000	1	0.0000	1
17 Max	0	1	0	1	-0.12	1	-0.0017	1	0.0000	1	0.0000	1
17 Min.	0	1	0	1	-0.12	1	-0.0017	1	0.0000	1	0.0000	1
18 Max	0	1	0	1	-0.14	1	-0.0019	1	0.0000	1	0.0000	1

18 Min.	0	1	0	1	-0.14	1	-0.0019	1	0.0000	1	0.0000	1
19 Max	0	1	0	1	-0.12	1	-0.0017	1	0.0000	1	0.0000	1
19 Min.	0	1	0	1	-0.12	1	-0.0017	1	0.0000	1	0.0000	1
20 Max	0	1	0	1	-0.06	1	0.0000	1	0.0000	1	0.0000	1
20 Min.	0	1	0	1	-0.06	1	0.0000	1	0.0000	1	0.0000	1
23 Max	0	1	0	1	-0.1	1	0.0000	1	0.0015	1	0.0000	1
23 Min.	0	1	0	1	-0.1	1	0.0000	1	0.0015	1	0.0000	1
24 Max	0	1	0	1	-0.09	1	0.0000	1	-0.0014	1	0.0000	1
24 Min.	0	1	0	1	-0.09	1	0.0000	1	-0.0014	1	0.0000	1
27 Max	0	1	0	1	-0.14	1	0.0000	1	0.0020	1	0.0000	1
27 Min.	0	1	0	1	-0.14	1	0.0000	1	0.0020	1	0.0000	1
28 Max	0	1	0	1	-0.11	1	0.0000	1	-0.0017	1	0.0000	1
28 Min.	0	1	0	1	-0.11	1	0.0000	1	-0.0017	1	0.0000	1
30 Max	0	1	0	1	-0.12	1	0.0000	1	-0.0018	1	0.0000	1
30 Min.	0	1	0	1	-0.12	1	0.0000	1	-0.0018	1	0.0000	1
33 Max	0	1	0	1	-0.15	1	0.0000	1	0.0026	1	0.0000	1
33 Min.	0	1	0	1	-0.15	1	0.0000	1	0.0026	1	0.0000	1
34 Max	0	1	0	1	-0.38	1	0.0031	1	0.0021	1	0.0000	1
34 Min.	0	1	0	1	-0.38	1	0.0031	1	0.0021	1	0.0000	1
35 Max	0	1	0	1	-0.45	1	0.0041	1	0.0000	1	0.0000	1
35 Min.	0	1	0	1	-0.45	1	0.0041	1	0.0000	1	0.0000	1
36 Max	0	1	0	1	-0.34	1	0.0033	1	-0.0017	1	0.0000	1
36 Min.	0	1	0	1	-0.34	1	0.0033	1	-0.0017	1	0.0000	1
37 Max	0	1	0	1	-0.12	1	0.0000	1	-0.0022	1	0.0000	1
37 Min.	0	1	0	1	-0.12	1	0.0000	1	-0.0022	1	0.0000	1
40 Max	0	1	0	1	-0.08	1	0.0012	1	0.0012	1	0.0000	1
40 Min.	0	1	0	1	-0.08	1	0.0012	1	0.0012	1	0.0000	1
41 Max	0	1	0	1	-0.17	1	0.0029	1	0.0000	1	0.0000	1
41 Min.	0	1	0	1	-0.17	1	0.0029	1	0.0000	1	0.0000	1
42 Max	0	1	0	1	-0.21	1	0.0037	1	0.0000	1	0.0000	1
42 Min.	0	1	0	1	-0.21	1	0.0037	1	0.0000	1	0.0000	1
43 Max	0	1	0	1	-0.18	1	0.0031	1	0.0000	1	0.0000	1
43 Min.	0	1	0	1	-0.18	1	0.0031	1	0.0000	1	0.0000	1
44 Max	0	1	0	1	-0.08	1	0.0010	1	-0.0012	1	0.0000	1
44 Min.	0	1	0	1	-0.08	1	0.0010	1	-0.0012	1	0.0000	1
47 Max	0	1	0	1	-0.02	1	0.0000	1	0.0000	1	0.0000	1
47 Min.	0	1	0	1	-0.02	1	0.0000	1	0.0000	1	0.0000	1
48 Max	0	1	0	1	-0.04	1	0.0016	1	0.0000	1	0.0000	1
48 Min.	0	1	0	1	-0.04	1	0.0016	1	0.0000	1	0.0000	1
49 Max	0	1	0	1	-0.04	1	0.0019	1	0.0000	1	0.0000	1
49 Min.	0	1	0	1	-0.04	1	0.0019	1	0.0000	1	0.0000	1
50 Max	0	1	0	1	-0.04	1	0.0017	1	0.0000	1	0.0000	1
50 Min.	0	1	0	1	-0.04	1	0.0017	1	0.0000	1	0.0000	1
51 Max	0	1	0	1	-0.02	1	0.0000	1	0.0000	1	0.0000	1
51 Min.	0	1	0	1	-0.02	1	0.0000	1	0.0000	1	0.0000	1

REAZIONI VINCOLARI

Simbologia

Nodo = Numero del nodo
 Rx = Reazione vincolare (forza) in dir. X
 CC = Numero della combinazione delle condizioni di carico elementari
 Ry = Reazione vincolare (forza) in dir. Y
 Rz = Reazione vincolare (forza) in dir. Z
 Mx = Reazione vincolare (momento) intorno all'asse X
 My = Reazione vincolare (momento) intorno all'asse Y
 Mz = Reazione vincolare (momento) intorno all'asse Z

Nodo	Rx <kg>	CC <kg>	Ry <kg>	CC <kg>	Rz <kg>	CC <kgm>	Mx <kgm>	CC <kgm>	My <kgm>	CC <kgm>	Mz <kgm>	CC
1 Max	0.00	1	0.00	1	111.33	1	5.01	1	0.00	1	0.00	1
1 Min.	0.00	1	0.00	1	111.33	1	5.01	1	0.00	1	0.00	1
2 Max	0.00	1	0.00	1	1479.20	1	614.42	1	-0.39	1	0.00	1
2 Min.	0.00	1	0.00	1	1479.20	1	614.42	1	-0.39	1	0.00	1
3 Max	0.00	1	0.00	1	2084.01	1	1065.24	1	-0.11	1	0.00	1
3 Min.	0.00	1	0.00	1	2084.01	1	1065.24	1	-0.11	1	0.00	1
4 Max	0.00	1	0.00	1	2171.97	1	1173.70	1	0.00	1	0.00	1
4 Min.	0.00	1	0.00	1	2171.97	1	1173.70	1	0.00	1	0.00	1
5 Max	0.00	1	0.00	1	2089.44	1	1066.25	1	0.10	1	0.00	1
5 Min.	0.00	1	0.00	1	2089.44	1	1066.25	1	0.10	1	0.00	1
6 Max	0.00	1	0.00	1	1542.62	1	630.12	1	0.38	1	0.00	1
6 Min.	0.00	1	0.00	1	1542.62	1	630.12	1	0.38	1	0.00	1
7 Max	0.00	1	0.00	1	111.33	1	5.01	1	0.00	1	0.00	1
7 Min.	0.00	1	0.00	1	111.33	1	5.01	1	0.00	1	0.00	1
8 Max	0.00	1	0.00	1	896.40	1	20.93	1	-173.22	1	0.00	1
8 Min.	0.00	1	0.00	1	896.40	1	20.93	1	-173.22	1	0.00	1
14 Max	0.00	1	0.00	1	905.35	1	20.93	1	175.85	1	0.00	1
14 Min.	0.00	1	0.00	1	905.35	1	20.93	1	175.85	1	0.00	1
15 Max	0.00	1	0.00	1	1566.58	1	3.09	1	-565.35	1	0.00	1
15 Min.	0.00	1	0.00	1	1566.58	1	3.09	1	-565.35	1	0.00	1
21 Max	0.00	1	0.00	1	1537.70	1	3.04	1	551.00	1	0.00	1
21 Min.	0.00	1	0.00	1	1537.70	1	3.04	1	551.00	1	0.00	1

22	Max	0.00	1	0.00	1	1933.07	1	5.92	1	-868.58	1	0.00	1
22	Min.	0.00	1	0.00	1	1933.07	1	5.92	1	-868.58	1	0.00	1
25	Max	0.00	1	0.00	1	1827.78	1	5.79	1	792.09	1	0.00	1
25	Min.	0.00	1	0.00	1	1827.78	1	5.79	1	792.09	1	0.00	1
26	Max	0.00	1	0.00	1	2244.26	1	-8.33	1	-1142.61	1	0.00	1
26	Min.	0.00	1	0.00	1	2244.26	1	-8.33	1	-1142.61	1	0.00	1
29	Max	0.00	1	0.00	1	1939.10	1	-16.96	1	941.00	1	0.00	1
29	Min.	0.00	1	0.00	1	1939.10	1	-16.96	1	941.00	1	0.00	1
31	Max	0.00	1	0.00	1	1976.20	1	7.01	1	1014.09	1	0.00	1
31	Min.	0.00	1	0.00	1	1976.20	1	7.01	1	1014.09	1	0.00	1
32	Max	0.00	1	0.00	1	2065.57	1	127.12	1	-1172.75	1	0.00	1
32	Min.	0.00	1	0.00	1	2065.57	1	127.12	1	-1172.75	1	0.00	1
38	Max	0.00	1	0.00	1	1389.14	1	-96.91	1	883.07	1	0.00	1
38	Min.	0.00	1	0.00	1	1389.14	1	-96.91	1	883.07	1	0.00	1
39	Max	0.00	1	0.00	1	1763.89	1	-27.61	1	-722.16	1	0.00	1
39	Min.	0.00	1	0.00	1	1763.89	1	-27.61	1	-722.16	1	0.00	1
45	Max	0.00	1	0.00	1	1495.99	1	9.73	1	695.87	1	0.00	1
45	Min.	0.00	1	0.00	1	1495.99	1	9.73	1	695.87	1	0.00	1
46	Max	0.00	1	0.00	1	908.26	1	-13.84	1	-214.50	1	0.00	1
46	Min.	0.00	1	0.00	1	908.26	1	-13.84	1	-214.50	1	0.00	1
52	Max	0.00	1	0.00	1	923.31	1	-13.84	1	220.74	1	0.00	1
52	Min.	0.00	1	0.00	1	923.31	1	-13.84	1	220.74	1	0.00	1
53	Max	0.00	1	0.00	1	111.33	1	-5.01	1	0.00	1	0.00	1
53	Min.	0.00	1	0.00	1	111.33	1	-5.01	1	0.00	1	0.00	1
54	Max	0.00	1	0.00	1	1794.62	1	-862.22	1	-0.56	1	0.00	1
54	Min.	0.00	1	0.00	1	1794.62	1	-862.22	1	-0.56	1	0.00	1
55	Max	0.00	1	0.00	1	2650.07	1	-1643.63	1	-0.23	1	0.00	1
55	Min.	0.00	1	0.00	1	2650.07	1	-1643.63	1	-0.23	1	0.00	1
56	Max	0.00	1	0.00	1	2739.66	1	-1906.07	1	-0.01	1	0.00	1
56	Min.	0.00	1	0.00	1	2739.66	1	-1906.07	1	-0.01	1	0.00	1
57	Max	0.00	1	0.00	1	2648.14	1	-1674.83	1	0.21	1	0.00	1
57	Min.	0.00	1	0.00	1	2648.14	1	-1674.83	1	0.21	1	0.00	1
58	Max	0.00	1	0.00	1	1957.35	1	-894.76	1	0.56	1	0.00	1
58	Min.	0.00	1	0.00	1	1957.35	1	-894.76	1	0.56	1	0.00	1
59	Max	0.00	1	0.00	1	111.33	1	-5.01	1	0.00	1	0.00	1
59	Min.	0.00	1	0.00	1	111.33	1	-5.01	1	0.00	1	0.00	1

SOLLECITAZIONI ASTE

Simbologia

Asta = Numero dell'asta
 N1 = Nodo1
 N2 = Nodo2
 X = Coordinata progressiva rispetto al nodo iniziale
 N = Sforzo normale
 CC = Numero della combinazione delle condizioni di carico elementari
 Ty = Taglio in dir. Y
 Mz = Momento flettente intorno all'asse Z
 Tz = Taglio in dir. Z
 My = Momento flettente intorno all'asse Y
 Mx = Momento torcente intorno all'asse X

Asta	N1	N2	X	N	CC	Ty	CC	Mz	CC	Tz	CC	My	CC	Mx	CC
			<cm>	<kg>	<kg>	<kg>	<kgm>	<kgm>	<kgm>	<kg>	<kg>	<kgm>	<kgm>	<kgm>	
201	8	9 Max	0	0.00	1	0.00	1	0.00	1	533.55	1	-173.22	1	-0.37	1
201	8	9 Max	65.1									-0.63	1		
201	8	9 Max	84	0.00	1	0.00	1	0.00	1	-159.17	1	-15.98	1	-0.37	1
201	8	9 Min.	0	0.00	1	0.00	1	0.00	1	533.55	1	-173.22	1	-0.37	1
201	8	9 Min.	65.1									-0.63	1		
201	8	9 Min.	84	0.00	1	0.00	1	0.00	1	-159.17	1	-15.98	1	-0.37	1
201	9	10 Max	0	0.00	1	0.00	1	0.00	1	351.07	1	-15.72	1	-0.30	1
201	9	10 Max	42.84									59.00	1		
201	9	10 Max	90.2	0.00	1	0.00	1	0.00	1	-392.78	1	-34.53	1	-0.30	1
201	9	10 Min.	0	0.00	1	0.00	1	0.00	1	351.07	1	-15.72	1	-0.30	1
201	9	10 Min.	42.84									59.00	1		
201	9	10 Min.	90.2	0.00	1	0.00	1	0.00	1	-392.78	1	-34.53	1	-0.30	1
201	10	11 Max	0	0.00	1	0.00	1	0.00	1	342.82	1	-34.29	1	-0.09	1
201	10	11 Max	41.6									36.97	1		
201	10	11 Max	83.2	0.00	1	0.00	1	0.00	1	-343.30	1	-34.49	1	-0.09	1
201	10	11 Min.	0	0.00	1	0.00	1	0.00	1	342.82	1	-34.29	1	-0.09	1
201	10	11 Min.	41.6									36.97	1		
201	10	11 Min.	83.2	0.00	1	0.00	1	0.00	1	-343.30	1	-34.49	1	-0.09	1
201	11	12 Max	0	0.00	1	0.00	1	0.00	1	341.63	1	-34.49	1	0.09	1
201	11	12 Max	41.65									36.27	1		
201	11	12 Max	83.3	0.00	1	0.00	1	0.00	1	-345.31	1	-36.02	1	0.09	1
201	11	12 Min.	0	0.00	1	0.00	1	0.00	1	341.63	1	-34.49	1	0.09	1
201	11	12 Min.	41.65									36.27	1		
201	11	12 Min.	83.3	0.00	1	0.00	1	0.00	1	-345.31	1	-36.02	1	0.09	1
201	12	13 Max	0	0.00	1	0.00	1	0.00	1	396.42	1	-36.27	1	0.30	1
201	12	13 Max	48.48									59.00	1		
201	12	13 Max	90.2	0.00	1	0.00	1	0.00	1	-347.43	1	-14.17	1	0.30	1
201	12	13 Min.	0	0.00	1	0.00	1	0.00	1	396.42	1	-36.27	1	0.30	1

201	12	13	Min.	48.48						59.00	1					
201	12	13	Min.	90.2	0.00	1	0.00	1	0.00	1	-14.17	1	0.30	1		
201	13	14	Max	0	0.00	1	0.00	1	0.00	1	-14.43	1	0.37	1		
201	13	14	Max	20.45						2.59	1					
201	13	14	Max	86.1	0.00	1	0.00	1	0.00	1	-175.85	1	0.37	1		
201	13	14	Min.	0	0.00	1	0.00	1	0.00	1	-14.43	1	0.37	1		
201	13	14	Min.	20.45						2.59	1					
201	13	14	Min.	86.1	0.00	1	0.00	1	0.00	1	-175.85	1	0.37	1		
202	15	16	Max	0	0.00	1	0.00	1	0.00	1	1051.17	1	-565.35	1	-0.51	1
202	15	16	Max	84	0.00	1	0.00	1	0.00	1	358.45	1	26.69	1	-0.51	1
202	15	16	Min.	0	0.00	1	0.00	1	0.00	1	1051.17	1	-565.35	1	-0.51	1
202	15	16	Min.	84	0.00	1	0.00	1	0.00	1	358.45	1	26.69	1	-0.51	1
202	16	17	Max	0	0.00	1	0.00	1	0.00	1	426.14	1	26.62	1	-0.62	1
202	16	17	Max	51.86						136.72	1					
202	16	17	Max	90.2	0.00	1	0.00	1	0.00	1	-317.71	1	75.52	1	-0.62	1
202	16	17	Min.	0	0.00	1	0.00	1	0.00	1	426.14	1	26.62	1	-0.62	1
202	16	17	Min.	51.86						136.72	1					
202	16	17	Min.	90.2	0.00	1	0.00	1	0.00	1	-317.71	1	75.52	1	-0.62	1
202	17	18	Max	0	0.00	1	0.00	1	0.00	1	305.00	1	75.18	1	-0.17	1
202	17	18	Max	37.44						131.57	1					
202	17	18	Max	83.2	0.00	1	0.00	1	0.00	1	-381.12	1	43.51	1	-0.17	1
202	17	18	Min.	0	0.00	1	0.00	1	0.00	1	305.00	1	75.18	1	-0.17	1
202	17	18	Min.	37.44						131.57	1					
202	17	18	Min.	83.2	0.00	1	0.00	1	0.00	1	-381.12	1	43.51	1	-0.17	1
202	18	19	Max	0	0.00	1	0.00	1	0.00	1	380.21	1	43.51	1	0.17	1
202	18	19	Max	45.82						131.15	1					
202	18	19	Max	83.3	0.00	1	0.00	1	0.00	1	-306.73	1	74.11	1	0.17	1
202	18	19	Min.	0	0.00	1	0.00	1	0.00	1	380.21	1	43.51	1	0.17	1
202	18	19	Min.	45.82						131.15	1					
202	18	19	Min.	83.3	0.00	1	0.00	1	0.00	1	-306.73	1	74.11	1	0.17	1
202	19	20	Max	0	0.00	1	0.00	1	0.00	1	315.27	1	74.46	1	0.65	1
202	19	20	Max	38.33						134.72	1					
202	19	20	Max	90.2	0.00	1	0.00	1	0.00	1	-428.58	1	23.36	1	0.65	1
202	19	20	Min.	0	0.00	1	0.00	1	0.00	1	315.27	1	74.46	1	0.65	1
202	19	20	Min.	38.33						134.72	1					
202	19	20	Min.	90.2	0.00	1	0.00	1	0.00	1	-428.58	1	23.36	1	0.65	1
202	20	21	Max	0	0.00	1	0.00	1	0.00	1	-312.26	1	23.52	1	0.46	1
202	20	21	Max	86.1	0.00	1	0.00	1	0.00	1	-1022.29	1	-551.01	1	0.46	1
202	20	21	Min.	0	0.00	1	0.00	1	0.00	1	-312.26	1	23.52	1	0.46	1
202	20	21	Min.	86.1	0.00	1	0.00	1	0.00	1	-1022.29	1	-551.01	1	0.46	1
203	22	23	Max	0	0.00	1	0.00	1	0.00	1	1380.55	1	-868.58	1	-0.39	1
203	22	23	Max	84	0.00	1	0.00	1	0.00	1	687.83	1	0.14	1	-0.39	1
203	22	23	Min.	0	0.00	1	0.00	1	0.00	1	1380.55	1	-868.58	1	-0.39	1
203	22	23	Min.	84	0.00	1	0.00	1	0.00	1	687.83	1	0.14	1	-0.39	1
204	26	27	Max	0	0.00	1	0.00	1	0.00	1	1706.58	1	-1142.61	1	-0.28	1
204	26	27	Max	84	0.00	1	0.00	1	0.00	1	1013.86	1	-0.02	1	-0.28	1
204	26	27	Min.	0	0.00	1	0.00	1	0.00	1	1706.58	1	-1142.61	1	-0.28	1
204	26	27	Min.	84	0.00	1	0.00	1	0.00	1	1013.86	1	-0.02	1	-0.28	1
205	30	31	Max	0	0.00	1	0.00	1	0.00	1	-822.50	1	-0.24	1	0.06	1
205	30	31	Max	86.1	0.00	1	0.00	1	0.00	1	-1532.53	1	-1014.08	1	0.06	1
205	30	31	Min.	0	0.00	1	0.00	1	0.00	1	-822.50	1	-0.24	1	0.06	1
205	30	31	Min.	86.1	0.00	1	0.00	1	0.00	1	-1532.53	1	-1014.08	1	0.06	1
206	39	40	Max	0	0.00	1	0.00	1	0.00	1	1217.14	1	-722.16	1	0.82	1
206	39	40	Max	84	0.00	1	0.00	1	0.00	1	524.42	1	9.30	1	0.82	1
206	39	40	Min.	0	0.00	1	0.00	1	0.00	1	1217.14	1	-722.16	1	0.82	1
206	39	40	Min.	84	0.00	1	0.00	1	0.00	1	524.42	1	9.30	1	0.82	1
206	40	41	Max	0	0.00	1	0.00	1	0.00	1	471.25	1	9.34	1	1.16	1
206	40	41	Max	57.5						143.98	1					
206	40	41	Max	90.2	0.00	1	0.00	1	0.00	1	-272.60	1	98.93	1	1.16	1
206	40	41	Min.	0	0.00	1	0.00	1	0.00	1	471.25	1	9.34	1	1.16	1
206	40	41	Min.	57.5						143.98	1					
206	40	41	Min.	90.2	0.00	1	0.00	1	0.00	1	-272.60	1	98.93	1	1.16	1
206	41	42	Max	0	0.00	1	0.00	1	0.00	1	428.00	1	99.45	1	0.56	1
206	41	42	Max	52						210.52	1					
206	41	42	Max	83.2	0.00	1	0.00	1	0.00	1	-258.12	1	170.12	1	0.56	1
206	41	42	Min.	0	0.00	1	0.00	1	0.00	1	428.00	1	99.45	1	0.56	1
206	41	42	Min.	52						210.52	1					
206	41	42	Min.	83.2	0.00	1	0.00	1	0.00	1	-258.12	1	170.12	1	0.56	1
206	42	43	Max	0	0.00	1	0.00	1	0.00	1	301.27	1	170.18	1	-0.47	1
206	42	43	Max	36.44						225.21	1					
206	42	43	Max	83.3	0.00	1	0.00	1	0.00	1	-385.67	1	135.03	1	-0.47	1
206	42	43	Min.	0	0.00	1	0.00	1	0.00	1	301.27	1	170.18	1	-0.47	1
206	42	43	Min.	36.44						225.21	1					
206	42	43	Min.	83.3	0.00	1	0.00	1	0.00	1	-385.67	1	135.03	1	-0.47	1
206	43	44	Max	0	0.00	1	0.00	1	0.00	1	204.50	1	134.60	1	-1.32	1
206	43	44	Max	24.8						159.96	1					
206	43	44	Max	90.2	0.00	1	0.00	1	0.00	1	-539.35	1	-16.42	1	-1.32	1
206	43	44	Min.	0	0.00	1	0.00	1	0.00	1	204.50	1	134.60	1	-1.32	1
206	43	44	Min.	24.8						159.96	1					
206	43	44	Min.	90.2	0.00	1	0.00	1	0.00	1	-539.35	1	-16.42	1	-1.32	1
206	44	45	Max	0	0.00	1	0.00	1	0.00	1	-433.83	1	-16.68	1	-0.72	1
206	44	45	Max	86.1	0.00	1	0.00	1	0.00	1	-1143.86	1	-695.88	1	-0.72	1
206	44	45	Min.	0	0.00	1	0.00	1	0.00	1	-433.83	1	-16.68	1	-0.72	1
206	44	45	Min.	86.1	0.00	1	0.00	1	0.00	1	-1143.86	1	-695.88	1	-0.72	1

207	46	47	Max	0	0.00	1	0.00	1	0.00	1	584.17	1	-214.50	1	0.55	1
207	46	47	Max	70.35									-7.60	1		
207	46	47	Max	84	0.00	1	0.00	1	0.00	1	-108.55	1	-14.74	1	0.55	1
207	46	47	Min.	0	0.00	1	0.00	1	0.00	1	584.17	1	-214.50	1	0.55	1
207	46	47	Min.	70.35								-7.60	1			
207	46	47	Min.	84	0.00	1	0.00	1	0.00	1	-108.55	1	-14.74	1	0.55	1
207	47	48	Max	0	0.00	1	0.00	1	0.00	1	360.63	1	-14.23	1	0.54	1
207	47	48	Max	43.97								64.62	1			
207	47	48	Max	90.2	0.00	1	0.00	1	0.00	1	-383.22	1	-24.42	1	0.54	1
207	47	48	Min.	0	0.00	1	0.00	1	0.00	1	360.63	1	-14.23	1	0.54	1
207	47	48	Min.	43.97								64.62	1			
207	47	48	Min.	90.2	0.00	1	0.00	1	0.00	1	-383.22	1	-24.42	1	0.54	1
207	48	49	Max	0	0.00	1	0.00	1	0.00	1	349.36	1	-23.92	1	0.22	1
207	48	49	Max	42.64								50.08	1			
207	48	49	Max	83.2	0.00	1	0.00	1	0.00	1	-336.76	1	-18.68	1	0.22	1
207	48	49	Min.	0	0.00	1	0.00	1	0.00	1	349.36	1	-23.92	1	0.22	1
207	48	49	Min.	42.64								50.08	1			
207	48	49	Min.	83.2	0.00	1	0.00	1	0.00	1	-336.76	1	-18.68	1	0.22	1
207	49	50	Max	0	0.00	1	0.00	1	0.00	1	336.37	1	-18.64	1	-0.19	1
207	49	50	Max	40.61								49.96	1			
207	49	50	Max	83.3	0.00	1	0.00	1	0.00	1	-350.57	1	-24.56	1	-0.19	1
207	49	50	Min.	0	0.00	1	0.00	1	0.00	1	336.37	1	-18.64	1	-0.19	1
207	49	50	Min.	40.61								49.96	1			
207	49	50	Min.	83.3	0.00	1	0.00	1	0.00	1	-350.57	1	-24.56	1	-0.19	1
207	50	51	Max	0	0.00	1	0.00	1	0.00	1	388.70	1	-25.08	1	-0.56	1
207	50	51	Max	47.35								66.52	1			
207	50	51	Max	90.2	0.00	1	0.00	1	0.00	1	-355.15	1	-9.95	1	-0.56	1
207	50	51	Min.	0	0.00	1	0.00	1	0.00	1	388.70	1	-25.08	1	-0.56	1
207	50	51	Min.	47.35								66.52	1			
207	50	51	Min.	90.2	0.00	1	0.00	1	0.00	1	-355.15	1	-9.95	1	-0.56	1
207	51	52	Max	0	0.00	1	0.00	1	0.00	1	110.81	1	-10.48	1	-0.55	1
207	51	52	Max	12.91								-3.05	1			
207	51	52	Max	86.1	0.00	1	0.00	1	0.00	1	-599.22	1	-220.74	1	-0.55	1
207	51	52	Min.	0	0.00	1	0.00	1	0.00	1	110.81	1	-10.48	1	-0.55	1
207	51	52	Min.	12.91								-3.05	1			
207	51	52	Min.	86.1	0.00	1	0.00	1	0.00	1	-599.22	1	-220.74	1	-0.55	1
208	1	8	Max	0	0.00	1	0.00	1	0.00	1	111.33	1	-5.01	1	0.00	1
208	1	8	Max	13.5								2.50	1			
208	1	8	Max	27	0.00	1	0.00	1	0.00	1	-111.33	1	-5.01	1	0.00	1
208	1	8	Min.	0	0.00	1	0.00	1	0.00	1	111.33	1	-5.01	1	0.00	1
208	1	8	Min.	13.5								2.50	1			
208	1	8	Min.	27	0.00	1	0.00	1	0.00	1	-111.33	1	-5.01	1	0.00	1
208	8	15	Max	0	0.00	1	0.00	1	0.00	1	251.52	1	-25.57	1	0.00	1
208	8	15	Max	30.5								12.79	1			
208	8	15	Max	61	0.00	1	0.00	1	0.00	1	-251.52	1	-25.57	1	0.00	1
208	8	15	Min.	0	0.00	1	0.00	1	0.00	1	251.52	1	-25.57	1	0.00	1
208	8	15	Min.	30.5								12.79	1			
208	8	15	Min.	61	0.00	1	0.00	1	0.00	1	-251.52	1	-25.57	1	0.00	1
208	15	22	Max	0	0.00	1	0.00	1	0.00	1	263.89	1	-28.15	1	0.00	1
208	15	22	Max	32								14.07	1			
208	15	22	Max	64	0.00	1	0.00	1	0.00	1	-263.89	1	-28.15	1	0.00	1
208	15	22	Min.	0	0.00	1	0.00	1	0.00	1	263.89	1	-28.15	1	0.00	1
208	15	22	Min.	32								14.07	1			
208	15	22	Min.	64	0.00	1	0.00	1	0.00	1	-263.89	1	-28.15	1	0.00	1
208	22	26	Max	0	0.00	1	0.00	1	0.00	1	288.63	1	-33.67	1	0.00	1
208	22	26	Max	35								16.84	1			
208	22	26	Max	70	0.00	1	0.00	1	0.00	1	-288.63	1	-33.67	1	0.00	1
208	22	26	Min.	0	0.00	1	0.00	1	0.00	1	288.63	1	-33.67	1	0.00	1
208	22	26	Min.	35								16.84	1			
208	22	26	Min.	70	0.00	1	0.00	1	0.00	1	-288.63	1	-33.67	1	0.00	1
208	26	32	Max	0	0.00	1	0.00	1	0.00	1	249.05	1	-25.07	1	0.00	1
208	26	32	Max	30.2								12.54	1			
208	26	32	Max	60.4	0.00	1	0.00	1	0.00	1	-249.05	1	-25.07	1	0.00	1
208	26	32	Min.	0	0.00	1	0.00	1	0.00	1	249.05	1	-25.07	1	0.00	1
208	26	32	Min.	30.2								12.54	1			
208	26	32	Min.	60.4	0.00	1	0.00	1	0.00	1	-249.05	1	-25.07	1	0.00	1
208	32	39	Max	0	0.00	1	0.00	1	0.00	1	333.99	1	-45.09	1	0.00	1
208	32	39	Max	40.5								22.54	1			
208	32	39	Max	81	0.00	1	0.00	1	0.00	1	-333.99	1	-45.09	1	0.00	1
208	32	39	Min.	0	0.00	1	0.00	1	0.00	1	333.99	1	-45.09	1	0.00	1
208	32	39	Min.	40.5								22.54	1			
208	32	39	Min.	81	0.00	1	0.00	1	0.00	1	-333.99	1	-45.09	1	0.00	1
208	39	46	Max	0	0.00	1	0.00	1	0.00	1	212.76	1	-18.30	1	0.00	1
208	39	46	Max	25.8								9.15	1			
208	39	46	Max	51.6	0.00	1	0.00	1	0.00	1	-212.77	1	-18.30	1	0.00	1
208	39	46	Min.	0	0.00	1	0.00	1	0.00	1	212.76	1	-18.30	1	0.00	1
208	39	46	Min.	25.8								9.15	1			
208	39	46	Min.	51.6	0.00	1	0.00	1	0.00	1	-212.77	1	-18.30	1	0.00	1
208	46	53	Max	0	0.00	1	0.00	1	0.00	1	111.33	1	-5.01	1	0.00	1
208	46	53	Max	13.5								2.50	1			
208	46	53	Max	27	0.00	1	0.00	1	0.00	1	-111.33	1	-5.01	1	0.00	1
208	46	53	Min.	0	0.00	1	0.00	1	0.00	1	111.33	1	-5.01	1	0.00	1
208	46	53	Min.	13.5								2.50	1			
208	46	53	Min.	27	0.00	1	0.00	1	0.00	1	-111.33	1	-5.01	1	0.00	1

209	2	9	Max	0	0.00	1	0.00	1	0.00	1	1479.20	1	-614.42	1	0.39	1
209	2	9	Max	27	0.00	1	0.00	1	0.00	1	1256.54	1	-245.10	1	0.39	1
209	2	9	Min.	0	0.00	1	0.00	1	0.00	1	1479.20	1	-614.42	1	0.39	1
209	2	9	Min.	27	0.00	1	0.00	1	0.00	1	1256.54	1	-245.10	1	0.39	1
209	9	16	Max	0	0.00	1	0.00	1	0.00	1	746.31	1	-245.17	1	0.66	1
209	9	16	Max	61	0.00	1	0.00	1	0.00	1	243.27	1	56.65	1	0.66	1
209	9	16	Min.	0	0.00	1	0.00	1	0.00	1	746.31	1	-245.17	1	0.66	1
209	9	16	Min.	61	0.00	1	0.00	1	0.00	1	243.27	1	56.65	1	0.66	1
209	16	23	Max	0	0.00	1	0.00	1	0.00	1	175.58	1	56.77	1	0.59	1
209	16	23	Max	20.8							75.45	1				
209	16	23	Max	64	0.00	1	0.00	1	0.00	1	-352.20	1	0.25	1	0.59	1
209	16	23	Min.	0	0.00	1	0.00	1	0.00	1	175.58	1	56.77	1	0.59	1
209	16	23	Min.	20.8							75.45	1				
209	16	23	Min.	64	0.00	1	0.00	1	0.00	1	-352.20	1	0.25	1	0.59	1
209	23	27	Max	0	0.00	1	0.00	1	0.00	1	335.63	1	-0.14	1	0.45	1
209	23	27	Max	40.25							68.15	1				
209	23	27	Max	70	0.00	1	0.00	1	0.00	1	-241.63	1	32.76	1	0.45	1
209	23	27	Min.	0	0.00	1	0.00	1	0.00	1	335.63	1	-0.14	1	0.45	1
209	23	27	Min.	40.25							68.15	1				
209	23	27	Min.	70	0.00	1	0.00	1	0.00	1	-241.63	1	32.76	1	0.45	1
209	27	33	Max	0	0.00	1	0.00	1	0.00	1	772.23	1	32.48	1	0.47	1
209	27	33	Max	68.1	0.00	1	0.00	1	0.00	1	210.63	1	367.15	1	0.47	1
209	27	33	Min.	0	0.00	1	0.00	1	0.00	1	772.23	1	32.48	1	0.47	1
209	27	33	Min.	68.1	0.00	1	0.00	1	0.00	1	210.63	1	367.15	1	0.47	1
209	33	40	Max	0	0.00	1	0.00	1	0.00	1	-125.95	1	365.72	1	-1.11	1
209	33	40	Max	73.3	0.00	1	0.00	1	0.00	1	-730.43	1	51.86	1	-1.11	1
209	33	40	Min.	0	0.00	1	0.00	1	0.00	1	-125.95	1	365.72	1	-1.11	1
209	33	40	Min.	73.3	0.00	1	0.00	1	0.00	1	-730.43	1	51.86	1	-1.11	1
209	40	47	Max	0	0.00	1	0.00	1	0.00	1	-677.26	1	51.51	1	-1.07	1
209	40	47	Max	51.6	0.00	1	0.00	1	0.00	1	-1102.79	1	-407.74	1	-1.07	1
209	40	47	Min.	0	0.00	1	0.00	1	0.00	1	-677.26	1	51.51	1	-1.07	1
209	40	47	Min.	51.6	0.00	1	0.00	1	0.00	1	-1102.79	1	-407.74	1	-1.07	1
209	47	54	Max	0	0.00	1	0.00	1	0.00	1	-1571.96	1	-407.73	1	-0.56	1
209	47	54	Max	27	0.00	1	0.00	1	0.00	1	-1794.62	1	-862.22	1	-0.56	1
209	47	54	Min.	0	0.00	1	0.00	1	0.00	1	-1571.96	1	-407.73	1	-0.56	1
209	47	54	Min.	27	0.00	1	0.00	1	0.00	1	-1794.62	1	-862.22	1	-0.56	1
210	3	10	Max	0	0.00	1	0.00	1	0.00	1	2084.01	1	-1065.24	1	0.11	1
210	3	10	Max	27	0.00	1	0.00	1	0.00	1	1861.35	1	-532.62	1	0.11	1
210	3	10	Min.	0	0.00	1	0.00	1	0.00	1	2084.01	1	-1065.24	1	0.11	1
210	3	10	Min.	27	0.00	1	0.00	1	0.00	1	1861.35	1	-532.62	1	0.11	1
210	10	17	Max	0	0.00	1	0.00	1	0.00	1	1125.76	1	-532.83	1	0.35	1
210	10	17	Max	61	0.00	1	0.00	1	0.00	1	622.72	1	0.46	1	0.35	1
210	10	17	Min.	0	0.00	1	0.00	1	0.00	1	1125.76	1	-532.83	1	0.35	1
210	10	17	Min.	61	0.00	1	0.00	1	0.00	1	622.72	1	0.46	1	0.35	1
211	4	11	Max	0	0.00	1	0.00	1	0.00	1	2171.97	1	-1173.70	1	0.00	1
211	4	11	Max	27	0.00	1	0.00	1	0.00	1	1949.31	1	-617.33	1	0.00	1
211	4	11	Min.	0	0.00	1	0.00	1	0.00	1	2171.97	1	-1173.70	1	0.00	1
211	4	11	Min.	27	0.00	1	0.00	1	0.00	1	1949.31	1	-617.33	1	0.00	1
211	11	18	Max	0	0.00	1	0.00	1	0.00	1	1264.37	1	-617.50	1	0.00	1
211	11	18	Max	61	0.00	1	0.00	1	0.00	1	761.33	1	0.34	1	0.00	1
211	11	18	Min.	0	0.00	1	0.00	1	0.00	1	1264.37	1	-617.50	1	0.00	1
211	11	18	Min.	61	0.00	1	0.00	1	0.00	1	761.33	1	0.34	1	0.00	1
212	5	12	Max	0	0.00	1	0.00	1	0.00	1	2089.44	1	-1066.25	1	-0.10	1
212	5	12	Max	27	0.00	1	0.00	1	0.00	1	1866.78	1	-532.16	1	-0.10	1
212	5	12	Min.	0	0.00	1	0.00	1	0.00	1	2089.44	1	-1066.25	1	-0.10	1
212	5	12	Min.	27	0.00	1	0.00	1	0.00	1	1866.78	1	-532.16	1	-0.10	1
212	12	19	Max	0	0.00	1	0.00	1	0.00	1	1125.04	1	-532.37	1	-0.35	1
212	12	19	Max	61	0.00	1	0.00	1	0.00	1	622.00	1	0.48	1	-0.35	1
212	12	19	Min.	0	0.00	1	0.00	1	0.00	1	1125.04	1	-532.37	1	-0.35	1
212	12	19	Min.	61	0.00	1	0.00	1	0.00	1	622.00	1	0.48	1	-0.35	1
213	6	13	Max	0	0.00	1	0.00	1	0.00	1	1542.62	1	-630.12	1	-0.38	1
213	6	13	Max	27	0.00	1	0.00	1	0.00	1	1319.96	1	-243.67	1	-0.38	1
213	6	13	Min.	0	0.00	1	0.00	1	0.00	1	1542.62	1	-630.12	1	-0.38	1
213	6	13	Min.	27	0.00	1	0.00	1	0.00	1	1319.96	1	-243.67	1	-0.38	1
213	13	20	Max	0	0.00	1	0.00	1	0.00	1	805.00	1	-243.74	1	-0.65	1
213	13	20	Max	61	0.00	1	0.00	1	0.00	1	301.96	1	93.88	1	-0.65	1
213	13	20	Min.	0	0.00	1	0.00	1	0.00	1	805.00	1	-243.74	1	-0.65	1
213	13	20	Min.	61	0.00	1	0.00	1	0.00	1	301.96	1	93.88	1	-0.65	1
213	20	24	Max	0	0.00	1	0.00	1	0.00	1	185.63	1	94.06	1	-0.48	1
213	20	24	Max	22.4							114.95	1				
213	20	24	Max	64	0.00	1	0.00	1	0.00	1	-342.15	1	43.97	1	-0.48	1
213	20	24	Min.	0	0.00	1	0.00	1	0.00	1	185.63	1	94.06	1	-0.48	1
213	20	24	Min.	22.4							114.95	1				
213	20	24	Min.	64	0.00	1	0.00	1	0.00	1	-342.15	1	43.97	1	-0.48	1
213	24	28	Max	0	0.00	1	0.00	1	0.00	1	223.08	1	43.71	1	-0.25	1
213	24	28	Max	26.25							73.86	1				
213	24	28	Max	70	0.00	1	0.00	1	0.00	1	-354.18	1	-2.18	1	-0.25	1
213	24	28	Min.	0	0.00	1	0.00	1	0.00	1	223.08	1	43.71	1	-0.25	1
213	24	28	Min.	26.25							73.86	1				
213	24	28	Min.	70	0.00	1	0.00	1	0.00	1	-354.18	1	-2.18	1	-0.25	1
213	28	30	Max	0	0.00	1	0.00	1	0.00	1	383.80	1	-2.33	1	-0.18	1
213	28	30	Max	46.65							86.98	1				
213	28	30	Max	49.1	0.00	1	0.00	1	0.00	1	-21.11	1	86.71	1	-0.18	1
213	28	30	Min.	0	0.00	1	0.00	1	0.00	1	383.80	1	-2.33	1	-0.18	1

213	28	30	Min.	46.65						86.98	1					
213	28	30	Min.	49.1	0.00	1	0.00	1	0.00	1	86.71	1	-0.18	1		
213	30	37	Max	0	0.00	1	0.00	1	0.00	1	86.65	1	-0.42	1		
213	30	37	Max	50.6	0.00	1	0.00	1	0.00	1	384.11	1	386.58	1	-0.42	1
213	30	37	Min.	0	0.00	1	0.00	1	0.00	1	801.39	1	86.65	1	-0.42	1
213	30	37	Min.	50.6	0.00	1	0.00	1	0.00	1	384.11	1	386.58	1	-0.42	1
213	37	44	Max	0	0.00	1	0.00	1	0.00	1	-393.80	1	385.07	1	1.36	1
213	37	44	Max	41.7	0.00	1	0.00	1	0.00	1	-737.68	1	149.16	1	1.36	1
213	37	44	Min.	0	0.00	1	0.00	1	0.00	1	-393.80	1	385.07	1	1.36	1
213	37	44	Min.	41.7	0.00	1	0.00	1	0.00	1	-737.68	1	149.16	1	1.36	1
213	44	51	Max	0	0.00	1	0.00	1	0.00	1	-843.20	1	148.56	1	1.09	1
213	44	51	Max	51.6	0.00	1	0.00	1	0.00	1	-1268.73	1	-396.32	1	1.09	1
213	44	51	Min.	0	0.00	1	0.00	1	0.00	1	-843.20	1	148.56	1	1.09	1
213	44	51	Min.	51.6	0.00	1	0.00	1	0.00	1	-1268.73	1	-396.32	1	1.09	1
213	51	58	Max	0	0.00	1	0.00	1	0.00	1	-1734.69	1	-396.33	1	0.56	1
213	51	58	Max	27	0.00	1	0.00	1	0.00	1	-1957.35	1	-894.76	1	0.56	1
213	51	58	Min.	0	0.00	1	0.00	1	0.00	1	-1734.69	1	-396.33	1	0.56	1
213	51	58	Min.	27	0.00	1	0.00	1	0.00	1	-1957.35	1	-894.76	1	0.56	1
214	7	14	Max	0	0.00	1	0.00	1	0.00	1	111.33	1	-5.01	1	0.00	1
214	7	14	Max	13.5							2.50	1				
214	7	14	Max	27	0.00	1	0.00	1	0.00	1	-111.33	1	-5.01	1	0.00	1
214	7	14	Min.	0	0.00	1	0.00	1	0.00	1	111.33	1	-5.01	1	0.00	1
214	7	14	Min.	13.5							2.50	1				
214	7	14	Min.	27	0.00	1	0.00	1	0.00	1	-111.33	1	-5.01	1	0.00	1
214	14	21	Max	0	0.00	1	0.00	1	0.00	1	251.52	1	-25.57	1	0.00	1
214	14	21	Max	30.5							12.79	1				
214	14	21	Max	61	0.00	1	0.00	1	0.00	1	-251.52	1	-25.57	1	0.00	1
214	14	21	Min.	0	0.00	1	0.00	1	0.00	1	251.52	1	-25.57	1	0.00	1
214	14	21	Min.	30.5							12.79	1				
214	14	21	Min.	61	0.00	1	0.00	1	0.00	1	-251.52	1	-25.57	1	0.00	1
214	21	25	Max	0	0.00	1	0.00	1	0.00	1	263.89	1	-28.15	1	0.00	1
214	21	25	Max	32							14.07	1				
214	21	25	Max	64	0.00	1	0.00	1	0.00	1	-263.89	1	-28.15	1	0.00	1
214	21	25	Min.	0	0.00	1	0.00	1	0.00	1	263.89	1	-28.15	1	0.00	1
214	21	25	Min.	32							14.07	1				
214	21	25	Min.	64	0.00	1	0.00	1	0.00	1	-263.89	1	-28.15	1	0.00	1
214	25	29	Max	0	0.00	1	0.00	1	0.00	1	288.63	1	-33.67	1	0.00	1
214	25	29	Max	35							16.84	1				
214	25	29	Max	70	0.00	1	0.00	1	0.00	1	-288.63	1	-33.67	1	0.00	1
214	25	29	Min.	0	0.00	1	0.00	1	0.00	1	288.63	1	-33.67	1	0.00	1
214	25	29	Min.	35							16.84	1				
214	25	29	Min.	70	0.00	1	0.00	1	0.00	1	-288.63	1	-33.67	1	0.00	1
214	29	31	Max	0	0.00	1	0.00	1	0.00	1	202.45	1	-16.57	1	0.00	1
214	29	31	Max	24.55							8.28	1				
214	29	31	Max	49.1	0.00	1	0.00	1	0.00	1	-202.46	1	-16.57	1	0.00	1
214	29	31	Min.	0	0.00	1	0.00	1	0.00	1	202.45	1	-16.57	1	0.00	1
214	29	31	Min.	24.55							8.28	1				
214	29	31	Min.	49.1	0.00	1	0.00	1	0.00	1	-202.46	1	-16.57	1	0.00	1
214	31	38	Max	0	0.00	1	0.00	1	0.00	1	241.21	1	-23.52	1	0.00	1
214	31	38	Max	29.25							11.76	1				
214	31	38	Max	58.5	0.00	1	0.00	1	0.00	1	-241.22	1	-23.52	1	0.00	1
214	31	38	Min.	0	0.00	1	0.00	1	0.00	1	241.21	1	-23.52	1	0.00	1
214	31	38	Min.	29.25							11.76	1				
214	31	38	Min.	58.5	0.00	1	0.00	1	0.00	1	-241.22	1	-23.52	1	0.00	1
214	38	45	Max	0	0.00	1	0.00	1	0.00	1	139.37	1	-7.85	1	0.00	1
214	38	45	Max	16.9							3.93	1				
214	38	45	Max	33.8	0.00	1	0.00	1	0.00	1	-139.37	1	-7.85	1	0.00	1
214	38	45	Min.	0	0.00	1	0.00	1	0.00	1	139.37	1	-7.85	1	0.00	1
214	38	45	Min.	16.9							3.93	1				
214	38	45	Min.	33.8	0.00	1	0.00	1	0.00	1	-139.37	1	-7.85	1	0.00	1
214	45	52	Max	0	0.00	1	0.00	1	0.00	1	212.76	1	-18.30	1	0.00	1
214	45	52	Max	25.8							9.15	1				
214	45	52	Max	51.6	0.00	1	0.00	1	0.00	1	-212.77	1	-18.30	1	0.00	1
214	45	52	Min.	0	0.00	1	0.00	1	0.00	1	212.76	1	-18.30	1	0.00	1
214	45	52	Min.	25.8							9.15	1				
214	45	52	Min.	51.6	0.00	1	0.00	1	0.00	1	-212.77	1	-18.30	1	0.00	1
214	52	59	Max	0	0.00	1	0.00	1	0.00	1	111.33	1	-5.01	1	0.00	1
214	52	59	Max	13.5							2.50	1				
214	52	59	Max	27	0.00	1	0.00	1	0.00	1	-111.33	1	-5.01	1	0.00	1
214	52	59	Min.	0	0.00	1	0.00	1	0.00	1	111.33	1	-5.01	1	0.00	1
214	52	59	Min.	13.5							2.50	1				
214	52	59	Min.	27	0.00	1	0.00	1	0.00	1	-111.33	1	-5.01	1	0.00	1
215	32	33	Max	0	0.00	1	0.00	1	0.00	1	1482.54	1	-1177.63	1	0.40	1
215	32	33	Max	84.35	0.00	1	0.00	1	0.00	1	786.92	1	-220.46	1	0.40	1
215	32	33	Min.	0	0.00	1	0.00	1	0.00	1	1482.54	1	-1177.63	1	0.40	1
215	32	33	Min.	84.35	0.00	1	0.00	1	0.00	1	786.92	1	-220.46	1	0.40	1
215	33	34	Max	0	0.00	1	0.00	1	0.00	1	1123.50	1	-221.91	1	1.80	1
215	33	34	Max	90.57	0.00	1	0.00	1	0.00	1	376.59	1	457.42	1	1.80	1
215	33	34	Min.	0	0.00	1	0.00	1	0.00	1	1123.50	1	-221.91	1	1.80	1
215	33	34	Min.	90.57	0.00	1	0.00	1	0.00	1	376.59	1	457.42	1	1.80	1
215	34	35	Max	0	0.00	1	0.00	1	0.00	1	408.45	1	456.09	1	0.57	1
215	34	35	Max	49.08							557.23	1				
215	34	35	Max	83.55	0.00	1	0.00	1	0.00	1	509.53	1	0.57	1		
215	34	35	Min.	0	0.00	1	0.00	1	0.00	1	408.45	1	456.09	1	0.57	1

215	34	35	Min.	49.08					557.23	1						
215	34	35	Min.	83.55	0.00	1	0.00	1	0.00	1	-280.53	1	509.53	1	0.57	1
215	35	36	Max	0	0.00	1	0.00	1	0.00	1	104.25	1	509.30	1	-0.72	1
215	35	36	Max	12.55								515.89	1			
215	35	36	Max	83.65	0.00	1	0.00	1	0.00	1	-585.55	1	308.01	1	-0.72	1
215	35	36	Min.	0	0.00	1	0.00	1	0.00	1	104.25	1	509.30	1	-0.72	1
215	35	36	Min.	12.55								515.89	1			
215	35	36	Min.	83.65	0.00	1	0.00	1	0.00	1	-585.55	1	308.01	1	-0.72	1
215	36	37	Max	0	0.00	1	0.00	1	0.00	1	-326.54	1	309.06	1	-1.83	1
215	36	37	Max	90.57	0.00	1	0.00	1	0.00	1	-1073.45	1	-324.94	1	-1.83	1
215	36	37	Min.	0	0.00	1	0.00	1	0.00	1	-326.54	1	309.06	1	-1.83	1
215	36	37	Min.	90.57	0.00	1	0.00	1	0.00	1	-1073.45	1	-324.94	1	-1.83	1
215	37	38	Max	0	0.00	1	0.00	1	0.00	1	-295.54	1	-323.03	1	-0.21	1
215	37	38	Max	86.46	0.00	1	0.00	1	0.00	1	-1008.56	1	-886.80	1	-0.21	1
215	37	38	Min.	0	0.00	1	0.00	1	0.00	1	-295.54	1	-323.03	1	-0.21	1
215	37	38	Min.	86.46	0.00	1	0.00	1	0.00	1	-1008.56	1	-886.80	1	-0.21	1
218	24	25	Max	0	0.00	1	0.00	1	0.00	1	-565.23	1	0.23	1	0.27	1
218	24	25	Max	86.1	0.00	1	0.00	1	0.00	1	-1275.26	1	-792.10	1	0.27	1
218	24	25	Min.	0	0.00	1	0.00	1	0.00	1	-565.23	1	0.23	1	0.27	1
218	24	25	Min.	86.1	0.00	1	0.00	1	0.00	1	-1275.26	1	-792.10	1	0.27	1
219	28	29	Max	0	0.00	1	0.00	1	0.00	1	-737.98	1	0.07	1	0.15	1
219	28	29	Max	86.1	0.00	1	0.00	1	0.00	1	-1448.01	1	-941.00	1	0.15	1
219	28	29	Min.	0	0.00	1	0.00	1	0.00	1	-737.98	1	0.07	1	0.15	1
219	28	29	Min.	86.1	0.00	1	0.00	1	0.00	1	-1448.01	1	-941.00	1	0.15	1
225	34	41	Max	0	0.00	1	0.00	1	0.00	1	-31.86	1	1.14	1	-1.23	1
225	34	41	Max	65.1	0.00	1	0.00	1	0.00	1	-568.72	1	-194.35	1	-1.23	1
225	34	41	Min.	0	0.00	1	0.00	1	0.00	1	-31.86	1	1.14	1	-1.23	1
225	34	41	Min.	65.1	0.00	1	0.00	1	0.00	1	-568.72	1	-194.35	1	-1.23	1
225	41	48	Max	0	0.00	1	0.00	1	0.00	1	-1269.31	1	-193.74	1	-0.72	1
225	41	48	Max	51.6	0.00	1	0.00	1	0.00	1	-1694.84	1	-958.49	1	-0.72	1
225	41	48	Min.	0	0.00	1	0.00	1	0.00	1	-1269.31	1	-193.74	1	-0.72	1
225	41	48	Min.	51.6	0.00	1	0.00	1	0.00	1	-1694.84	1	-958.49	1	-0.72	1
225	48	55	Max	0	0.00	1	0.00	1	0.00	1	-2427.41	1	-958.17	1	-0.23	1
225	48	55	Max	27	0.00	1	0.00	1	0.00	1	-2650.07	1	-1643.63	1	-0.23	1
225	48	55	Min.	0	0.00	1	0.00	1	0.00	1	-2427.41	1	-958.17	1	-0.23	1
225	48	55	Min.	27	0.00	1	0.00	1	0.00	1	-2650.07	1	-1643.63	1	-0.23	1
226	35	42	Max	0	0.00	1	0.00	1	0.00	1	-384.78	1	1.36	1	-0.10	1
226	35	42	Max	57.5	0.00	1	0.00	1	0.00	1	-858.96	1	-356.22	1	-0.10	1
226	35	42	Min.	0	0.00	1	0.00	1	0.00	1	-384.78	1	1.36	1	-0.10	1
226	35	42	Min.	57.5	0.00	1	0.00	1	0.00	1	-858.96	1	-356.22	1	-0.10	1
226	42	49	Max	0	0.00	1	0.00	1	0.00	1	-1418.35	1	-355.18	1	-0.04	1
226	42	49	Max	51.6	0.00	1	0.00	1	0.00	1	-1843.88	1	-1196.84	1	-0.04	1
226	42	49	Min.	0	0.00	1	0.00	1	0.00	1	-1418.35	1	-355.18	1	-0.04	1
226	42	49	Min.	51.6	0.00	1	0.00	1	0.00	1	-1843.88	1	-1196.84	1	-0.04	1
226	49	56	Max	0	0.00	1	0.00	1	0.00	1	-2517.00	1	-1196.42	1	-0.01	1
226	49	56	Max	27	0.00	1	0.00	1	0.00	1	-2739.66	1	-1906.07	1	-0.01	1
226	49	56	Min.	0	0.00	1	0.00	1	0.00	1	-2517.00	1	-1196.42	1	-0.01	1
226	49	56	Min.	27	0.00	1	0.00	1	0.00	1	-2739.66	1	-1906.07	1	-0.01	1
227	36	43	Max	0	0.00	1	0.00	1	0.00	1	-259.01	1	1.11	1	1.16	1
227	36	43	Max	49.9	0.00	1	0.00	1	0.00	1	-670.52	1	-230.81	1	1.16	1
227	36	43	Min.	0	0.00	1	0.00	1	0.00	1	-259.01	1	1.11	1	1.16	1
227	36	43	Min.	49.9	0.00	1	0.00	1	0.00	1	-670.52	1	-230.81	1	1.16	1
227	43	50	Max	0	0.00	1	0.00	1	0.00	1	-1260.69	1	-229.96	1	0.73	1
227	43	50	Max	51.6	0.00	1	0.00	1	0.00	1	-1686.22	1	-990.26	1	0.73	1
227	43	50	Min.	0	0.00	1	0.00	1	0.00	1	-1260.69	1	-229.96	1	0.73	1
227	43	50	Min.	51.6	0.00	1	0.00	1	0.00	1	-1686.22	1	-990.26	1	0.73	1
227	50	57	Max	0	0.00	1	0.00	1	0.00	1	-2425.49	1	-989.89	1	0.21	1
227	50	57	Max	27	0.00	1	0.00	1	0.00	1	-2648.15	1	-1674.83	1	0.21	1
227	50	57	Min.	0	0.00	1	0.00	1	0.00	1	-2425.49	1	-989.89	1	0.21	1
227	50	57	Min.	27	0.00	1	0.00	1	0.00	1	-2648.15	1	-1674.83	1	0.21	1

VERIFICA ASTE IN ACCIAIO

Simbologia

CARATTERISTICHE PROFILATI UTILIZZATI

Sez.	= numero della sezione
Cod.	= codice della sezione
Tipo	= tipo di sezione:
I	= I
L	= L
C	= C
T	= T
R	= Rettangolare
Om.	= Omega
Cir.	= Circolare
Cir.c	= Circolare cava
Rc	= Rettangolare cava
2C	= Doppia C lato labbri
2Cdx	= Doppia C lato costola
2I	= Doppia I
2L	= Doppia L lato labbri
2Ldx	= Doppia L lato costole
D	= distanza fra le sezioni

Area,Anet,Aeff = area, area netta (per compressione), area effettiva (per trazione)
 J_Y, J_Z, J_C, J_e = momenti d'inerzia intorno agli assi Y, Z, Csi e Eta locali
 I_Y, I_Z, I_C, I_e = raggi d'inerzia intorno agli assi Y, Z, Csi e Eta locali
 w_Y, w_Z, w_C, w_E min = moduli di resistenza intorno agli assi Y, Z, Csi e Eta locali

VERIFICHE DI RESISTENZA

xl = Coordinata progressiva (dal nodo iniziale dell'asta) in cui viene effettuato il progetto/verifica <m>
 N = sforzo normale <kg>
 M_Y, M_Z = momenti flettenti intorno agli assi Y e Z <kgm>
 T_Y, T_Z = tagli in direzione Y e Z <kg>
 M_X = momento torcente <kgm>
 M_C, M_e = momenti flettenti intorno agli assi principali Csi e Eta <kgm>
 σ_N, σ_M = tensione per sforzo normale e per momento flettente <kg/cmq>
 τ = tensione per taglio e/o torsione <kg/cmq>
 $\sigma_{I_D, max}$ = tensione ideale massima <kg/cmq>

VERIFICHE DI STABILITÀ LATERALE

h = altezza della sezione (7.3.2.2.1) <cm>
 Ltors = distanza fra ritegni torsionali (7.3.2.2.1) <cm>
 b = larghezza ali (7.3.2.2.1) <cm>
 t_f = spessore ali (7.3.2.2.1) <cm>
 ω_1 = coeff. ω dell'asta per stabilità flessotorsionale (7.3.2.2.1)
 σ_D = tensione critica per flessione in campo elastoplastico (7.3.2) <kg/cmq>
 σ_{max} = tensione massima al lembo compresso (7.3.2) <kg/cmq>
 v = coeff. di sicurezza per la CC in esame (7.1)
 t_w = spessore anima (7.3.2.2.1) <cm>
 σ = tensione per momento equivalente (7.3.2.2.1) <kg/cmq>
 M_{max}, M_{eq} = momento massimo agente, momento equivalente (7.3.2.2.1) <kgm>
 S_Y = momento statico dell'ala compressa rispetto all'asse Y (7.3.2.2.2) <cmc>
 Area = area dell'ala compressa (7.3.2.2.2) <cmc>
 i_z = raggio d'inerzia dell'ala rispetto all'asse Z <cm>
 λ_{ala} = snellezza dell'ala supposta isolata (7.3.2.2.2)
 ω = coeff. ω dell'ala supposta isolata (7.3.2.2.2)
 N_{eq}, f = forza assiale agente nell'ala (7.3.2.2.2) <kg>

VERIFICHE DI IMBOZZAMENTO PANNELLI D'ANIMA

da, a = coordinate (rispetto al primo nodo dell'asta) di inizio e fine pannello <cm>
 a = lunghezza del pannello (7.6.1.2) <cm>
 h = altezza del pannello (7.6.1.2) <cm>
 α = rapporto a/h (7.6.1.2)
 N, M_Y, T_Z = sollecitazioni di verifica (7.6.1.6) <kg> <kgm> <kg>
 σ_N, σ_M = tensione per sforzo normale e per momento flettente <kg/cmq>
 σ_1, σ_2 = massimo e minimo valore di tensione normale nel pannello (7.6.1.4) <kg/cmq>
 τ = tensione tangenziale per taglio nel pannello (7.6.1.5) <kg/cmq>
 $\sigma_{cr, 0}$ = tensione di riferimento (7.6.2.1) <kg/cmq>
 k_t = coeff. d'imbozzamento per tensioni tangenziali
 τ_{cr} = tensione tangenziale critica (7.6.2.1) <kg/cmq>
 ψ = coeff. di variabilità tensione normale (7.6.1.4)
 $k\sigma$ = coeff. d'imbozzamento per tensioni normali
 σ_{cr} = tensione critica <kg/cmq>
 $\sigma_{cr, id}$ = tensione di confronto (7.6.2.1) <kg/cmq>
 $\sigma_{cr, red}$ = tensione di confronto ridotta (7.6.2.1) <kg/cmq>
 f_d = resistenza di progetto (4.1.1) <kg/cmq>
 H_{anima} = altezza totale dell'anima (equivale ad h in 7.6.2.2) <cm>
 t = spessore anima (equivale ad a in 7.6.2.2) <cm>
 β = fattore moltiplicativo del coeff. di sicurezza (7.6.2.1)
 v = coeff. di sicurezza per la CC in esame (7.1)

CARATTERISTICHE PROFILATI UTILIZZATI

Sez.	Cod.	Tipo	D	Area	Anet	Aeff	J_Y	J_Z	I_Y	I_Z	W_{Ymin}	W_{Zmin}
1	HEA 140	Is		31.42	31.42	31.42	1033.15	389.32	5.73	3.52	155.36	55.62

Asta n. 201 (8 9) HEA 140 Cr. 1

- Verifica σ_{max} - CC 1 Xl=0
Sollecitazioni: $N=0$ $T_Z=533.55$ $M_Y=-173.22$ $T_Y=0$ $M_Z=0$ $M_X=-0.37$
Tensioni: $\sigma_N=0$ $\sigma_M=111.5$ $\tau=4.3$ $\sigma_{max}=111.5$
- Verifica τ_{max} - CC 1 Xl=0
Sollecitazioni: $N=0$ $T_Z=533.55$ $M_Y=-173.22$ $T_Y=0$ $M_Z=0$ $M_X=-0.37$
Tensioni: $\sigma_N=0$ $\sigma_M=0$ $\tau=85.65$ $\tau_{max}=85.65$
- Verifica $\sigma_{I_D, max}$ - CC 1 Xl=0
Sollecitazioni: $N=0$ $T_Z=533.55$ $M_Y=-173.22$ $T_Y=0$ $M_Z=0$ $M_X=-0.37$
Tensioni: $\sigma_N=0$ $\sigma_M=77.12$ $\tau=80.2$ $\sigma_{I_D, max}=158.88$
- Verifica Stabilità laterale (7.3.2.2.1) - CC 1 Ltors=84
 $h^*Ltors/b*t_f=93.88$ $\omega_1=1.4$ $\sigma_D=1678.57$

Sollecitazioni: $M_m \text{ a } x = -173.22$ $M_e \text{ q} = -129.91$ Tensioni: $\sigma = -117.07$ $\sigma_m \text{ a } x = -111.5$
 Controllo sicurezza (7.3.2): $\sigma_D / \sigma_m \text{ a } x = 15.06$ $v = 1.5$
 - Verifica Imbozzamento pannelli (7.6.2.1) - CC 1
 Sollecitazioni: $N = 0$ $T_z = 533.55$ $M_y = -173.22$
 Parametri: $a = 84$ $h = 11.6$ $\alpha = 7.24$ $H_a \text{ n i m a} = 11.6$ $t = 0.55$
 $\sigma_N = 0$ $\sigma_M = 97.24$ $\sigma_1 = -97.24$ $\sigma_2 = 97.24$ $t = 83.63$ $\sigma_{c,r}'_0 = 4185.9$
 Sono soddisfatte le limitazioni del prospetto 7-XI: $H_a \text{ n i m a} / t = 21.09 < 130$

Asta n. 201 (9 10) HEA 140 Cr. 1

- Verifica $\sigma_m \text{ a } x$ - CC 1 $Xl = 0.43$
 Sollecitazioni: $N = 0$ $T_z = -2.26$ $M_y = 59$ $T_y = 0$ $M_z = 0$ $M_x = -0.3$
 Tensioni: $\sigma_N = 0$ $\sigma_M = -37.98$ $t = 3.48$ $\sigma_m \text{ a } x = -37.98$
 - Verifica $\tau_m \text{ a } x$ - CC 1 $Xl = 0.9$
 Sollecitazioni: $N = 0$ $T_z = -392.78$ $M_y = -34.53$ $T_y = 0$ $M_z = 0$ $M_x = -0.3$
 Tensioni: $\sigma_N = 0$ $\sigma_M = 0$ $t = 63.07$ $\tau_m \text{ a } x = 63.07$
 - Verifica $\sigma_{I,D} \text{ m a } x$ - CC 1 $Xl = 0.9$
 Sollecitazioni: $N = 0$ $T_z = -392.78$ $M_y = -34.53$ $T_y = 0$ $M_z = 0$ $M_x = -0.3$
 Tensioni: $\sigma_N = 0$ $\sigma_M = 0$ $t = 63.07$ $\sigma_{I,D} \text{ m a } x = 109.24$
 - Verifica Stabilità laterale (7.3.2.2.1) - CC 1 $Ltors = 90.2$
 $h^*Ltors/b^*tf = 100.81$ $\omega_1 = 1.4$ $\sigma_D = 1678.57$
 Sollecitazioni: $M_m \text{ a } x = 59$ $M_e \text{ q} = 47.34$ Tensioni: $\sigma = 42.66$ $\sigma_m \text{ a } x = 37.98$
 Controllo sicurezza (7.3.2): $\sigma_D / \sigma_m \text{ a } x = 44.2$ $v = 1.5$
 - Verifica Imbozzamento pannelli (7.6.2.1) - CC 1
 Sollecitazioni: $N = 0$ $T_z = -392.78$ $M_y = 59$
 Parametri: $a = 90.2$ $h = 11.6$ $\alpha = 7.78$ $H_a \text{ n i m a} = 11.6$ $t = 0.55$
 $\sigma_N = 0$ $\sigma_M = 33.12$ $\sigma_1 = -33.12$ $\sigma_2 = 33.12$ $t = 61.56$ $\sigma_{c,r}'_0 = 4185.9$
 Sono soddisfatte le limitazioni del prospetto 7-XI: $H_a \text{ n i m a} / t = 21.09 < 130$

Asta n. 201 (10 11) HEA 140 Cr. 1

- Verifica $\sigma_m \text{ a } x$ - CC 1 $Xl = 0.42$
 Sollecitazioni: $N = 0$ $T_z = -0.24$ $M_y = 36.97$ $T_y = 0$ $M_z = 0$ $M_x = -0.09$
 Tensioni: $\sigma_N = 0$ $\sigma_M = -23.79$ $t = 0.99$ $\sigma_m \text{ a } x = -23.79$
 - Verifica $\tau_m \text{ a } x$ - CC 1 $Xl = 0.83$
 Sollecitazioni: $N = 0$ $T_z = -343.3$ $M_y = -34.49$ $T_y = 0$ $M_z = 0$ $M_x = -0.09$
 Tensioni: $\sigma_N = 0$ $\sigma_M = 0$ $t = 55.05$ $\tau_m \text{ a } x = 55.05$
 - Verifica $\sigma_{I,D} \text{ m a } x$ - CC 1 $Xl = 0.83$
 Sollecitazioni: $N = 0$ $T_z = -343.3$ $M_y = -34.49$ $T_y = 0$ $M_z = 0$ $M_x = -0.09$
 Tensioni: $\sigma_N = 0$ $\sigma_M = 0$ $t = 55.05$ $\sigma_{I,D} \text{ m a } x = 95.35$
 - Verifica Stabilità laterale (7.3.2.2.1) - CC 1 $Ltors = 83.19999$
 $h^*Ltors/b^*tf = 92.99$ $\omega_1 = 1.4$ $\sigma_D = 1678.57$
 Sollecitazioni: $M_m \text{ a } x = 36.97$ $M_e \text{ q} = 36.97$ Tensioni: $\sigma = 33.31$ $\sigma_m \text{ a } x = 23.79$
 Controllo sicurezza (7.3.2): $\sigma_D / \sigma_m \text{ a } x = 70.55$ $v = 1.5$
 - Verifica Imbozzamento pannelli (7.6.2.1) - CC 1
 Sollecitazioni: $N = 0$ $T_z = -343.3$ $M_y = 36.97$
 Parametri: $a = 83.19999$ $h = 11.6$ $\alpha = 7.17$ $H_a \text{ n i m a} = 11.6$ $t = 0.55$
 $\sigma_N = 0$ $\sigma_M = 20.75$ $\sigma_1 = -20.75$ $\sigma_2 = 20.75$ $t = 53.81$ $\sigma_{c,r}'_0 = 4185.9$
 Sono soddisfatte le limitazioni del prospetto 7-XI: $H_a \text{ n i m a} / t = 21.09 < 130$

Asta n. 201 (11 12) HEA 140 Cr. 1

- Verifica $\sigma_m \text{ a } x$ - CC 1 $Xl = 0.42$
 Sollecitazioni: $N = 0$ $T_z = -1.84$ $M_y = 36.27$ $T_y = 0$ $M_z = 0$ $M_x = 0.09$
 Tensioni: $\sigma_N = 0$ $\sigma_M = -23.35$ $t = 0.99$ $\sigma_m \text{ a } x = -23.35$
 - Verifica $\tau_m \text{ a } x$ - CC 1 $Xl = 0.83$
 Sollecitazioni: $N = 0$ $T_z = -345.31$ $M_y = -36.02$ $T_y = 0$ $M_z = 0$ $M_x = 0.09$
 Tensioni: $\sigma_N = 0$ $\sigma_M = 0$ $t = 55.37$ $\tau_m \text{ a } x = 55.37$
 - Verifica $\sigma_{I,D} \text{ m a } x$ - CC 1 $Xl = 0.83$
 Sollecitazioni: $N = 0$ $T_z = -345.31$ $M_y = -36.02$ $T_y = 0$ $M_z = 0$ $M_x = 0.09$
 Tensioni: $\sigma_N = 0$ $\sigma_M = 0$ $t = 55.37$ $\sigma_{I,D} \text{ m a } x = 95.91$
 - Verifica Stabilità laterale (7.3.2.2.1) - CC 1 $Ltors = 83.30002$
 $h^*Ltors/b^*tf = 93.1$ $\omega_1 = 1.4$ $\sigma_D = 1678.57$
 Sollecitazioni: $M_m \text{ a } x = 36.27$ $M_e \text{ q} = 36.27$ Tensioni: $\sigma = 32.68$ $\sigma_m \text{ a } x = 23.35$
 Controllo sicurezza (7.3.2): $\sigma_D / \sigma_m \text{ a } x = 71.9$ $v = 1.5$
 - Verifica Imbozzamento pannelli (7.6.2.1) - CC 1
 Sollecitazioni: $N = 0$ $T_z = -345.31$ $M_y = 36.27$
 Parametri: $a = 83.30002$ $h = 11.6$ $\alpha = 7.18$ $H_a \text{ n i m a} = 11.6$ $t = 0.55$
 $\sigma_N = 0$ $\sigma_M = 20.36$ $\sigma_1 = -20.36$ $\sigma_2 = 20.36$ $t = 54.12$ $\sigma_{c,r}'_0 = 4185.9$
 Sono soddisfatte le limitazioni del prospetto 7-XI: $H_a \text{ n i m a} / t = 21.09 < 130$

Asta n. 201 (12 13) HEA 140 Cr. 1

- Verifica $\sigma_m \text{ a } x$ - CC 1 $Xl = 0.48$
 Sollecitazioni: $N = 0$ $T_z = -3.4$ $M_y = 59$ $T_y = 0$ $M_z = 0$ $M_x = 0.3$
 Tensioni: $\sigma_N = 0$ $\sigma_M = -37.98$ $t = 3.48$ $\sigma_m \text{ a } x = -37.98$
 - Verifica $\tau_m \text{ a } x$ - CC 1 $Xl = 0$
 Sollecitazioni: $N = 0$ $T_z = 396.42$ $M_y = -36.27$ $T_y = 0$ $M_z = 0$ $M_x = 0.3$

Tensioni: $\sigma_N = 0$ $\sigma_M = 0$ $t=63.65$ $\tau_m a_x = 63.65$
- Verifica $\sigma_I D, m_a x - CC 1 X1=0$
Sollecitazioni: $N=0$ $T_z = 396.42$ $M_y = -36.27$ $T_y = 0$ $M_z = 0$ $M_x = 0.3$
Tensioni: $\sigma_N = 0$ $\sigma_M = 0$ $t=63.65$ $\sigma_I D, m_a x = 110.25$
- Verifica Stabilità laterale (7.3.2.2.1) - CC 1 Ltors=90.2
 $h^*Ltors/b^*tf = 100.81$ $\omega_1 = 1.4$ $\sigma_D = 1678.57$
Sollecitazioni: $M_m a_x = 59$ $M_e q = 47.43$ Tensioni: $\sigma = 42.74$ $\sigma_m a_x = 37.98$
Controllo sicurezza (7.3.2): $\sigma_D / \sigma_m a_x = 44.2$ $v=1.5$
- Verifica Imbozzamento pannelli (7.6.2.1) - CC 1
Sollecitazioni: $N=0$ $T_z = 396.42$ $M_y = 59$
Parametri: $a=90.2$ $h=11.6$ $\alpha=7.78$ $H_a n i m a = 11.6$ $t=0.55$
 $\sigma_N = 0$ $\sigma_M = 33.12$ $\sigma_1 = -33.12$ $\sigma_2 = 33.12$ $t=62.13$ $\sigma_{c,r}, 0 = 4185.9$
Sono soddisfatte le limitazioni del prospetto 7-XI: $H_a n i m a / t = 21.09 < 130$

Asta n. 201 (13 14) HEA 140 Cr. 1

- Verifica $\sigma_m a_x - CC 1 X1=0.86$
Sollecitazioni: $N=0$ $T_z = -542.49$ $M_y = -175.85$ $T_y = 0$ $M_z = 0$ $M_x = 0.37$
Tensioni: $\sigma_N = 0$ $\sigma_M = 113.19$ $t=4.3$ $\sigma_m a_x = 113.19$
- Verifica $\tau_m a_x - CC 1 X1=0.86$
Sollecitazioni: $N=0$ $T_z = -542.49$ $M_y = -175.85$ $T_y = 0$ $M_z = 0$ $M_x = 0.37$
Tensioni: $\sigma_N = 0$ $\sigma_M = 0$ $t=87.08$ $\tau_m a_x = 87.08$
- Verifica $\sigma_I D, m_a x - CC 1 X1=0.86$
Sollecitazioni: $N=0$ $T_z = -542.49$ $M_y = -175.85$ $T_y = 0$ $M_z = 0$ $M_x = 0.37$
Tensioni: $\sigma_N = 0$ $\sigma_M = 78.29$ $t=81.54$ $\sigma_I D, m_a x = 161.47$
- Verifica Stabilità laterale (7.3.2.2.1) - CC 1 Ltors=86.10001
 $h^*Ltors/b^*tf = 96.23$ $\omega_1 = 1.4$ $\sigma_D = 1678.57$
Sollecitazioni: $M_m a_x = -175.85$ $M_e q = -131.89$ Tensioni: $\sigma = -118.85$ $\sigma_m a_x = -113.19$
Controllo sicurezza (7.3.2): $\sigma_D / \sigma_m a_x = 14.83$ $v=1.5$
- Verifica Imbozzamento pannelli (7.6.2.1) - CC 1
Sollecitazioni: $N=0$ $T_z = -542.49$ $M_y = -175.85$
Parametri: $a=86.10001$ $h=11.6$ $\alpha=7.42$ $H_a n i m a = 11.6$ $t=0.55$
 $\sigma_N = 0$ $\sigma_M = 98.72$ $\sigma_1 = -98.72$ $\sigma_2 = 98.72$ $t=85.03$ $\sigma_{c,r}, 0 = 4185.9$
Sono soddisfatte le limitazioni del prospetto 7-XI: $H_a n i m a / t = 21.09 < 130$

Asta n. 202 (15 16) HEA 140 Cr. 1

- Verifica $\sigma_m a_x - CC 1 X1=0$
Sollecitazioni: $N=0$ $T_z = 1051.17$ $M_y = -565.35$ $T_y = 0$ $M_z = 0$ $M_x = -0.51$
Tensioni: $\sigma_N = 0$ $\sigma_M = 363.89$ $t=5.92$ $\sigma_m a_x = 363.89$
- Verifica $\tau_m a_x - CC 1 X1=0$
Sollecitazioni: $N=0$ $T_z = 1051.17$ $M_y = -565.35$ $T_y = 0$ $M_z = 0$ $M_x = -0.51$
Tensioni: $\sigma_N = 0$ $\sigma_M = 0$ $t=168.64$ $\tau_m a_x = 168.64$
- Verifica $\sigma_I D, m_a x - CC 1 X1=0$
Sollecitazioni: $N=0$ $T_z = 1051.17$ $M_y = -565.35$ $T_y = 0$ $M_z = 0$ $M_x = -0.51$
Tensioni: $\sigma_N = 0$ $\sigma_M = 251.72$ $t=157.88$ $\sigma_I D, m_a x = 371.67$
- Verifica Stabilità laterale (7.3.2.2.1) - CC 1 Ltors=84
 $h^*Ltors/b^*tf = 93.88$ $\omega_1 = 1.4$ $\sigma_D = 1678.57$
Sollecitazioni: $M_m a_x = -565.35$ $M_e q = -424.01$ Tensioni: $\sigma = -382.09$ $\sigma_m a_x = -363.89$
Controllo sicurezza (7.3.2): $\sigma_D / \sigma_m a_x = 4.61$ $v=1.5$
- Verifica Imbozzamento pannelli (7.6.2.1) - CC 1
Sollecitazioni: $N=0$ $T_z = 1051.17$ $M_y = -565.35$
Parametri: $a=84$ $h=11.6$ $\alpha=7.24$ $H_a n i m a = 11.6$ $t=0.55$
 $\sigma_N = 0$ $\sigma_M = 317.38$ $\sigma_1 = -317.38$ $\sigma_2 = 317.38$ $t=164.76$ $\sigma_{c,r}, 0 = 4185.9$
Sono soddisfatte le limitazioni del prospetto 7-XI: $H_a n i m a / t = 21.09 < 130$

Asta n. 202 (16 17) HEA 140 Cr. 1

- Verifica $\sigma_m a_x - CC 1 X1=0.52$
Sollecitazioni: $N=0$ $T_z = -1.57$ $M_y = 136.72$ $T_y = 0$ $M_z = 0$ $M_x = -0.62$
Tensioni: $\sigma_N = 0$ $\sigma_M = -88$ $t=7.2$ $\sigma_m a_x = -88$
- Verifica $\tau_m a_x - CC 1 X1=0$
Sollecitazioni: $N=0$ $T_z = 426.14$ $M_y = 26.62$ $T_y = 0$ $M_z = 0$ $M_x = -0.62$
Tensioni: $\sigma_N = 0$ $\sigma_M = -0$ $t=68.7$ $\tau_m a_x = 68.7$
- Verifica $\sigma_I D, m_a x - CC 1 X1=0$
Sollecitazioni: $N=0$ $T_z = 426.14$ $M_y = 26.62$ $T_y = 0$ $M_z = 0$ $M_x = -0.62$
Tensioni: $\sigma_N = 0$ $\sigma_M = -0$ $t=68.7$ $\sigma_I D, m_a x = 118.99$
- Verifica Stabilità laterale (7.3.2.2.1) - CC 1 Ltors=90.2
 $h^*Ltors/b^*tf = 100.81$ $\omega_1 = 1.4$ $\sigma_D = 1678.57$
Sollecitazioni: $M_m a_x = 136.72$ $M_e q = 103.51$ Tensioni: $\sigma = 93.27$ $\sigma_m a_x = 88$
Controllo sicurezza (7.3.2): $\sigma_D / \sigma_m a_x = 19.07$ $v=1.5$
- Verifica Imbozzamento pannelli (7.6.2.1) - CC 1
Sollecitazioni: $N=0$ $T_z = 426.14$ $M_y = 136.72$
Parametri: $a=90.2$ $h=11.6$ $\alpha=7.78$ $H_a n i m a = 11.6$ $t=0.55$
 $\sigma_N = 0$ $\sigma_M = 76.75$ $\sigma_1 = -76.75$ $\sigma_2 = 76.75$ $t=66.79$ $\sigma_{c,r}, 0 = 4185.9$
Sono soddisfatte le limitazioni del prospetto 7-XI: $H_a n i m a / t = 21.09 < 130$

Asta n. 202 (17 18) HEA 140 Cr. 1

- Verifica $\sigma_{m\ a\ x}$ - CC 1 Xl=0.37
 Sollecitazioni: N=0 T_z =-3.75 M_y =131.57 T_y =0 M_z =0 M_x =-0.17
 Tensioni: σ_N =0 σ_M =-84.69 τ=1.97 σ_{m\ a\ x} =-84.69

- Verifica $\tau_{m\ a\ x}$ - CC 1 Xl=0.83
 Sollecitazioni: N=0 T_z =-381.12 M_y =43.51 T_y =0 M_z =0 M_x =-0.17
 Tensioni: σ_N =0 σ_M =-0 τ=61.14 τ_{m\ a\ x} =61.14

- Verifica $\sigma_{I\ D'}$, m_ax - CC 1 Xl=0.83
 Sollecitazioni: N=0 T_z =-381.12 M_y =43.51 T_y =0 M_z =0 M_x =-0.17
 Tensioni: σ_N =0 σ_M =-0 τ=61.14 σ_{I\ D'}, m_ax =105.89

- Verifica Stabilità laterale (7.3.2.2.1) - CC 1 Ltors=83.19999
 $h^*Ltors/b^*tf = 92.99 \omega_1 = 1.4 \sigma_D = 1678.57$
 Sollecitazioni: M_{m\ a\ x} =131.57 M_{e\ q} =108.45 Tensioni: σ=97.73 σ_{m\ a\ x} =84.69
 Controllo sicurezza (7.3.2): σ_D /σ_{m\ a\ x} =19.82 v=1.5

- Verifica Imbozzamento pannelli (7.6.2.1) - CC 1
 Sollecitazioni: N=0 T_z =-381.12 M_y =131.57
 Parametri: a=83.19999 h=11.6 α=7.17 Ha n i m a =11.6 t=0.55
 σ_N =0 σ_M =73.86 σ₁ =-73.86 σ₂ =73.86 τ=59.74 σ_{c\ r}, 0 =4185.9
 Sono soddisfatte le limitazioni del prospetto 7-XI: Ha n i m a /t=21.09<130

Asta n. 202 (18 19) HEA 140 Cr. 1

- Verifica $\sigma_{m\ a\ x}$ - CC 1 Xl=0.46
 Sollecitazioni: N=0 T_z =2.39 M_y =131.15 T_y =0 M_z =0 M_x =0.17
 Tensioni: σ_N =0 σ_M =-84.42 τ=1.97 σ_{m\ a\ x} =-84.42

- Verifica $\tau_{m\ a\ x}$ - CC 1 Xl=0
 Sollecitazioni: N=0 T_z =380.21 M_y =43.51 T_y =0 M_z =0 M_x =0.17
 Tensioni: σ_N =0 σ_M =-0 τ=60.99 τ_{m\ a\ x} =60.99

- Verifica $\sigma_{I\ D'}$, m_ax - CC 1 Xl=0
 Sollecitazioni: N=0 T_z =380.21 M_y =43.51 T_y =0 M_z =0 M_x =0.17
 Tensioni: σ_N =0 σ_M =-0 τ=60.99 σ_{I\ D'}, m_ax =105.64

- Verifica Stabilità laterale (7.3.2.2.1) - CC 1 Ltors=83.30002
 $h^*Ltors/b^*tf = 93.1 \omega_1 = 1.4 \sigma_D = 1678.57$
 Sollecitazioni: M_{m\ a\ x} =131.15 M_{e\ q} =107.8 Tensioni: σ=97.14 σ_{m\ a\ x} =84.42
 Controllo sicurezza (7.3.2): σ_D /σ_{m\ a\ x} =19.88 v=1.5

- Verifica Imbozzamento pannelli (7.6.2.1) - CC 1
 Sollecitazioni: N=0 T_z =380.21 M_y =131.15
 Parametri: a=83.30002 h=11.6 α=7.18 Ha n i m a =11.6 t=0.55
 σ_N =0 σ_M =73.63 σ₁ =-73.63 σ₂ =73.63 τ=59.59 σ_{c\ r}, 0 =4185.9
 Sono soddisfatte le limitazioni del prospetto 7-XI: Ha n i m a /t=21.09<130

Asta n. 202 (19 20) HEA 140 Cr. 1

- Verifica $\sigma_{m\ a\ x}$ - CC 1 Xl=0.38
 Sollecitazioni: N=0 T_z =-0.86 M_y =134.72 T_y =0 M_z =0 M_x =0.65
 Tensioni: σ_N =0 σ_M =-86.72 τ=7.55 σ_{m\ a\ x} =-86.72

- Verifica $\tau_{m\ a\ x}$ - CC 1 Xl=0.9
 Sollecitazioni: N=0 T_z =-428.58 M_y =23.36 T_y =0 M_z =0 M_x =0.65
 Tensioni: σ_N =0 σ_M =-0 τ=69.13 τ_{m\ a\ x} =69.13

- Verifica $\sigma_{I\ D'}$, m_ax - CC 1 Xl=0.9
 Sollecitazioni: N=0 T_z =-428.58 M_y =23.36 T_y =0 M_z =0 M_x =0.65
 Tensioni: σ_N =0 σ_M =-0 τ=69.13 σ_{I\ D'}, m_ax =119.73

- Verifica Stabilità laterale (7.3.2.2.1) - CC 1 Ltors=90.2
 $h^*Ltors/b^*tf = 100.81 \omega_1 = 1.4 \sigma_D = 1678.57$
 Sollecitazioni: M_{m\ a\ x} =134.72 M_{e\ q} =101.04 Tensioni: σ=91.05 σ_{m\ a\ x} =86.72
 Controllo sicurezza (7.3.2): σ_D /σ_{m\ a\ x} =19.36 v=1.5

- Verifica Imbozzamento pannelli (7.6.2.1) - CC 1
 Sollecitazioni: N=0 T_z =-428.58 M_y =134.72
 Parametri: a=90.2 h=11.6 α=7.78 Ha n i m a =11.6 t=0.55
 σ_N =0 σ_M =75.63 σ₁ =-75.63 σ₂ =75.63 τ=67.17 σ_{c\ r}, 0 =4185.9
 Sono soddisfatte le limitazioni del prospetto 7-XI: Ha n i m a /t=21.09<130

Asta n. 202 (20 21) HEA 140 Cr. 1

- Verifica $\sigma_{m\ a\ x}$ - CC 1 Xl=0.86
 Sollecitazioni: N=0 T_z =-1022.29 M_y =-551.01 T_y =0 M_z =0 M_x =0.46
 Tensioni: σ_N =0 σ_M =354.66 τ=5.34 σ_{m\ a\ x} =354.66

- Verifica $\tau_{m\ a\ x}$ - CC 1 Xl=0.86
 Sollecitazioni: N=0 T_z =-1022.29 M_y =-551.01 T_y =0 M_z =0 M_x =0.46
 Tensioni: σ_N =0 σ_M =0 τ=163.99 τ_{m\ a\ x} =163.99

- Verifica $\sigma_{I\ D'}$, m_ax - CC 1 Xl=0.86
 Sollecitazioni: N=0 T_z =-1022.29 M_y =-551.01 T_y =0 M_z =0 M_x =0.46
 Tensioni: σ_N =0 σ_M =245.33 τ=153.53 σ_{I\ D'}, m_ax =361.8

- Verifica Stabilità laterale (7.3.2.2.1) - CC 1 Ltors=86.10001
 $h^*Ltors/b^*tf = 96.23 \omega_1 = 1.4 \sigma_D = 1678.57$
 Sollecitazioni: M_{m\ a\ x} =-551.01 M_{e\ q} =-413.25 Tensioni: σ=-372.39 σ_{m\ a\ x} =-354.66
 Controllo sicurezza (7.3.2): σ_D /σ_{m\ a\ x} =4.73 v=1.5

- Verifica Imbozzamento pannelli (7.6.2.1) - CC 1
 Sollecitazioni: $N=0 T_z =-1022.29 M_y =-551.01$
 Parametri: $a=86.10001 h=11.6 \alpha=7.42 H_a n i m a =11.6 t=0.55$
 $\sigma_N =0 \sigma_M =309.33 \sigma_1 =-309.33 \sigma_2 =309.33 \tau=160.23 \sigma_c r, 0 =4185.9$
 Sono soddisfatte le limitazioni del prospetto 7-XI: $H_a n i m a /t=21.09 < 130$

Asta n. 203 (22 23) HEA 140 Cr. 1

- Verifica $\sigma_{m a x}$ - CC 1 X1=0
 Sollecitazioni: $N=0 T_z =1380.55 M_y =-868.58 T_y =0 M_z =0 M_x =-0.39$
 Tensioni: $\sigma_N =0 \sigma_M =559.07 \tau=4.53 \sigma_{m a x} =559.07$
- Verifica $\tau_{m a x}$ - CC 1 X1=0
 Sollecitazioni: $N=0 T_z =1380.55 M_y =-868.58 T_y =0 M_z =0 M_x =-0.39$
 Tensioni: $\sigma_N =0 \sigma_M =0 \tau=221.39 \tau_{m a x} =221.39$
- Verifica $\sigma_{I D, m a x}$ - CC 1 X1=0
 Sollecitazioni: $N=0 T_z =1380.55 M_y =-868.58 T_y =0 M_z =0 M_x =-0.39$
 Tensioni: $\sigma_N =0 \sigma_M =-559.07 \tau=4.53 \sigma_{I D, m a x} =559.13$
- Verifica Stabilità laterale (7.3.2.2.1) - CC 1 Ltors=84
 $h^*Ltors/b^*tf =93.88 \omega_1 =1.4 \sigma_D =1678.57$
 Sollecitazioni: $M_m a x =-868.58 M_e q =-651.43$ Tensioni: $\sigma=-587.02 \sigma_{m a x} =-559.07$
 Controllo sicurezza (7.3.2): $\sigma_D / \sigma_{m a x} =3 v=1.5$
- Verifica Imbozzamento pannelli (7.6.2.1) - CC 1
 Sollecitazioni: $N=0 T_z =1380.55 M_y =-868.58$
 Parametri: $a=84 h=11.6 \alpha=7.24 H_a n i m a =11.6 t=0.55$
 $\sigma_N =0 \sigma_M =-487.61 \sigma_1 =-487.61 \sigma_2 =487.61 \tau=216.39 \sigma_c r, 0 =4185.9$
 Sono soddisfatte le limitazioni del prospetto 7-XI: $H_a n i m a /t=21.09 < 130$

Asta n. 204 (26 27) HEA 140 Cr. 1

- Verifica $\sigma_{m a x}$ - CC 1 X1=0
 Sollecitazioni: $N=0 T_z =1706.58 M_y =-1142.61 T_y =0 M_z =0 M_x =-0.28$
 Tensioni: $\sigma_N =0 \sigma_M =735.45 \tau=3.25 \sigma_{m a x} =735.45$
- Verifica $\tau_{m a x}$ - CC 1 X1=0
 Sollecitazioni: $N=0 T_z =1706.58 M_y =-1142.61 T_y =0 M_z =0 M_x =-0.28$
 Tensioni: $\sigma_N =0 \sigma_M =0 \tau=273.63 \tau_{m a x} =273.63$
- Verifica $\sigma_{I D, m a x}$ - CC 1 X1=0
 Sollecitazioni: $N=0 T_z =1706.58 M_y =-1142.61 T_y =0 M_z =0 M_x =-0.28$
 Tensioni: $\sigma_N =0 \sigma_M =-735.45 \tau=3.25 \sigma_{I D, m a x} =735.48$
- Verifica Stabilità laterale (7.3.2.2.1) - CC 1 Ltors=84
 $h^*Ltors/b^*tf =93.88 \omega_1 =1.4 \sigma_D =1678.57$
 Sollecitazioni: $M_m a x =-1142.61 M_e q =-856.96$ Tensioni: $\sigma=-772.23 \sigma_{m a x} =-735.45$
 Controllo sicurezza (7.3.2): $\sigma_D / \sigma_{m a x} =2.28 v=1.5$
- Verifica Imbozzamento pannelli (7.6.2.1) - CC 1
 Sollecitazioni: $N=0 T_z =1706.58 M_y =-1142.61$
 Parametri: $a=84 h=11.6 \alpha=7.24 H_a n i m a =11.6 t=0.55$
 $\sigma_N =0 \sigma_M =641.45 \sigma_1 =-641.45 \sigma_2 =641.45 \tau=267.49 \sigma_c r, 0 =4185.9$
 Sono soddisfatte le limitazioni del prospetto 7-XI: $H_a n i m a /t=21.09 < 130$

Asta n. 205 (30 31) HEA 140 Cr. 1

- Verifica $\sigma_{m a x}$ - CC 1 X1=0.86
 Sollecitazioni: $N=0 T_z =-1532.53 M_y =-1014.08 T_y =0 M_z =0 M_x =0.06$
 Tensioni: $\sigma_N =0 \sigma_M =652.73 \tau=0.65 \sigma_{m a x} =652.73$
- Verifica $\tau_{m a x}$ - CC 1 X1=0.86
 Sollecitazioni: $N=0 T_z =-1532.53 M_y =-1014.08 T_y =0 M_z =0 M_x =0.06$
 Tensioni: $\sigma_N =0 \sigma_M =0 \tau=245.71 \tau_{m a x} =245.71$
- Verifica $\sigma_{I D, m a x}$ - CC 1 X1=0.86
 Sollecitazioni: $N=0 T_z =-1532.53 M_y =-1014.08 T_y =0 M_z =0 M_x =0.06$
 Tensioni: $\sigma_N =0 \sigma_M =-652.73 \tau=0.65 \sigma_{I D, m a x} =652.73$
- Verifica Stabilità laterale (7.3.2.2.1) - CC 1 Ltors=86.10001
 $h^*Ltors/b^*tf =96.23 \omega_1 =1.4 \sigma_D =1678.57$
 Sollecitazioni: $M_m a x =-1014.08 M_e q =-760.56$ Tensioni: $\sigma=-685.36 \sigma_{m a x} =-652.73$
 Controllo sicurezza (7.3.2): $\sigma_D / \sigma_{m a x} =2.57 v=1.5$
- Verifica Imbozzamento pannelli (7.6.2.1) - CC 1
 Sollecitazioni: $N=0 T_z =-1532.53 M_y =-1014.08$
 Parametri: $a=86.10001 h=11.6 \alpha=7.42 H_a n i m a =11.6 t=0.55$
 $\sigma_N =0 \sigma_M =569.29 \sigma_1 =-569.29 \sigma_2 =569.29 \tau=240.21 \sigma_c r, 0 =4185.9$
 Sono soddisfatte le limitazioni del prospetto 7-XI: $H_a n i m a /t=21.09 < 130$

Asta n. 206 (39 40) HEA 140 Cr. 1

- Verifica $\sigma_{m a x}$ - CC 1 X1=0
 Sollecitazioni: $N=0 T_z =1217.14 M_y =-722.16 T_y =0 M_z =0 M_x =0.82$
 Tensioni: $\sigma_N =0 \sigma_M =464.83 \tau=9.52 \sigma_{m a x} =464.83$
- Verifica $\tau_{m a x}$ - CC 1 X1=0
 Sollecitazioni: $N=0 T_z =1217.14 M_y =-722.16 T_y =0 M_z =0 M_x =0.82$
 Tensioni: $\sigma_N =0 \sigma_M =0 \tau=195.38 \tau_{m a x} =195.38$
- Verifica $\sigma_{I D, m a x}$ - CC 1 X1=0

Sollecitazioni: N=0 T_Z =1217.14 M_Y =-722.16 T_Y =0 M_Z =0 M_X =0.82
 Tensioni: σ_N =0 σ_M =464.83 τ=9.52 σ_{I D}, m_{a x} =465.12
 Verifica Stabilità laterale (7.3.2.2.1) - CC 1 Ltors=84
 h*Ltors/b*t_f =93.88 ω₁ =1.4 σ_D =1678.57
 Sollecitazioni: M_{m a x} =-722.16 M_{e q} =-541.62 Tensioni: σ=-488.07 σ_{m a x} =-464.83
 Controllo sicurezza (7.3.2): σ_D /σ_{m a x} =3.61 v=1.5
 - Verifica Imbozzamento pannelli (7.6.2.1) - CC 1
 Sollecitazioni: N=0 T_Z =1217.14 M_Y =-722.16
 Parametri: a=84 h=11.6 α=7.24 Ha n i m a =11.6 t=0.55
 σ_N =0 σ_M =405.41 σ₁ =-405.41 σ₂ =405.41 τ=190.77 σ_{c r}, 0 =4185.9
 Sono soddisfatte le limitazioni del prospetto 7-XI: Ha n i m a /t=21.09<130

Asta n. 206 (40 41) HEA 140 Cr. 1

- Verifica σ_{m a x} - CC 1 Xl=0.58
 Sollecitazioni: N=0 T_Z =-2.95 M_Y =143.98 T_Y =0 M_Z =0 M_X =1.16
 Tensioni: σ_N =0 σ_M =-92.68 τ=13.47 σ_{m a x} =-92.68

 - Verifica τ_{m a x} - CC 1 Xl=0
 Sollecitazioni: N=0 T_Z =471.25 M_Y =9.34 T_Y =0 M_Z =0 M_X =1.16
 Tensioni: σ_N =0 σ_M =-0 τ=76.75 τ_{m a x} =76.75

 - Verifica σ_{I D}, m_{a x} - CC 1 Xl=0
 Sollecitazioni: N=0 T_Z =471.25 M_Y =9.34 T_Y =0 M_Z =0 M_X =1.16
 Tensioni: σ_N =0 σ_M =-0 τ=76.75 σ_{I D}, m_{a x} =132.93

 - Verifica Stabilità laterale (7.3.2.2.1) - CC 1 Ltors=90.2
 h*Ltors/b*t_f =100.81 ω₁ =1.4 σ_D =1678.57
 Sollecitazioni: M_{m a x} =143.98 M_{e q} =109.31 Tensioni: σ=98.5 σ_{m a x} =92.68
 Controllo sicurezza (7.3.2): σ_D /σ_{m a x} =18.11 v=1.5

 - Verifica Imbozzamento pannelli (7.6.2.1) - CC 1
 Sollecitazioni: N=0 T_Z =471.25 M_Y =143.98
 Parametri: a=90.2 h=11.6 α=7.78 Ha n i m a =11.6 t=0.55
 σ_N =0 σ_M =80.83 σ₁ =-80.83 σ₂ =80.83 τ=73.86 σ_{c r}, 0 =4185.9
 Sono soddisfatte le limitazioni del prospetto 7-XI: Ha n i m a /t=21.09<130

Asta n. 206 (41 42) HEA 140 Cr. 1

- Verifica σ_{m a x} - CC 1 Xl=0.52
 Sollecitazioni: N=0 T_Z =-0.82 M_Y =210.52 T_Y =0 M_Z =0 M_X =0.56
 Tensioni: σ_N =0 σ_M =-135.5 τ=6.5 σ_{m a x} =-135.5

 - Verifica τ_{m a x} - CC 1 Xl=0
 Sollecitazioni: N=0 T_Z =428 M_Y =99.45 T_Y =0 M_Z =0 M_X =0.56
 Tensioni: σ_N =0 σ_M =-0 τ=68.93 τ_{m a x} =68.93

 - Verifica σ_{I D}, m_{a x} - CC 1 Xl=0.52
 Sollecitazioni: N=0 T_Z =-0.82 M_Y =210.52 T_Y =0 M_Z =0 M_X =0.56
 Tensioni: σ_N =0 σ_M =-135.5 τ=6.5 σ_{I D}, m_{a x} =135.97

 - Verifica Stabilità laterale (7.3.2.2.1) - CC 1 Ltors=83.19999
 h*Ltors/b*t_f =92.99 ω₁ =1.4 σ_D =1678.57
 Sollecitazioni: M_{m a x} =210.52 M_{e q} =208.04 Tensioni: σ=187.47 σ_{m a x} =135.5
 Controllo sicurezza (7.3.2): σ_D /σ_{m a x} =12.39 v=1.5

 - Verifica Imbozzamento pannelli (7.6.2.1) - CC 1
 Sollecitazioni: N=0 T_Z =428 M_Y =210.52
 Parametri: a=83.19999 h=11.6 α=7.17 Ha n i m a =11.6 t=0.55
 σ_N =0 σ_M =118.18 σ₁ =-118.18 σ₂ =118.18 τ=67.08 σ_{c r}, 0 =4185.9
 Sono soddisfatte le limitazioni del prospetto 7-XI: Ha n i m a /t=21.09<130

Asta n. 206 (42 43) HEA 140 Cr. 1

- Verifica σ_{m a x} - CC 1 Xl=0.36
 Sollecitazioni: N=0 T_Z =0.73 M_Y =225.21 T_Y =0 M_Z =0 M_X =-0.47
 Tensioni: σ_N =0 σ_M =-144.96 τ=5.46 σ_{m a x} =-144.96

 - Verifica τ_{m a x} - CC 1 Xl=0.83
 Sollecitazioni: N=0 T_Z =-385.67 M_Y =135.03 T_Y =0 M_Z =0 M_X =-0.47
 Tensioni: σ_N =0 σ_M =-0 τ=62.08 τ_{m a x} =62.08

 - Verifica σ_{I D}, m_{a x} - CC 1 Xl=0.36
 Sollecitazioni: N=0 T_Z =0.73 M_Y =225.21 T_Y =0 M_Z =0 M_X =-0.47
 Tensioni: σ_N =0 σ_M =144.96 τ=5.46 σ_{I D}, m_{a x} =145.27

 - Verifica Stabilità laterale (7.3.2.2.1) - CC 1 Ltors=83.30002
 h*Ltors/b*t_f =93.1 ω₁ =1.4 σ_D =1678.57
 Sollecitazioni: M_{m a x} =225.21 M_{e q} =225.21 Tensioni: σ=202.94 σ_{m a x} =144.96
 Controllo sicurezza (7.3.2): σ_D /σ_{m a x} =11.58 v=1.5

 - Verifica Imbozzamento pannelli (7.6.2.1) - CC 1
 Sollecitazioni: N=0 T_Z =-385.67 M_Y =225.21
 Parametri: a=83.30002 h=11.6 α=7.18 Ha n i m a =11.6 t=0.55
 σ_N =0 σ_M =126.43 σ₁ =-126.43 σ₂ =126.43 τ=60.45 σ_{c r}, 0 =4185.9
 Sono soddisfatte le limitazioni del prospetto 7-XI: Ha n i m a /t=21.09<130

Asta n. 206 (43 44) HEA 140 Cr. 1

- Verifica σ_m a x - CC 1 Xl=0.25
 Sollecitazioni: N=0 Tz =-0.06 My =159.96 Ty =0 Mz =0 Mx =-1.32
 Tensioni: σ_N =0 σ_M =-102.96 τ =15.33 σ_m a x =-102.96

- Verifica τ_m a x - CC 1 Xl=0.9
 Sollecitazioni: N=0 Tz =-539.35 My =-16.42 Ty =0 Mz =0 Mx =-1.32
 Tensioni: σ_N =0 σ_M =0 τ =87.82 τ_m a x =87.82

- Verifica $\sigma_{I,D}$, m a x - CC 1 Xl=0.9
 Sollecitazioni: N=0 Tz =-539.35 My =-16.42 Ty =0 Mz =0 Mx =-1.32
 Tensioni: σ_N =0 σ_M =0 τ =87.82 $\sigma_{I,D}$, m a x =152.11

- Verifica Stabilità laterale (7.3.2.2.1) - CC 1 Ltors=90.2
 h^*Ltors/b^*tf =100.81 ω_1 =1.4 σ_D =1678.57
 Sollecitazioni: Mm a x =159.96 Me q =134.75 Tensioni: σ =121.43 σ_m a x =102.96
 Controllo sicurezza (7.3.2): σ_D / σ_m a x =16.3 v=1.5

- Verifica Imbozzamento pannelli (7.6.2.1) - CC 1
 Sollecitazioni: N=0 Tz =-539.35 My =159.96
 Parametri: a=90.2 h=11.6 α =7.78 Ha n i m a =11.6 t=0.55
 σ_N =0 σ_M =89.8 σ_1 =-89.8 σ_2 =89.8 τ =84.54 σ_c r, 0 =4185.9
 Sono soddisfatte le limitazioni del prospetto 7-XI: Ha n i m a /t=21.09<130

Asta n. 206 (44 45) HEA 140 Cr. 1

- Verifica σ_m a x - CC 1 Xl=0.86
 Sollecitazioni: N=0 Tz =-1143.86 My =-695.88 Ty =0 Mz =0 Mx =-0.72
 Tensioni: σ_N =0 σ_M =447.91 τ =8.36 σ_m a x =447.91

- Verifica τ_m a x - CC 1 Xl=0.86
 Sollecitazioni: N=0 Tz =-1143.86 My =-695.88 Ty =0 Mz =0 Mx =-0.72
 Tensioni: σ_N =0 σ_M =0 τ =183.59 τ_m a x =183.59

- Verifica $\sigma_{I,D}$, m a x - CC 1 Xl=0.86
 Sollecitazioni: N=0 Tz =-1143.86 My =-695.88 Ty =0 Mz =0 Mx =-0.72
 Tensioni: σ_N =0 σ_M =447.91 τ =8.36 $\sigma_{I,D}$, m a x =448.14

- Verifica Stabilità laterale (7.3.2.2.1) - CC 1 Ltors=86.10001
 h^*Ltors/b^*tf =96.23 ω_1 =1.4 σ_D =1678.57
 Sollecitazioni: Mm a x =-695.88 Me q =-521.91 Tensioni: σ =-470.3 σ_m a x =-447.91
 Controllo sicurezza (7.3.2): σ_D / σ_m a x =3.75 v=1.5

- Verifica Imbozzamento pannelli (7.6.2.1) - CC 1
 Sollecitazioni: N=0 Tz =-1143.86 My =-695.88
 Parametri: a=86.10001 h=11.6 α =7.42 Ha n i m a =11.6 t=0.55
 σ_N =0 σ_M =390.66 σ_1 =-390.66 σ_2 =390.66 τ =179.29 σ_c r, 0 =4185.9
 Sono soddisfatte le limitazioni del prospetto 7-XI: Ha n i m a /t=21.09<130

Asta n. 207 (46 47) HEA 140 Cr. 1

- Verifica σ_m a x - CC 1 Xl=0
 Sollecitazioni: N=0 Tz =584.17 My =-214.5 Ty =0 Mz =0 Mx =0.55
 Tensioni: σ_N =0 σ_M =138.07 τ =6.39 σ_m a x =138.07

- Verifica τ_m a x - CC 1 Xl=0
 Sollecitazioni: N=0 Tz =584.17 My =-214.5 Ty =0 Mz =0 Mx =0.55
 Tensioni: σ_N =0 σ_M =0 τ =93.88 τ_m a x =93.88

- Verifica $\sigma_{I,D}$, m a x - CC 1 Xl=0
 Sollecitazioni: N=0 Tz =584.17 My =-214.5 Ty =0 Mz =0 Mx =0.55
 Tensioni: σ_N =0 σ_M =95.5 τ =87.91 $\sigma_{I,D}$, m a x =179.74

- Verifica Stabilità laterale (7.3.2.2.1) - CC 1 Ltors=84
 h^*Ltors/b^*tf =93.88 ω_1 =1.4 σ_D =1678.57
 Sollecitazioni: Mm a x =-214.5 Me q =-160.88 Tensioni: σ =-144.97 σ_m a x =-138.07
 Controllo sicurezza (7.3.2): σ_D / σ_m a x =12.16 v=1.5

- Verifica Imbozzamento pannelli (7.6.2.1) - CC 1
 Sollecitazioni: N=0 Tz =584.17 My =-214.5
 Parametri: a=84 h=11.6 α =7.24 Ha n i m a =11.6 t=0.55
 σ_N =0 σ_M =120.42 σ_1 =-120.42 σ_2 =120.42 τ =91.56 σ_c r, 0 =4185.9
 Sono soddisfatte le limitazioni del prospetto 7-XI: Ha n i m a /t=21.09<130

Asta n. 207 (47 48) HEA 140 Cr. 1

- Verifica σ_m a x - CC 1 Xl=0.44
 Sollecitazioni: N=0 Tz =-1.99 My =64.62 Ty =0 Mz =0 Mx =0.54
 Tensioni: σ_N =0 σ_M =-41.59 τ =6.27 σ_m a x =-41.59

- Verifica τ_m a x - CC 1 Xl=0.9
 Sollecitazioni: N=0 Tz =-383.22 My =-24.42 Ty =0 Mz =0 Mx =0.54
 Tensioni: σ_N =0 σ_M =0 τ =61.76 τ_m a x =61.76

- Verifica $\sigma_{I,D}$, m a x - CC 1 Xl=0.9
 Sollecitazioni: N=0 Tz =-383.22 My =-24.42 Ty =0 Mz =0 Mx =0.54
 Tensioni: σ_N =0 σ_M =0 τ =61.76 $\sigma_{I,D}$, m a x =106.97

- Verifica Stabilità laterale (7.3.2.2.1) - CC 1 Ltors=90.2
 h^*Ltors/b^*tf =100.81 ω_1 =1.4 σ_D =1678.57
 Sollecitazioni: Mm a x =64.62 Me q =48.47 Tensioni: σ =43.67 σ_m a x =41.59
 Controllo sicurezza (7.3.2): σ_D / σ_m a x =40.36 v=1.5

- Verifica Imbozzamento pannelli (7.6.2.1) - CC 1
 Sollecitazioni: N=0 T_Z =-383.22 M_Y =64.62
 Parametri: a=90.2 h=11.6 α=7.78 H_{a n i m a} =11.6 t=0.55
 $\sigma_N = 0 \quad \sigma_M = 36.28 \quad \sigma_1 = -36.28 \quad \sigma_2 = 36.28 \quad t=60.07 \quad \sigma_{C_r} = 4185.9$
 Sono soddisfatte le limitazioni del prospetto 7-XI: H_{a n i m a} /t=21.09<130

Asta n. 207 (48 49) HEA 140 Cr. 1

- Verifica $\sigma_{m a x}$ - CC 1 Xl=0.43
 Sollecitazioni: N=0 T_Z =-2.28 M_Y =50.08 T_Y =0 M_Z =0 M_X =0.22
 Tensioni: $\sigma_N = 0 \quad \sigma_M = -32.23 \quad t=2.55 \quad \sigma_{m a x} = -32.23$
- Verifica $\tau_{m a x}$ - CC 1 Xl=0
 Sollecitazioni: N=0 T_Z =349.36 M_Y =-23.92 T_Y =0 M_Z =0 M_X =0.22
 Tensioni: $\sigma_N = 0 \quad \sigma_M = 0 \quad t=56.07 \quad \tau_{m a x} = 56.07$
- Verifica $\sigma_{I D, m a x}$ - CC 1 Xl=0
 Sollecitazioni: N=0 T_Z =349.36 M_Y =-23.92 T_Y =0 M_Z =0 M_X =0.22
 Tensioni: $\sigma_N = 0 \quad \sigma_M = 0 \quad t=56.07 \quad \sigma_{I D, m a x} = 97.12$
- Verifica Stabilità laterale (7.3.2.2.1) - CC 1 Ltors=83.19999
 $h^*Ltors/b^*tf = 92.99 \quad \omega_1 = 1.4 \quad \sigma_D = 1678.57$
 Sollecitazioni: M_{m a x} =50.08 M_{e q} =40.16 Tensioni: $\sigma = 36.19 \quad \sigma_{m a x} = 32.23$
 Controllo sicurezza (7.3.2.): $\sigma_D / \sigma_{m a x} = 52.08 \quad v=1.5$
- Verifica Imbozzamento pannelli (7.6.2.1) - CC 1
 Sollecitazioni: N=0 T_Z =349.36 M_Y =50.08
 Parametri: a=83.19999 h=11.6 α=7.17 H_{a n i m a} =11.6 t=0.55
 $\sigma_N = 0 \quad \sigma_M = -28.11 \quad \sigma_1 = -28.11 \quad \sigma_2 = 28.11 \quad t=54.76 \quad \sigma_{C_r} = 4185.9$
 Sono soddisfatte le limitazioni del prospetto 7-XI: H_{a n i m a} /t=21.09<130

Asta n. 207 (49 50) HEA 140 Cr. 1

- Verifica $\sigma_{m a x}$ - CC 1 Xl=0.41
 Sollecitazioni: N=0 T_Z =1.48 M_Y =49.96 T_Y =0 M_Z =0 M_X =-0.19
 Tensioni: $\sigma_N = 0 \quad \sigma_M = -32.16 \quad t=2.21 \quad \sigma_{m a x} = -32.16$
- Verifica $\tau_{m a x}$ - CC 1 Xl=0.83
 Sollecitazioni: N=0 T_Z =-350.57 M_Y =-24.56 T_Y =0 M_Z =0 M_X =-0.19
 Tensioni: $\sigma_N = 0 \quad \sigma_M = 0 \quad t=56.25 \quad \tau_{m a x} = 56.25$
- Verifica $\sigma_{I D, m a x}$ - CC 1 Xl=0.83
 Sollecitazioni: N=0 T_Z =-350.57 M_Y =-24.56 T_Y =0 M_Z =0 M_X =-0.19
 Tensioni: $\sigma_N = 0 \quad \sigma_M = 0 \quad t=56.25 \quad \sigma_{I D, m a x} = 97.43$
- Verifica Stabilità laterale (7.3.2.2.1) - CC 1 Ltors=83.30002
 $h^*Ltors/b^*tf = 93.1 \quad \omega_1 = 1.4 \quad \sigma_D = 1678.57$
 Sollecitazioni: M_{m a x} =49.96 M_{e q} =40.37 Tensioni: $\sigma = 36.38 \quad \sigma_{m a x} = 32.16$
 Controllo sicurezza (7.3.2.): $\sigma_D / \sigma_{m a x} = 52.2 \quad v=1.5$
- Verifica Imbozzamento pannelli (7.6.2.1) - CC 1
 Sollecitazioni: N=-0 T_Z =-350.57 M_Y =49.96
 Parametri: a=83.30002 h=11.6 α=7.18 H_{a n i m a} =11.6 t=0.55
 $\sigma_N = 0 \quad \sigma_M = 28.05 \quad \sigma_1 = -28.05 \quad \sigma_2 = 28.05 \quad t=54.95 \quad \sigma_{C_r} = 4185.9$
 Sono soddisfatte le limitazioni del prospetto 7-XI: H_{a n i m a} /t=21.09<130

Asta n. 207 (50 51) HEA 140 Cr. 1

- Verifica $\sigma_{m a x}$ - CC 1 Xl=0.47
 Sollecitazioni: N=0 T_Z =-1.82 M_Y =66.52 T_Y =0 M_Z =0 M_X =-0.56
 Tensioni: $\sigma_N = 0 \quad \sigma_M = -42.82 \quad t=6.5 \quad \sigma_{m a x} = -42.82$
- Verifica $\tau_{m a x}$ - CC 1 Xl=0
 Sollecitazioni: N=0 T_Z =388.7 M_Y =-25.08 T_Y =0 M_Z =0 M_X =-0.56
 Tensioni: $\sigma_N = 0 \quad \sigma_M = 0 \quad t=62.66 \quad \tau_{m a x} = 62.66$
- Verifica $\sigma_{I D, m a x}$ - CC 1 Xl=0
 Sollecitazioni: N=0 T_Z =388.7 M_Y =-25.08 T_Y =0 M_Z =0 M_X =-0.56
 Tensioni: $\sigma_N = 0 \quad \sigma_M = 0 \quad t=62.66 \quad \sigma_{I D, m a x} = 108.53$
- Verifica Stabilità laterale (7.3.2.2.1) - CC 1 Ltors=90.2
 $h^*Ltors/b^*tf = 100.81 \quad \omega_1 = 1.4 \quad \sigma_D = 1678.57$
 Sollecitazioni: M_{m a x} =66.52 M_{e q} =49.89 Tensioni: $\sigma = 44.96 \quad \sigma_{m a x} = 42.82$
 Controllo sicurezza (7.3.2.): $\sigma_D / \sigma_{m a x} = 39.2 \quad v=1.5$
- Verifica Imbozzamento pannelli (7.6.2.1) - CC 1
 Sollecitazioni: N=-0 T_Z =388.7 M_Y =66.52
 Parametri: a=90.2 h=11.6 α=7.78 H_{a n i m a} =11.6 t=0.55
 $\sigma_N = 0 \quad \sigma_M = 37.35 \quad \sigma_1 = -37.35 \quad \sigma_2 = 37.35 \quad t=60.92 \quad \sigma_{C_r} = 4185.9$
 Sono soddisfatte le limitazioni del prospetto 7-XI: H_{a n i m a} /t=21.09<130

Asta n. 207 (51 52) HEA 140 Cr. 1

- Verifica $\sigma_{m a x}$ - CC 1 Xl=0.86
 Sollecitazioni: N=0 T_Z =-599.22 M_Y =-220.74 T_Y =0 M_Z =0 M_X =-0.55
 Tensioni: $\sigma_N = 0 \quad \sigma_M = 142.08 \quad t=6.39 \quad \sigma_{m a x} = 142.08$
- Verifica $\tau_{m a x}$ - CC 1 Xl=0.86
 Sollecitazioni: N=0 T_Z =-599.22 M_Y =-220.74 T_Y =0 M_Z =0 M_X =-0.55
 Tensioni: $\sigma_N = 0 \quad \sigma_M = 0 \quad t=96.29 \quad \tau_{m a x} = 96.29$
- Verifica $\sigma_{I D, m a x}$ - CC 1 Xl=0.86

Sollecitazioni: N=0 T_Z =-599.22 M_Y =-220.74 T_Y =0 M_Z =0 M_X =-0.55
 Tensioni: σ_N =0 σ_M =98.28 τ=90.16 σ_{I D, m a x} =184.52
 - Verifica Stabilità laterale (7.3.2.2.1) - CC 1 Ltors=86.10001
 h*Ltors/b*t_f =96.23 ω₁ =1.4 σ_D =1678.57
 Sollecitazioni: M_{m a x} =-220.74 M_{e q} =-165.56 Tensioni: σ=-149.19 σ_{m a x} =-142.08
 Controllo sicurezza (7.3.2): σ_D /σ_{m a x} =11.81 v=1.5
 - Verifica Imbozzamento pannelli (7.6.2.1) - CC 1
 Sollecitazioni: N=0 T_Z =-599.22 M_Y =-220.74
 Parametri: a=86.10001 h=11.6 α=7.42 Ha n i m a =11.6 t=0.55
 σ_N =0 σ_M =123.92 σ₁ =-123.92 σ₂ =123.92 τ=93.92 σ_{c r, 0} =4185.9
 Sono soddisfatte le limitazioni del prospetto 7'-XI: Ha n i m a /t=21.09<130

Asta n. 208 (1 8) HEA 140 Cr. 1

- Verifica σ_{m a x} - CC 1 Xl=0
 Sollecitazioni: N=0 T_Z =111.33 M_Y =-5.01 T_Y =0 M_Z =0 M_X =0
 Tensioni: σ_N =0 σ_M =3.22 τ=0 σ_{m a x} =3.22
 - Verifica τ_{m a x} - CC 1 Xl=0
 Sollecitazioni: N=0 T_Z =111.33 M_Y =-5.01 T_Y =0 M_Z =0 M_X =0
 Tensioni: σ_N =0 σ_M =0 τ=17.85 τ_{m a x} =17.85
 - Verifica σ_{I D, m a x} - CC 1 Xl=0
 Sollecitazioni: N=0 T_Z =111.33 M_Y =-5.01 T_Y =0 M_Z =0 M_X =0
 Tensioni: σ_N =0 σ_M =0 τ=17.85 σ_{I D, m a x} =30.92
 - Verifica Stabilità laterale (7.3.2.2.1) - CC 1 Ltors=27
 h*Ltors/b*t_f =30.18 ω₁ =1.4 σ_D =1678.57
 Sollecitazioni: M_{m a x} =-5.01 M_{e q} =-5.01 Tensioni: σ=-4.51 σ_{m a x} =-3.22
 Controllo sicurezza (7.3.2): σ_D /σ_{m a x} =520.53 v=1.5
 - Verifica Imbozzamento pannelli (7.6.2.1) - CC 1
 Sollecitazioni: N=0 T_Z =111.33 M_Y =2.5
 Parametri: a=27 h=11.6 α=2.33 Ha n i m a =11.6 t=0.55
 σ_N =0 σ_M =1.41 σ₁ =-1.41 σ₂ =1.41 τ=17.45 σ_{c r, 0} =4185.9
 Sono soddisfatte le limitazioni del prospetto 7'-XI: Ha n i m a /t=21.09<130

Asta n. 208 (8 15) HEA 140 Cr. 1

- Verifica σ_{m a x} - CC 1 Xl=0.61
 Sollecitazioni: N=0 T_Z =-251.52 M_Y =-25.57 T_Y =0 M_Z =0 M_X =0
 Tensioni: σ_N =0 σ_M =16.46 τ=0 σ_{m a x} =16.46
 - Verifica τ_{m a x} - CC 1 Xl=0.61
 Sollecitazioni: N=0 T_Z =-251.52 M_Y =-25.57 T_Y =0 M_Z =0 M_X =0
 Tensioni: σ_N =0 σ_M =0 τ=40.33 τ_{m a x} =40.33
 - Verifica σ_{I D, m a x} - CC 1 Xl=0.61
 Sollecitazioni: N=0 T_Z =-251.52 M_Y =-25.57 T_Y =0 M_Z =0 M_X =0
 Tensioni: σ_N =0 σ_M =0 τ=40.33 σ_{I D, m a x} =69.85
 - Verifica Stabilità laterale (7.3.2.2.1) - CC 1 Ltors=61
 h*Ltors/b*t_f =68.18 ω₁ =1.4 σ_D =1678.57
 Sollecitazioni: M_{m a x} =-25.57 M_{e q} =-25.57 Tensioni: σ=-23.04 σ_{m a x} =-16.46
 Controllo sicurezza (7.3.2): σ_D /σ_{m a x} =101.98 v=1.5
 - Verifica Imbozzamento pannelli (7.6.2.1) - CC 1
 Sollecitazioni: N=0 T_Z =-251.52 M_Y =12.79
 Parametri: a=61 h=11.6 α=5.26 Ha n i m a =11.6 t=0.55
 σ_N =0 σ_M =7.18 σ₁ =-7.18 σ₂ =7.18 τ=39.42 σ_{c r, 0} =4185.9
 Sono soddisfatte le limitazioni del prospetto 7'-XI: Ha n i m a /t=21.09<130

Asta n. 208 (15 22) HEA 140 Cr. 1

- Verifica σ_{m a x} - CC 1 Xl=0.64
 Sollecitazioni: N=0 T_Z =-263.89 M_Y =-28.15 T_Y =0 M_Z =0 M_X =0
 Tensioni: σ_N =0 σ_M =18.12 τ=0 σ_{m a x} =18.12
 - Verifica τ_{m a x} - CC 1 Xl=0.64
 Sollecitazioni: N=0 T_Z =-263.89 M_Y =-28.15 T_Y =0 M_Z =0 M_X =0
 Tensioni: σ_N =0 σ_M =0 τ=42.31 τ_{m a x} =42.31
 - Verifica σ_{I D, m a x} - CC 1 Xl=0.64
 Sollecitazioni: N=0 T_Z =-263.89 M_Y =-28.15 T_Y =0 M_Z =0 M_X =0
 Tensioni: σ_N =0 σ_M =0 τ=42.31 σ_{I D, m a x} =73.28
 - Verifica Stabilità laterale (7.3.2.2.1) - CC 1 Ltors=64.00001
 h*Ltors/b*t_f =71.53 ω₁ =1.4 σ_D =1678.57
 Sollecitazioni: M_{m a x} =-28.15 M_{e q} =-28.15 Tensioni: σ=-25.37 σ_{m a x} =-18.12
 Controllo sicurezza (7.3.2): σ_D /σ_{m a x} =92.64 v=1.5
 - Verifica Imbozzamento pannelli (7.6.2.1) - CC 1
 Sollecitazioni: N=0 T_Z =-263.89 M_Y =-28.15
 Parametri: a=64.00001 h=11.6 α=5.52 Ha n i m a =11.6 t=0.55
 σ_N =0 σ_M =15.8 σ₁ =-15.8 σ₂ =15.8 τ=41.36 σ_{c r, 0} =4185.9
 Sono soddisfatte le limitazioni del prospetto 7'-XI: Ha n i m a /t=21.09<130

Asta n. 208 (22 26) HEA 140 Cr. 1

- Verifica σ_{m a x} - CC 1 Xl=0.7

Sollecitazioni: N=0 T_z =-288.63 M_y =-33.67 T_y =0 M_z =0 M_x =0
Tensioni: σ_N =0 σ_M =21.67 τ=0 σ_{m a x} =21.67
- Verifica τ_{m a x} - CC 1 Xl=0.7
Sollecitazioni: N=0 T_z =-288.63 M_y =-33.67 T_y =0 M_z =0 M_x =0
Tensioni: σ_N =0 σ_M =0 τ=46.28 τ_{m a x} =46.28
- Verifica σ_{I D}, m a x - CC 1 Xl=0.7
Sollecitazioni: N=0 T_z =-288.63 M_y =-33.67 T_y =0 M_z =0 M_x =0
Tensioni: σ_N =0 σ_M =0 τ=46.28 σ_{I D}, m a x =80.15
- Verifica Stabilità laterale (7.3.2.2.1) - CC 1 Ltors=69.99997
h*Ltors/b*t_f =78.24 ω₁ =1.4 σ_D =1678.57
Sollecitazioni: M_{m a x} =-33.67 M_{e q} =-33.67 tensioni: σ=-30.34 σ_{m a x} =-21.67
Controllo sicurezza (7.3.2): σ_D /σ_{m a x} =77.45 v=1.5
- Verifica Imbozzamento pannelli (7.6.2.1) - CC 1
Sollecitazioni: N=0 T_z =-288.63 M_y =-33.67
Parametri: a=69.99997 h=11.6 α=6.03 Ha n i m a =11.6 t=0.55
σ_N =0 σ_M =18.9 σ₁ =-18.9 σ₂ =18.9 τ=45.24 σ_{c r}, 0 =4185.9
Sono soddisfatte le limitazioni del prospetto 7-XI: Ha n i m a /t=21.09<130

Asta n. 208 (26 32) HEA 140 Cr. 1

- Verifica σ_{m a x} - CC 1 Xl=0
Sollecitazioni: N=0 T_z =249.05 M_y =-25.07 T_y =0 M_z =0 M_x =0
Tensioni: σ_N =0 σ_M =16.14 τ=0 σ_{m a x} =16.14
- Verifica τ_{m a x} - CC 1 Xl=0
Sollecitazioni: N=0 T_z =249.05 M_y =-25.07 T_y =0 M_z =0 M_x =0
Tensioni: σ_N =0 σ_M =0 τ=39.93 τ_{m a x} =39.93
- Verifica σ_{I D}, m a x - CC 1 Xl=0
Sollecitazioni: N=0 T_z =249.05 M_y =-25.07 T_y =0 M_z =0 M_x =0
Tensioni: σ_N =0 σ_M =0 τ=39.93 σ_{I D}, m a x =69.16
- Verifica Stabilità laterale (7.3.2.2.1) - CC 1 Ltors=60.40001
h*Ltors/b*t_f =67.51 ω₁ =1.4 σ_D =1678.57
Sollecitazioni: M_{m a x} =-25.07 M_{e q} =-25.07 tensioni: σ=-22.59 σ_{m a x} =-16.14
Controllo sicurezza (7.3.2): σ_D /σ_{m a x} =104.02 v=1.5
- Verifica Imbozzamento pannelli (7.6.2.1) - CC 1
Sollecitazioni: N=0 T_z =249.05 M_y =12.54
Parametri: a=60.40001 h=11.6 α=5.21 Ha n i m a =11.6 t=0.55
σ_N =0 σ_M =7.04 σ₁ =-7.04 σ₂ =7.04 τ=39.04 σ_{c r}, 0 =4185.9
Sono soddisfatte le limitazioni del prospetto 7-XI: Ha n i m a /t=21.09<130

Asta n. 208 (32 39) HEA 140 Cr. 1

- Verifica σ_{m a x} - CC 1 Xl=0
Sollecitazioni: N=0 T_z =333.99 M_y =-45.09 T_y =0 M_z =0 M_x =0
Tensioni: σ_N =0 σ_M =29.02 τ=0 σ_{m a x} =29.02
- Verifica τ_{m a x} - CC 1 Xl=0
Sollecitazioni: N=0 T_z =333.99 M_y =-45.09 T_y =0 M_z =0 M_x =0
Tensioni: σ_N =0 σ_M =0 τ=53.55 τ_{m a x} =53.55
- Verifica σ_{I D}, m a x - CC 1 Xl=0
Sollecitazioni: N=0 T_z =333.99 M_y =-45.09 T_y =0 M_z =0 M_x =0
Tensioni: σ_N =0 σ_M =0 τ=53.55 σ_{I D}, m a x =92.75
- Verifica Stabilità laterale (7.3.2.2.1) - CC 1 Ltors=80.99999
h*Ltors/b*t_f =90.53 ω₁ =1.4 σ_D =1678.57
Sollecitazioni: M_{m a x} =-45.09 M_{e q} =-45.09 tensioni: σ=-40.63 σ_{m a x} =-29.02
Controllo sicurezza (7.3.2): σ_D /σ_{m a x} =57.84 v=1.5
- Verifica Imbozzamento pannelli (7.6.2.1) - CC 1
Sollecitazioni: N=0 T_z =333.99 M_y =-45.09
Parametri: a=80.99999 h=11.6 α=6.98 Ha n i m a =11.6 t=0.55
σ_N =0 σ_M =25.31 σ₁ =-25.31 σ₂ =25.31 τ=52.35 σ_{c r}, 0 =4185.9
Sono soddisfatte le limitazioni del prospetto 7-XI: Ha n i m a /t=21.09<130

Asta n. 208 (39 46) HEA 140 Cr. 1

- Verifica σ_{m a x} - CC 1 Xl=0.52
Sollecitazioni: N=0 T_z =-212.77 M_y =-18.3 T_y =0 M_z =0 M_x =0
Tensioni: σ_N =0 σ_M =11.78 τ=0 σ_{m a x} =11.78
- Verifica τ_{m a x} - CC 1 Xl=0.52
Sollecitazioni: N=0 T_z =-212.77 M_y =-18.3 T_y =0 M_z =0 M_x =0
Tensioni: σ_N =0 σ_M =0 τ=34.11 τ_{m a x} =34.11
- Verifica σ_{I D}, m a x - CC 1 Xl=0.52
Sollecitazioni: N=0 T_z =-212.77 M_y =-18.3 T_y =0 M_z =0 M_x =0
Tensioni: σ_N =0 σ_M =0 τ=34.11 σ_{I D}, m a x =59.08
- Verifica Stabilità laterale (7.3.2.2.1) - CC 1 Ltors=51.60003
h*Ltors/b*t_f =57.67 ω₁ =1.4 σ_D =1678.57
Sollecitazioni: M_{m a x} =-18.3 M_{e q} =-18.3 tensioni: σ=-16.49 σ_{m a x} =-11.78
Controllo sicurezza (7.3.2): σ_D /σ_{m a x} =142.49 v=1.5
- Verifica Imbozzamento pannelli (7.6.2.1) - CC 1
Sollecitazioni: N=0 T_z =-212.77 M_y =9.15
Parametri: a=51.60003 h=11.6 α=4.45 Ha n i m a =11.6 t=0.55

$\sigma_N = 0$ $\sigma_M = 5.13$ $\sigma_1 = -5.13$ $\sigma_2 = 5.13$ $\tau = 33.35$ $\sigma_c r, 0 = 4185.9$
 Sono soddisfatte le limitazioni del prospetto 7-XI: $H_{\text{anima}} / t = 21.09 < 130$

Asta n. 208 (46 53) HEA 140 Cr. 1

- Verifica $\sigma_m a_x$ - CC 1 Xl=0
 Sollecitazioni: $N=0$ $T_z = 111.33$ $M_y = -5.01$ $T_y = 0$ $M_z = 0$ $M_x = 0$
 Tensioni: $\sigma_N = 0$ $\sigma_M = 3.22$ $\tau = 0$ $\sigma_m a_x = 3.22$
- Verifica $\tau_m a_x$ - CC 1 Xl=0
 Sollecitazioni: $N=0$ $T_z = 111.33$ $M_y = -5.01$ $T_y = 0$ $M_z = 0$ $M_x = 0$
 Tensioni: $\sigma_N = 0$ $\sigma_M = 0$ $\tau = 17.85$ $\tau_m a_x = 17.85$
- Verifica $\sigma_{I,D}, m_a x$ - CC 1 Xl=0
 Sollecitazioni: $N=0$ $T_z = 111.33$ $M_y = -5.01$ $T_y = 0$ $M_z = 0$ $M_x = 0$
 Tensioni: $\sigma_N = 0$ $\sigma_M = 0$ $\tau = 17.85$ $\sigma_{I,D}, m_a x = 30.92$
- Verifica Stabilità laterale (7.3.2.2.1) - CC 1 Ltors=27
 $h^*Ltors/b*t_f = 30.18$ $\omega_1 = 1.4$ $\sigma_D = 1678.57$
 Sollecitazioni: $M_m a_x = -5.01$ $M_e q = -5.01$ Tensioni: $\sigma = -4.51$ $\sigma_m a_x = -3.22$
 Controllo sicurezza (7.3.2.2): $\sigma_D / \sigma_m a_x = 520.53$ $v = 1.5$
- Verifica Imbozzamento pannelli (7.6.2.1) - CC 1
 Sollecitazioni: $N=0$ $T_z = 111.33$ $M_y = 2.5$
 Parametri: $a = 27$ $h = 11.6$ $\alpha = 2.33$ $H_{\text{anima}} = 11.6$ $t = 0.55$
 $\sigma_N = 0$ $\sigma_M = 1.41$ $\sigma_1 = -1.41$ $\sigma_2 = 1.41$ $\tau = 17.45$ $\sigma_c r, 0 = 4185.9$
 Sono soddisfatte le limitazioni del prospetto 7-XI: $H_{\text{anima}} / t = 21.09 < 130$

Asta n. 209 (2 9) HEA 140 Cr. 1

- Verifica $\sigma_m a_x$ - CC 1 Xl=0
 Sollecitazioni: $N=0$ $T_z = 1479.2$ $M_y = -614.42$ $T_y = 0$ $M_z = 0$ $M_x = 0.39$
 Tensioni: $\sigma_N = 0$ $\sigma_M = 395.48$ $\tau = 4.53$ $\sigma_m a_x = 395.48$
- Verifica $\tau_m a_x$ - CC 1 Xl=0
 Sollecitazioni: $N=0$ $T_z = 1479.2$ $M_y = -614.42$ $T_y = 0$ $M_z = 0$ $M_x = 0.39$
 Tensioni: $\sigma_N = 0$ $\sigma_M = 0$ $\tau = 237.2$ $\tau_m a_x = 237.2$
- Verifica $\sigma_{I,D}, m_a x$ - CC 1 Xl=0
 Sollecitazioni: $N=0$ $T_z = 1479.2$ $M_y = -614.42$ $T_y = 0$ $M_z = 0$ $M_x = 0.39$
 Tensioni: $\sigma_N = 0$ $\sigma_M = 273.56$ $\tau = 222.06$ $\sigma_{I,D}, m_a x = 471.98$
- Verifica Stabilità laterale (7.3.2.2.1) - CC 1 Ltors=27
 $h^*Ltors/b*t_f = 30.18$ $\omega_1 = 1.4$ $\sigma_D = 1678.57$
 Sollecitazioni: $M_m a_x = -614.42$ $M_e q = -558.68$ Tensioni: $\sigma = -503.45$ $\sigma_m a_x = -395.48$
 Controllo sicurezza (7.3.2.2): $\sigma_D / \sigma_m a_x = 4.24$ $v = 1.5$
- Verifica Imbozzamento pannelli (7.6.2.1) - CC 1
 Sollecitazioni: $N=0$ $T_z = 1479.2$ $M_y = -614.42$
 Parametri: $a = 27$ $h = 11.6$ $\alpha = 2.33$ $H_{\text{anima}} = 11.6$ $t = 0.55$
 $\sigma_N = 0$ $\sigma_M = 344.93$ $\sigma_1 = -344.93$ $\sigma_2 = 344.93$ $\tau = 231.85$ $\sigma_c r, 0 = 4185.9$
 Sono soddisfatte le limitazioni del prospetto 7-XI: $H_{\text{anima}} / t = 21.09 < 130$

Asta n. 209 (9 16) HEA 140 Cr. 1

- Verifica $\sigma_m a_x$ - CC 1 Xl=0
 Sollecitazioni: $N=0$ $T_z = 746.31$ $M_y = -245.17$ $T_y = 0$ $M_z = 0$ $M_x = 0.66$
 Tensioni: $\sigma_N = 0$ $\sigma_M = 157.81$ $\tau = 7.66$ $\sigma_m a_x = 157.81$
- Verifica $\tau_m a_x$ - CC 1 Xl=0
 Sollecitazioni: $N=0$ $T_z = 746.31$ $M_y = -245.17$ $T_y = 0$ $M_z = 0$ $M_x = 0.66$
 Tensioni: $\sigma_N = 0$ $\sigma_M = 0$ $\tau = 119.9$ $\tau_m a_x = 119.9$
- Verifica $\sigma_{I,D}, m_a x$ - CC 1 Xl=0
 Sollecitazioni: $N=0$ $T_z = 746.31$ $M_y = -245.17$ $T_y = 0$ $M_z = 0$ $M_x = 0.66$
 Tensioni: $\sigma_N = 0$ $\sigma_M = 109.16$ $\tau = 112.27$ $\sigma_{I,D}, m_a x = 223.01$
- Verifica Stabilità laterale (7.3.2.2.1) - CC 1 Ltors=61
 $h^*Ltors/b*t_f = 68.18$ $\omega_1 = 1.4$ $\sigma_D = 1678.57$
 Sollecitazioni: $M_m a_x = -245.17$ $M_e q = -196.18$ Tensioni: $\sigma = -176.79$ $\sigma_m a_x = -157.81$
 Controllo sicurezza (7.3.2.2): $\sigma_D / \sigma_m a_x = 10.64$ $v = 1.5$
- Verifica Imbozzamento pannelli (7.6.2.1) - CC 1
 Sollecitazioni: $N=0$ $T_z = 746.31$ $M_y = -245.17$
 Parametri: $a = 61$ $h = 11.6$ $\alpha = 5.26$ $H_{\text{anima}} = 11.6$ $t = 0.55$
 $\sigma_N = 0$ $\sigma_M = 137.64$ $\sigma_1 = -137.64$ $\sigma_2 = 137.64$ $\tau = 116.98$ $\sigma_c r, 0 = 4185.9$
 Sono soddisfatte le limitazioni del prospetto 7-XI: $H_{\text{anima}} / t = 21.09 < 130$

Asta n. 209 (16 23) HEA 140 Cr. 1

- Verifica $\sigma_m a_x$ - CC 1 Xl=0.21
 Sollecitazioni: $N=0$ $T_z = 4.05$ $M_y = 75.45$ $T_y = 0$ $M_z = 0$ $M_x = 0.59$
 Tensioni: $\sigma_N = 0$ $\sigma_M = -48.57$ $\tau = 6.85$ $\sigma_m a_x = -48.57$
- Verifica $\tau_m a_x$ - CC 1 Xl=0.64
 Sollecitazioni: $N=0$ $T_z = -352.2$ $M_y = 0.25$ $T_y = 0$ $M_z = 0$ $M_x = 0.59$
 Tensioni: $\sigma_N = 0$ $\sigma_M = -0$ $\tau = 56.88$ $\tau_m a_x = 56.88$
- Verifica $\sigma_{I,D}, m_a x$ - CC 1 Xl=0.64
 Sollecitazioni: $N=0$ $T_z = -352.2$ $M_y = 0.25$ $T_y = 0$ $M_z = 0$ $M_x = 0.59$
 Tensioni: $\sigma_N = 0$ $\sigma_M = -0$ $\tau = 56.88$ $\sigma_{I,D}, m_a x = 98.52$
- Verifica Stabilità laterale (7.3.2.2.1) - CC 1 Ltors=64.00001

$h^*L_{tors}/b^*t_f = 71.53 \omega_1 = 1.4 \sigma_D = 1678.57$
 Sollecitazioni: $M_m a_x = 75.45 M_e q = 57.4$ Tensioni: $\sigma = 51.73 \sigma_m a_x = 48.57$
 Controllo sicurezza (7.3.2): $\sigma_D / \sigma_m a_x = 34.56 v = 1.5$
 - Verifica Imbozzamento pannelli (7.6.2.1) - CC 1
 Sollecitazioni: $N=0 T_z = -352.2 M_y = 75.45$
 Parametri: $a = 64.00001 h = 11.6 \alpha = 5.52 H_a n i m a = 11.6 t = 0.55$
 $\sigma_N = 0 \sigma_M = 42.36 \sigma_1 = -42.36 \sigma_2 = 42.36 \tau = 55.2 \sigma_{c,r}, 0 = 4185.9$
 Sono soddisfatte le limitazioni del prospetto 7-XI: $H_a n i m a / t = 21.09 < 130$

Asta n. 209 (23 27) HEA 140 Cr. 1

- Verifica $\sigma_m a_x$ - CC 1 $Xl = 0.4$
 Sollecitazioni: $N=0 T_z = 3.7 M_y = 68.15 T_y = 0 M_z = 0 M_x = 0.45$
 Tensioni: $\sigma_N = 0 \sigma_M = -43.87 \tau = 5.23 \sigma_m a_x = -43.87$
 - Verifica $\tau_m a_x$ - CC 1 $Xl = 0$
 Sollecitazioni: $N=0 T_z = 335.63 M_y = -0.14 T_y = 0 M_z = 0 M_x = 0.45$
 Tensioni: $\sigma_N = 0 \sigma_M = 0 \tau = 54.06 \tau_m a_x = 54.06$
 - Verifica $\sigma_{I,D}, m_a x$ - CC 1 $Xl = 0$
 Sollecitazioni: $N=0 T_z = 335.63 M_y = -0.14 T_y = 0 M_z = 0 M_x = 0.45$
 Tensioni: $\sigma_N = 0 \sigma_M = 0 \tau = 54.06 \sigma_{I,D}, m_a x = 93.64$
 - Verifica Stabilità laterale (7.3.2.2.1) - CC 1 $L_{tors} = 69.99997$
 $h^*L_{tors}/b^*t_f = 78.24 \omega_1 = 1.4 \sigma_D = 1678.57$
 Sollecitazioni: $M_m a_x = 68.15 M_e q = 51.11$ Tensioni: $\sigma = 46.06 \sigma_m a_x = 43.87$
 Controllo sicurezza (7.3.2): $\sigma_D / \sigma_m a_x = 38.27 v = 1.5$
 - Verifica Imbozzamento pannelli (7.6.2.1) - CC 1
 Sollecitazioni: $N=0 T_z = 335.63 M_y = 68.15$
 Parametri: $a = 69.99997 h = 11.6 \alpha = 6.03 H_a n i m a = 11.6 t = 0.55$
 $\sigma_N = 0 \sigma_M = 38.26 \sigma_1 = -38.26 \sigma_2 = 38.26 \tau = 52.61 \sigma_{c,r}, 0 = 4185.9$
 Sono soddisfatte le limitazioni del prospetto 7-XI: $H_a n i m a / t = 21.09 < 130$

Asta n. 209 (27 33) HEA 140 Cr. 1

- Verifica $\sigma_m a_x$ - CC 1 $Xl = 0.68$
 Sollecitazioni: $N=0 T_z = 210.63 M_y = 367.15 T_y = 0 M_z = 0 M_x = 0.47$
 Tensioni: $\sigma_N = 0 \sigma_M = -236.32 \tau = 5.46 \sigma_m a_x = -236.32$
 - Verifica $\tau_m a_x$ - CC 1 $Xl = 0$
 Sollecitazioni: $N=0 T_z = 772.23 M_y = 32.48 T_y = 0 M_z = 0 M_x = 0.47$
 Tensioni: $\sigma_N = 0 \sigma_M = 0 \tau = 123.93 \tau_m a_x = 123.93$
 - Verifica $\sigma_{I,D}, m_a x$ - CC 1 $Xl = 0.68$
 Sollecitazioni: $N=0 T_z = 210.63 M_y = 367.15 T_y = 0 M_z = 0 M_x = 0.47$
 Tensioni: $\sigma_N = 0 \sigma_M = -236.32 \tau = 5.46 \sigma_{I,D}, m_a x = 236.51$
 - Verifica Stabilità laterale (7.3.2.2.1) - CC 1 $L_{tors} = 68.10002$
 $h^*L_{tors}/b^*t_f = 76.11 \omega_1 = 1.4 \sigma_D = 1678.57$
 Sollecitazioni: $M_m a_x = 367.15 M_e q = 275.36$ Tensioni: $\sigma = 248.13 \sigma_m a_x = 236.32$
 Controllo sicurezza (7.3.2): $\sigma_D / \sigma_m a_x = 7.1 v = 1.5$
 - Verifica Imbozzamento pannelli (7.6.2.1) - CC 1
 Sollecitazioni: $N=-0 T_z = 772.23 M_y = 367.15$
 Parametri: $a = 68.10002 h = 11.6 \alpha = 5.87 H_a n i m a = 11.6 t = 0.55$
 $\sigma_N = 0 \sigma_M = 206.11 \sigma_1 = -206.11 \sigma_2 = 206.11 \tau = 121.04 \sigma_{c,r}, 0 = 4185.9$
 Sono soddisfatte le limitazioni del prospetto 7-XI: $H_a n i m a / t = 21.09 < 130$

Asta n. 209 (33 40) HEA 140 Cr. 1

- Verifica $\sigma_m a_x$ - CC 1 $Xl = 0$
 Sollecitazioni: $N=0 T_z = -125.95 M_y = 365.72 T_y = 0 M_z = 0 M_x = -1.11$
 Tensioni: $\sigma_N = 0 \sigma_M = -235.4 \tau = 12.89 \sigma_m a_x = -235.4$
 - Verifica $\tau_m a_x$ - CC 1 $Xl = 0.73$
 Sollecitazioni: $N=0 T_z = -730.43 M_y = 51.86 T_y = 0 M_z = 0 M_x = -1.11$
 Tensioni: $\sigma_N = 0 \sigma_M = 0 \tau = 117.82 \tau_m a_x = 117.82$
 - Verifica $\sigma_{I,D}, m_a x$ - CC 1 $Xl = 0$
 Sollecitazioni: $N=0 T_z = -125.95 M_y = 365.72 T_y = 0 M_z = 0 M_x = -1.11$
 Tensioni: $\sigma_N = 0 \sigma_M = 235.4 \tau = 12.89 \sigma_{I,D}, m_a x = 236.46$
 - Verifica Stabilità laterale (7.3.2.2.1) - CC 1 $L_{tors} = 73.29998$
 $h^*L_{tors}/b^*t_f = 81.92 \omega_1 = 1.4 \sigma_D = 1678.57$
 Sollecitazioni: $M_m a_x = 365.72 M_e q = 274.29$ Tensioni: $\sigma = 247.17 \sigma_m a_x = 235.4$
 Controllo sicurezza (7.3.2): $\sigma_D / \sigma_m a_x = 7.13 v = 1.5$
 - Verifica Imbozzamento pannelli (7.6.2.1) - CC 1
 Sollecitazioni: $N=-0 T_z = -730.43 M_y = 365.72$
 Parametri: $a = 73.29998 h = 11.6 \alpha = 6.32 H_a n i m a = 11.6 t = 0.55$
 $\sigma_N = 0 \sigma_M = 205.31 \sigma_1 = -205.31 \sigma_2 = 205.31 \tau = 114.49 \sigma_{c,r}, 0 = 4185.9$
 Sono soddisfatte le limitazioni del prospetto 7-XI: $H_a n i m a / t = 21.09 < 130$

Asta n. 209 (40 47) HEA 140 Cr. 1

- Verifica $\sigma_m a_x$ - CC 1 $Xl = 0.52$
 Sollecitazioni: $N=0 T_z = -1102.79 M_y = -407.74 T_y = 0 M_z = 0 M_x = -1.07$
 Tensioni: $\sigma_N = 0 \sigma_M = 262.45 \tau = 12.42 \sigma_m a_x = 262.45$
 - Verifica $\tau_m a_x$ - CC 1 $Xl = 0.52$

Sollecitazioni: N=0 T_Z =-1102.79 M_Y =-407.74 T_Y =0 M_Z =0 M_X =-1.07
 Tensioni: σ_N =0 σ_M =0 t=177.24 τ_{m a x} =177.24
 - Verifica σ_{I D}, m_{a x} - CC 1 Xl=0.52
 Sollecitazioni: N=0 T_Z =-1102.79 M_Y =-407.74 T_Y =0 M_Z =0 M_X =-1.07
 Tensioni: σ_N =0 σ_M =181.54 t=165.98 σ_{I D}, m_{a x} =340.01
 - Verifica Stabilità laterale (7.3.2.2.1) - CC 1 Ltors=51.60003
 $h^*Ltors/b^*tf = 57.67 \omega_1 = 1.4 \sigma_D = 1678.57$
 Sollecitazioni: M_{m a x} =-407.74 M_{e q} =-305.81 Tensioni: σ=-275.57 σ_{m a x} =-262.45
 Controllo sicurezza (7.3.2): σ_D /σ_{m a x} =6.4 v=1.5
 - Verifica Imbozzamento pannelli (7.6.2.1) - CC 1
 Sollecitazioni: N=0 T_Z =-1102.79 M_Y =-407.74
 Parametri: a=51.60003 h=11.6 α=4.45 Ha n i m a =11.6 t=0.55
 $\sigma_N = 0 \sigma_M = 228.9 \sigma_1 = -228.9 \sigma_2 = 228.9 t = 172.85 \sigma_{c r}, 0 = 4185.9$
 Sono soddisfatte le limitazioni del prospetto 7-XI: Ha n i m a /t=21.09<130

Asta n. 209 (47 54) HEA 140 Cr. 1

- Verifica σ_{m a x} - CC 1 Xl=0.27
 Sollecitazioni: N=0 T_Z =-1794.62 M_Y =-862.22 T_Y =0 M_Z =0 M_X =-0.56
 Tensioni: σ_N =0 σ_M =554.98 t=6.5 σ_{m a x} =554.98
 - Verifica τ_{m a x} - CC 1 Xl=0.27
 Sollecitazioni: N=0 T_Z =-1794.62 M_Y =-862.22 T_Y =0 M_Z =0 M_X =-0.56
 Tensioni: σ_N =0 σ_M =0 t=287.8 τ_{m a x} =287.8
 - Verifica σ_{I D}, m_{a x} - CC 1 Xl=0.27
 Sollecitazioni: N=0 T_Z =-1794.62 M_Y =-862.22 T_Y =0 M_Z =0 M_X =-0.56
 Tensioni: σ_N =0 σ_M =383.89 t=269.43 σ_{I D}, m_{a x} =604.28
 - Verifica Stabilità laterale (7.3.2.2.1) - CC 1 Ltors=27
 $h^*Ltors/b^*tf = 30.18 \omega_1 = 1.4 \sigma_D = 1678.57$
 Sollecitazioni: M_{m a x} =-862.22 M_{e q} =-825.47 Tensioni: σ=-743.85 σ_{m a x} =-554.98
 Controllo sicurezza (7.3.2): σ_D /σ_{m a x} =3.02 v=1.5
 - Verifica Imbozzamento pannelli (7.6.2.1) - CC 1
 Sollecitazioni: N=0 T_Z =-1794.62 M_Y =-862.22
 Parametri: a=27 h=11.6 α=2.33 Ha n i m a =11.6 t=0.55
 $\sigma_N = 0 \sigma_M = 484.04 \sigma_1 = -484.04 \sigma_2 = 484.04 t = 281.29 \sigma_{c r}, 0 = 4185.9$
 Sono soddisfatte le limitazioni del prospetto 7-XI: Ha n i m a /t=21.09<130

Asta n. 210 (3 10) HEA 140 Cr. 1

- Verifica σ_{m a x} - CC 1 Xl=0
 Sollecitazioni: N=0 T_Z =2084.01 M_Y =-1065.24 T_Y =0 M_Z =0 M_X =0.11
 Tensioni: σ_N =0 σ_M =685.65 t=1.28 σ_{m a x} =685.65
 - Verifica τ_{m a x} - CC 1 Xl=0
 Sollecitazioni: N=0 T_Z =2084.01 M_Y =-1065.24 T_Y =0 M_Z =0 M_X =0.11
 Tensioni: σ_N =0 σ_M =0 t=334.13 τ_{m a x} =334.13
 - Verifica σ_{I D}, m_{a x} - CC 1 Xl=0
 Sollecitazioni: N=0 T_Z =2084.01 M_Y =-1065.24 T_Y =0 M_Z =0 M_X =0.11
 Tensioni: σ_N =0 σ_M =474.29 t=312.79 σ_{I D}, m_{a x} =720.04
 - Verifica Stabilità laterale (7.3.2.2.1) - CC 1 Ltors=27
 $h^*Ltors/b^*tf = 30.18 \omega_1 = 1.4 \sigma_D = 1678.57$
 Sollecitazioni: M_{m a x} =-1065.24 M_{e q} =-1038.61 Tensioni: σ=-935.92 σ_{m a x} =-685.65
 Controllo sicurezza (7.3.2): σ_D /σ_{m a x} =2.45 v=1.5
 - Verifica Imbozzamento pannelli (7.6.2.1) - CC 1
 Sollecitazioni: N=0 T_Z =2084.01 M_Y =-1065.24
 Parametri: a=27 h=11.6 α=2.33 Ha n i m a =11.6 t=0.55
 $\sigma_N = 0 \sigma_M = 598.01 \sigma_1 = -598.01 \sigma_2 = 598.01 t = 326.65 \sigma_{c r}, 0 = 4185.9$
 Sono soddisfatte le limitazioni del prospetto 7-XI: Ha n i m a /t=21.09<130

Asta n. 210 (10 17) HEA 140 Cr. 1

- Verifica σ_{m a x} - CC 1 Xl=0
 Sollecitazioni: N=0 T_Z =1125.76 M_Y =-532.83 T_Y =0 M_Z =0 M_X =0.35
 Tensioni: σ_N =0 σ_M =342.96 t=4.06 σ_{m a x} =342.96
 - Verifica τ_{m a x} - CC 1 Xl=0
 Sollecitazioni: N=0 T_Z =1125.76 M_Y =-532.83 T_Y =0 M_Z =0 M_X =0.35
 Tensioni: σ_N =0 σ_M =0 t=180.54 τ_{m a x} =180.54
 - Verifica σ_{I D}, m_{a x} - CC 1 Xl=0
 Sollecitazioni: N=0 T_Z =1125.76 M_Y =-532.83 T_Y =0 M_Z =0 M_X =0.35
 Tensioni: σ_N =0 σ_M =237.24 t=169.01 σ_{I D}, m_{a x} =376.8
 - Verifica Stabilità laterale (7.3.2.2.1) - CC 1 Ltors=61
 $h^*Ltors/b^*tf = 68.18 \omega_1 = 1.4 \sigma_D = 1678.57$
 Sollecitazioni: M_{m a x} =-532.83 M_{e q} =-399.62 Tensioni: σ=-360.11 σ_{m a x} =-342.96
 Controllo sicurezza (7.3.2): σ_D /σ_{m a x} =4.89 v=1.5
 - Verifica Imbozzamento pannelli (7.6.2.1) - CC 1
 Sollecitazioni: N=0 T_Z =1125.76 M_Y =-532.83
 Parametri: a=61 h=11.6 α=5.26 Ha n i m a =11.6 t=0.55
 $\sigma_N = 0 \sigma_M = 299.12 \sigma_1 = -299.12 \sigma_2 = 299.12 t = 176.45 \sigma_{c r}, 0 = 4185.9$
 Sono soddisfatte le limitazioni del prospetto 7-XI: Ha n i m a /t=21.09<130

Asta n. 211 (4 11) HEA 140 Cr. 1

- Verifica $\sigma_m \text{ a } x$ - CC 1 Xl=0
Sollecitazioni: N=0 Tz =2171.97 My =-1173.7 Ty =0 Mz =0 Mx =-0
Tensioni: $\sigma_N = 0$ $\sigma_M = 755.47$ t=0 $\sigma_m \text{ a } x = 755.47$
- Verifica $\tau_m \text{ a } x$ - CC 1 Xl=0
Sollecitazioni: N=0 Tz =2171.97 My =-1173.7 Ty =0 Mz =0 Mx =-0
Tensioni: $\sigma_N = 0$ $\sigma_M = 0$ t=348.23 $\tau_m \text{ a } x = 348.23$
- Verifica $\sigma_{I D} \text{, m a x}$ - CC 1 Xl=0
Sollecitazioni: N=0 Tz =2171.97 My =-1173.7 Ty =0 Mz =0 Mx =-0
Tensioni: $\sigma_N = 0$ $\sigma_M = 522.58$ t=325.99 $\sigma_{I D} \text{, m a x} = 769.35$
- Verifica Stabilità laterale (7.3.2.2.1) - CC 1 Ltors=27
 $h^*Ltors/b*t_f = 30.18$ $\omega_1 = 1.4$ $\sigma_D = 1678.57$
Sollecitazioni: $M_m \text{ a } x = -1173.7$ $M_e \text{ q} = -1164.17$ Tensioni: $\sigma = -1049.06$ $\sigma_m \text{ a } x = -755.47$
Controllo sicurezza (7.3.2): $\sigma_D / \sigma_m \text{ a } x = 2.22$ v=1.5
- Verifica Imbozzamento pannelli (7.6.2.1) - CC 1
Sollecitazioni: N=-0 Tz =2171.97 My =-1173.7
Parametri: a=27 h=11.6 $\alpha = 2.33$ Ha n i m a =11.6 t=0.55
 $\sigma_N = 0$ $\sigma_M = 658.9$ $\sigma_1 = -658.9$ $\sigma_2 = 658.9$ t=340.43 $\sigma_{C r}, 0 = 4185.9$
Sono soddisfatte le limitazioni del prospetto 7-XI: Ha n i m a /t=21.09<130

Asta n. 211 (11 18) HEA 140 Cr. 1

- Verifica $\sigma_m \text{ a } x$ - CC 1 Xl=0
Sollecitazioni: N=0 Tz =1264.37 My =-617.5 Ty =0 Mz =0 Mx =0
Tensioni: $\sigma_N = 0$ $\sigma_M = 397.46$ t=0 $\sigma_m \text{ a } x = 397.46$
- Verifica $\tau_m \text{ a } x$ - CC 1 Xl=0
Sollecitazioni: N=0 Tz =1264.37 My =-617.5 Ty =0 Mz =0 Mx =0
Tensioni: $\sigma_N = 0$ $\sigma_M = 0$ t=202.72 $\tau_m \text{ a } x = 202.72$
- Verifica $\sigma_{I D} \text{, m a x}$ - CC 1 Xl=0
Sollecitazioni: N=0 Tz =1264.37 My =-617.5 Ty =0 Mz =0 Mx =0
Tensioni: $\sigma_N = 0$ $\sigma_M = 274.94$ t=189.77 $\sigma_{I D} \text{, m a x} = 428.51$
- Verifica Stabilità laterale (7.3.2.2.1) - CC 1 Ltors=61
 $h^*Ltors/b*t_f = 68.18$ $\omega_1 = 1.4$ $\sigma_D = 1678.57$
Sollecitazioni: $M_m \text{ a } x = -617.5$ $M_e \text{ q} = -463.13$ Tensioni: $\sigma = -417.33$ $\sigma_m \text{ a } x = -397.46$
Controllo sicurezza (7.3.2): $\sigma_D / \sigma_m \text{ a } x = 4.22$ v=1.5
- Verifica Imbozzamento pannelli (7.6.2.1) - CC 1
Sollecitazioni: N=-0 Tz =1264.37 My =-617.5
Parametri: a=61 h=11.6 $\alpha = 5.26$ Ha n i m a =11.6 t=0.55
 $\sigma_N = 0$ $\sigma_M = 346.66$ $\sigma_1 = -346.66$ $\sigma_2 = 346.66$ t=198.18 $\sigma_{C r}, 0 = 4185.9$
Sono soddisfatte le limitazioni del prospetto 7-XI: Ha n i m a /t=21.09<130

Asta n. 212 (5 12) HEA 140 Cr. 1

- Verifica $\sigma_m \text{ a } x$ - CC 1 Xl=0
Sollecitazioni: N=0 Tz =2089.44 My =-1066.25 Ty =0 Mz =0 Mx =-0.1
Tensioni: $\sigma_N = 0$ $\sigma_M = 686.3$ t=1.16 $\sigma_m \text{ a } x = 686.3$
- Verifica $\tau_m \text{ a } x$ - CC 1 Xl=0
Sollecitazioni: N=0 Tz =2089.44 My =-1066.25 Ty =0 Mz =0 Mx =-0.1
Tensioni: $\sigma_N = 0$ $\sigma_M = 0$ t=335 $\tau_m \text{ a } x = 335$
- Verifica $\sigma_{I D} \text{, m a x}$ - CC 1 Xl=0
Sollecitazioni: N=0 Tz =2089.44 My =-1066.25 Ty =0 Mz =0 Mx =-0.1
Tensioni: $\sigma_N = 0$ $\sigma_M = 474.74$ t=313.6 $\sigma_{I D} \text{, m a x} = 721.4$
- Verifica Stabilità laterale (7.3.2.2.1) - CC 1 Ltors=27
 $h^*Ltors/b*t_f = 30.18$ $\omega_1 = 1.4$ $\sigma_D = 1678.57$
Sollecitazioni: $M_m \text{ a } x = -1066.25$ $M_e \text{ q} = -1038.97$ Tensioni: $\sigma = -936.24$ $\sigma_m \text{ a } x = -686.3$
Controllo sicurezza (7.3.2): $\sigma_D / \sigma_m \text{ a } x = 2.45$ v=1.5
- Verifica Imbozzamento pannelli (7.6.2.1) - CC 1
Sollecitazioni: N=0 Tz =2089.44 My =-1066.25
Parametri: a=27 h=11.6 $\alpha = 2.33$ Ha n i m a =11.6 t=0.55
 $\sigma_N = 0$ $\sigma_M = 598.58$ $\sigma_1 = -598.58$ $\sigma_2 = 598.58$ t=327.5 $\sigma_{C r}, 0 = 4185.9$
Sono soddisfatte le limitazioni del prospetto 7-XI: Ha n i m a /t=21.09<130

Asta n. 212 (12 19) HEA 140 Cr. 1

- Verifica $\sigma_m \text{ a } x$ - CC 1 Xl=0
Sollecitazioni: N=0 Tz =1125.04 My =-532.37 Ty =0 Mz =0 Mx =-0.35
Tensioni: $\sigma_N = 0$ $\sigma_M = 342.67$ t=4.06 $\sigma_m \text{ a } x = 342.67$
- Verifica $\tau_m \text{ a } x$ - CC 1 Xl=0
Sollecitazioni: N=0 Tz =1125.04 My =-532.37 Ty =0 Mz =0 Mx =-0.35
Tensioni: $\sigma_N = 0$ $\sigma_M = 0$ t=180.42 $\tau_m \text{ a } x = 180.42$
- Verifica $\sigma_{I D} \text{, m a x}$ - CC 1 Xl=0
Sollecitazioni: N=0 Tz =1125.04 My =-532.37 Ty =0 Mz =0 Mx =-0.35
Tensioni: $\sigma_N = 0$ $\sigma_M = 237.03$ t=168.9 $\sigma_{I D} \text{, m a x} = 376.52$
- Verifica Stabilità laterale (7.3.2.2.1) - CC 1 Ltors=61
 $h^*Ltors/b*t_f = 68.18$ $\omega_1 = 1.4$ $\sigma_D = 1678.57$
Sollecitazioni: $M_m \text{ a } x = -532.37$ $M_e \text{ q} = -399.28$ Tensioni: $\sigma = -359.8$ $\sigma_m \text{ a } x = -342.67$
Controllo sicurezza (7.3.2): $\sigma_D / \sigma_m \text{ a } x = 4.9$ v=1.5

- Verifica Imbozzamento pannelli (7.6.2.1) - CC 1
 Sollecitazioni: N=0 T_z =1125.04 M_y =-532.37
 Parametri: a=61 h=11.6 α=5.26 Ha n i m a =11.6 t=0.55
 $\sigma_N = 0 \quad \sigma_M = 298.87 \quad \sigma_1 = -298.87 \quad \sigma_2 = 298.87 \quad t=176.34 \quad \sigma_{C_r}, 0 = 4185.9$
 Sono soddisfatte le limitazioni del prospetto 7-XI: Ha n i m a /t=21.09<130

Asta n. 213 (6 13) HEA 140 Cr. 1

- Verifica $\sigma_m a_x$ - CC 1 X1=0
 Sollecitazioni: N=0 T_z =1542.62 M_y =-630.12 T_y =0 M_z =0 M_x =-0.38
 Tensioni: $\sigma_N = 0 \quad \sigma_M = 405.58 \quad t=4.41 \quad \sigma_m a_x = 405.58$
- Verifica $\tau_m a_x$ - CC 1 X1=0
 Sollecitazioni: N=0 T_z =1542.62 M_y =-630.12 T_y =0 M_z =0 M_x =-0.38
 Tensioni: $\sigma_N = 0 \quad \sigma_M = 0 \quad t=247.37 \quad \tau_m a_x = 247.37$
- Verifica $\sigma_{I_D, m a x}$ - CC 1 X1=0
 Sollecitazioni: N=0 T_z =1542.62 M_y =-630.12 T_y =0 M_z =0 M_x =-0.38
 Tensioni: $\sigma_N = 0 \quad \sigma_M = 280.55 \quad t=231.57 \quad \sigma_{I_D, m a x} = 489.48$
- Verifica Stabilità laterale (7.3.2.2.1) - CC 1 Ltors=27
 $h^*Ltors/b^*tf = 30.18 \quad \omega_1 = 1.4 \quad \sigma_D = 1678.57$
 Sollecitazioni: M_{m a x} =-630.12 M_{e q} =-567.96 Tensioni: $\sigma = -511.81 \quad \sigma_m a_x = -405.58$
 Controllo sicurezza (7.3.2): $\sigma_D / \sigma_m a_x = 4.14 \quad v=1.5$
- Verifica Imbozzamento pannelli (7.6.2.1) - CC 1
 Sollecitazioni: N=0 T_z =1542.62 M_y =-630.12
 Parametri: a=27 h=11.6 α=2.33 Ha n i m a =11.6 t=0.55
 $\sigma_N = 0 \quad \sigma_M = 353.74 \quad \sigma_1 = -353.74 \quad \sigma_2 = 353.74 \quad t=241.79 \quad \sigma_{C_r}, 0 = 4185.9$
 Sono soddisfatte le limitazioni del prospetto 7-XI: Ha n i m a /t=21.09<130

Asta n. 213 (13 20) HEA 140 Cr. 1

- Verifica $\sigma_m a_x$ - CC 1 X1=0
 Sollecitazioni: N=0 T_z =805 M_y =-243.74 T_y =0 M_z =0 M_x =-0.65
 Tensioni: $\sigma_N = 0 \quad \sigma_M = 156.89 \quad t=7.55 \quad \sigma_m a_x = 156.89$
- Verifica $\tau_m a_x$ - CC 1 X1=0
 Sollecitazioni: N=0 T_z =805 M_y =-243.74 T_y =0 M_z =0 M_x =-0.65
 Tensioni: $\sigma_N = 0 \quad \sigma_M = 0 \quad t=129.29 \quad \tau_m a_x = 129.29$
- Verifica $\sigma_{I_D, m a x}$ - CC 1 X1=0
 Sollecitazioni: N=0 T_z =805 M_y =-243.74 T_y =0 M_z =0 M_x =-0.65
 Tensioni: $\sigma_N = 0 \quad \sigma_M = 108.52 \quad t=121.06 \quad \sigma_{I_D, m a x} = 236.1$
- Verifica Stabilità laterale (7.3.2.2.1) - CC 1 Ltors=61
 $h^*Ltors/b^*tf = 68.18 \quad \omega_1 = 1.4 \quad \sigma_D = 1678.57$
 Sollecitazioni: M_{m a x} =-243.74 M_{e q} =-219.45 Tensioni: $\sigma = -197.76 \quad \sigma_m a_x = -156.89$
 Controllo sicurezza (7.3.2): $\sigma_D / \sigma_m a_x = 10.7 \quad v=1.5$
- Verifica Imbozzamento pannelli (7.6.2.1) - CC 1
 Sollecitazioni: N=0 T_z =805 M_y =-243.74
 Parametri: a=61 h=11.6 α=5.26 Ha n i m a =11.6 t=0.55
 $\sigma_N = 0 \quad \sigma_M = 136.83 \quad \sigma_1 = -136.83 \quad \sigma_2 = 136.83 \quad t=126.18 \quad \sigma_{C_r}, 0 = 4185.9$
 Sono soddisfatte le limitazioni del prospetto 7-XI: Ha n i m a /t=21.09<130

Asta n. 213 (20 24) HEA 140 Cr. 1

- Verifica $\sigma_m a_x$ - CC 1 X1=0.22
 Sollecitazioni: N=0 T_z =0.91 M_y =114.95 T_y =0 M_z =0 M_x =-0.48
 Tensioni: $\sigma_N = 0 \quad \sigma_M = -73.99 \quad t=5.57 \quad \sigma_m a_x = -73.99$
- Verifica $\tau_m a_x$ - CC 1 X1=0.64
 Sollecitazioni: N=0 T_z =-342.15 M_y =43.97 T_y =0 M_z =0 M_x =-0.48
 Tensioni: $\sigma_N = 0 \quad \sigma_M = 0 \quad t=55.14 \quad \tau_m a_x = 55.14$
- Verifica $\sigma_{I_D, m a x}$ - CC 1 X1=0.64
 Sollecitazioni: N=0 T_z =-342.15 M_y =43.97 T_y =0 M_z =0 M_x =-0.48
 Tensioni: $\sigma_N = 0 \quad \sigma_M = 0 \quad t=55.14 \quad \sigma_{I_D, m a x} = 95.5$
- Verifica Stabilità laterale (7.3.2.2.1) - CC 1 Ltors=64.00001
 $h^*Ltors/b^*tf = 71.53 \quad \omega_1 = 1.4 \quad \sigma_D = 1678.57$
 Sollecitazioni: M_{m a x} =114.95 M_{e q} =109.63 Tensioni: $\sigma = 98.79 \quad \sigma_m a_x = 73.99$
 Controllo sicurezza (7.3.2): $\sigma_D / \sigma_m a_x = 22.69 \quad v=1.5$
- Verifica Imbozzamento pannelli (7.6.2.1) - CC 1
 Sollecitazioni: N=0 T_z =-342.15 M_y =114.95
 Parametri: a=64.00001 h=11.6 α=5.52 Ha n i m a =11.6 t=0.55
 $\sigma_N = 0 \quad \sigma_M = 64.53 \quad \sigma_1 = -64.53 \quad \sigma_2 = 64.53 \quad t=53.63 \quad \sigma_{C_r}, 0 = 4185.9$
 Sono soddisfatte le limitazioni del prospetto 7-XI: Ha n i m a /t=21.09<130

Asta n. 213 (24 28) HEA 140 Cr. 1

- Verifica $\sigma_m a_x$ - CC 1 X1=0.26
 Sollecitazioni: N=0 T_z =6.61 M_y =73.86 T_y =0 M_z =0 M_x =-0.25
 Tensioni: $\sigma_N = 0 \quad \sigma_M = -47.54 \quad t=2.9 \quad \sigma_m a_x = -47.54$
- Verifica $\tau_m a_x$ - CC 1 X1=0.7
 Sollecitazioni: N=0 T_z =-354.18 M_y =-2.18 T_y =0 M_z =0 M_x =-0.25
 Tensioni: $\sigma_N = 0 \quad \sigma_M = 0 \quad t=56.86 \quad \tau_m a_x = 56.86$
- Verifica $\sigma_{I_D, m a x}$ - CC 1 X1=0.7

Sollecitazioni: N=0 T_Z =-354.18 M_Y =-2.18 T_Y =0 M_Z =0 M_X =-0.25
 Tensioni: σ_N =0 σ_M =0 τ=56.86 σ_{I D , m a x} =98.48
 - Verifica Stabilità laterale (7.3.2.2.1) - CC 1 Ltors=69.99997
 $h^*Ltors/b^*tf = 78.24 \omega_1 = 1.4 \sigma_D = 1678.57$
 Sollecitazioni: M_{m a x} =73.86 M_{e q} =55.39 Tensioni: σ=49.92 σ_{m a x} =47.54
 Controllo sicurezza (7.3.2): σ_D /σ_{m a x} =35.31 v=1.5
 - Verifica Imbozzamento pannelli (7.6.2.1) - CC 1
 Sollecitazioni: N=0 T_Z =-354.18 M_Y =73.86
 Parametri: a=69.99997 h=11.6 α=6.03 Ha n i m a =11.6 t=0.55
 σ_N =0 σ_M =41.46 σ₁ =-41.46 σ₂ =41.46 τ=55.51 σ_{C r , 0} =4185.9
 Sono soddisfatte le limitazioni del prospetto 7-XI: Ha n i m a /t=21.09<130

Asta n. 213 (28 30) HEA 140 Cr. 1

- Verifica σ_{m a x} - CC 1 Xl=0.47
 Sollecitazioni: N=0 T_Z =-0.86 M_Y =86.98 T_Y =0 M_Z =0 M_X =-0.18
 Tensioni: σ_N =0 σ_M =-55.99 τ=2.09 σ_{m a x} =-55.99
 - Verifica τ_{m a x} - CC 1 Xl=0
 Sollecitazioni: N=0 T_Z =383.8 M_Y =-2.33 T_Y =0 M_Z =0 M_X =-0.18
 Tensioni: σ_N =0 σ_M =0 τ=61.57 τ_{m a x} =61.57
 - Verifica σ_{I D , m a x} - CC 1 Xl=0
 Sollecitazioni: N=0 T_Z =383.8 M_Y =-2.33 T_Y =0 M_Z =0 M_X =-0.18
 Tensioni: σ_N =0 σ_M =0 τ=61.57 σ_{I D , m a x} =106.64
 - Verifica Stabilità laterale (7.3.2.2.1) - CC 1 Ltors=49.10002
 $h^*Ltors/b^*tf = 54.88 \omega_1 = 1.4 \sigma_D = 1678.57$
 Sollecitazioni: M_{m a x} =86.98 M_{e q} =76.28 Tensioni: σ=68.73 σ_{m a x} =55.99
 Controllo sicurezza (7.3.2): σ_D /σ_{m a x} =29.98 v=1.5
 - Verifica Imbozzamento pannelli (7.6.2.1) - CC 1
 Sollecitazioni: N=0 T_Z =383.8 M_Y =86.98
 Parametri: a=49.10002 h=11.6 α=4.23 Ha n i m a =11.6 t=0.55
 σ_N =0 σ_M =48.83 σ₁ =-48.83 σ₂ =48.83 τ=60.16 σ_{C r , 0} =4185.9
 Sono soddisfatte le limitazioni del prospetto 7-XI: Ha n i m a /t=21.09<130

Asta n. 213 (30 37) HEA 140 Cr. 1

- Verifica σ_{m a x} - CC 1 Xl=0.51
 Sollecitazioni: N=0 T_Z =384.11 M_Y =386.58 T_Y =0 M_Z =0 M_X =-0.42
 Tensioni: σ_N =0 σ_M =-248.83 τ=4.88 σ_{m a x} =-248.83
 - Verifica τ_{m a x} - CC 1 Xl=0
 Sollecitazioni: N=0 T_Z =801.39 M_Y =86.65 T_Y =0 M_Z =0 M_X =-0.42
 Tensioni: σ_N =0 σ_M =-0 τ=128.58 τ_{m a x} =128.58
 - Verifica σ_{I D , m a x} - CC 1 Xl=0.51
 Sollecitazioni: N=0 T_Z =384.11 M_Y =386.58 T_Y =0 M_Z =0 M_X =-0.42
 Tensioni: σ_N =0 σ_M =248.83 τ=4.88 σ_{I D , m a x} =248.97
 - Verifica Stabilità laterale (7.3.2.2.1) - CC 1 Ltors=50.6
 $h^*Ltors/b^*tf = 56.55 \omega_1 = 1.4 \sigma_D = 1678.57$
 Sollecitazioni: M_{m a x} =386.58 M_{e q} =307.6 Tensioni: σ=277.19 σ_{m a x} =248.83
 Controllo sicurezza (7.3.2): σ_D /σ_{m a x} =6.75 v=1.5
 - Verifica Imbozzamento pannelli (7.6.2.1) - CC 1
 Sollecitazioni: N=0 T_Z =801.39 M_Y =386.58
 Parametri: a=50.6 h=11.6 α=4.36 Ha n i m a =11.6 t=0.55
 σ_N =0 σ_M =217.02 σ₁ =-217.02 σ₂ =217.02 τ=125.61 σ_{C r , 0} =4185.9
 Sono soddisfatte le limitazioni del prospetto 7-XI: Ha n i m a /t=21.09<130

Asta n. 213 (37 44) HEA 140 Cr. 1

- Verifica σ_{m a x} - CC 1 Xl=0
 Sollecitazioni: N=0 T_Z =-393.8 M_Y =385.07 T_Y =0 M_Z =0 M_X =1.36
 Tensioni: σ_N =0 σ_M =-247.85 τ=15.79 σ_{m a x} =-247.85
 - Verifica τ_{m a x} - CC 1 Xl=0.42
 Sollecitazioni: N=0 T_Z =-737.68 M_Y =149.16 T_Y =0 M_Z =0 M_X =1.36
 Tensioni: σ_N =0 σ_M =-0 τ=119.32 τ_{m a x} =119.32
 - Verifica σ_{I D , m a x} - CC 1 Xl=0
 Sollecitazioni: N=0 T_Z =-393.8 M_Y =385.07 T_Y =0 M_Z =0 M_X =1.36
 Tensioni: σ_N =0 σ_M =247.85 τ=15.79 σ_{I D , m a x} =249.36
 - Verifica Stabilità laterale (7.3.2.2.1) - CC 1 Ltors=41.69998
 $h^*Ltors/b^*tf = 46.61 \omega_1 = 1.4 \sigma_D = 1678.57$
 Sollecitazioni: M_{m a x} =385.07 M_{e q} =347.25 Tensioni: σ=312.91 σ_{m a x} =247.85
 Controllo sicurezza (7.3.2): σ_D /σ_{m a x} =6.77 v=1.5
 - Verifica Imbozzamento pannelli (7.6.2.1) - CC 1
 Sollecitazioni: N=0 T_Z =-737.68 M_Y =385.07
 Parametri: a=41.69998 h=11.6 α=3.59 Ha n i m a =11.6 t=0.55
 σ_N =0 σ_M =216.17 σ₁ =-216.17 σ₂ =216.17 τ=115.62 σ_{C r , 0} =4185.9
 Sono soddisfatte le limitazioni del prospetto 7-XI: Ha n i m a /t=21.09<130

Asta n. 213 (44 51) HEA 140 Cr. 1

- Verifica σ_{m a x} - CC 1 Xl=0.52

Sollecitazioni: N=0 T_z =-1268.73 M_y =-396.32 T_y =0 M_z =0 M_x =1.09
Tensioni: σ_N =0 σ_M =255.09 τ=12.66 σ_{m a x} =255.09
- Verifica τ_{m a x} - CC 1 Xl=0.52
Sollecitazioni: N=0 T_z =-1268.73 M_y =-396.32 T_y =0 M_z =0 M_x =1.09
Tensioni: σ_N =0 σ_M =0 τ=203.81 τ_{m a x} =203.81
- Verifica σ_{I D}, m a x - CC 1 Xl=0.52
Sollecitazioni: N=0 T_z =-1268.73 M_y =-396.32 T_y =0 M_z =0 M_x =1.09
Tensioni: σ_N =0 σ_M =176.46 τ=190.84 σ_{I D}, m a x =374.7
- Verifica Stabilità laterale (7.3.2.2.1) - CC 1 Ltors=51.60003
h*Ltors/b*t_f =57.67 ω₁ =1.4 σ_D =1678.57
Sollecitazioni: M_{m a x} =-396.32 M_{e q} =-354.17 Tensioni: σ=-319.15 σ_{m a x} =-255.09
Controllo sicurezza (7.3.2): σ_D /σ_{m a x} =6.58 v=1.5
- Verifica Imbozzamento pannelli (7.6.2.1) - CC 1
Sollecitazioni: N=0 T_z =-1268.73 M_y =-396.32
Parametri: a=51.60003 h=11.6 α=4.45 Ha n i m a =11.6 t=0.55
σ_N =0 σ_M =222.49 σ₁ =-222.49 σ₂ =222.49 τ=198.86 σ_{c r}, 0 =4185.9
Sono soddisfatte le limitazioni del prospetto 7-XI: Ha n i m a /t=21.09<130

Asta n. 213 (51 58) HEA 140 Cr. 1

- Verifica σ_{m a x} - CC 1 Xl=0.27
Sollecitazioni: N=0 T_z =-1957.35 M_y =-894.76 T_y =0 M_z =0 M_x =0.56
Tensioni: σ_N =0 σ_M =575.92 τ=6.5 σ_{m a x} =575.92
- Verifica τ_{m a x} - CC 1 Xl=0.27
Sollecitazioni: N=0 T_z =-1957.35 M_y =-894.76 T_y =0 M_z =0 M_x =0.56
Tensioni: σ_N =0 σ_M =0 τ=313.89 τ_{m a x} =313.89
- Verifica σ_{I D}, m a x - CC 1 Xl=0.27
Sollecitazioni: N=0 T_z =-1957.35 M_y =-894.76 T_y =0 M_z =0 M_x =0.56
Tensioni: σ_N =0 σ_M =398.38 τ=293.85 σ_{I D}, m a x =646.33
- Verifica Stabilità laterale (7.3.2.2.1) - CC 1 Ltors=27
h*Ltors/b*t_f =30.18 ω₁ =1.4 σ_D =1678.57
Sollecitazioni: M_{m a x} =-894.76 M_{e q} =-839.21 Tensioni: σ=-756.23 σ_{m a x} =-575.92
Controllo sicurezza (7.3.2): σ_D /σ_{m a x} =2.91 v=1.5
- Verifica Imbozzamento pannelli (7.6.2.1) - CC 1
Sollecitazioni: N=0 T_z =-1957.35 M_y =-894.76
Parametri: a=27 h=11.6 α=2.33 Ha n i m a =11.6 t=0.55
σ_N =0 σ_M =502.31 σ₁ =-502.31 σ₂ =502.31 τ=306.79 σ_{c r}, 0 =4185.9
Sono soddisfatte le limitazioni del prospetto 7-XI: Ha n i m a /t=21.09<130

Asta n. 214 (7 14) HEA 140 Cr. 1

- Verifica σ_{m a x} - CC 1 Xl=0
Sollecitazioni: N=0 T_z =111.33 M_y =-5.01 T_y =0 M_z =0 M_x =0
Tensioni: σ_N =0 σ_M =3.22 τ=0 σ_{m a x} =3.22
- Verifica τ_{m a x} - CC 1 Xl=0
Sollecitazioni: N=0 T_z =111.33 M_y =-5.01 T_y =0 M_z =0 M_x =0
Tensioni: σ_N =0 σ_M =0 τ=17.85 τ_{m a x} =17.85
- Verifica σ_{I D}, m a x - CC 1 Xl=0
Sollecitazioni: N=0 T_z =111.33 M_y =-5.01 T_y =0 M_z =0 M_x =0
Tensioni: σ_N =0 σ_M =0 τ=17.85 σ_{I D}, m a x =30.92
- Verifica Stabilità laterale (7.3.2.2.1) - CC 1 Ltors=27
h*Ltors/b*t_f =30.18 ω₁ =1.4 σ_D =1678.57
Sollecitazioni: M_{m a x} =-5.01 M_{e q} =-5.01 Tensioni: σ=-4.51 σ_{m a x} =-3.22
Controllo sicurezza (7.3.2): σ_D /σ_{m a x} =520.53 v=1.5
- Verifica Imbozzamento pannelli (7.6.2.1) - CC 1
Sollecitazioni: N=0 T_z =111.33 M_y =2.5
Parametri: a=27 h=11.6 α=2.33 Ha n i m a =11.6 t=0.55
σ_N =0 σ_M =1.41 σ₁ =-1.41 σ₂ =1.41 τ=17.45 σ_{c r}, 0 =4185.9
Sono soddisfatte le limitazioni del prospetto 7-XI: Ha n i m a /t=21.09<130

Asta n. 214 (14 21) HEA 140 Cr. 1

- Verifica σ_{m a x} - CC 1 Xl=0.61
Sollecitazioni: N=0 T_z =-251.52 M_y =-25.57 T_y =0 M_z =0 M_x =0
Tensioni: σ_N =0 σ_M =16.46 τ=0 σ_{m a x} =16.46
- Verifica τ_{m a x} - CC 1 Xl=0.61
Sollecitazioni: N=0 T_z =-251.52 M_y =-25.57 T_y =0 M_z =0 M_x =0
Tensioni: σ_N =0 σ_M =0 τ=40.33 τ_{m a x} =40.33
- Verifica σ_{I D}, m a x - CC 1 Xl=0.61
Sollecitazioni: N=0 T_z =-251.52 M_y =-25.57 T_y =0 M_z =0 M_x =0
Tensioni: σ_N =0 σ_M =0 τ=40.33 σ_{I D}, m a x =69.85
- Verifica Stabilità laterale (7.3.2.2.1) - CC 1 Ltors=61
h*Ltors/b*t_f =68.18 ω₁ =1.4 σ_D =1678.57
Sollecitazioni: M_{m a x} =-25.57 M_{e q} =-25.57 Tensioni: σ=-23.04 σ_{m a x} =-16.46
Controllo sicurezza (7.3.2): σ_D /σ_{m a x} =101.98 v=1.5
- Verifica Imbozzamento pannelli (7.6.2.1) - CC 1
Sollecitazioni: N=0 T_z =-251.52 M_y =12.79
Parametri: a=61 h=11.6 α=5.26 Ha n i m a =11.6 t=0.55

$\sigma_N = 0 \quad \sigma_M = 7.18 \quad \sigma_1 = -7.18 \quad \sigma_2 = 7.18 \quad \tau = 39.42 \quad \sigma_{C,r} = 4185.9$
 Sono soddisfatte le limitazioni del prospetto 7-XI: $H_a n i m a /t = 21.09 < 130$

Asta n. 214 (21 25) HEA 140 Cr. 1

- Verifica $\sigma_{m,a,x} - CC 1 \quad Xl=0.64$
 Sollecitazioni: $N=0 \quad T_z = -263.89 \quad M_y = -28.15 \quad T_y = 0 \quad M_z = 0 \quad M_x = 0$
 Tensioni: $\sigma_N = 0 \quad \sigma_M = 18.12 \quad \tau = 0 \quad \sigma_{m,a,x} = 18.12$
- Verifica $\tau_{m,a,x} - CC 1 \quad Xl=0.64$
 Sollecitazioni: $N=0 \quad T_z = -263.89 \quad M_y = -28.15 \quad T_y = 0 \quad M_z = 0 \quad M_x = 0$
 Tensioni: $\sigma_N = 0 \quad \sigma_M = 0 \quad \tau = 42.31 \quad \tau_{m,a,x} = 42.31$
- Verifica $\sigma_{I,D,m,a,x} - CC 1 \quad Xl=0.64$
 Sollecitazioni: $N=0 \quad T_z = -263.89 \quad M_y = -28.15 \quad T_y = 0 \quad M_z = 0 \quad M_x = 0$
 Tensioni: $\sigma_N = 0 \quad \sigma_M = 0 \quad \tau = 42.31 \quad \sigma_{I,D,m,a,x} = 73.28$
- Verifica Stabilità laterale (7.3.2.2.1) - CC 1 Ltors=64.00001
 $h^*Ltors/b^*tf = 71.53 \quad \omega_1 = 1.4 \quad \sigma_D = 1678.57$
 Sollecitazioni: $M_{m,a,x} = -28.15 \quad M_{e,q} = -28.15$ Tensioni: $\sigma = -25.37 \quad \sigma_{m,a,x} = -18.12$
 Controllo sicurezza (7.3.2): $\sigma_D / \sigma_{m,a,x} = 92.64 \quad v = 1.5$
- Verifica Imbozzamento pannelli (7.6.2.1) - CC 1
 Sollecitazioni: $N=0 \quad T_z = -263.89 \quad M_y = -28.15$
 Parametri: $a = 64.00001 \quad h = 11.6 \quad \alpha = 5.52 \quad H_a n i m a = 11.6 \quad t = 0.55$
 $\sigma_N = 0 \quad \sigma_M = 15.8 \quad \sigma_1 = -15.8 \quad \sigma_2 = 15.8 \quad \tau = 41.36 \quad \sigma_{C,r} = 4185.9$
 Sono soddisfatte le limitazioni del prospetto 7-XI: $H_a n i m a /t = 21.09 < 130$

Asta n. 214 (25 29) HEA 140 Cr. 1

- Verifica $\sigma_{m,a,x} - CC 1 \quad Xl=0.7$
 Sollecitazioni: $N=0 \quad T_z = -288.63 \quad M_y = -33.67 \quad T_y = 0 \quad M_z = 0 \quad M_x = 0$
 Tensioni: $\sigma_N = 0 \quad \sigma_M = 21.67 \quad \tau = 0 \quad \sigma_{m,a,x} = 21.67$
- Verifica $\tau_{m,a,x} - CC 1 \quad Xl=0.7$
 Sollecitazioni: $N=0 \quad T_z = -288.63 \quad M_y = -33.67 \quad T_y = 0 \quad M_z = 0 \quad M_x = 0$
 Tensioni: $\sigma_N = 0 \quad \sigma_M = 0 \quad \tau = 46.28 \quad \tau_{m,a,x} = 46.28$
- Verifica $\sigma_{I,D,m,a,x} - CC 1 \quad Xl=0.7$
 Sollecitazioni: $N=0 \quad T_z = -288.63 \quad M_y = -33.67 \quad T_y = 0 \quad M_z = 0 \quad M_x = 0$
 Tensioni: $\sigma_N = 0 \quad \sigma_M = 0 \quad \tau = 46.28 \quad \sigma_{I,D,m,a,x} = 80.15$
- Verifica Stabilità laterale (7.3.2.2.1) - CC 1 Ltors=69.99997
 $h^*Ltors/b^*tf = 78.24 \quad \omega_1 = 1.4 \quad \sigma_D = 1678.57$
 Sollecitazioni: $M_{m,a,x} = -33.67 \quad M_{e,q} = -33.67$ Tensioni: $\sigma = -30.34 \quad \sigma_{m,a,x} = -21.67$
 Controllo sicurezza (7.3.2): $\sigma_D / \sigma_{m,a,x} = 77.45 \quad v = 1.5$
- Verifica Imbozzamento pannelli (7.6.2.1) - CC 1
 Sollecitazioni: $N=0 \quad T_z = -288.63 \quad M_y = -33.67$
 Parametri: $a = 69.99997 \quad h = 11.6 \quad \alpha = 6.03 \quad H_a n i m a = 11.6 \quad t = 0.55$
 $\sigma_N = 0 \quad \sigma_M = 18.9 \quad \sigma_1 = -18.9 \quad \sigma_2 = 18.9 \quad \tau = 45.24 \quad \sigma_{C,r} = 4185.9$
 Sono soddisfatte le limitazioni del prospetto 7-XI: $H_a n i m a /t = 21.09 < 130$

Asta n. 214 (29 31) HEA 140 Cr. 1

- Verifica $\sigma_{m,a,x} - CC 1 \quad Xl=0.49$
 Sollecitazioni: $N=0 \quad T_z = -202.46 \quad M_y = -16.57 \quad T_y = 0 \quad M_z = 0 \quad M_x = 0$
 Tensioni: $\sigma_N = 0 \quad \sigma_M = 10.67 \quad \tau = 0 \quad \sigma_{m,a,x} = 10.67$
- Verifica $\tau_{m,a,x} - CC 1 \quad Xl=0.49$
 Sollecitazioni: $N=0 \quad T_z = -202.46 \quad M_y = -16.57 \quad T_y = 0 \quad M_z = 0 \quad M_x = 0$
 Tensioni: $\sigma_N = 0 \quad \sigma_M = 0 \quad \tau = 32.46 \quad \tau_{m,a,x} = 32.46$
- Verifica $\sigma_{I,D,m,a,x} - CC 1 \quad Xl=0.49$
 Sollecitazioni: $N=0 \quad T_z = -202.46 \quad M_y = -16.57 \quad T_y = 0 \quad M_z = 0 \quad M_x = 0$
 Tensioni: $\sigma_N = 0 \quad \sigma_M = 0 \quad \tau = 32.46 \quad \sigma_{I,D,m,a,x} = 56.22$
- Verifica Stabilità laterale (7.3.2.2.1) - CC 1 Ltors=49.10002
 $h^*Ltors/b^*tf = 54.88 \quad \omega_1 = 1.4 \quad \sigma_D = 1678.57$
 Sollecitazioni: $M_{m,a,x} = -16.57 \quad M_{e,q} = -16.57$ Tensioni: $\sigma = -14.93 \quad \sigma_{m,a,x} = -10.67$
 Controllo sicurezza (7.3.2): $\sigma_D / \sigma_{m,a,x} = 157.36 \quad v = 1.5$
- Verifica Imbozzamento pannelli (7.6.2.1) - CC 1
 Sollecitazioni: $N=0 \quad T_z = -202.46 \quad M_y = 8.28$
 Parametri: $a = 49.10002 \quad h = 11.6 \quad \alpha = 4.23 \quad H_a n i m a = 11.6 \quad t = 0.55$
 $\sigma_N = 0 \quad \sigma_M = 4.65 \quad \sigma_1 = -4.65 \quad \sigma_2 = 4.65 \quad \tau = 31.73 \quad \sigma_{C,r} = 4185.9$
 Sono soddisfatte le limitazioni del prospetto 7-XI: $H_a n i m a /t = 21.09 < 130$

Asta n. 214 (31 38) HEA 140 Cr. 1

- Verifica $\sigma_{m,a,x} - CC 1 \quad Xl=0.58$
 Sollecitazioni: $N=0 \quad T_z = -241.22 \quad M_y = -23.52 \quad T_y = 0 \quad M_z = 0 \quad M_x = 0$
 Tensioni: $\sigma_N = 0 \quad \sigma_M = 15.14 \quad \tau = 0 \quad \sigma_{m,a,x} = 15.14$
- Verifica $\tau_{m,a,x} - CC 1 \quad Xl=0.58$
 Sollecitazioni: $N=0 \quad T_z = -241.22 \quad M_y = -23.52 \quad T_y = 0 \quad M_z = 0 \quad M_x = 0$
 Tensioni: $\sigma_N = 0 \quad \sigma_M = 0 \quad \tau = 38.67 \quad \tau_{m,a,x} = 38.67$
- Verifica $\sigma_{I,D,m,a,x} - CC 1 \quad Xl=0.58$
 Sollecitazioni: $N=0 \quad T_z = -241.22 \quad M_y = -23.52 \quad T_y = 0 \quad M_z = 0 \quad M_x = 0$
 Tensioni: $\sigma_N = 0 \quad \sigma_M = 0 \quad \tau = 38.67 \quad \sigma_{I,D,m,a,x} = 66.99$
- Verifica Stabilità laterale (7.3.2.2.1) - CC 1 Ltors=58.5

$h^*L_{tors}/b^*t_f = 65.38 \omega_1 = 1.4 \sigma_D = 1678.57$
 Sollecitazioni: $M_m a_x = -23.52 M_e q = -23.52$ Tensioni: $\sigma = -21.2 \sigma_m a_x = -15.14$
 Controllo sicurezza (7.3.2): $\sigma_D / \sigma_m a_x = 110.87 v = 1.5$
 - Verifica Imbozzamento pannelli (7.6.2.1) - CC 1
 Sollecitazioni: $N = 0 T_z = -241.22 M_y = 11.76$
 Parametri: $a = 58.5 h = 11.6 \alpha = 5.04 H_a n i m a = 11.6 t = 0.55$
 $\sigma_N = 0 \sigma_M = 6.6 \sigma_1 = -6.6 \sigma_2 = 6.6 \tau = 37.81 \sigma_c r, 0 = 4185.9$
 Sono soddisfatte le limitazioni del prospetto 7-XI: $H_a n i m a / t = 21.09 < 130$

Asta n. 214 (38 45) HEA 140 Cr. 1

- Verifica $\sigma_m a_x$ - CC 1 $Xl = 0$
 Sollecitazioni: $N = 0 T_z = 139.37 M_y = -7.85 T_y = 0 M_z = 0 M_x = 0$
 Tensioni: $\sigma_N = 0 \sigma_M = 5.05 \tau = 0 \sigma_m a_x = 5.05$
 - Verifica $\tau_m a_x$ - CC 1 $Xl = 0$
 Sollecitazioni: $N = 0 T_z = 139.37 M_y = -7.85 T_y = 0 M_z = 0 M_x = 0$
 Tensioni: $\sigma_N = 0 \sigma_M = 0 \tau = 22.35 \tau_m a_x = 22.35$
 - Verifica $\sigma_{I,D}, m a_x$ - CC 1 $Xl = 0$
 Sollecitazioni: $N = 0 T_z = 139.37 M_y = -7.85 T_y = 0 M_z = 0 M_x = 0$
 Tensioni: $\sigma_N = 0 \sigma_M = 0 \tau = 22.35 \sigma_{I,D}, m a_x = 38.7$
 - Verifica Stabilità laterale (7.3.2.2.1) - CC 1 $L_{tors} = 33.79998$
 $h^*L_{tors}/b^*t_f = 37.78 \omega_1 = 1.4 \sigma_D = 1678.57$
 Sollecitazioni: $M_m a_x = -7.85 M_e q = -7.85$ Tensioni: $\sigma = -7.07 \sigma_m a_x = -5.05$
 Controllo sicurezza (7.3.2): $\sigma_D / \sigma_m a_x = 332.21 v = 1.5$
 - Verifica Imbozzamento pannelli (7.6.2.1) - CC 1
 Sollecitazioni: $N = 0 T_z = 139.37 M_y = 3.93$
 Parametri: $a = 33.79998 h = 11.6 \alpha = 2.91 H_a n i m a = 11.6 t = 0.55$
 $\sigma_N = 0 \sigma_M = 2.2 \sigma_1 = -2.2 \sigma_2 = 2.2 \tau = 21.84 \sigma_c r, 0 = 4185.9$
 Sono soddisfatte le limitazioni del prospetto 7-XI: $H_a n i m a / t = 21.09 < 130$

Asta n. 214 (45 52) HEA 140 Cr. 1

- Verifica $\sigma_m a_x$ - CC 1 $Xl = 0.52$
 Sollecitazioni: $N = 0 T_z = -212.77 M_y = -18.3 T_y = 0 M_z = 0 M_x = 0$
 Tensioni: $\sigma_N = 0 \sigma_M = 11.78 \tau = 0 \sigma_m a_x = 11.78$
 - Verifica $\tau_m a_x$ - CC 1 $Xl = 0.52$
 Sollecitazioni: $N = 0 T_z = -212.77 M_y = -18.3 T_y = 0 M_z = 0 M_x = 0$
 Tensioni: $\sigma_N = 0 \sigma_M = 0 \tau = 34.11 \tau_m a_x = 34.11$
 - Verifica $\sigma_{I,D}, m a_x$ - CC 1 $Xl = 0.52$
 Sollecitazioni: $N = 0 T_z = -212.77 M_y = -18.3 T_y = 0 M_z = 0 M_x = 0$
 Tensioni: $\sigma_N = 0 \sigma_M = 0 \tau = 34.11 \sigma_{I,D}, m a_x = 59.08$
 - Verifica Stabilità laterale (7.3.2.2.1) - CC 1 $L_{tors} = 51.60003$
 $h^*L_{tors}/b^*t_f = 57.67 \omega_1 = 1.4 \sigma_D = 1678.57$
 Sollecitazioni: $M_m a_x = -18.3 M_e q = -18.3$ Tensioni: $\sigma = -16.49 \sigma_m a_x = -11.78$
 Controllo sicurezza (7.3.2): $\sigma_D / \sigma_m a_x = 142.49 v = 1.5$
 - Verifica Imbozzamento pannelli (7.6.2.1) - CC 1
 Sollecitazioni: $N = 0 T_z = -212.77 M_y = 9.15$
 Parametri: $a = 51.60003 h = 11.6 \alpha = 4.45 H_a n i m a = 11.6 t = 0.55$
 $\sigma_N = 0 \sigma_M = 5.13 \sigma_1 = -5.13 \sigma_2 = 5.13 \tau = 33.35 \sigma_c r, 0 = 4185.9$
 Sono soddisfatte le limitazioni del prospetto 7-XI: $H_a n i m a / t = 21.09 < 130$

Asta n. 214 (52 59) HEA 140 Cr. 1

- Verifica $\sigma_m a_x$ - CC 1 $Xl = 0$
 Sollecitazioni: $N = 0 T_z = 111.33 M_y = -5.01 T_y = 0 M_z = 0 M_x = 0$
 Tensioni: $\sigma_N = 0 \sigma_M = 3.22 \tau = 0 \sigma_m a_x = 3.22$
 - Verifica $\tau_m a_x$ - CC 1 $Xl = 0$
 Sollecitazioni: $N = 0 T_z = 111.33 M_y = -5.01 T_y = 0 M_z = 0 M_x = 0$
 Tensioni: $\sigma_N = 0 \sigma_M = 0 \tau = 17.85 \tau_m a_x = 17.85$
 - Verifica $\sigma_{I,D}, m a_x$ - CC 1 $Xl = 0$
 Sollecitazioni: $N = 0 T_z = 111.33 M_y = -5.01 T_y = 0 M_z = 0 M_x = 0$
 Tensioni: $\sigma_N = 0 \sigma_M = 0 \tau = 17.85 \sigma_{I,D}, m a_x = 30.92$
 - Verifica Stabilità laterale (7.3.2.2.1) - CC 1 $L_{tors} = 27$
 $h^*L_{tors}/b^*t_f = 30.18 \omega_1 = 1.4 \sigma_D = 1678.57$
 Sollecitazioni: $M_m a_x = -5.01 M_e q = -5.01$ Tensioni: $\sigma = -4.51 \sigma_m a_x = -3.22$
 Controllo sicurezza (7.3.2): $\sigma_D / \sigma_m a_x = 520.53 v = 1.5$
 - Verifica Imbozzamento pannelli (7.6.2.1) - CC 1
 Sollecitazioni: $N = 0 T_z = 111.33 M_y = 2.5$
 Parametri: $a = 27 h = 11.6 \alpha = 2.33 H_a n i m a = 11.6 t = 0.55$
 $\sigma_N = 0 \sigma_M = 1.41 \sigma_1 = -1.41 \sigma_2 = 1.41 \tau = 17.45 \sigma_c r, 0 = 4185.9$
 Sono soddisfatte le limitazioni del prospetto 7-XI: $H_a n i m a / t = 21.09 < 130$

Asta n. 215 (32 33) HEA 140 Cr. 1

- Verifica $\sigma_m a_x$ - CC 1 $Xl = 0$
 Sollecitazioni: $N = 0 T_z = 1482.54 M_y = -1177.63 T_y = 0 M_z = 0 M_x = 0.4$
 Tensioni: $\sigma_N = 0 \sigma_M = 757.99 \tau = 4.64 \sigma_m a_x = 757.99$
 - Verifica $\tau_m a_x$ - CC 1 $Xl = 0$

Sollecitazioni: N=0 T_Z =1482.54 M_Y =-1177.63 T_Y =0 M_Z =0 M_X =0.4
 Tensioni: σ_N =0 σ_M =0 t=237.74 τ_{m a x} =237.74
 - Verifica σ_{I D}, m_{a x} - CC 1 Xl=0
 Sollecitazioni: N=0 T_Z =1482.54 M_Y =-1177.63 T_Y =0 M_Z =0 M_X =0.4
 Tensioni: σ_N =0 σ_M =757.99 t=4.64 σ_{I D}, m_{a x} =758.04
 - Verifica Stabilità laterale (7.3.2.2.1) - CC 1 Ltors=84.35218
 $h^*Ltors/b^*tf = 94.28 \omega_1 = 1.4 \sigma_D = 1678.57$
 Sollecitazioni: M_{m a x} =-1177.63 M_{e q} =-908.76 Tensioni: σ=-818.91 σ_{m a x} =-758
 Controllo sicurezza (7.3.2): σ_D /σ_{m a x} =2.21 v=1.5
 - Verifica Imbozzamento pannelli (7.6.2.1) - CC 1
 Sollecitazioni: N=0 T_Z =1482.54 M_Y =-1177.63
 Parametri: a=84.35218 h=11.6 α=7.27 Ha n i m a =11.6 t=0.55
 $\sigma_N = 0 \sigma_M = 661.11 \sigma_1 = -661.11 \sigma_2 = 661.11 t = 232.37 \sigma_{c r}, 0 = 4185.9$
 Sono soddisfatte le limitazioni del prospetto 7-XI: Ha n i m a /t=21.09<130

Asta n. 215 (33 34) HEA 140 Cr. 1

- Verifica σ_{m a x} - CC 1 Xl=0.91
 Sollecitazioni: N=0 T_Z =376.59 M_Y =457.42 T_Y =0 M_Z =0 M_X =1.8
 Tensioni: σ_N =0 σ_M =-294.42 t=20.9 σ_{m a x} =-294.42
 - Verifica τ_{m a x} - CC 1 Xl=0
 Sollecitazioni: N=0 T_Z =1123.5 M_Y =-221.91 T_Y =0 M_Z =0 M_X =1.8
 Tensioni: σ_N =0 σ_M =0 t=181.34 τ_{m a x} =181.34
 - Verifica σ_{I D}, m_{a x} - CC 1 Xl=0
 Sollecitazioni: N=0 T_Z =1123.5 M_Y =-221.91 T_Y =0 M_Z =0 M_X =1.8
 Tensioni: σ_N =0 σ_M =t=181.34 σ_{I D}, m_{a x} =314.09
 - Verifica Stabilità laterale (7.3.2.2.1) - CC 1 Ltors=90.57195
 $h^*Ltors/b^*tf = 101.23 \omega_1 = 1.4 \sigma_D = 1678.57$
 Sollecitazioni: M_{m a x} =457.42 M_{e q} =441.56 Tensioni: σ=397.9 σ_{m a x} =294.42
 Controllo sicurezza (7.3.2): σ_D /σ_{m a x} =5.7 v=1.5
 - Verifica Imbozzamento pannelli (7.6.2.1) - CC 1
 Sollecitazioni: N=0 T_Z =1123.5 M_Y =457.42
 Parametri: a=90.57195 h=11.6 α=7.81 Ha n i m a =11.6 t=0.55
 $\sigma_N = 0 \sigma_M = 256.79 \sigma_1 = -256.79 \sigma_2 = 256.79 t = 176.1 \sigma_{c r}, 0 = 4185.9$
 Sono soddisfatte le limitazioni del prospetto 7-XI: Ha n i m a /t=21.09<130

Asta n. 215 (34 35) HEA 140 Cr. 1

- Verifica σ_{m a x} - CC 1 Xl=0.49
 Sollecitazioni: N=0 T_Z =3.68 M_Y =557.23 T_Y =0 M_Z =0 M_X =0.57
 Tensioni: σ_N =0 σ_M =-358.67 t=6.62 σ_{m a x} =-358.67
 - Verifica τ_{m a x} - CC 1 Xl=0
 Sollecitazioni: N=0 T_Z =408.45 M_Y =456.09 T_Y =0 M_Z =0 M_X =0.57
 Tensioni: σ_N =0 σ_M =-0 t=65.82 τ_{m a x} =65.82
 - Verifica σ_{I D}, m_{a x} - CC 1 Xl=0.49
 Sollecitazioni: N=0 T_Z =3.68 M_Y =557.23 T_Y =0 M_Z =0 M_X =0.57
 Tensioni: σ_N =0 σ_M =-358.67 t=6.62 σ_{I D}, m_{a x} =358.85
 - Verifica Stabilità laterale (7.3.2.2.1) - CC 1 Ltors=83.54639
 $h^*Ltors/b^*tf = 93.38 \omega_1 = 1.4 \sigma_D = 1678.57$
 Sollecitazioni: M_{m a x} =557.23 M_{e q} =557.23 Tensioni: σ=502.14 σ_{m a x} =358.67
 Controllo sicurezza (7.3.2): σ_D /σ_{m a x} =4.68 v=1.5
 - Verifica Imbozzamento pannelli (7.6.2.1) - CC 1
 Sollecitazioni: N=0 T_Z =408.45 M_Y =557.23
 Parametri: a=83.54639 h=11.6 α=7.2 Ha n i m a =11.6 t=0.55
 $\sigma_N = 0 \sigma_M = 312.82 \sigma_1 = -312.82 \sigma_2 = 312.82 t = 64.02 \sigma_{c r}, 0 = 4185.9$
 Sono soddisfatte le limitazioni del prospetto 7-XI: Ha n i m a /t=21.09<130

Asta n. 215 (35 36) HEA 140 Cr. 1

- Verifica σ_{m a x} - CC 1 Xl=0.13
 Sollecitazioni: N=0 T_Z =0.78 M_Y =515.89 T_Y =0 M_Z =0 M_X =-0.72
 Tensioni: σ_N =0 σ_M =-332.06 t=8.36 σ_{m a x} =-332.06
 - Verifica τ_{m a x} - CC 1 Xl=0.84
 Sollecitazioni: N=0 T_Z =-585.55 M_Y =308.01 T_Y =0 M_Z =0 M_X =-0.72
 Tensioni: σ_N =0 σ_M =-0 t=94.25 τ_{m a x} =94.25
 - Verifica σ_{I D}, m_{a x} - CC 1 Xl=0.13
 Sollecitazioni: N=0 T_Z =0.78 M_Y =515.89 T_Y =0 M_Z =0 M_X =-0.72
 Tensioni: σ_N =0 σ_M =-332.06 t=8.36 σ_{I D}, m_{a x} =332.37
 - Verifica Stabilità laterale (7.3.2.2.1) - CC 1 Ltors=83.646
 $h^*Ltors/b^*tf = 93.49 \omega_1 = 1.4 \sigma_D = 1678.57$
 Sollecitazioni: M_{m a x} =515.89 M_{e q} =515.89 Tensioni: σ=464.88 σ_{m a x} =332.06
 Controllo sicurezza (7.3.2): σ_D /σ_{m a x} =5.06 v=1.5
 - Verifica Imbozzamento pannelli (7.6.2.1) - CC 1
 Sollecitazioni: N=0 T_Z =-585.55 M_Y =515.89
 Parametri: a=83.646 h=11.6 α=7.21 Ha n i m a =11.6 t=0.55
 $\sigma_N = 0 \sigma_M = 289.61 \sigma_1 = -289.61 \sigma_2 = 289.61 t = 91.78 \sigma_{c r}, 0 = 4185.9$
 Sono soddisfatte le limitazioni del prospetto 7-XI: Ha n i m a /t=21.09<130

Asta n. 215 (36 37) HEA 140 Cr. 1

- Verifica $\sigma_m a_x$ - CC 1 Xl=0.91
Sollecitazioni: N=0 Tz =-1073.45 My =-324.94 Ty =0 Mz =0 Mx =-1.83
Tensioni: $\sigma_N = 0$ $\sigma_M = 209.15$ t=21.25 $\sigma_m a_x = 209.15$
- Verifica $\tau_m a_x$ - CC 1 Xl=0.91
Sollecitazioni: N=0 Tz =-1073.45 My =-324.94 Ty =0 Mz =0 Mx =-1.83
Tensioni: $\sigma_N = 0$ $\sigma_M = 0$ t=173.41 $\tau_m a_x = 173.41$
- Verifica $\sigma_{I,D}, m_a x$ - CC 1 Xl=0.91
Sollecitazioni: N=0 Tz =-1073.45 My =-324.94 Ty =0 Mz =0 Mx =-1.83
Tensioni: $\sigma_N = 0$ $\sigma_M = 144.68$ t=162.51 $\sigma_{I,D}, m_a x = 316.48$
- Verifica Stabilità laterale (7.3.2.2.1) - CC 1 Ltors=90.57195
 $h^*Ltors/b^*tf = 101.23 \omega_1 = 1.4 \sigma_D = 1678.57$
Sollecitazioni: $M_m a_x = -324.94$ $M_e q = -324.94$ Tensioni: $\sigma = -292.81$ $\sigma_m a_x = -209.15$
Controllo sicurezza (7.3.2): $\sigma_D / \sigma_m a_x = 8.03$ v=1.5
- Verifica Imbozzamento pannelli (7.6.2.1) - CC 1
Sollecitazioni: N=0 Tz =-1073.45 My =-324.94
Parametri: a=90.57195 h=11.6 $\alpha = 7.81$ $H_a n i m a = 11.6$ t=0.55
 $\sigma_N = 0$ $\sigma_M = 182.42$ $\sigma_1 = -182.42$ $\sigma_2 = 182.42$ $\tau = 168.25$ $\sigma_c r, 0 = 4185.9$
Sono soddisfatte le limitazioni del prospetto 7-XI: $H_a n i m a / t = 21.09 < 130$

Asta n. 215 (37 38) HEA 140 Cr. 1

- Verifica $\sigma_m a_x$ - CC 1 Xl=0.86
Sollecitazioni: N=0 Tz =-1008.56 My =-886.8 Ty =0 Mz =0 Mx =-0.21
Tensioni: $\sigma_N = 0$ $\sigma_M = 570.8$ t=2.44 $\sigma_m a_x = 570.8$
- Verifica $\tau_m a_x$ - CC 1 Xl=0.86
Sollecitazioni: N=0 Tz =-1008.56 My =-886.8 Ty =0 Mz =0 Mx =-0.21
Tensioni: $\sigma_N = 0$ $\sigma_M = 0$ t=161.72 $\tau_m a_x = 161.72$
- Verifica $\sigma_{I,D}, m_a x$ - CC 1 Xl=0.86
Sollecitazioni: N=0 Tz =-1008.56 My =-886.8 Ty =0 Mz =0 Mx =-0.21
Tensioni: $\sigma_N = 0$ $\sigma_M = -570.8$ t=2.44 $\sigma_{I,D}, m_a x = 570.82$
- Verifica Stabilità laterale (7.3.2.2.1) - CC 1 Ltors=86.46168
 $h^*Ltors/b^*tf = 96.63 \omega_1 = 1.4 \sigma_D = 1678.57$
Sollecitazioni: $M_m a_x = -886.8$ $M_e q = -786.39$ Tensioni: $\sigma = -708.64$ $\sigma_m a_x = -570.8$
Controllo sicurezza (7.3.2): $\sigma_D / \sigma_m a_x = 2.94$ v=1.5
- Verifica Imbozzamento pannelli (7.6.2.1) - CC 1
Sollecitazioni: N=0 Tz =-1008.56 My =-886.8
Parametri: a=86.46168 h=11.6 $\alpha = 7.45$ $H_a n i m a = 11.6$ t=0.55
 $\sigma_N = 0$ $\sigma_M = 497.84$ $\sigma_1 = -497.84$ $\sigma_2 = 497.84$ $\tau = 158.08$ $\sigma_c r, 0 = 4185.9$
Sono soddisfatte le limitazioni del prospetto 7-XI: $H_a n i m a / t = 21.09 < 130$

Asta n. 218 (24 25) HEA 140 Cr. 1

- Verifica $\sigma_m a_x$ - CC 1 Xl=0.86
Sollecitazioni: N=0 Tz =-1275.26 My =-792.1 Ty =0 Mz =0 Mx =0.27
Tensioni: $\sigma_N = 0$ $\sigma_M = 509.85$ t=3.14 $\sigma_m a_x = 509.85$
- Verifica $\tau_m a_x$ - CC 1 Xl=0.86
Sollecitazioni: N=0 Tz =-1275.26 My =-792.1 Ty =0 Mz =0 Mx =0.27
Tensioni: $\sigma_N = 0$ $\sigma_M = 0$ t=204.49 $\tau_m a_x = 204.49$
- Verifica $\sigma_{I,D}, m_a x$ - CC 1 Xl=0.86
Sollecitazioni: N=0 Tz =-1275.26 My =-792.1 Ty =0 Mz =0 Mx =0.27
Tensioni: $\sigma_N = 0$ $\sigma_M = -509.85$ t=3.14 $\sigma_{I,D}, m_a x = 509.87$
- Verifica Stabilità laterale (7.3.2.2.1) - CC 1 Ltors=86.10001
 $h^*Ltors/b^*tf = 96.23 \omega_1 = 1.4 \sigma_D = 1678.57$
Sollecitazioni: $M_m a_x = -792.1$ $M_e q = -594.08$ Tensioni: $\sigma = -535.34$ $\sigma_m a_x = -509.85$
Controllo sicurezza (7.3.2): $\sigma_D / \sigma_m a_x = 3.29$ v=1.5
- Verifica Imbozzamento pannelli (7.6.2.1) - CC 1
Sollecitazioni: N=0 Tz =-1275.26 My =-792.1
Parametri: a=86.10001 h=11.6 $\alpha = 7.42$ $H_a n i m a = 11.6$ t=0.55
 $\sigma_N = 0$ $\sigma_M = 444.68$ $\sigma_1 = -444.68$ $\sigma_2 = 444.68$ $\tau = 199.88$ $\sigma_c r, 0 = 4185.9$
Sono soddisfatte le limitazioni del prospetto 7-XI: $H_a n i m a / t = 21.09 < 130$

Asta n. 219 (28 29) HEA 140 Cr. 1

- Verifica $\sigma_m a_x$ - CC 1 Xl=0.86
Sollecitazioni: N=0 Tz =-1448.01 My =-941 Ty =0 Mz =0 Mx =0.15
Tensioni: $\sigma_N = 0$ $\sigma_M = 605.68$ t=1.74 $\sigma_m a_x = 605.68$
- Verifica $\tau_m a_x$ - CC 1 Xl=0.86
Sollecitazioni: N=0 Tz =-1448.01 My =-941 Ty =0 Mz =0 Mx =0.15
Tensioni: $\sigma_N = 0$ $\sigma_M = 0$ t=232.17 $\tau_m a_x = 232.17$
- Verifica $\sigma_{I,D}, m_a x$ - CC 1 Xl=0.86
Sollecitazioni: N=0 Tz =-1448.01 My =-941 Ty =0 Mz =0 Mx =0.15
Tensioni: $\sigma_N = 0$ $\sigma_M = -605.68$ t=1.74 $\sigma_{I,D}, m_a x = 605.69$
- Verifica Stabilità laterale (7.3.2.2.1) - CC 1 Ltors=86.10001
 $h^*Ltors/b^*tf = 96.23 \omega_1 = 1.4 \sigma_D = 1678.57$
Sollecitazioni: $M_m a_x = -941$ $M_e q = -705.75$ Tensioni: $\sigma = -635.97$ $\sigma_m a_x = -605.68$
Controllo sicurezza (7.3.2): $\sigma_D / \sigma_m a_x = 2.77$ v=1.5

- Verifica Imbozzamento pannelli (7.6.2.1) - CC 1
 Sollecitazioni: N=0 T_Z =-1448.01 M_Y =-941
 Parametri: a=86.10001 h=11.6 α=7.42 Ha n i m a =11.6 t=0.55
 $\sigma_N = 0 \quad \sigma_M = 528.26 \quad \sigma_1 = -528.26 \quad \sigma_2 = 528.26 \quad \tau = 226.96 \quad \sigma_{C_r}, 0 = 4185.9$
 Sono soddisfatte le limitazioni del prospetto 7-XI: Ha n i m a /t=21.09<130

Asta n. 225 (34 41) HEA 140 Cr. 1

- Verifica $\sigma_{m\ a\ x}$ - CC 1 Xl=0.65
 Sollecitazioni: N=0 T_Z =-568.72 M_Y =-194.35 T_Y =0 M_Z =0 M_X =-1.23
 Tensioni: $\sigma_N = 0 \quad \sigma_M = 125.09 \quad \tau = 14.28 \quad \sigma_{m\ a\ x} = 125.09$
- Verifica $\tau_{m\ a\ x}$ - CC 1 Xl=0.65
 Sollecitazioni: N=0 T_Z =-568.72 M_Y =-194.35 T_Y =0 M_Z =0 M_X =-1.23
 Tensioni: $\sigma_N = 0 \quad \sigma_M = 0 \quad \tau = 92.29 \quad \tau_{m\ a\ x} = 92.29$
- Verifica $\sigma_{I\ D, m\ a\ x}$ - CC 1 Xl=0.65
 Sollecitazioni: N=0 T_Z =-568.72 M_Y =-194.35 T_Y =0 M_Z =0 M_X =-1.23
 Tensioni: $\sigma_N = 0 \quad \sigma_M = 86.53 \quad \tau = 86.54 \quad \sigma_{I\ D, m\ a\ x} = 173.08$
- Verifica Stabilità laterale (7.3.2.2.1) - CC 1 Ltors=65.1
 $h^*Ltors/b^*tf = 72.76 \quad \omega_1 = 1.4 \quad \sigma_D = 1678.57$
 Sollecitazioni: M_{m a x} =-194.35 M_{e q} =-145.76 Tensioni: $\sigma = -131.35 \quad \sigma_{m\ a\ x} = -125.09$
 Controllo sicurezza (7.3.2): $\sigma_D / \sigma_{m\ a\ x} = 13.42 \quad v = 1.5$
- Verifica Imbozzamento pannelli (7.6.2.1) - CC 1
 Sollecitazioni: N=0 T_Z =-568.72 M_Y =-194.35
 Parametri: a=65.1 h=11.6 α=5.61 Ha n i m a =11.6 t=0.55
 $\sigma_N = 0 \quad \sigma_M = 109.1 \quad \sigma_1 = -109.1 \quad \sigma_2 = 109.1 \quad \tau = 89.14 \quad \sigma_{C_r}, 0 = 4185.9$
 Sono soddisfatte le limitazioni del prospetto 7-XI: Ha n i m a /t=21.09<130

Asta n. 225 (41 48) HEA 140 Cr. 1

- Verifica $\sigma_{m\ a\ x}$ - CC 1 Xl=0.52
 Sollecitazioni: N=0 T_Z =-1694.84 M_Y =-958.49 T_Y =0 M_Z =0 M_X =-0.72
 Tensioni: $\sigma_N = 0 \quad \sigma_M = 616.94 \quad \tau = 8.36 \quad \sigma_{m\ a\ x} = 616.94$
- Verifica $\tau_{m\ a\ x}$ - CC 1 Xl=0.52
 Sollecitazioni: N=0 T_Z =-1694.84 M_Y =-958.49 T_Y =0 M_Z =0 M_X =-0.72
 Tensioni: $\sigma_N = 0 \quad \sigma_M = 0 \quad \tau = 271.86 \quad \tau_{m\ a\ x} = 271.86$
- Verifica $\sigma_{I\ D, m\ a\ x}$ - CC 1 Xl=0.52
 Sollecitazioni: N=0 T_Z =-1694.84 M_Y =-958.49 T_Y =0 M_Z =0 M_X =-0.72
 Tensioni: $\sigma_N = 0 \quad \sigma_M = -616.94 \quad \tau = 8.36 \quad \sigma_{I\ D, m\ a\ x} = 617.11$
- Verifica Stabilità laterale (7.3.2.2.1) - CC 1 Ltors=51.60003
 $h^*Ltors/b^*tf = 57.67 \quad \omega_1 = 1.4 \quad \sigma_D = 1678.57$
 Sollecitazioni: M_{m a x} =-958.49 M_{e q} =-748.95 Tensioni: $\sigma = -674.9 \quad \sigma_{m\ a\ x} = -616.94$
 Controllo sicurezza (7.3.2): $\sigma_D / \sigma_{m\ a\ x} = 2.72 \quad v = 1.5$
- Verifica Imbozzamento pannelli (7.6.2.1) - CC 1
 Sollecitazioni: N=0 T_Z =-1694.84 M_Y =-958.49
 Parametri: a=51.60003 h=11.6 α=4.45 Ha n i m a =11.6 t=0.55
 $\sigma_N = 0 \quad \sigma_M = 538.09 \quad \sigma_1 = -538.09 \quad \sigma_2 = 538.09 \quad \tau = 265.65 \quad \sigma_{C_r}, 0 = 4185.9$
 Sono soddisfatte le limitazioni del prospetto 7-XI: Ha n i m a /t=21.09<130

Asta n. 225 (48 55) HEA 140 Cr. 1

- Verifica $\sigma_{m\ a\ x}$ - CC 1 Xl=0.27
 Sollecitazioni: N=0 T_Z =-2650.07 M_Y =-1643.63 T_Y =0 M_Z =0 M_X =-0.23
 Tensioni: $\sigma_N = 0 \quad \sigma_M = 1057.94 \quad \tau = 2.67 \quad \sigma_{m\ a\ x} = 1057.94$
- Verifica $\tau_{m\ a\ x}$ - CC 1 Xl=0.27
 Sollecitazioni: N=0 T_Z =-2650.07 M_Y =-1643.63 T_Y =0 M_Z =0 M_X =-0.23
 Tensioni: $\sigma_N = 0 \quad \sigma_M = 0 \quad \tau = 424.89 \quad \tau_{m\ a\ x} = 424.89$
- Verifica $\sigma_{I\ D, m\ a\ x}$ - CC 1 Xl=0.27
 Sollecitazioni: N=0 T_Z =-2650.07 M_Y =-1643.63 T_Y =0 M_Z =0 M_X =-0.23
 Tensioni: $\sigma_N = 0 \quad \sigma_M = -1057.94 \quad \tau = 2.67 \quad \sigma_{I\ D, m\ a\ x} = 1057.95$
- Verifica Stabilità laterale (7.3.2.2.1) - CC 1 Ltors=27
 $h^*Ltors/b^*tf = 30.18 \quad \omega_1 = 1.4 \quad \sigma_D = 1678.57$
 Sollecitazioni: M_{m a x} =-1643.63 M_{e q} =-1643.63 Tensioni: $\sigma = -1481.12 \quad \sigma_{m\ a\ x} = -1057.94$
 Controllo sicurezza (7.3.2): $\sigma_D / \sigma_{m\ a\ x} = 1.59 \quad v = 1.5$
- Verifica Imbozzamento pannelli (7.6.2.1) - CC 1
 Sollecitazioni: N=0 T_Z =-2650.07 M_Y =-1643.63
 Parametri: a=27 h=11.6 α=2.33 Ha n i m a =11.6 t=0.55
 $\sigma_N = 0 \quad \sigma_M = 922.72 \quad \sigma_1 = -922.72 \quad \sigma_2 = 922.72 \quad \tau = 415.37 \quad \sigma_{C_r}, 0 = 4185.9$
 Sono soddisfatte le limitazioni del prospetto 7-XI: Ha n i m a /t=21.09<130

Asta n. 226 (35 42) HEA 140 Cr. 1

- Verifica $\sigma_{m\ a\ x}$ - CC 1 Xl=0.57
 Sollecitazioni: N=0 T_Z =-858.96 M_Y =-356.22 T_Y =0 M_Z =0 M_X =-0.1
 Tensioni: $\sigma_N = 0 \quad \sigma_M = 229.28 \quad \tau = 1.16 \quad \sigma_{m\ a\ x} = 229.28$
- Verifica $\tau_{m\ a\ x}$ - CC 1 Xl=0.57
 Sollecitazioni: N=0 T_Z =-858.96 M_Y =-356.22 T_Y =0 M_Z =0 M_X =-0.1
 Tensioni: $\sigma_N = 0 \quad \sigma_M = 0 \quad \tau = 137.72 \quad \tau_{m\ a\ x} = 137.72$

- Verifica $\sigma_{I,D}$, $m_a x$ - CC 1 $Xl=0.57$
 Sollecitazioni: $N=0$ $T_z =-858.96$ $M_y =-356.22$ $T_y =0$ $M_z =0$ $M_x =-0.1$
 Tensioni: $\sigma_N =0$ $\sigma_M =158.6$ $t=128.93$ $\sigma_{I,D}, m_a x =273.9$
- Verifica Stabilità laterale (7.3.2.2.1) - CC 1 $Ltors=57.49998$
 $h*Ltors/b*t_f =64.26$ $\omega_1 =1.4$ $\sigma_D =1678.57$
 Sollecitazioni: $M_m a x =-356.22$ $M_e q =-267.16$ Tensioni: $\sigma=-240.75$ $\sigma_m a x =-229.28$
 Controllo sicurezza (7.3.2.): $\sigma_D / \sigma_m a x =7.32$ $v=1.5$
- Verifica Imbozzamento pannelli (7.6.2.1) - CC 1
 Sollecitazioni: $N=-0$ $T_z =-858.96$ $M_y =-356.22$
 Parametri: $a=57.49998$ $h=11.6$ $\alpha=4.96$ $H_a n i m a =11.6$ $t=0.55$
 $\sigma_N =0$ $\sigma_M =199.98$ $\sigma_1 =-199.98$ $\sigma_2 =199.98$ $t=134.63$ $\sigma_c r, 0 =4185.9$
 Sono soddisfatte le limitazioni del prospetto 7-XI: $H_a n i m a /t=21.09<130$

Asta n. 226 (42 49) HEA 140 Cr. 1

- Verifica $\sigma_m a x$ - CC 1 $Xl=0.52$
 Sollecitazioni: $N=0$ $T_z =-1843.88$ $M_y =-1196.84$ $T_y =0$ $M_z =0$ $M_x =-0.04$
 Tensioni: $\sigma_N =0$ $\sigma_M =770.36$ $t=0.43$ $\sigma_m a x =770.36$
- Verifica $\tau_m a x$ - CC 1 $Xl=0.52$
 Sollecitazioni: $N=0$ $T_z =-1843.88$ $M_y =-1196.84$ $T_y =0$ $M_z =0$ $M_x =-0.04$
 Tensioni: $\sigma_N =0$ $\sigma_M =0$ $t=295.63$ $\tau_m a x =295.63$

- Verifica $\sigma_{I,D}$, $m_a x$ - CC 1 $Xl=0.52$
 Sollecitazioni: $N=0$ $T_z =-1843.88$ $M_y =-1196.84$ $T_y =0$ $M_z =0$ $M_x =-0.04$
 Tensioni: $\sigma_N =0$ $\sigma_M =-770.36$ $t=0.43$ $\sigma_{I,D}, m_a x =770.36$
- Verifica Stabilità laterale (7.3.2.2.1) - CC 1 $Ltors=51.60003$
 $h*Ltors/b*t_f =57.67$ $\omega_1 =1.4$ $\sigma_D =1678.57$
 Sollecitazioni: $M_m a x =-1196.84$ $M_e q =-1008.81$ Tensioni: $\sigma=-909.06$ $\sigma_m a x =-770.36$
 Controllo sicurezza (7.3.2.): $\sigma_D / \sigma_m a x =2.18$ $v=1.5$
- Verifica Imbozzamento pannelli (7.6.2.1) - CC 1
 Sollecitazioni: $N=-0$ $T_z =-1843.88$ $M_y =-1196.84$
 Parametri: $a=51.60003$ $h=11.6$ $\alpha=4.45$ $H_a n i m a =11.6$ $t=0.55$
 $\sigma_N =0$ $\sigma_M =671.89$ $\sigma_1 =-671.89$ $\sigma_2 =671.89$ $t=289.01$ $\sigma_c r, 0 =4185.9$
 Sono soddisfatte le limitazioni del prospetto 7-XI: $H_a n i m a /t=21.09<130$

Asta n. 226 (49 56) HEA 140 Cr. 1

- Verifica $\sigma_m a x$ - CC 1 $Xl=0.27$
 Sollecitazioni: $N=0$ $T_z =-2739.66$ $M_y =-1906.07$ $T_y =0$ $M_z =0$ $M_x =-0.01$
 Tensioni: $\sigma_N =0$ $\sigma_M =1226.86$ $t=0.08$ $\sigma_m a x =1226.86$
- Verifica $\tau_m a x$ - CC 1 $Xl=0.27$
 Sollecitazioni: $N=0$ $T_z =-2739.66$ $M_y =-1906.07$ $T_y =0$ $M_z =0$ $M_x =-0.01$
 Tensioni: $\sigma_N =0$ $\sigma_M =0$ $t=439.25$ $\tau_m a x =439.25$
- Verifica $\sigma_{I,D}$, $m_a x$ - CC 1 $Xl=0.27$
 Sollecitazioni: $N=0$ $T_z =-2739.66$ $M_y =-1906.07$ $T_y =0$ $M_z =0$ $M_x =-0.01$
 Tensioni: $\sigma_N =0$ $\sigma_M =-1226.86$ $t=0.08$ $\sigma_{I,D}, m_a x =1226.86$
- Verifica Stabilità laterale (7.3.2.2.1) - CC 1 $Ltors=27$
 $h*Ltors/b*t_f =30.18$ $\omega_1 =1.4$ $\sigma_D =1678.57$
 Sollecitazioni: $M_m a x =-1906.07$ $M_e q =-1906.07$ Tensioni: $\sigma=-1717.61$ $\sigma_m a x =-1226.86$
 Controllo sicurezza (7.3.2.): $\sigma_D / \sigma_m a x =1.37$ $v=1.5$
- Verifica Imbozzamento pannelli (7.6.2.1) - CC 1
 Sollecitazioni: $N=-0$ $T_z =-2739.66$ $M_y =-1906.07$
 Parametri: $a=27$ $h=11.6$ $\alpha=2.33$ $H_a n i m a =11.6$ $t=0.55$
 $\sigma_N =0$ $\sigma_M =1070.05$ $\sigma_1 =-1070.05$ $\sigma_2 =1070.05$ $t=429.41$ $\sigma_c r, 0 =4185.9$
 Sono soddisfatte le limitazioni del prospetto 7-XI: $H_a n i m a /t=21.09<130$

Asta n. 227 (36 43) HEA 140 Cr. 1

- Verifica $\sigma_m a x$ - CC 1 $Xl=0.5$
 Sollecitazioni: $N=0$ $T_z =-670.52$ $M_y =-230.81$ $T_y =0$ $M_z =0$ $M_x =1.16$
 Tensioni: $\sigma_N =0$ $\sigma_M =148.56$ $t=13.47$ $\sigma_m a x =148.56$
- Verifica $\tau_m a x$ - CC 1 $Xl=0.5$
 Sollecitazioni: $N=0$ $T_z =-670.52$ $M_y =-230.81$ $T_y =0$ $M_z =0$ $M_x =1.16$
 Tensioni: $\sigma_N =0$ $\sigma_M =0$ $t=108.34$ $\tau_m a x =108.34$
- Verifica $\sigma_{I,D}$, $m_a x$ - CC 1 $Xl=0.5$
 Sollecitazioni: $N=0$ $T_z =-670.52$ $M_y =-230.81$ $T_y =0$ $M_z =0$ $M_x =1.16$
 Tensioni: $\sigma_N =0$ $\sigma_M =102.76$ $t=101.53$ $\sigma_{I,D}, m_a x =203.69$
- Verifica Stabilità laterale (7.3.2.2.1) - CC 1 $Ltors=49.89996$
 $h*Ltors/b*t_f =55.77$ $\omega_1 =1.4$ $\sigma_D =1678.57$
 Sollecitazioni: $M_m a x =-230.81$ $M_e q =-173.1$ Tensioni: $\sigma=-155.99$ $\sigma_m a x =-148.56$
 Controllo sicurezza (7.3.2.): $\sigma_D / \sigma_m a x =11.3$ $v=1.5$
- Verifica Imbozzamento pannelli (7.6.2.1) - CC 1
 Sollecitazioni: $N=-0$ $T_z =-670.52$ $M_y =-230.81$
 Parametri: $a=49.89996$ $h=11.6$ $\alpha=4.3$ $H_a n i m a =11.6$ $t=0.55$
 $\sigma_N =0$ $\sigma_M =129.57$ $\sigma_1 =-129.57$ $\sigma_2 =129.57$ $t=105.1$ $\sigma_c r, 0 =4185.9$
 Sono soddisfatte le limitazioni del prospetto 7-XI: $H_a n i m a /t=21.09<130$

Asta n. 227 (43 50) HEA 140 Cr. 1

- Verifica $\sigma_{m\ a\ x}$ - CC 1 Xl=0.52
 Sollecitazioni: N=0 Tz =-1686.22 My =-990.26 Ty =0 Mz =0 Mx =0.73
 Tensioni: $\sigma_N = 0$ $\sigma_M = 637.39$ $\tau = 8.48$ $\sigma_{m\ a\ x} = 637.39$
- Verifica $\tau_{m\ a\ x}$ - CC 1 Xl=0.52
 Sollecitazioni: N=0 Tz =-1686.22 My =-990.26 Ty =0 Mz =0 Mx =0.73
 Tensioni: $\sigma_N = 0$ $\sigma_M = 0$ $\tau = 270.48$ $\tau_{m\ a\ x} = 270.48$
- Verifica $\sigma_{I\ D'}$, $m\ a\ x$ - CC 1 Xl=0.52
 Sollecitazioni: N=0 Tz =-1686.22 My =-990.26 Ty =0 Mz =0 Mx =0.73
 Tensioni: $\sigma_N = 0$ $\sigma_M = -637.39$ $\tau = 8.48$ $\sigma_{I\ D'}$, $m\ a\ x = 637.56$
- Verifica Stabilità laterale (7.3.2.2.1) - CC 1 Ltors=51.60003
 $h^*Ltors/b^*tf = 57.67$ $\omega_1 = 1.4$ $\sigma_D = 1678.57$
 Sollecitazioni: $M_{m\ a\ x} = -990.26$ $M_e q = -793.14$ Tensioni: $\sigma = -714.72$ $\sigma_{m\ a\ x} = -637.39$
 Controllo sicurezza (7.3.2): $\sigma_D / \sigma_{m\ a\ x} = 2.63$ $v = 1.5$
- Verifica Imbozzamento pannelli (7.6.2.1) - CC 1
 Sollecitazioni: N=-0 Tz =-1686.22 My =-990.26
 Parametri: $a = 51.60003$ $h = 11.6$ $\alpha = 4.45$ $H_{a\ n\ i\ m\ a} = 11.6$ $t = 0.55$
 $\sigma_N = 0$ $\sigma_M = 555.92$ $\sigma_1 = -555.92$ $\sigma_2 = 555.92$ $\tau = 264.3$ $\sigma_{c\ r}, 0 = 4185.9$
 Sono soddisfatte le limitazioni del prospetto 7-XI: $H_{a\ n\ i\ m\ a} / t = 21.09 < 130$

Asta n. 227 (50 57) HEA 140 Cr. 1

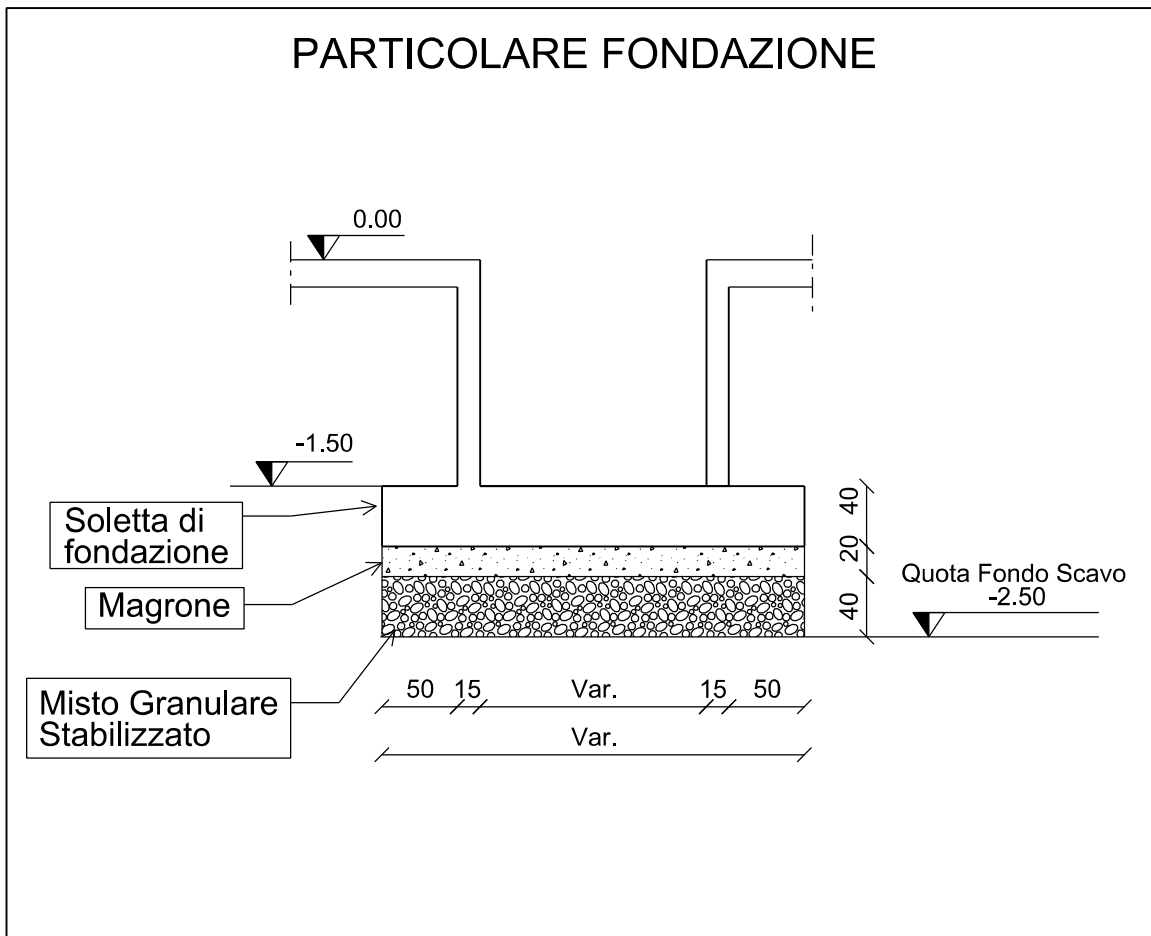
- Verifica $\sigma_{m\ a\ x}$ - CC 1 Xl=0.27
 Sollecitazioni: N=0 Tz =-2648.15 My =-1674.83 Ty =0 Mz =0 Mx =0.21
 Tensioni: $\sigma_N = 0$ $\sigma_M = 1078.02$ $\tau = 2.44$ $\sigma_{m\ a\ x} = 1078.02$
- Verifica $\tau_{m\ a\ x}$ - CC 1 Xl=0.27
 Sollecitazioni: N=0 Tz =-2648.15 My =-1674.83 Ty =0 Mz =0 Mx =0.21
 Tensioni: $\sigma_N = 0$ $\sigma_M = 0$ $\tau = 424.58$ $\tau_{m\ a\ x} = 424.58$
- Verifica $\sigma_{I\ D'}$, $m\ a\ x$ - CC 1 Xl=0.27
 Sollecitazioni: N=0 Tz =-2648.15 My =-1674.83 Ty =0 Mz =0 Mx =0.21
 Tensioni: $\sigma_N = 0$ $\sigma_M = 1078.02$ $\tau = 2.44$ $\sigma_{I\ D'}$, $m\ a\ x = 1078.03$
- Verifica Stabilità laterale (7.3.2.2.1) - CC 1 Ltors=27
 $h^*Ltors/b^*tf = 30.18$ $\omega_1 = 1.4$ $\sigma_D = 1678.57$
 Sollecitazioni: $M_{m\ a\ x} = -1674.83$ $M_e q = -1674.83$ Tensioni: $\sigma = -1509.23$ $\sigma_{m\ a\ x} = -1078.02$
 Controllo sicurezza (7.3.2): $\sigma_D / \sigma_{m\ a\ x} = 1.56$ $v = 1.5$
- Verifica Imbozzamento pannelli (7.6.2.1) - CC 1
 Sollecitazioni: N=-0 Tz =-2648.15 My =-1674.83
 Parametri: $a = 27$ $h = 11.6$ $\alpha = 2.33$ $H_{a\ n\ i\ m\ a} = 11.6$ $t = 0.55$
 $\sigma_N = 0$ $\sigma_M = 940.23$ $\sigma_1 = -940.23$ $\sigma_2 = 940.23$ $\tau = 415.07$ $\sigma_{c\ r}, 0 = 4185.9$
 Sono soddisfatte le limitazioni del prospetto 7-XI: $H_{a\ n\ i\ m\ a} / t = 21.09 < 130$

NUCLEI ASCENSORI

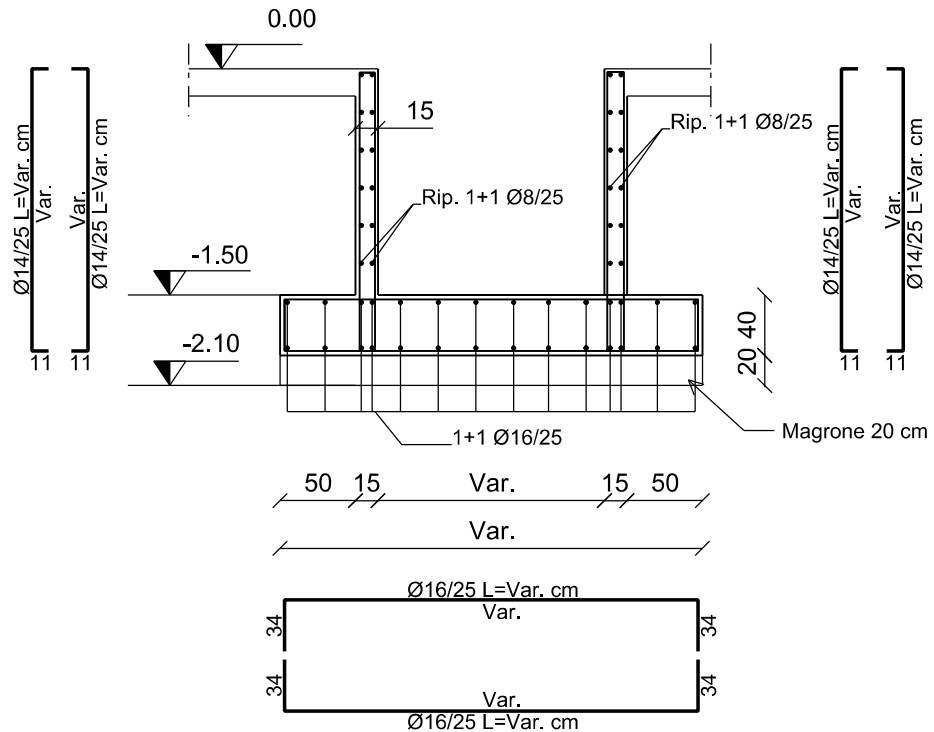
Gli ascensori saranno realizzati con struttura in acciaio e vetro i cui esecutivi strutturali e relazioni di calcolo saranno fornite dal produttore stesso.

Per quanto riguarda la struttura di fondazione, questa sarà in cemento armato in opera con calcestruzzo RcK250 ed armatura FeB44K, realizzata secondo lo schema allegato.

PARTICOLARE FONDAZIONE



PARTICOLARE ARMATURA

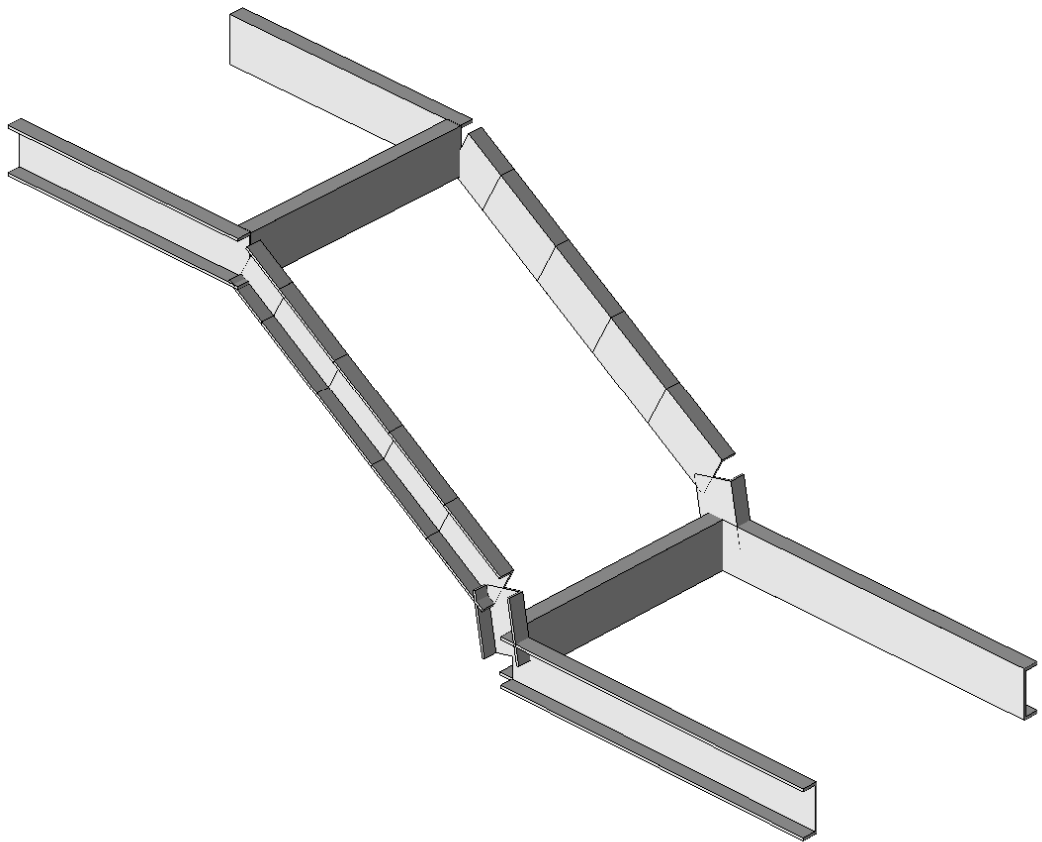


CONSOLIDAMENTO VOLTE IN MURATURA CON FIBRE DI CARBONIO

Le relative certificazioni e calcoli strutturali saranno forniti dalla ditta realizzatrice di tali opere, in relazione alle tecniche realizzative ed ai materiali utilizzati.

SCALE

VERIFICA STRUTTURA PORTANTE UPN 200



SISTEMI DI RIFERIMENTO

Le coordinate, i carichi concentrati, i cedimenti, le reazioni vincolari e gli spostamenti dei NODI sono riferiti ad una terna destra cartesiana globale con l'asse Z verticale rivolto verso l'alto.

I carichi in coordinate locali e le sollecitazioni delle ASTE sono riferite ad una terna destra cartesiana locale così definita:

- origine nel nodo iniziale dell'asta;
- asse X coincidente con l'asse dell'asta e con verso dal nodo iniziale al nodo finale;
- immaginando la trave a sezione rettangolare l'asse Y è parallelo alla base e l'asse Z è parallelo all'altezza. La rotazione dell'asta comporta quindi una rotazione di tutta la terna locale.

Si può immaginare la terna locale di un'asta comunque disposta nello spazio come derivante da quella globale dopo una serie di trasformazioni:

- una rotazione intorno all'asse Z che porti l'asse X a coincidere con la proiezione dell'asse dell'asta sul piano orizzontale;
- una traslazione lungo il nuovo asse X così definito in modo da portare l'origine a coincidere con la proiezione del nodo iniziale dell'asta sul piano orizzontale;
- una traslazione lungo l'asse Z che porti l'origine a coincidere con il nodo iniziale dell'asta;
- una rotazione intorno all'asse Y così definito che porti l'asse X a coincidere con l'asse dell'asta;
- una rotazione intorno all'asse X così definito pari alla rotazione dell'asta.

In pratica le travi prive di rotazione avranno sempre l'asse Z rivolto verso l'alto e l'asse Y nel piano del solaio, mentre i pilastri privi di rotazione avranno l'asse Y parallelo all'asse Y globale e l'asse Z parallelo ma controverso all'asse X globale. Da notare quindi che per i pilastri la "base" è il lato parallelo a Y.

Le sollecitazioni ed i carichi in coordinate locali negli ELEMENTI BIDIMENSIONALI e nei MURI sono riferiti ad una terna destra cartesiana locale così definita:

- origine nel primo nodo dell'elemento;
- asse X coincidente con la congiungente il primo ed il secondo nodo dell'elemento;
- asse Y definito come prodotto vettoriale fra il versore dell'asse X e il versore della congiungente il primo e il quarto nodo. Asse Z a formare con gli altri due una terna destrorsa.

Praticamente un elemento verticale con l'asse X locale coincidente con l'asse X globale ha anche gli altri assi locali coincidenti con quelli globali.

ROTAZIONI E MOMENTI

Seguendo il principio adottato per tutti i carichi che sono positivi se CONTROVERSI agli assi, anche i momenti concentrati e le rotazioni impresse in coordinate globali risultano positivi se CONTROVERSI al segno positivo delle rotazioni. Il segno positivo dei momenti e delle rotazioni è quello orario per l'osservatore posto nell'origine: X ruota su Y, Y ruota su Z, Z ruota su X. In pratica è sufficiente adottare la regola della mano destra: col pollice rivolto nella direzione dell'asse, la rotazione che porta a chiudere il palmo della mano corrisponde al segno positivo.

UNITÀ DI MISURA

Le unità di misura adottate sono le seguenti:

- lunghezze : m
- forze : kg
- masse : kg massa
- temperature : gradi centigradi
- angoli : gradi sessadecimali o radianti

NORMATIVA DI RIFERIMENTO

La normativa di riferimento è la seguente:

- Legge n. 64 del 2/2/1974 - Provvedimenti per le costruzioni con particolari prescrizioni per le zone sismiche.
- D.M. del 24/1/1986 - Norme tecniche relative alle costruzioni sismiche.
- Legge n. 1086 del 5/11/1971 - Norme per la disciplina delle opere di conglomerato cementizio armato, normale e precompresso ed a struttura metallica.
- D.M. del 14/2/1992 - Norme tecniche per l'esecuzione delle opere in c.a. normale e precompresso e per le strutture metalliche.
- D.M. del 9/1/1996 - Norme tecniche per l'esecuzione delle opere in c.a. normale e precompresso e per le strutture metalliche.
- D.M. del 16/1/1996 - Norme tecniche per le costruzioni in zone sismiche.
- Circolare n. 21745 del 30/7/1981 - Legge n. 219 del 14/5/1981 - Art. 10 - Istruzioni relative al rafforzamento degli edifici in muratura danneggiati dal sisma.
- Regione Autonoma Friuli Venezia Giulia - Legge Regionale n. 30 del 20/6/1977 - Documentazione tecnica per la progettazione e direzione delle opere di riparazione degli edifici - Documento Tecnico n. 2 - Raccomandazioni per la riparazione strutturale degli edifici in muratura.
- Norme Tecniche C.N.R. n. 10011-85 del 18/4/1985 - Costruzioni di acciaio - Istruzioni per il calcolo, l'esecuzione, il collaudo e la manutenzione.
- Norme Tecniche C.N.R. n. 10025-84 del 14/12/1984 - Istruzioni per il progetto, l'esecuzione ed il controllo delle strutture prefabbricate in conglomerato cementizio e per le strutture costruite con sistemi industrializzati di acciaio - Istruzioni per il calcolo, l'esecuzione, il collaudo e la manutenzione.
- Circolare n. 65 del 10/4/1997 - Istruzioni per l'applicazione delle "Norme tecniche per le costruzioni in zone sismiche" di cui al D.M. del 16/1/1996.
- Ordinanza n. 3274 del 20/3/2003 - Primi elementi in materia di criteri generali per la classificazione sismica del territorio nazionale e di normative tecniche per le costruzioni in zona sismica.
- Ordinanza n. 3316 del 2/10/2003 - Modifiche ed integrazioni all'Ordinanza n. 3274 del 20/3/2003.

- Ordinanza n. 3431 del 3/5/2005 - Modifiche ed integrazioni all'Ordinanza n. 3274 del 20/3/2003.
- Eurocodice 5 - Progettazione delle strutture di legno.
- DIN 1052 - Metodi di verifica per il legno.

ELENCO VINCOLI NODI

Simbologia

Vn = Numero del vincolo nodo
 Comm. = Commento
 Sx = Spostamento in dir. X (L=libero, B=bloccato)
 Sy = Spostamento in dir. Y (L=libero, B=bloccato)
 Sz = Spostamento in dir. Z (L=libero, B=bloccato)
 Rx = Rotazione intorno all'asse X (L=libera, B=bloccata)
 Ry = Rotazione intorno all'asse Y (L=libera, B=bloccata)
 Rz = Rotazione intorno all'asse Z (L=libera, B=bloccata)
 RL = Rotazione libera
 Ly = Lunghezza (dir. Y locale)
 Lz = Larghezza (dir. Z locale)
 Kt = Coeff. di sottofondo su suolo elastico alla Winkler

Vn	Comm.	Sx	Sy	Sz	Rx	Ry	Rz	RL	Ly	Lz	Kt
		<grad>							<m>	<m>	<kg/cmc>

1	Libero	L	L	L	L	L	L
2	Incastro	B	B	B	B	B	B

ELENCO NODI

Simbologia

Nodo = Numero del nodo
 X = Coordinata X del nodo
 Y = Coordinata Y del nodo
 Z = Coordinata Z del nodo
 Imp. = Numero dell'impalcato
 Vn = Numero del vincolo nodo

Nodo	X	Y	Z	Imp.	Vn	Nodo	X	Y	Z	Imp.	Vn	Nodo	X	Y	Z	Imp.	Vn
<m>	<m>	<m>				<m>	<m>	<m>				<m>	<m>	<m>			
1	2.70	1.05	-1.05	0	1	2	4.31	1.05	-1.05	0	2	3	2.70	2.25	-1.05	0	1
4	4.31	2.25	-1.05	0	2	5	2.65	1.05	-0.80	0	1	6	2.65	2.25	-0.80	0	1
7	2.35	1.05	-0.63	0	1	8	2.35	2.25	-0.63	0	1	9	2.05	1.05	-0.45	0	1
10	2.05	2.25	-0.45	0	1	11	1.75	1.05	-0.28	0	1	12	1.75	2.25	-0.28	0	1
13	1.45	1.05	-0.10	0	1	14	1.45	2.25	-0.10	0	1	15	0.00	1.05	0.00	0	2
16	1.27	1.05	0.00	0	1	17	0.00	2.25	0.00	0	2	18	1.27	2.25	0.00	0	1

ELENCO MATERIALI

Simbologia

Mat. = Numero del materiale
 Comm. = Commento
 P = Peso specifico
 E = Modulo elastico
 G = Modulo elastico tangenziale
 v = Coeff. di Poisson
 α = Coeff. di dilatazione termica

Mat.	Comm.	P	E	G	v	α
		<kg/mc>	<kg/cmq>	<kg/cmq>		

2	Acciaio	7850.00	2100000.00	800000.00	0.30	1.00E-005
---	---------	---------	------------	-----------	------	-----------

ELENCO SEZIONI ASTE

Simbologia

Sez. = Numero della sezione
 Comm. = Commento
 Tipo = Tipologia
 2C = Doppia C lato labbri

2Cdx = Doppia C lato costola
 2I = Doppia I
 2L = Doppia L lato labbri
 2Ldx = Doppia L lato costole
 C = C
 Cdx = C destra
 Cir. = Circolare
 Cir.c = Circolare cava
 I = I
 L = L
 Ldx = L destra
 Om. = Omega
 Pg = Pi greco
 Pr = Poligono regolare
 Prc = Poligono regolare cavo
 Pc = Per coordinate
 Ia = Inerzie assegnate
 R = Rettangolare
 Rc = Rettangolare cava
 T = T
 U = U
 Ur = U rovescia
 V = V
 Vr = V rovescia
 Z = Z
 Zdx = Z destra
 Ts = T stondata
 Ls = L stondata
 Cs = C stondata
 Is = I stondata
 Dis. = Disegnata
 Me = Membratura
 G = Generica
 T = Trave
 P = Pilastro
 Ver. = Verifica prevista
 N = Nessuna
 C = Cemento armato
 A = Acciaio
 L = Legno
 B = Base
 H = Altezza
 s = Spessore ala
 a = Spessore anima
 r = Raggio raccordo anima-ala
 r1 = Raggio in testa ala
 % = Pendenza ala
 Ma = Numero del materiale
 C = Numero del criterio di progetto

Sez.	Comm.	Tipo	Me	Ver.	B	H	s	a	r	r1	%	Ma	C	
					<cm>	<cm>	<cm>	<cm>	<cm>	<cm>	<cm>			
2	UNP	200	Cs	G	A	7.50	20.00	1.15	0.85	1.15	0.60	8.00	2	1

ELENCO VINCOLI ASTE

Simbologia

Va = Numero del vincolo asta
 Comm. = Commento
 Tipo = Tipologia
 SVI = Definizione di vincolamenti interni
 ELA = Vincolo su suolo elastico alla Winkler
 BIE-RTC = Biella resistente a trazione e a compressione
 BIE-RC = Biella resistente solo a compressione
 BIE-RT = Biella resistente solo a trazione
 Ni = Sforzo normale nodo iniziale (0=sbloccato, 1=bloccato)
 Tyi = Taglio in dir. Y locale nodo iniziale (0=sbloccato, 1=bloccato)
 Tzi = Taglio in dir. Z locale nodo iniziale (0=sbloccato, 1=bloccato)
 Mxi = Momento intorno all'asse X locale nodo iniziale (0=sbloccato, 1=bloccato)
 Myi = Momento intorno all'asse Y locale nodo iniziale (0=sbloccato, 1=bloccato)
 Mzi = Momento intorno all'asse Z locale nodo iniziale (0=sbloccato, 1=bloccato)
 Nf = Sforzo normale nodo finale (0=sbloccato, 1=bloccato)

Tyf = Taglio in dir. Y locale nodo finale (0=sbloccato, 1=bloccato)
 Tzf = Taglio in dir. Z locale nodo finale (0=sbloccato, 1=bloccato)
 Mxf = Momento intorno all'asse X locale nodo finale (0=sbloccato, 1=bloccato)
 Myf = Momento intorno all'asse Y locale nodo finale (0=sbloccato, 1=bloccato)
 Mzf = Momento intorno all'asse Z locale nodo finale (0=sbloccato, 1=bloccato)
 Kt = Coeff. di sotterraneo su suolo elastico alla Winkler

Va	Comm.	Tipo	Ni	Tyi	Tzi	Mxi	Myi	Mzi	Nf	Tyf	Tzf	Mxf	Myf	Mzf	Kt
															<kg/cmc>
1	Inc+Inc	SVI	1	1	1	1	1	1	1	1	1	1	1	1	1

ELENCO ASTE Simbologia

Asta = Numero dell'asta
 N1 = Nodo iniziale
 N2 = Nodo finale
 Sez. = Numero della sezione
 Va = Numero del vincolo asta
 Par. = Numero dei parametri aggiuntivi
 Rot. = Rotazione
 FF = Filo fisso
 Dy1 = Scost. filo fisso Y1
 Dy2 = Scost. filo fisso Y2
 Dz1 = Scost. filo fisso Z1
 Dz2 = Scost. filo fisso Z2

Asta	N1	N2	Sez.	Va	Par.	Rot.	FF	Dy1	Dy2	Dz1	Dz2	
							<grad>	<cm>	<cm>	<cm>	<cm>	
201	16	15		2	1		0.00	55	0.00	0.00	0.00	0.00
202	17	18		2	1		0.00	55	0.00	0.00	0.00	0.00
203	16	18		2	1		0.00	55	0.00	0.00	0.00	0.00
204	1	3		2	1		0.00	55	0.00	0.00	0.00	0.00
205	13	16		2	1		0.00	55	0.00	0.00	0.00	0.00
205	11	13		2	1		0.00	55	0.00	0.00	0.00	0.00
205	9	11		2	1		0.00	55	0.00	0.00	0.00	0.00
205	7	9		2	1		0.00	55	0.00	0.00	0.00	0.00
205	5	7		2	1		0.00	55	0.00	0.00	0.00	0.00
206	18	14		2	1		0.00	55	0.00	0.00	0.00	0.00
206	14	12		2	1		0.00	55	0.00	0.00	0.00	0.00
206	12	10		2	1		0.00	55	0.00	0.00	0.00	0.00
206	10	8		2	1		0.00	55	0.00	0.00	0.00	0.00
206	8	6		2	1		0.00	55	0.00	0.00	0.00	0.00
209	1	5		2	1		0.00	55	0.00	0.00	0.00	0.00
210	6	3		2	1		0.00	55	0.00	0.00	0.00	0.00
213	2	1		2	1		0.00	55	0.00	0.00	0.00	0.00
214	3	4		2	1		0.00	55	0.00	0.00	0.00	0.00

CONDIZIONI DI CARICO ELEMENTARI: Simbologia

CCE = Numero della condizione di carico elementare
 Comm. = Commento
 S = Coeff. di riduzione
 Mx = Moltiplicatore della massa in dir. X
 My = Moltiplicatore della massa in dir. Y
 Mz = Moltiplicatore della massa in dir. Z
 Jpx = Moltiplicatore del momento d'inerzia intorno all'asse X
 Jpy = Moltiplicatore del momento d'inerzia intorno all'asse Y
 Jpz = Moltiplicatore del momento d'inerzia intorno all'asse Z

CCE	Comm.	s	Mx	My	Mz	Jpx	Jpy	Jpz
1	Peso Proprio	1.00	1.00	1.00	0.00	0.00	0.00	1.00
2	Sovraccarico gradini 510 Kg a gradino	1.00	1.00	1.00	0.00	0.00	0.00	1.00
3	Sovraccarico 500 Kg/mq su pianerottolo	1.00	1.00	1.00	0.00	0.00	0.00	1.00

ELENCO CARICHI NODI CONDIZIONE DI CARICO 2: Sovraccarico gradini 510 Kg a gradino CARICHI CONCENTRATI Simbologia

Nodo = Numero del nodo
 Px = Componente X della forza applicata
 Py = Componente Y della forza applicata
 Pz = Componente Z della forza applicata
 Mx = Momento intorno all'asse X
 My = Momento intorno all'asse Y
 Mz = Momento intorno all'asse Z

Nodo	Px <kg>	Py <kg>	Pz <kg>	Mx <kgm>	My <kgm>	Mz <kgm>	Nodo	Px <kg>	Py <kg>	Pz <kg>	Mx <kgm>	My <kgm>	Mz <kgm>
5	0.00	0.00	255.00	0.00	0.00	0.00	6	0.00	0.00	255.00	0.00	0.00	0.00
7	0.00	0.00	255.00	0.00	0.00	0.00	8	0.00	0.00	255.00	0.00	0.00	0.00
9	0.00	0.00	255.00	0.00	0.00	0.00	10	0.00	0.00	255.00	0.00	0.00	0.00
11	0.00	0.00	255.00	0.00	0.00	0.00	12	0.00	0.00	255.00	0.00	0.00	0.00
13	0.00	0.00	255.00	0.00	0.00	0.00	14	0.00	0.00	255.00	0.00	0.00	0.00

ELENCO CARICHI ASTE
 CONDIZIONE DI CARICO 1: Peso Proprio
 CARICHI DISTRIBUITI

Simbologia

Asta = Numero dell'asta
 N1 = Nodo iniziale
 N2 = Nodo finale
 S = Numero del solaio di provenienza
 T = Tipo di carico
 QA = Carico accidentale da solaio
 QP = Carico permanente da solaio
 PP = Peso proprio
 M = Manuale
 DC = Direzione del carico
 XG,YG,ZG = secondo gli assi Globali
 XL,YL,ZL = secondo gli assi Locali
 Xi = Distanza iniziale
 Qi = Carico iniziale
 Xf = Distanza finale
 Qf = Carico finale

Asta	N1	N2	S	T	DC	Xi	Qi <m>	Xf <m>	Qf <kg/m>	Asta	N1	N2	S	T	DC	Xi	Qi <m>	Xf <m>	Qf <kg/m>
201	16	15	--	PP	ZG	0.00	25.27	1.27	25.27	202	17	18	--	PP	ZG	0.00	25.27	1.27	25.27
203	16	18	--	PP	ZG	0.00	25.27	1.20	25.27	204	1	3	--	PP	ZG	0.00	25.27	1.20	25.27
205	13	16	--	PP	ZG	0.00	25.27	0.20	25.27	205	11	13	--	PP	ZG	0.00	25.27	0.35	25.27
205	9	11	--	PP	ZG	0.00	25.27	0.35	25.27	205	7	9	--	PP	ZG	0.00	25.27	0.35	25.27
205	5	7	--	PP	ZG	0.00	25.27	0.35	25.27	206	18	14	--	PP	ZG	0.00	25.27	0.20	25.27
206	14	12	--	PP	ZG	0.00	25.27	0.35	25.27	206	12	10	--	PP	ZG	0.00	25.27	0.35	25.27
206	10	8	--	PP	ZG	0.00	25.27	0.35	25.27	206	8	6	--	PP	ZG	0.00	25.27	0.35	25.27
209	1	5	--	PP	ZG	0.00	25.27	0.25	25.27	210	6	3	--	PP	ZG	0.00	25.27	0.25	25.27
213	2	1	--	PP	ZG	0.00	25.27	1.61	25.27	214	3	4	--	PP	ZG	0.00	25.27	1.61	25.27

ELENCO CARICHI ASTE
 CONDIZIONE DI CARICO 3: Sovraccarico 500 Kg/mq su pianerottolo
 CARICHI DISTRIBUITI

Asta	N1	N2	S	T	DC	Xi	Qi <m>	Xf <m>	Qf <kg/m>	Asta	N1	N2	S	T	DC	Xi	Qi <m>	Xf <m>	Qf <kg/m>
201	16	15	--	M	ZG	0.00	600.00	1.27	600.00	202	17	18	--	M	ZG	0.00	600.00	1.27	600.00
213	2	1	--	M	ZG	0.00	600.00	1.61	600.00	214	3	4	--	M	ZG	0.00	600.00	1.61	600.00

PARAMETRI DI CALCOLO

La modellazione della struttura e la rielaborazione dei risultati del calcolo sono stati effettuati con:
 ModeSt ver. 7.11, prodotto da Tecnisoft s.a.s. - Prato

La struttura è stata calcolata utilizzando come solutore agli elementi finiti:
 SAP2000 ver. 100.0, prodotto da Computers & Structures Inc. - Berkeley, CA

Tipo di normativa: tensioni ammissibili

Tipo di Calcolo: calcolo statico

Schematizzazione piani rigidi: nessun impalcato rigido

Modalità di recupero masse secondarie: mantenere sul nodo masse e forze relative

Opzioni di calcolo: - Sono state considerate infinitamente rigide le zone di connessione fra travi, pilastri ed elementi bidimensionali con una riduzione del 20%

- Calcolo con offset rigidi dai nodi: no
- Uniformare i carichi variabili: no
- Massimizzare i carichi variabili: no
- Minimo carico da considerare: 0 <kg/m>
- Recupero carichi zone rigide: taglio e momento flettente
- Modalità di combinazione momento torcente: disaccoppiare le azioni

Opzioni del solutore:

- Chiudere SAP2000 al termine del calcolo: Si
- Lunghezza max elementi trave su suolo elastico: 0.3
- Numero min. di conci per trave su suolo elastico: 3
- Usare bidimensionali con deformabilità a taglio: No
- Intervento manuale in SAP2000: No

CONDIZIONI DI CARICO ELEMENTARI:

Simbologia

CCE = Numero della condizione di carico elementare

Comm. = Commento

s = Coeff. di riduzione

Mx = Moltiplicatore della massa in dir. X

My = Moltiplicatore della massa in dir. Y

Mz = Moltiplicatore della massa in dir. Z

Jpx = Moltiplicatore del momento d'inerzia intorno all'asse X

Jpy = Moltiplicatore del momento d'inerzia intorno all'asse Y

Jpz = Moltiplicatore del momento d'inerzia intorno all'asse Z

CCE	Comm.	s	Mx	My	Mz	Jpx	Jpy	Jpz
1	Peso Proprio		1.00	1.00	1.00	0.00	0.00	0.00
2	Sovraccarico gradini 510 Kg a gradino		1.00	1.00	1.00	0.00	0.00	0.00
3	Sovraccarico 500 Kg/mq su pianerottolo		1.00	1.00	1.00	0.00	0.00	0.00

COMBINAZIONI DELLE CCE:

Simbologia

CC = Numero della combinazione delle condizioni di carico elementari

Comm. = Commento

An. = Tipo di analisi

L = Lineare

NL = Non lineare

Bk = Buckling

S = Si

N = No

CC	Comm.	An.	Bk	1	2	3
1	Combinazione CCE	L	N	1.00	1.00	1.00

ELENCO MASSE NODI:

Simbologia

Nodo = Numero del nodo

Mo = Massa orizzontale

Nodo	Mo	Nodo	Mo	Nodo										
<KG>		<KG>		<KG>										
<KG>		<KG>		<KG>		<KG>		<KG>		<KG>		<KG>		<KG>
-----	-----	-----	-----	-----	-----	-----	-----	-----	-----	-----	-----	-----	-----	-----
1 53.11		3 53.11		5 26.77		6 26.77		7 26.89		8 26.89		9 26.89		10
26.89														
11 26.89		12 26.89		13 26.70		14 26.70		16 42.38		18 42.38				

SPOSTAMENTI NODALI ALLE TA:

Simbologia

Nodo = Numero del nodo
 Sx = Spostamento in dir. X
 CC = Numero della combinazione delle condizioni di carico elementari
 Sy = Spostamento in dir. Y
 Sz = Spostamento in dir. Z
 Rx = Rotazione intorno all'asse X
 Ry = Rotazione intorno all'asse Y
 Rz = Rotazione intorno all'asse Z

Nodo	Sx	CC	Sy	CC	Sz	CC	Rx	CC	Ry	CC	Rz	CC
	<cm>	<cm>	<cm>	<cm>	<cm>	<cm>	<rad>	<rad>	<rad>	<rad>	<rad>	<rad>
1 Max	0.00	1	0.00	1	-0.19	1	0.0000	1	-0.0011	1	0.0000	1
1 Min.	0.00	1	0.00	1	-0.19	1	0.0000	1	-0.0011	1	0.0000	1
3 Max	0.00	1	0.00	1	-0.19	1	0.0000	1	-0.0011	1	0.0000	1
3 Min.	0.00	1	0.00	1	-0.19	1	0.0000	1	-0.0011	1	0.0000	1
5 Max	-0.02	1	0.00	1	-0.19	1	0.0000	1	0.0000	1	0.0000	1
5 Min.	-0.02	1	0.00	1	-0.19	1	0.0000	1	0.0000	1	0.0000	1
6 Max	-0.02	1	0.00	1	-0.19	1	0.0000	1	0.0000	1	0.0000	1
6 Min.	-0.02	1	0.00	1	-0.19	1	0.0000	1	0.0000	1	0.0000	1
7 Max	-0.03	1	0.00	1	-0.21	1	0.0000	1	0.0000	1	0.0000	1
7 Min.	-0.03	1	0.00	1	-0.21	1	0.0000	1	0.0000	1	0.0000	1
8 Max	-0.03	1	0.00	1	-0.21	1	0.0000	1	0.0000	1	0.0000	1
8 Min.	-0.03	1	0.00	1	-0.21	1	0.0000	1	0.0000	1	0.0000	1
9 Max	-0.04	1	0.00	1	-0.21	1	0.0000	1	0.0000	1	0.0000	1
9 Min.	-0.04	1	0.00	1	-0.21	1	0.0000	1	0.0000	1	0.0000	1
10 Max	-0.04	1	0.00	1	-0.21	1	0.0000	1	0.0000	1	0.0000	1
10 Min.	-0.04	1	0.00	1	-0.21	1	0.0000	1	0.0000	1	0.0000	1
11 Max	-0.03	1	0.00	1	-0.20	1	0.0000	1	0.0000	1	0.0000	1
11 Min.	-0.03	1	0.00	1	-0.20	1	0.0000	1	0.0000	1	0.0000	1
12 Max	-0.03	1	0.00	1	-0.20	1	0.0000	1	0.0000	1	0.0000	1
12 Min.	-0.03	1	0.00	1	-0.20	1	0.0000	1	0.0000	1	0.0000	1
13 Max	-0.01	1	0.00	1	-0.17	1	0.0000	1	0.0011	1	0.0000	1
13 Min.	-0.01	1	0.00	1	-0.17	1	0.0000	1	0.0011	1	0.0000	1
14 Max	-0.01	1	0.00	1	-0.17	1	0.0000	1	0.0011	1	0.0000	1
14 Min.	-0.01	1	0.00	1	-0.17	1	0.0000	1	0.0011	1	0.0000	1
16 Max	0.00	1	0.00	1	-0.15	1	0.0000	1	0.0013	1	0.0000	1
16 Min.	0.00	1	0.00	1	-0.15	1	0.0000	1	0.0013	1	0.0000	1
18 Max	0.00	1	0.00	1	-0.15	1	0.0000	1	0.0013	1	0.0000	1
18 Min.	0.00	1	0.00	1	-0.15	1	0.0000	1	0.0013	1	0.0000	1

REAZIONI VINCOLARI

Simbologia

Nodo = Numero del nodo
 Rx = Reazione vincolare (forza) in dir. X
 CC = Numero della combinazione delle condizioni di carico elementari
 Ry = Reazione vincolare (forza) in dir. Y
 Rz = Reazione vincolare (forza) in dir. Z
 Mx = Reazione vincolare (momento) intorno all'asse X
 My = Reazione vincolare (momento) intorno all'asse Y
 Mz = Reazione vincolare (momento) intorno all'asse Z

Nodo	Rx	CC	Ry	CC	Rz	CC	Mx	CC	My	CC	Mz	CC
	<kg>	<kg>	<kg>	<kg>	<kg>	<kg>	<kgm>	<kgm>	<kgm>	<kgm>	<kgm>	<kgm>
2 Max	202.25	1	-0.01	1	1513.73	1	2.69E-003	1	1217.01	1	0.01	1
2 Min.	202.25	1	-0.01	1	1513.73	1	2.69E-003	1	1217.01	1	0.01	1
4 Max	202.25	1	0.01	1	1513.73	1	-2.69E-003	1	1217.01	1	-0.01	1
4 Min.	202.25	1	0.01	1	1513.73	1	-2.69E-003	1	1217.01	1	-0.01	1
15 Max	-202.25	1	0.09	1	1639.62	1	3.37E-003	1	-1283.16	1	0.04	1
15 Min.	-202.25	1	0.09	1	1639.62	1	3.37E-003	1	-1283.16	1	0.04	1
17 Max	-202.25	1	-0.09	1	1639.62	1	-3.37E-003	1	-1283.16	1	-0.04	1
17 Min.	-202.25	1	-0.09	1	1639.62	1	-3.37E-003	1	-1283.16	1	-0.04	1

SOLLECITAZIONI ASTE

Simbologia

Asta = Numero dell'asta
 N1 = Nodo1
 N2 = Nodo2

X = Coordinata progressiva rispetto al nodo iniziale
 N = Sforzo normale
 CC = Numero della combinazione delle condizioni di carico elementari
 Ty = Taglio in dir. Y
 Mz = Momento flettente intorno all'asse Z
 Tz = Taglio in dir. Z
 My = Momento flettente intorno all'asse Y
 Mx = Momento torcente intorno all'asse X

Asta	N1	N2	X <cm>	N <kg>	CC	Ty <kg>	CC	Mz <kgm>	CC	Tz <kg>	CC	My <kgm>	CC	Mx <kgm>	CC	
<hr/>																
201	16	15	Max	0.00	202.25	1	0.09	1	-0.08	1	-843.65	1	297.45	1	-0.00	1
201	16	15	Max	127.30	202.25	1	0.09	1	0.04	1	-1639.61	1	-1283.15	1	-0.00	1
201	16	15	Min.	0.00	202.25	1	0.09	1	-0.08	1	-843.65	1	297.45	1	-0.00	1
201	16	15	Min.	127.30	202.25	1	0.09	1	0.04	1	-1639.61	1	-1283.15	1	-0.00	1
202	17	18	Max	0.00	202.25	1	-0.09	1	0.04	1	1639.62	1	-1283.16	1	0.00	1
202	17	18	Max	127.30	202.25	1	-0.09	1	-0.08	1	843.66	1	297.45	1	0.00	1
202	17	18	Min.	0.00	202.25	1	-0.09	1	0.04	1	1639.62	1	-1283.16	1	0.00	1
202	17	18	Min.	127.30	202.25	1	-0.09	1	-0.08	1	843.66	1	297.45	1	0.00	1
203	16	18	Max	0.00	-0.19	1	0.00	1	-0.04	1	15.16	1	-0.07	1	0.00	1
203	16	18	Max	60.00					-0.04	1			4.48	1		
203	16	18	Max	120.00	-0.19	1	0.00	1	-0.04	1	-15.16	1	-0.07	1	0.00	1
203	16	18	Min.	0.00	-0.19	1	0.00	1	-0.04	1	15.16	1	-0.07	1	0.00	1
203	16	18	Min.	60.00					-0.04	1			4.48	1		
203	16	18	Min.	120.00	-0.19	1	0.00	1	-0.04	1	-15.16	1	-0.07	1	0.00	1
204	1	3	Max	0.00	0.12	1	0.00	1	-0.01	1	15.16	1	-0.04	1	0.00	1
204	1	3	Max	60.00					-0.01	1			4.51	1		
204	1	3	Max	120.00	0.12	1	0.00	1	-0.01	1	-15.16	1	-0.04	1	0.00	1
204	1	3	Min.	0.00	0.12	1	0.00	1	-0.01	1	15.16	1	-0.04	1	0.00	1
204	1	3	Min.	60.00					-0.01	1			4.51	1		
204	1	3	Min.	120.00	0.12	1	0.00	1	-0.01	1	-15.16	1	-0.04	1	0.00	1
205	13	16	Max	0.00	588.91	1	-0.10	1	-0.12	1	-609.88	1	422.80	1	-0.00	1
205	13	16	Max	20.48	591.51	1	-0.10	1	-0.14	1	-614.35	1	297.45	1	-0.00	1
205	13	16	Min.	0.00	588.91	1	-0.10	1	-0.12	1	-609.88	1	422.80	1	-0.00	1
205	13	16	Min.	20.48	591.51	1	-0.10	1	-0.14	1	-614.35	1	297.45	1	-0.00	1
205	11	13	Max	0.00	456.65	1	-0.10	1	-0.08	1	-381.41	1	556.58	1	-0.00	1
205	11	13	Max	34.73	461.07	1	-0.10	1	-0.12	1	-388.99	1	422.80	1	-0.00	1
205	11	13	Min.	0.00	456.65	1	-0.10	1	-0.08	1	-381.41	1	556.58	1	-0.00	1
205	11	13	Min.	34.73	461.07	1	-0.10	1	-0.12	1	-388.99	1	422.80	1	-0.00	1
205	9	11	Max	0.00	323.74	1	-0.10	1	-0.05	1	-153.57	1	611.25	1	-0.00	1
205	9	11	Max	34.73	328.16	1	-0.10	1	-0.08	1	-161.15	1	556.60	1	-0.00	1
205	9	11	Min.	0.00	323.74	1	-0.10	1	-0.05	1	-153.57	1	611.25	1	-0.00	1
205	9	11	Min.	34.73	328.16	1	-0.10	1	-0.08	1	-161.15	1	556.60	1	-0.00	1
205	7	9	Max	0.00	190.84	1	-0.10	1	-0.01	1	74.27	1	586.76	1	-0.00	1
205	7	9	Max	34.73	195.26	1	-0.10	1	-0.05	1	66.69	1	611.24	1	-0.00	1
205	7	9	Min.	0.00	190.84	1	-0.10	1	-0.01	1	74.27	1	586.76	1	-0.00	1
205	7	9	Min.	34.73	195.26	1	-0.10	1	-0.05	1	66.69	1	611.24	1	-0.00	1
205	5	7	Max	0.00	57.93	1	-0.10	1	0.02	1	302.12	1	483.15	1	-0.00	1
205	5	7	Max	34.73	62.35	1	-0.10	1	-0.01	1	294.54	1	586.76	1	-0.00	1
205	5	7	Min.	0.00	57.93	1	-0.10	1	0.02	1	302.12	1	483.15	1	-0.00	1
205	5	7	Min.	34.73	62.35	1	-0.10	1	-0.01	1	294.54	1	586.76	1	-0.00	1
206	18	14	Max	0.00	591.52	1	0.10	1	-0.14	1	614.36	1	297.45	1	0.00	1
206	18	14	Max	20.48	588.92	1	0.10	1	-0.12	1	609.89	1	422.81	1	0.00	1
206	18	14	Min.	0.00	591.52	1	0.10	1	-0.14	1	614.36	1	297.45	1	0.00	1
206	18	14	Min.	20.48	588.92	1	0.10	1	-0.12	1	609.89	1	422.81	1	0.00	1
206	14	12	Max	0.00	461.07	1	0.10	1	-0.12	1	388.99	1	422.80	1	0.00	1
206	14	12	Max	34.73	456.65	1	0.10	1	-0.09	1	381.41	1	556.58	1	0.00	1
206	14	12	Min.	0.00	461.07	1	0.10	1	-0.12	1	388.99	1	422.80	1	0.00	1
206	14	12	Min.	34.73	456.65	1	0.10	1	-0.09	1	381.41	1	556.58	1	0.00	1
206	12	10	Max	0.00	328.16	1	0.10	1	-0.08	1	161.15	1	556.58	1	0.00	1
206	12	10	Max	34.73	323.74	1	0.10	1	-0.05	1	153.57	1	611.23	1	0.00	1
206	12	10	Min.	0.00	328.16	1	0.10	1	-0.08	1	161.15	1	556.58	1	0.00	1
206	12	10	Min.	34.73	323.74	1	0.10	1	-0.05	1	153.57	1	611.23	1	0.00	1
206	10	8	Max	0.00	195.26	1	0.10	1	-0.05	1	-66.69	1	611.25	1	0.00	1
206	10	8	Max	34.73	190.84	1	0.10	1	-0.01	1	-74.27	1	586.77	1	0.00	1
206	10	8	Min.	0.00	195.26	1	0.10	1	-0.05	1	-66.69	1	611.25	1	0.00	1
206	10	8	Min.	34.73	190.84	1	0.10	1	-0.01	1	-74.27	1	586.77	1	0.00	1
206	8	6	Max	0.00	62.35	1	0.10	1	-0.01	1	-294.54	1	586.76	1	0.00	1
206	8	6	Max	34.73	57.93	1	0.10	1	0.02	1	-302.12	1	483.15	1	0.00	1
206	8	6	Min.	0.00	62.35	1	0.10	1	-0.01	1	-294.54	1	586.76	1	0.00	1
206	8	6	Min.	34.73	57.93	1	0.10	1	0.02	1	-302.12	1	483.15	1	0.00	1
209	1	5	Max	0.00	-443.20	1	-0.10	1	0.04	1	296.08	1	408.69	1	0.02	1

209	1	5	Max	25.20	-436.96	1	-0.10	1	0.02	1	294.82	1	483.15	1	0.02	1
209	1	5	Min.	0.00	-443.20	1	-0.10	1	0.04	1	296.08	1	408.69	1	0.02	1
209	1	5	Min.	25.20	-436.96	1	-0.10	1	0.02	1	294.82	1	483.15	1	0.02	1
210	6	3	Max	0.00	-436.96	1	0.10	1	0.02	1	-294.81	1	483.15	1	-0.02	1
210	6	3	Max	25.20	-443.20	1	0.10	1	0.04	1	-296.07	1	408.70	1	-0.02	1
210	6	3	Min.	0.00	-436.96	1	0.10	1	0.02	1	-294.81	1	483.15	1	-0.02	1
210	6	3	Min.	25.20	-443.20	1	0.10	1	0.04	1	-296.07	1	408.70	1	-0.02	1
213	2	1	Max	0.00	202.25	1	0.01	1	-0.01	1	1513.73	1	-1217.01	1	0.00	1
213	2	1	Max	160.80	202.25	1	0.01	1	0.02	1	508.30	1	408.70	1	0.00	1
213	2	1	Min.	0.00	202.25	1	0.01	1	-0.01	1	1513.73	1	-1217.01	1	0.00	1
213	2	1	Min.	160.80	202.25	1	0.01	1	0.02	1	508.30	1	408.70	1	0.00	1
214	3	4	Max	0.00	202.25	1	-0.01	1	0.02	1	-508.31	1	408.69	1	-0.00	1
214	3	4	Max	160.80	202.25	1	-0.01	1	-0.01	1	-1513.74	1	-1217.04	1	-0.00	1
214	3	4	Min.	0.00	202.25	1	-0.01	1	0.02	1	-508.31	1	408.69	1	-0.00	1
214	3	4	Min.	160.80	202.25	1	-0.01	1	-0.01	1	-1513.74	1	-1217.04	1	-0.00	1

ASTE IN ACCIAIO

Generali

Numero punti interni per controllo Sigma	15
Numero CC da considerare di tipo I	99
Sigma max amm. senza verifiche di stabilità <%>	2.0
Verifiche da riportare in relazione	Tutte

Specifici

Tipo di acciaio	FE360
Rapporto fra area effettiva e area nominale	1.0
Rapporto fra area netta e area nominale	1.0
Coeff. di forma intorno all'asse Y	1.0
Coeff. di forma intorno all'asse Z	1.0
Valutare la tau per torsione nei punti di spigolo	Si
Riduzione lunghezza libera d'inflessione	
-Distanza fra i nodi dell'asta	x
-Distanza ridotta delle zone rigide moltiplicate per il valore	
Verifiche di stabilità globale in dir. Y locale	Si
-Coeff. Beta intorno all'asse Y	1.0
Verifiche di stabilità globale in dir. Z locale	Si
-Coeff. Beta intorno all'asse Z	1.0
Tipo di accoppiamento aste composte	
-Separate	
-Calastrellate	
-Imbottite	
-Automatico	x
Calcolo momento medio usando valori assoluti	Si
Interasse calastrelli o imbottiture	
-Distanza pari a <m>	
-Interasse da normativa moltiplicato per il valore	0.80
-Aste rigidamente collegate	
Aste laminate	Si
Verifiche di stabilità laterale	Si
-Coeff. per calcolo interasse ritegni torsionali	1.0
Eseguire anche le verifiche al punto 7.3.2	Si
Carichi sull'estradosso	Si
Numeri irrigidimenti orizzontali anima	0
Interasse irrigidimenti verticali anima	
-Numero di suddivisioni	
-Distanza non inferiore a <cm>	
-Pari alla lunghezza dell'asta	x
Modalità di calcolo	Sigma cr,id
-Normativa	
-Massonet	
-Ballio	
Massimo numero aste costituenti unica membratura	1
Sforzo normale di verifica	
-Massimo valore fra tutte le aste	x
-Media aritmetica dei valori di tutte le aste	
-Media pesata di tutte le aste	
Contributo eventuali sforzi di trazione	No
Verifica nei piani principali	Si
Incremento snellezza	Si
Verifiche di stabilità globale in dir. Y locale	Si

-Coeff. Beta calcolato in funzione dello sforzo normale		
-Coeff. Beta	1.0	
Verifiche di stabilità globale in dir. Z locale	Si	
-Coeff. Beta calcolato in funzione dello sforzo normale		
-Coeff. Beta	1.0	

VERIFICA ASTE IN ACCIAIO
Simbologia

CARATTERISTICHE PROFILATI UTILIZZATI

Sez.	= Numero della sezione
Cod.	= Codice della sezione
Tipos	= tipo di sezione:
I	= I
L	= L
C	= C
T	= T
R	= Rettangolare
Om.	= Omega
Cir.	= Circolare
Cir.c	= Circolare cava
Rc	= Rettangolare cava
2C	= Doppia C lato labbri
2Cdx	= Doppia C lato costola
2I	= Doppia I
2L	= Doppia L lato labbri
2Ldx	= Doppia L lato costole
D	= distanza fra le sezioni
Area, Anet, Aeff	= area, area netta (per compressione), area effettiva (per trazione)
J _y , J _z , J _c , J _e	= momenti d'inerzia intorno agli assi Y, Z, Csi e Eta locali
I _y , I _z , I _c , I _e	= raggi d'inerzia intorno agli assi Y, Z, Csi e Eta locali
w _y , w _z , w _c , w _{e min}	= moduli di resistenza intorno agli assi Y, Z, Csi e Eta locali

VERIFICHE DI RESISTENZA

x _l	= Coordinata progressiva (dal nodo iniziale dell'asta) in cui viene effettuato il progetto/verifica <m>
N	= sforzo normale <kg>
M _y , M _z	= momenti flettenti intorno agli assi Y e Z <kgm>
T _y , T _z	= tagli in direzione Y e Z <kg>
M _x	= momento torcente <kgm>
M _c , M _e	= momenti flettenti intorno agli assi principali Csi e Eta <kgm>
σ _N , σ _M	= tensione per sforzo normale e per momento flettente <kg/cmq>
τ	= tensione per taglio e/o torsione <kg/cmq>
σ _{ID, max}	= tensione ideale massima <kg/cmq>

VERIFICHE DI IMBOZZAMENTO PANNELLI D'ANIMA

da, a	= coordinate (rispetto al primo nodo dell'asta) di inizio e fine pannello <cm>
a	= lunghezza del pannello (7.6.1.2) <cm>
h	= altezza del pannello (7.6.1.2) <cm>
α	= rapporto a/h (7.6.1.2)
N, M _y , T _z	= sollecitazioni di verifica (7.6.1.6) <kg> <kgm> <kg>
σ _N , σ _M	= tensione per sforzo normale e per momento flettente <kg/cmq>
σ ₁ , σ ₂	= massimo e minimo valore di tensione normale nel pannello (7.6.1.4) <kg/cmq>
τ	= tensione tangenziale per taglio nel pannello (7.6.1.5) <kg/cmq>
σ _{cr, 0}	= tensione di riferimento (7.6.2.1) <kg/cmq>
K _t	= coeff. d'imbozzamento per tensioni tangenziali
τ _{cr}	= tensione tangenziale critica (7.6.2.1) <kg/cmq>
ψ	= coeff. di variabilità tensione normale (7.6.1.4)
Kσ	= coeff. d'imbozzamento per tensioni normali
σ _{cr}	= tensione critica <kg/cmq>
σ _{cr, id}	= tensione di confronto (7.6.2.1) <kg/cmq>
σ _{cr, red}	= tensione di confronto ridotta (7.6.2.1) <kg/cmq>
f _d	= resistenza di progetto (4.1.1) <kg/cmq>
H _{anima}	= altezza totale dell'anima (equivale ad h in 7.6.2.2) <cm>
t	= spessore anima (equivale ad a in 7.6.2.2) <cm>
β	= fattore moltiplicativo del coeff. di sicurezza (7.6.2.1)
v	= coeff. di sicurezza per la CC in esame (7.1)

CARATTERISTICHE PROFILATI UTILIZZATI

Sez.	Cod.	Tipo	D	Area	Anet	Aeff	Jy	Jz	Iy	Iz	Wymin	Wzmin
			<cm>	<cmq>	<cmq>	<cmq>	<cm4>	<cm4>	<cm>	<cm>	<cmc>	<cmc>
2	UNP	200	Cs	32.19	32.19	32.19	1910.92	147.75	7.71	2.14	191.09	26.94

Asta n. 201 (16 15) UNP 200 Crit. 1

- Verifica σ_{\max} - CC 1 Xl=1.27
Sollecitazioni: N=202.25 T_z=-1639.61 M_y=-1283.15 T_y=0.09 M_z=0.04 M_x=-0.00
Tensioni: $\sigma_N=6.28$ $\sigma_M=671.63$ $\tau=0.04$ $\sigma_{\max}=677.91$
- Verifica τ_{\max} - CC 1 Xl=1.27
Sollecitazioni: N=202.25 T_z=-1639.61 M_y=-1283.15 T_y=0.09 M_z=0.04 M_x=-0.00
Tensioni: $\sigma_N=6.28$ $\sigma_M=-0.05$ $\tau=116.84$ $\tau_{\max}=116.84$
- Verifica $\sigma_{ID,\max}$ - CC 1 Xl=1.27
Sollecitazioni: N=202.25 T_z=-1639.61 M_y=-1283.15 T_y=0.09 M_z=0.04 M_x=-0.00
Tensioni: $\sigma_N=6.28$ $\sigma_M=671.63$ $\tau=0.04$ $\sigma_{ID,\max}=677.91$
- Verifica Imbozzamento pannelli (7.6.2.1) - CC 1
Sollecitazioni: N=202.25 T_z=-1639.61 M_y=-1283.15
Parametri: a=127.30 Altezza=17.70 $\alpha=7.19$ H_{anima}=17.70 t=0.85
 $\sigma_N=6.28$ $\sigma_M=594.26$ $\omega_1=-587.98$ $\omega_2=600.55$ $\tau=108.98$ $\sigma_{cr,0}=4294.09$
Sono soddisfatte le limitazioni del prospetto 7-XI: H_{anima}/t=20.82<130.00

Asta n. 202 (17 18) UNP 200 Crit. 1

- Verifica σ_{\max} - CC 1 Xl=0.00
Sollecitazioni: N=202.25 T_z=1639.62 M_y=-1283.16 T_y=-0.09 M_z=0.04 M_x=0.00
Tensioni: $\sigma_N=6.28$ $\sigma_M=671.63$ $\tau=0.04$ $\sigma_{\max}=677.92$
- Verifica τ_{\max} - CC 1 Xl=0.00
Sollecitazioni: N=202.25 T_z=1639.62 M_y=-1283.16 T_y=-0.09 M_z=0.04 M_x=0.00
Tensioni: $\sigma_N=6.28$ $\sigma_M=-0.05$ $\tau=116.85$ $\tau_{\max}=116.85$
- Verifica $\sigma_{ID,\max}$ - CC 1 Xl=0.00
Sollecitazioni: N=202.25 T_z=1639.62 M_y=-1283.16 T_y=-0.09 M_z=0.04 M_x=0.00
Tensioni: $\sigma_N=6.28$ $\sigma_M=671.63$ $\tau=0.04$ $\sigma_{ID,\max}=677.92$
- Verifica Imbozzamento pannelli (7.6.2.1) - CC 1
Sollecitazioni: N=202.25 T_z=1639.62 M_y=-1283.16
Parametri: a=127.30 Altezza=17.70 $\alpha=7.19$ H_{anima}=17.70 t=0.85
 $\sigma_N=6.28$ $\sigma_M=594.27$ $\omega_1=-587.98$ $\omega_2=600.55$ $\tau=108.98$ $\sigma_{cr,0}=4294.09$
Sono soddisfatte le limitazioni del prospetto 7-XI: H_{anima}/t=20.82<130.00

Asta n. 203 (16 18) UNP 200 Crit. 1

- Verifica σ_{\max} - CC 1 Xl=0.60
Sollecitazioni: N=-0.19 T_z=0.00 M_y=4.48 T_y=-0.00 M_z=-0.04 M_x=-0.00
Tensioni: $\sigma_N=-0.01$ $\sigma_M=-2.50$ $\tau=0.00$ $\sigma_{\max}=-2.51$
- Verifica τ_{\max} - CC 1 Xl=0.00
Sollecitazioni: N=-0.19 T_z=15.16 M_y=-0.07 T_y=-0.00 M_z=-0.04 M_x=-0.00
Tensioni: $\sigma_N=-0.01$ $\sigma_M=0.03$ $\tau=1.08$ $\tau_{\max}=1.08$
- Verifica $\sigma_{ID,\max}$ - CC 1 Xl=0.60
Sollecitazioni: N=-0.19 T_z=0.00 M_y=4.48 T_y=-0.00 M_z=-0.04 M_x=-0.00
Tensioni: $\sigma_N=-0.01$ $\sigma_M=-2.50$ $\tau=0.00$ $\sigma_{ID,\max}=2.51$
- Verifica Imbozzamento pannelli (7.6.2.1) - CC 1
Sollecitazioni: N=-0.19 T_z=15.16 M_y=4.48
Parametri: a=120.00 Altezza=17.70 $\alpha=6.78$ H_{anima}=17.70 t=0.85
 $\sigma_N=0.01$ $\sigma_M=2.07$ $\omega_1=-2.08$ $\omega_2=2.07$ $\tau=1.01$ $\sigma_{cr,0}=4294.09$

Caso II $\Psi=-0.99$ $K\sigma=23.75$ $\sigma_{cr}=101990.00$ $Kt=4.34$ $\tau_{cr}=18643.30$ $\sigma_{cr,id}=46971.10$
 Risulta $\sigma_{cr,id}>0.8*f_d$ e quindi $\sigma_{cr,id}=\sigma_{cr,red}=2349.41$
 Controllo sicurezza: $\sigma_{cr,id}/\text{sqr}(\sigma_1^2+3*\tau^2)=865.54$ $\beta*v=1.50$

Asta n. 204 (1 3) UNP 200 Crit. 1

- Verifica σ_{max} - CC 1 $Xl=0.60$
 Sollecitazioni: $N=0.12$ $T_z=0.00$ $M_y=4.51$ $T_y=-0.00$ $M_z=-0.01$ $M_x=0.00$
 Tensioni: $\sigma_N=0.00$ $\sigma_M=-2.40$ $\tau=0.00$ $\sigma_{max}=-2.39$
- Verifica τ_{max} - CC 1 $Xl=0.00$
 Sollecitazioni: $N=0.12$ $T_z=15.16$ $M_y=-0.04$ $T_y=-0.00$ $M_z=-0.01$ $M_x=0.00$
 Tensioni: $\sigma_N=0.00$ $\sigma_M=0.01$ $\tau=1.08$ $\tau_{max}=1.08$
- Verifica $\sigma_{ID,max}$ - CC 1 $Xl=0.60$
 Sollecitazioni: $N=0.12$ $T_z=0.00$ $M_y=4.51$ $T_y=-0.00$ $M_z=-0.01$ $M_x=0.00$
 Tensioni: $\sigma_N=0.00$ $\sigma_M=-2.40$ $\tau=0.00$ $\sigma_{ID,max}=2.39$
- Verifica Imbozzamento pannelli (7.6.2.1) - CC 1
 Sollecitazioni: $N=0.12$ $T_z=15.16$ $M_y=4.51$
 Parametri: $a=120.00$ Altezza=17.70 $\alpha=6.78$ $H_{anima}=17.70$ $t=0.85$
 $\sigma_N=0.00$ $\sigma_M=2.09$ $\omega_1=-2.08$ $\omega_2=2.09$ $\tau=1.01$ $\sigma_{cr,0}=4294.09$
 Sono soddisfatte le limitazioni del prospetto 7-XI: $H_{anima}/t=20.82<130.00$

Asta n. 205 (13 16) UNP 200 Crit. 1

- Verifica σ_{max} - CC 1 $Xl=0.00$
 Sollecitazioni: $N=588.91$ $T_z=-609.88$ $M_y=422.80$ $T_y=-0.10$ $M_z=-0.12$ $M_x=-0.00$
 Tensioni: $\sigma_N=18.30$ $\sigma_M=221.42$ $\tau=0.01$ $\sigma_{max}=239.72$
- Verifica τ_{max} - CC 1 $Xl=0.20$
 Sollecitazioni: $N=591.51$ $T_z=-614.35$ $M_y=297.45$ $T_y=-0.10$ $M_z=-0.14$ $M_x=-0.00$
 Tensioni: $\sigma_N=18.38$ $\sigma_M=0.19$ $\tau=43.78$ $\tau_{max}=43.78$
- Verifica $\sigma_{ID,max}$ - CC 1 $Xl=0.00$
 Sollecitazioni: $N=588.91$ $T_z=-609.88$ $M_y=422.80$ $T_y=-0.10$ $M_z=-0.12$ $M_x=-0.00$
 Tensioni: $\sigma_N=18.30$ $\sigma_M=221.42$ $\tau=0.01$ $\sigma_{ID,max}=239.72$
- Verifica Imbozzamento pannelli (7.6.2.1) - CC 1
 Sollecitazioni: $N=591.51$ $T_z=-614.35$ $M_y=422.80$
 Parametri: $a=20.48$ Altezza=17.70 $\alpha=1.16$ $H_{anima}=17.70$ $t=0.85$
 $\sigma_N=18.38$ $\sigma_M=195.81$ $\omega_1=-177.43$ $\omega_2=214.19$ $\tau=40.83$ $\sigma_{cr,0}=4294.09$
 Sono soddisfatte le limitazioni del prospetto 7-XI: $H_{anima}/t=20.82<170.00$

Asta n. 205 (11 13) UNP 200 Crit. 1

- Verifica σ_{max} - CC 1 $Xl=0.00$
 Sollecitazioni: $N=456.65$ $T_z=-381.41$ $M_y=556.58$ $T_y=-0.10$ $M_z=-0.08$ $M_x=-0.00$
 Tensioni: $\sigma_N=14.19$ $\sigma_M=291.38$ $\tau=0.01$ $\sigma_{max}=305.56$
- Verifica τ_{max} - CC 1 $Xl=0.35$
 Sollecitazioni: $N=461.07$ $T_z=-388.99$ $M_y=422.80$ $T_y=-0.10$ $M_z=-0.12$ $M_x=-0.00$
 Tensioni: $\sigma_N=14.33$ $\sigma_M=0.16$ $\tau=27.73$ $\tau_{max}=27.73$
- Verifica $\sigma_{ID,max}$ - CC 1 $Xl=0.00$
 Sollecitazioni: $N=456.65$ $T_z=-381.41$ $M_y=556.58$ $T_y=-0.10$ $M_z=-0.08$ $M_x=-0.00$
 Tensioni: $\sigma_N=14.19$ $\sigma_M=291.38$ $\tau=0.01$ $\sigma_{ID,max}=305.56$
- Verifica Imbozzamento pannelli (7.6.2.1) - CC 1
 Sollecitazioni: $N=461.07$ $T_z=-388.99$ $M_y=556.58$
 Parametri: $a=34.73$ Altezza=17.70 $\alpha=1.96$ $H_{anima}=17.70$ $t=0.85$
 $\sigma_N=14.33$ $\sigma_M=257.77$ $\omega_1=-243.44$ $\omega_2=272.09$ $\tau=25.86$ $\sigma_{cr,0}=4294.09$
 Sono soddisfatte le limitazioni del prospetto 7-XI: $H_{anima}/t=20.82<130.00$

Asta n. 205 (9 11) UNP 200 Crit. 1

-
- Verifica σ_{\max} - CC 1 Xl=0.00
 Sollecitazioni: N=323.74 T_z=-153.57 M_y=611.25 T_y=-0.10 M_z=-0.05 M_x=-0.00
 Tensioni: $\sigma_N=10.06$ $\sigma_M=319.94$ $\tau=0.01$ $\sigma_{\max}=330.00$
 - Verifica τ_{\max} - CC 1 Xl=0.35
 Sollecitazioni: N=328.16 T_z=-161.15 M_y=556.60 T_y=-0.10 M_z=-0.08 M_x=-0.00
 Tensioni: $\sigma_N=10.20$ $\sigma_M=0.11$ $\tau=11.49$ $\tau_{\max}=11.49$
 - Verifica $\sigma_{ID,\max}$ - CC 1 Xl=0.00
 Sollecitazioni: N=323.74 T_z=-153.57 M_y=611.25 T_y=-0.10 M_z=-0.05 M_x=-0.00
 Tensioni: $\sigma_N=10.06$ $\sigma_M=319.94$ $\tau=0.01$ $\sigma_{ID,\max}=330.00$
 - Verifica Imbozzamento pannelli (7.6.2.1) - CC 1
 Sollecitazioni: N=328.16 T_z=-161.15 M_y=611.25
 Parametri: a=34.73 Altezza=17.70 $\alpha=1.96$ H_{anima}=17.70 t=0.85
 $\sigma_N=10.20$ $\sigma_M=283.09$ $\omega_1=-272.89$ $\omega_2=293.28$ $\tau=10.71$ $\sigma_{cr,0}=4294.09$
 Sono soddisfatte le limitazioni del prospetto 7-XI: H_{anima}/t=20.82<130.00

Asta n. 205 (7 9) UNP 200 Crit. 1

-
- Verifica σ_{\max} - CC 1 Xl=0.35
 Sollecitazioni: N=195.26 T_z=66.69 M_y=611.24 T_y=-0.10 M_z=-0.05 M_x=-0.00
 Tensioni: $\sigma_N=6.07$ $\sigma_M=319.93$ $\tau=0.01$ $\sigma_{\max}=326.00$
 - Verifica τ_{\max} - CC 1 Xl=0.00
 Sollecitazioni: N=190.84 T_z=74.27 M_y=586.76 T_y=-0.10 M_z=-0.01 M_x=-0.00
 Tensioni: $\sigma_N=5.93$ $\sigma_M=0.01$ $\tau=5.30$ $\tau_{\max}=5.30$
 - Verifica $\sigma_{ID,\max}$ - CC 1 Xl=0.35
 Sollecitazioni: N=195.26 T_z=66.69 M_y=611.24 T_y=-0.10 M_z=-0.05 M_x=-0.00
 Tensioni: $\sigma_N=6.07$ $\sigma_M=319.93$ $\tau=0.01$ $\sigma_{ID,\max}=326.00$
 - Verifica Imbozzamento pannelli (7.6.2.1) - CC 1
 Sollecitazioni: N=195.26 T_z=74.27 M_y=611.24
 Parametri: a=34.73 Altezza=17.70 $\alpha=1.96$ H_{anima}=17.70 t=0.85
 $\sigma_N=6.07$ $\sigma_M=283.08$ $\omega_1=-277.01$ $\omega_2=289.15$ $\tau=4.94$ $\sigma_{cr,0}=4294.09$
 Sono soddisfatte le limitazioni del prospetto 7-XI: H_{anima}/t=20.82<130.00

Asta n. 205 (5 7) UNP 200 Crit. 1

-
- Verifica σ_{\max} - CC 1 Xl=0.35
 Sollecitazioni: N=62.35 T_z=294.54 M_y=586.76 T_y=-0.10 M_z=-0.01 M_x=-0.00
 Tensioni: $\sigma_N=1.94$ $\sigma_M=307.07$ $\tau=0.01$ $\sigma_{\max}=309.01$
 - Verifica τ_{\max} - CC 1 Xl=0.00
 Sollecitazioni: N=57.93 T_z=302.12 M_y=483.15 T_y=-0.10 M_z=0.02 M_x=-0.00
 Tensioni: $\sigma_N=1.80$ $\sigma_M=-0.02$ $\tau=21.54$ $\tau_{\max}=21.54$
 - Verifica $\sigma_{ID,\max}$ - CC 1 Xl=0.35
 Sollecitazioni: N=62.35 T_z=294.54 M_y=586.76 T_y=-0.10 M_z=-0.01 M_x=-0.00
 Tensioni: $\sigma_N=1.94$ $\sigma_M=307.07$ $\tau=0.01$ $\sigma_{ID,\max}=309.01$
 - Verifica Imbozzamento pannelli (7.6.2.1) - CC 1
 Sollecitazioni: N=62.35 T_z=302.12 M_y=586.76
 Parametri: a=34.73 Altezza=17.70 $\alpha=1.96$ H_{anima}=17.70 t=0.85
 $\sigma_N=1.94$ $\sigma_M=271.75$ $\omega_1=-269.81$ $\omega_2=273.68$ $\tau=20.08$ $\sigma_{cr,0}=4294.09$
 Sono soddisfatte le limitazioni del prospetto 7-XI: H_{anima}/t=20.82<130.00

Asta n. 206 (18 14) UNP 200 Crit. 1

-
- Verifica σ_{\max} - CC 1 Xl=0.20
 Sollecitazioni: N=588.92 T_z=609.89 M_y=422.81 T_y=0.10 M_z=-0.12 M_x=0.00
 Tensioni: $\sigma_N=18.30$ $\sigma_M=221.42$ $\tau=0.01$ $\sigma_{\max}=239.72$

- Verifica τ_{\max} - CC 1 Xl=0.00
 Sollecitazioni: N=591.52 T_z=614.36 M_y=297.45 T_y=0.10 M_z=-0.14 M_x=0.00
 Tensioni: σ_N=18.38 σ_M=0.19 τ=43.78 τ_{max}=43.78
- Verifica σ_{ID,max} - CC 1 Xl=0.20
 Sollecitazioni: N=588.92 T_z=609.89 M_y=422.81 T_y=0.10 M_z=-0.12 M_x=0.00
 Tensioni: σ_N=18.30 σ_M=221.42 τ=0.01 σ_{ID,max}=239.72
- Verifica Imbozzamento pannelli (7.6.2.1) - CC 1
 Sollecitazioni: N=591.52 T_z=614.36 M_y=422.81
 Parametri: a=20.48 Altezza=17.70 α=1.16 H_{anima}=17.70 t=0.85
 σ_N=18.38 σ_M=195.81 ω₁=-177.44 ω₂=214.19 τ=40.83 σ_{cr,0}=4294.09
 Sono soddisfatte le limitazioni del prospetto 7-XI: H_{anima}/t=20.82<170.00

Asta n. 206 (14 12) UNP 200 Crit. 1

- Verifica σ_{max} - CC 1 Xl=0.35
 Sollecitazioni: N=456.65 T_z=381.41 M_y=556.58 T_y=0.10 M_z=-0.09 M_x=0.00
 Tensioni: σ_N=14.19 σ_M=291.38 τ=0.01 σ_{max}=305.57
- Verifica τ_{max} - CC 1 Xl=0.00
 Sollecitazioni: N=461.07 T_z=388.99 M_y=422.80 T_y=0.10 M_z=-0.12 M_x=0.00
 Tensioni: σ_N=14.33 σ_M=0.16 τ=27.73 τ_{max}=27.73
- Verifica σ_{ID,max} - CC 1 Xl=0.35
 Sollecitazioni: N=456.65 T_z=381.41 M_y=556.58 T_y=0.10 M_z=-0.09 M_x=0.00
 Tensioni: σ_N=14.19 σ_M=291.38 τ=0.01 σ_{ID,max}=305.57
- Verifica Imbozzamento pannelli (7.6.2.1) - CC 1
 Sollecitazioni: N=461.07 T_z=388.99 M_y=556.58
 Parametri: a=34.73 Altezza=17.70 α=1.96 H_{anima}=17.70 t=0.85
 σ_N=14.33 σ_M=257.77 ω₁=-243.44 ω₂=272.10 τ=25.86 σ_{cr,0}=4294.09
 Sono soddisfatte le limitazioni del prospetto 7-XI: H_{anima}/t=20.82<130.00

Asta n. 206 (12 10) UNP 200 Crit. 1

- Verifica σ_{max} - CC 1 Xl=0.35
 Sollecitazioni: N=323.74 T_z=153.57 M_y=611.23 T_y=0.10 M_z=-0.05 M_x=0.00
 Tensioni: σ_N=10.06 σ_M=319.93 τ=0.01 σ_{max}=329.99
- Verifica τ_{max} - CC 1 Xl=0.00
 Sollecitazioni: N=328.16 T_z=161.15 M_y=556.58 T_y=0.10 M_z=-0.08 M_x=0.00
 Tensioni: σ_N=10.20 σ_M=0.11 τ=11.49 τ_{max}=11.49
- Verifica σ_{ID,max} - CC 1 Xl=0.35
 Sollecitazioni: N=323.74 T_z=153.57 M_y=611.23 T_y=0.10 M_z=-0.05 M_x=0.00
 Tensioni: σ_N=10.06 σ_M=319.93 τ=0.01 σ_{ID,max}=329.99
- Verifica Imbozzamento pannelli (7.6.2.1) - CC 1
 Sollecitazioni: N=328.16 T_z=161.15 M_y=611.23
 Parametri: a=34.73 Altezza=17.70 α=1.96 H_{anima}=17.70 t=0.85
 σ_N=10.20 σ_M=283.08 ω₁=-272.88 ω₂=293.28 τ=10.71 σ_{cr,0}=4294.09
 Sono soddisfatte le limitazioni del prospetto 7-XI: H_{anima}/t=20.82<130.00

Asta n. 206 (10 8) UNP 200 Crit. 1

- Verifica σ_{max} - CC 1 Xl=0.00
 Sollecitazioni: N=195.26 T_z=-66.69 M_y=611.25 T_y=0.10 M_z=-0.05 M_x=0.00
 Tensioni: σ_N=6.07 σ_M=319.94 τ=0.01 σ_{max}=326.00
- Verifica τ_{max} - CC 1 Xl=0.35
 Sollecitazioni: N=190.84 T_z=-74.27 M_y=586.77 T_y=0.10 M_z=-0.01 M_x=0.00
 Tensioni: σ_N=5.93 σ_M=0.01 τ=5.30 τ_{max}=5.30
- Verifica σ_{ID,max} - CC 1 Xl=0.00

Sollecitazioni: N=195.26 T_z=-66.69 M_y=611.25 T_y=0.10 M_z=-0.05 M_x=0.00
 Tensioni: σ_N=6.07 σ_M=319.94 τ=0.01 σ_{ID,max}=326.00

- Verifica Imbozzamento pannelli (7.6.2.1) - CC 1
 Sollecitazioni: N=195.26 T_z=-74.27 M_y=611.25
 Parametri: a=34.73 Altezza=17.70 α=1.96 H_{anima}=17.70 t=0.85
 $\sigma_N = 6.07 \quad \sigma_M = 283.09 \quad \omega_1 = -277.02 \quad \omega_2 = 289.15 \quad \tau = 4.94 \quad \sigma_{cr,0} = 4294.09$
 Sono soddisfatte le limitazioni del prospetto 7-XI: H_{anima}/t=20.82<130.00

Asta n. 206 (8 6) UNP 200 Crit. 1

- Verifica σ_{max} - CC 1 Xl=0.00
 Sollecitazioni: N=62.35 T_z=-294.54 M_y=586.76 T_y=0.10 M_z=-0.01 M_x=0.00
 Tensioni: σ_N=1.94 σ_M=307.07 τ=0.01 σ_{max}=309.01
- Verifica τ_{max} - CC 1 Xl=0.35
 Sollecitazioni: N=57.93 T_z=-302.12 M_y=483.15 T_y=0.10 M_z=0.02 M_x=0.00
 Tensioni: σ_N=1.80 σ_M=-0.02 τ=21.54 τ_{max}=21.54
- Verifica σ_{ID,max} - CC 1 Xl=0.00
 Sollecitazioni: N=62.35 T_z=-294.54 M_y=586.76 T_y=0.10 M_z=-0.01 M_x=0.00
 Tensioni: σ_N=1.94 σ_M=307.07 τ=0.01 σ_{ID,max}=309.01
- Verifica Imbozzamento pannelli (7.6.2.1) - CC 1
 Sollecitazioni: N=62.35 T_z=-302.12 M_y=586.76
 Parametri: a=34.73 Altezza=17.70 α=1.96 H_{anima}=17.70 t=0.85
 $\sigma_N = 1.94 \quad \sigma_M = 271.75 \quad \omega_1 = -269.81 \quad \omega_2 = 273.68 \quad \tau = 20.08 \quad \sigma_{cr,0} = 4294.09$
 Sono soddisfatte le limitazioni del prospetto 7-XI: H_{anima}/t=20.82<130.00

Asta n. 209 (1 5) UNP 200 Crit. 1

- Verifica σ_{max} - CC 1 Xl=0.25
 Sollecitazioni: N=-436.96 T_z=294.82 M_y=483.15 T_y=-0.10 M_z=0.02 M_x=0.02
 Tensioni: σ_N=-13.58 σ_M=-252.86 τ=0.16 σ_{max}=-266.44
- Verifica τ_{max} - CC 1 Xl=0.00
 Sollecitazioni: N=-443.20 T_z=296.08 M_y=408.69 T_y=-0.10 M_z=0.04 M_x=0.02
 Tensioni: σ_N=-13.77 σ_M=-0.06 τ=21.22 τ_{max}=21.22
- Verifica σ_{ID,max} - CC 1 Xl=0.25
 Sollecitazioni: N=-436.96 T_z=294.82 M_y=483.15 T_y=-0.10 M_z=0.02 M_x=0.02
 Tensioni: σ_N=-13.58 σ_M=-252.86 τ=0.16 σ_{ID,max}=266.44
- Verifica Imbozzamento pannelli (7.6.2.1) - CC 1
 Sollecitazioni: N=-443.20 T_z=296.08 M_y=483.15
 Parametri: a=25.20 Altezza=17.70 α=1.42 H_{anima}=17.70 t=0.85
 $\sigma_N = 13.77 \quad \sigma_M = 223.76 \quad \omega_1 = -237.53 \quad \omega_2 = 209.99 \quad \tau = 19.68 \quad \sigma_{cr,0} = 4294.09$
 Caso II $\psi = -0.88 \quad K\sigma = 20.99 \quad \sigma_{cr} = 90129.70 \quad K\tau = 7.31 \quad \tau_{cr} = 31403.50 \quad \sigma_{cr,id} = 87326.70$
 Risulta $\sigma_{cr,id} > 0.8 * f_d$ e quindi $\sigma_{cr,id} = \sigma_{cr,red} = 2349.83$
 Controllo sicurezza: $\sigma_{cr,id} / \sqrt{\sigma_1^2 + 3*\tau^2} = 9.79 \quad \beta*v = 1.22$

Asta n. 210 (6 3) UNP 200 Crit. 1

- Verifica σ_{max} - CC 1 Xl=0.00
 Sollecitazioni: N=-436.96 T_z=-294.81 M_y=483.15 T_y=0.10 M_z=0.02 M_x=-0.02
 Tensioni: σ_N=-13.58 σ_M=-252.86 τ=0.16 σ_{max}=-266.44
- Verifica τ_{max} - CC 1 Xl=0.25
 Sollecitazioni: N=-443.20 T_z=-296.07 M_y=408.70 T_y=0.10 M_z=0.04 M_x=-0.02
 Tensioni: σ_N=-13.77 σ_M=-0.06 τ=21.22 τ_{max}=21.22
- Verifica σ_{ID,max} - CC 1 Xl=0.00
 Sollecitazioni: N=-436.96 T_z=-294.81 M_y=483.15 T_y=0.10 M_z=0.02 M_x=-0.02
 Tensioni: σ_N=-13.58 σ_M=-252.86 τ=0.16 σ_{ID,max}=266.44

- Verifica Imbozzamento pannelli (7.6.2.1) - CC 1
 Sollecitazioni: N=-443.20 T_z=-296.07 M_y=483.15
 Parametri: a=25.20 Altezza=17.70 α=1.42 H_{anima}=17.70 t=0.85
 $\sigma_N=13.77 \quad \sigma_M=223.76 \quad \omega_1=-237.53 \quad \omega_2=209.99 \quad \tau=19.68 \quad \sigma_{cr,0}=4294.09$
 Caso II $\psi=-0.88 \quad K\sigma=20.99 \quad \sigma_{cr}=90129.80 \quad Kt=7.31 \quad \tau_{cr}=31403.50 \quad \sigma_{cr,id}=87326.90$
 Risulta $\sigma_{cr,id}>0.8*f_d$ e quindi $\sigma_{cr,id}=\sigma_{cr,red}=2349.83$
 Controllo sicurezza: $\sigma_{cr,id}/\sqrt{(\sigma_1^2+3*\tau^2)}=9.79 \quad \beta*v=1.22$

Asta n. 213 (2 1) UNP 200 Crit. 1

- Verifica σ_{max} - CC 1 Xl=0.00
 Sollecitazioni: N=202.25 T_z=1513.73 M_y=-1217.01 T_y=0.01 M_z=-0.01 M_x=0.00
 Tensioni: $\sigma_N=6.28 \quad \sigma_M=636.88 \quad \tau=0.02 \quad \sigma_{max}=643.17$

- Verifica τ_{max} - CC 1 Xl=0.00
 Sollecitazioni: N=202.25 T_z=1513.73 M_y=-1217.01 T_y=0.01 M_z=-0.01 M_x=0.00
 Tensioni: $\sigma_N=6.28 \quad \sigma_M=0.01 \quad \tau=107.87 \quad \tau_{max}=107.87$

- Verifica $\sigma_{ID,max}$ - CC 1 Xl=0.00
 Sollecitazioni: N=202.25 T_z=1513.73 M_y=-1217.01 T_y=0.01 M_z=-0.01 M_x=0.00
 Tensioni: $\sigma_N=6.28 \quad \sigma_M=636.88 \quad \tau=0.02 \quad \sigma_{ID,max}=643.17$

- Verifica Imbozzamento pannelli (7.6.2.1) - CC 1
 Sollecitazioni: N=202.25 T_z=1513.73 M_y=-1217.01
 Parametri: a=160.80 Altezza=17.70 α=9.08 H_{anima}=17.70 t=0.85
 $\sigma_N=6.28 \quad \sigma_M=563.63 \quad \omega_1=-557.35 \quad \omega_2=569.92 \quad \tau=100.61 \quad \sigma_{cr,0}=4294.09$
 Sono soddisfatte le limitazioni del prospetto 7-XI: H_{anima}/t=20.82<130.00

Asta n. 214 (3 4) UNP 200 Crit. 1

- Verifica σ_{max} - CC 1 Xl=1.61
 Sollecitazioni: N=202.25 T_z=-1513.74 M_y=-1217.04 T_y=-0.01 M_z=-0.01 M_x=-0.00
 Tensioni: $\sigma_N=6.28 \quad \sigma_M=636.90 \quad \tau=0.02 \quad \sigma_{max}=643.18$

- Verifica τ_{max} - CC 1 Xl=1.61
 Sollecitazioni: N=202.25 T_z=-1513.74 M_y=-1217.04 T_y=-0.01 M_z=-0.01 M_x=-0.00
 Tensioni: $\sigma_N=6.28 \quad \sigma_M=0.01 \quad \tau=107.87 \quad \tau_{max}=107.87$

- Verifica $\sigma_{ID,max}$ - CC 1 Xl=1.61
 Sollecitazioni: N=202.25 T_z=-1513.74 M_y=-1217.04 T_y=-0.01 M_z=-0.01 M_x=-0.00
 Tensioni: $\sigma_N=6.28 \quad \sigma_M=636.90 \quad \tau=0.02 \quad \sigma_{ID,max}=643.18$

- Verifica Imbozzamento pannelli (7.6.2.1) - CC 1
 Sollecitazioni: N=202.25 T_z=-1513.74 M_y=-1217.04
 Parametri: a=160.80 Altezza=17.70 α=9.08 H_{anima}=17.70 t=0.85
 $\sigma_N=6.28 \quad \sigma_M=563.64 \quad \omega_1=-557.36 \quad \omega_2=569.93 \quad \tau=100.61 \quad \sigma_{cr,0}=4294.09$
 Sono soddisfatte le limitazioni del prospetto 7-XI: H_{anima}/t=20.82<130.00

COMPUTO ACCIAIO

Simbologia

Cod. = Codice
 Lun. = Lunghezza
 Peso = Peso
 Sup. = Superficie

Cod. Lun. Peso Sup.
 <mm> <kg> <mq>

UNP 200 11854 299.50 7.828

Totali 11854 299.50 7.828

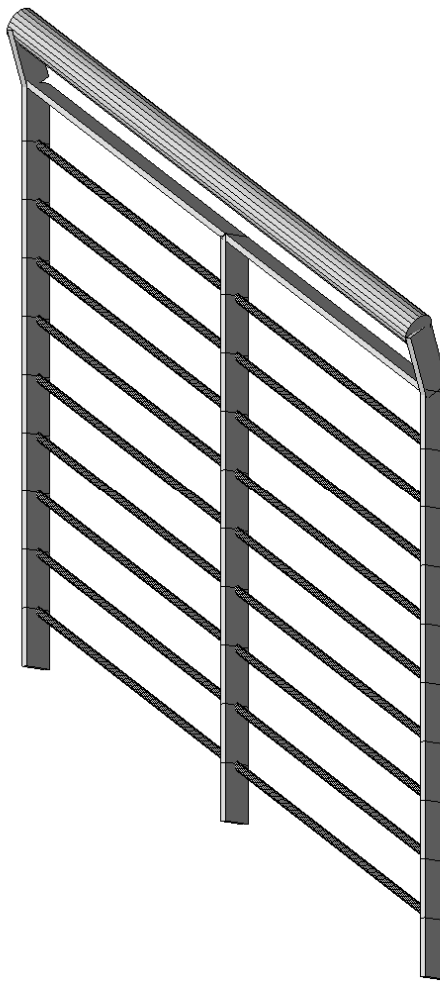
DISTINTA ACCIAIO
 (Lunghezze arrotondate a multipli di 1 mm)

Simbologia

Cod. = Codice
 Lun. = Lunghezza
 Pez. = Numero pezzi

Cod.	Lun.	Pez.	<mm>												
UNP 200	1608	2		UNP 200	1273	2		UNP 200	1200	2		UNP 200	347	8	
UNP 200	205	2										UNP 200	252	2	

VERIFICA BALAUSTRA



SISTEMI DI RIFERIMENTO

Le coordinate, i carichi concentrati, i cedimenti, le reazioni vincolari e gli spostamenti dei NODI sono riferiti ad una terna destra cartesiana globale con l'asse Z verticale rivolto verso l'alto.

I carichi in coordinate locali e le sollecitazioni delle ASTE sono riferite ad una terna destra cartesiana locale così definita:

- origine nel nodo iniziale dell'asta;
- asse X coincidente con l'asse dell'asta e con verso dal nodo iniziale al nodo finale;
- immaginando la trave a sezione rettangolare l'asse Y è parallelo alla base e l'asse Z è parallelo all'altezza. La rotazione dell'asta comporta quindi una rotazione di tutta la terna locale.

Si può immaginare la terna locale di un'asta comunque disposta nello spazio come derivante da quella globale dopo una serie di trasformazioni:

- una rotazione intorno all'asse Z che porti l'asse X a coincidere con la proiezione dell'asse dell'asta sul piano orizzontale;
- una traslazione lungo il nuovo asse X così definito in modo da portare l'origine a coincidere con la proiezione del nodo iniziale dell'asta sul piano orizzontale;
- una traslazione lungo l'asse Z che porti l'origine a coincidere con il nodo iniziale dell'asta;
- una rotazione intorno all'asse Y così definito che porti l'asse X a coincidere con l'asse dell'asta;
- una rotazione intorno all'asse X così definito pari alla rotazione dell'asta.

In pratica le travi prive di rotazione avranno sempre l'asse Z rivolto verso l'alto e l'asse Y nel piano del solaio, mentre i pilastri privi di rotazione avranno l'asse Y parallelo all'asse Y globale e l'asse Z parallelo ma controverso all'asse X globale. Da notare quindi che per i pilastri la "base" è il lato parallelo a Y.

Le sollecitazioni ed i carichi in coordinate locali negli ELEMENTI BIDIMENSIONALI e nei MURI sono riferiti ad una terna destra cartesiana locale così definita:

- origine nel primo nodo dell'elemento;
- asse X coincidente con la congiungente il primo ed il secondo nodo dell'elemento;
- asse Y definito come prodotto vettoriale fra il versore dell'asse X e il versore della congiungente il primo e il quarto nodo. Asse Z a formare con gli altri due una terna destrorsa.

Praticamente un elemento verticale con l'asse X locale coincidente con l'asse X globale ha anche gli altri assi locali coincidenti con quelli globali.

ROTAZIONI E MOMENTI

Seguendo il principio adottato per tutti i carichi che sono positivi se CONTROVERSI agli assi, anche i momenti concentrati e le rotazioni impresse in coordinate globali risultano positivi se CONTROVERSI al segno positivo delle rotazioni. Il segno positivo dei momenti e delle rotazioni è quello orario per l'osservatore posto nell'origine: X ruota su Y, Y ruota su Z, Z ruota su X. In pratica è sufficiente adottare la regola della mano destra: col pollice rivolto nella direzione dell'asse, la rotazione che porta a chiudere il palmo della mano corrisponde al segno positivo.

UNITA` DI MISURA

Le unità di misura adottate sono le seguenti:

- lunghezze : m
- forze : kg
- masse : kg massa
- temperature : gradi centigradi
- angoli : gradi sessadecimali o radianti

NORMATIVA DI RIFERIMENTO

La normativa di riferimento è la seguente:

- Legge n. 64 del 2/2/1974 - Provvedimenti per le costruzioni con particolari prescrizioni per le zone sismiche.
- D.M. del 24/1/1986 - Norme tecniche relative alle costruzioni sismiche.
- Legge n. 1086 del 5/11/1971 - Norme per la disciplina delle opere di conglomerato cementizio armato, normale e precompresso ed a struttura metallica.
- D.M. del 14/2/1992 - Norme tecniche per l'esecuzione delle opere in c.a. normale e precompresso e per le strutture metalliche.
- D.M. del 9/1/1996 - Norme tecniche per l'esecuzione delle opere in c.a. normale e precompresso e per le strutture metalliche.
- D.M. del 16/1/1996 - Norme tecniche per le costruzioni in zone sismiche.
- Circolare n. 21745 del 30/7/1981 - Legge n. 219 del 14/5/1981 - Art. 10 - Istruzioni relative al rafforzamento degli edifici in muratura danneggiati dal sisma.
- Regione Autonoma Friuli Venezia Giulia - Legge Regionale n. 30 del 20/6/1977 - Documentazione tecnica per la progettazione e direzione delle opere di riparazione degli edifici - Documento Tecnico n. 2 - Raccomandazioni per la riparazione strutturale degli edifici in muratura.
- Norme Tecniche C.N.R. n. 10011-85 del 18/4/1985 - Costruzioni di acciaio - Istruzioni per il calcolo, l'esecuzione, il collaudo e la manutenzione.

- Norme Tecniche C.N.R. n. 10025-84 del 14/12/1984 - Istruzioni per il progetto, l'esecuzione ed il controllo delle strutture prefabbricate in conglomerato cementizio e per le strutture costruite con sistemi industrializzati di acciaio - Istruzioni per il calcolo, l'esecuzione, il collaudo e la manutenzione.
- Circolare n. 65 del 10/4/1997 - Istruzioni per l'applicazione delle "Norme tecniche per le costruzioni in zone sismiche" di cui al D.M. del 16/1/1996.
- Ordinanza n. 3274 del 20/3/2003 - Primi elementi in materia di criteri generali per la classificazione sismica del territorio nazionale e di normative tecniche per le costruzioni in zona sismica.
- Ordinanza n. 3316 del 2/10/2003 - Modifiche ed integrazioni all'Ordinanza n. 3274 del 20/3/2003.
- Ordinanza n. 3431 del 3/5/2005 - Modifiche ed integrazioni all'Ordinanza n. 3274 del 20/3/2003.
- Eurocodice 5 - Progettazione delle strutture di legno.
- DIN 1052 - Metodi di verifica per il legno.

ELENCO VINCOLI NODI

Simbologia

Vn = Numero del vincolo nodo
 Comm. = Commento
 Sx = Spostamento in dir. X (L=libero, B=bloccato)
 Sy = Spostamento in dir. Y (L=libero, B=bloccato)
 Sz = Spostamento in dir. Z (L=libero, B=bloccato)
 Rx = Rotazione intorno all'asse X (L=libera, B=bloccata)
 Ry = Rotazione intorno all'asse Y (L=libera, B=bloccata)
 Rz = Rotazione intorno all'asse Z (L=libera, B=bloccata)
 RL = Rotazione libera
 Ly = Lunghezza (dir. Y locale)
 Lz = Larghezza (dir. Z locale)
 Kt = Coeff. di sottofondo su suolo elastico alla Winkler

Vn	Comm.	Sx	Sy	Sz	Rx	Ry	Rz	RL	Ly	Lz	Kt
								<grad>	<m>	<m>	<kg/cmc>
-----	-----	-----	-----	-----	-----	-----	-----	-----	-----	-----	-----
1	Libero	L	L	L	L	L	L				
2	Incastro	B	B	B	B	B	B				

ELENCO NODI

Simbologia

Nodo = Numero del nodo
 X = Coordinata X del nodo
 Y = Coordinata Y del nodo
 Z = Coordinata Z del nodo
 Imp. = Numero dell'impalcato
 Vn = Numero del vincolo nodo

Nodo	X	Y	Z	Imp.	Vn	Nodo	X	Y	Z	Imp.	Vn	Nodo	X	Y	Z	Imp.	Vn
	<m>	<m>	<m>				<m>	<m>	<m>				<m>	<m>	<m>		
-13	1.59	2.00	1.29	0	1	-12	1.59	2.00	1.19	0	1	-11	1.59	2.00	1.09	0	1
-10	1.59	2.00	0.99	0	1	-9	2.00	2.00	0.90	0	1	-8	2.00	2.00	0.80	0	1
-7	2.00	2.00	0.70	0	1	-6	2.00	2.00	0.60	0	1	-5	2.00	2.00	0.50	0	1
-4	2.00	2.00	0.40	0	1	-3	2.00	2.00	0.30	0	1	-2	2.00	2.00	0.20	0	1
-1	2.00	2.00	0.10	0	1	1	1.18	2.00	1.48	0	1	2	1.59	2.00	0.89	0	1
3	2.00	2.00	0.00	0	2	102	1.59	2.00	0.29	0	2	202	1.59	2.00	0.39	0	1
302	1.59	2.00	0.49	0	1	401	1.18	2.00	0.58	0	2	502	1.59	2.00	0.59	0	1
601	1.18	2.00	0.68	0	1	702	1.59	2.00	0.69	0	1	801	1.18	2.00	0.78	0	1
902	1.59	2.00	0.79	0	1	1001	1.18	2.00	0.88	0	1	1101	1.18	2.00	0.98	0	1
1203	2.00	2.00	1.00	0	1	1301	1.18	2.00	1.08	0	1	1401	2.00	1.95	1.10	0	1
1501	1.18	2.00	1.18	0	1	1601	1.18	2.00	1.28	0	1	1701	1.18	2.00	1.38	0	1
1801	1.18	2.00	1.58	0	1	1901	1.18	1.95	1.68	0	1						

ELENCO MATERIALI

Simbologia

Mat. = Numero del materiale
Comm. = Commento
P = Peso specifico
E = Modulo elastico
G = Modulo elastico tangenziale
 ν = Coeff. di Poisson
 α = Coeff. di dilatazione termica

Mat.	Comm.	P <kg/mc>	E <kg/cmq>	G <kg/cmq>	ν	α
2	Acciaio	7850.00	2100000.00	800000.00	0.30	1.00E-005

ELENCO SEZIONI ASTE

Simbologia

Sez. = Numero della sezione
Comm. = Commento
Tipo = Tipologia
2C = Doppia C lato labbri
2Cdx = Doppia C lato costola
2I = Doppia I
2L = Doppia L lato labbri
2Ldx = Doppia L lato costole
C = C
Cdx = C destra
Cir. = Circolare
Circ. = Circolare cava
I = I
L = L
Ldx = L destra
Om. = Omega
Pg = Pi greco
Pr = Poligono regolare
Prc = Poligono regolare cavo
Pc = Per coordinate
Ia = Inerzie assegnate
R = Rettangolare
Rc = Rettangolare cava
T = T
U = U
Ur = U rovescia
V = V
Vr = V rovescia
Z = Z
Zdx = Z destra
Ts = T stondata
Ls = L stondata
Cs = C stondata
Is = I stondata
Dis. = Disegnata
Me = Membratura
G = Generica
T = Trave
P = Pilastro
Ver. = Verifica prevista
N = Nessuna
C = Cemento armato
A = Acciaio
L = Legno
B = Base
H = Altezza
R = Raggio
Ma = Numero del materiale
C = Numero del criterio di progetto

Sez.	Comm.	Tipo	Me	Ver.	B <cm>	H <cm>	R <cm>	Ma	C <cm>

3	Piatto	70x10 mm	R	G	A	7.00	1.00		2	1
4	Tubolare	Ø14 mm	Cir.	G	A		0.70	2	1	
5	Corrimano	Ø60 mm	Cir.	G	A		3.00	2	1	

ELENCO VINCOLI ASTE

Simbologia

Va = Numero del vincolo asta
 Comm. = Commento
 Tipo = Tipologia
 SVI = Definizione di vincolamenti interni
 ELA = Vincolo su suolo elastico alla Winkler
 BIE-RTC = Biella resistente a trazione e a compressione
 BIE-RC = Biella resistente solo a compressione
 BIE-RT = Biella resistente solo a trazione
 Ni = Sforzo normale nodo iniziale (0=sbloccato, 1=bloccato)
 Tyi = Taglio in dir. Y locale nodo iniziale (0=sbloccato, 1=bloccato)
 Tzi = Taglio in dir. Z locale nodo iniziale (0=sbloccato, 1=bloccato)
 Mxi = Momento intorno all'asse X locale nodo iniziale (0=sbloccato, 1=bloccato)
 Myi = Momento intorno all'asse Y locale nodo iniziale (0=sbloccato, 1=bloccato)
 Mzi = Momento intorno all'asse Z locale nodo iniziale (0=sbloccato, 1=bloccato)
 Nf = Sforzo normale nodo finale (0=sbloccato, 1=bloccato)
 Tyf = Taglio in dir. Y locale nodo finale (0=sbloccato, 1=bloccato)
 Tzf = Taglio in dir. Z locale nodo finale (0=sbloccato, 1=bloccato)
 Mxf = Momento intorno all'asse X locale nodo finale (0=sbloccato, 1=bloccato)
 Myf = Momento intorno all'asse Y locale nodo finale (0=sbloccato, 1=bloccato)
 Mzf = Momento intorno all'asse Z locale nodo finale (0=sbloccato, 1=bloccato)
 Kt = Coeff. di sottofondo su suolo elastico alla Winkler

Va	Comm.	Tipo	Ni	Tyi	Tzi	Mxi	Myi	Mzi	Nf	Tyf	Tzf	Mxf	Myf	Mzf	Kt
															<kg/cmc>

-----	1	Inc+Inc	SVI	1	1	1	1	1	1	1	1	1	1	1	1
-------	---	---------	-----	---	---	---	---	---	---	---	---	---	---	---	---

ELENCO ASTE

Simbologia

Asta = Numero dell'asta
 N1 = Nodo iniziale
 N2 = Nodo finale
 Sez. = Numero della sezione
 Va = Numero del vincolo asta
 Par. = Numero dei parametri aggiuntivi
 Rot. = Rotazione
 FF = Filo fisso
 Dy1 = Scost. filo fisso Y1
 Dy2 = Scost. filo fisso Y2
 Dz1 = Scost. filo fisso Z1
 Dz2 = Scost. filo fisso Z2

Asta	N1	N2	Sez.	Va	Par.	Rot.	FF	Dy1	Dy2	Dz1	Dz2	
							<grad>	<cm>	<cm>	<cm>	<cm>	
1	401	601	3	1			0.00	55	0.00	0.00	0.00	0.00
1	601	801	3	1			0.00	55	0.00	0.00	0.00	0.00
1	801	1001	3	1			0.00	55	0.00	0.00	0.00	0.00
1	1001	1101	3	1			0.00	55	0.00	0.00	0.00	0.00
1	1101	1301	3	1			0.00	55	0.00	0.00	0.00	0.00
1	1301	1501	3	1			0.00	55	0.00	0.00	0.00	0.00
1	1501	1601	3	1			0.00	55	0.00	0.00	0.00	0.00
1	1601	1701	3	1			0.00	55	0.00	0.00	0.00	0.00
1	1701	1	3	1			0.00	55	0.00	0.00	0.00	0.00
1	1	1801	3	1			0.00	55	0.00	0.00	0.00	0.00
2	102	202	3	1			0.00	55	0.00	0.00	0.00	0.00
2	202	302	3	1			0.00	55	0.00	0.00	0.00	0.00
2	302	502	3	1			0.00	55	0.00	0.00	0.00	0.00
2	502	702	3	1			0.00	55	0.00	0.00	0.00	0.00
2	702	902	3	1			0.00	55	0.00	0.00	0.00	0.00
2	902	2	3	1			0.00	55	0.00	0.00	0.00	0.00
2	2	-10	3	1			0.00	55	0.00	0.00	0.00	0.00
2	-10	-11	3	1			0.00	55	0.00	0.00	0.00	0.00

2	-11	-12	3	1	0.00	55	0.00	0.00	0.00	0.00	0.00
2	-12	-13	3	1	0.00	55	0.00	0.00	0.00	0.00	0.00
3	3	-1	3	1	0.00	55	0.00	0.00	0.00	0.00	0.00
3	-1	-2	3	1	0.00	55	0.00	0.00	0.00	0.00	0.00
3	-2	-3	3	1	0.00	55	0.00	0.00	0.00	0.00	0.00
3	-3	-4	3	1	0.00	55	0.00	0.00	0.00	0.00	0.00
3	-4	-5	3	1	0.00	55	0.00	0.00	0.00	0.00	0.00
3	-5	-6	3	1	0.00	55	0.00	0.00	0.00	0.00	0.00
3	-6	-7	3	1	0.00	55	0.00	0.00	0.00	0.00	0.00
3	-7	-8	3	1	0.00	55	0.00	0.00	0.00	0.00	0.00
3	-8	-9	3	1	0.00	55	0.00	0.00	0.00	0.00	0.00
3	-9	1203	3	1	0.00	55	0.00	0.00	0.00	0.00	0.00
602	601	202	4	1	0.00	55	0.00	0.00	0.00	0.00	0.00
602	202	-1	4	1	0.00	55	0.00	0.00	0.00	0.00	0.00
802	801	302	4	1	0.00	55	0.00	0.00	0.00	0.00	0.00
802	302	-2	4	1	0.00	55	0.00	0.00	0.00	0.00	0.00
902	1001	502	4	1	0.00	55	0.00	0.00	0.00	0.00	0.00
902	502	-3	4	1	0.00	55	0.00	0.00	0.00	0.00	0.00
1002	1101	702	4	1	0.00	55	0.00	0.00	0.00	0.00	0.00
1002	702	-4	4	1	0.00	55	0.00	0.00	0.00	0.00	0.00
1202	1301	902	4	1	0.00	55	0.00	0.00	0.00	0.00	0.00
1202	902	-5	4	1	0.00	55	0.00	0.00	0.00	0.00	0.00
1304	1203	1401	3	1	90.00	55	0.00	0.00	0.00	0.00	0.00
1402	1501	2	4	1	0.00	55	0.00	0.00	0.00	0.00	0.00
1402	2	-6	4	1	0.00	55	0.00	0.00	0.00	0.00	0.00
1502	1601	-10	4	1	0.00	55	0.00	0.00	0.00	0.00	0.00
1502	-10	-7	4	1	0.00	55	0.00	0.00	0.00	0.00	0.00
1602	1801	-13	3	1	0.00	55	0.00	0.00	0.00	0.00	0.00
1602	-13	1203	3	1	0.00	55	0.00	0.00	0.00	0.00	0.00
1701	1901	1401	5	1	0.00	55	0.00	0.00	0.00	0.00	0.00
1703	1801	1901	3	1	90.00	55	0.00	0.00	0.00	0.00	0.00
1902	1	-12	4	1	0.00	55	0.00	0.00	0.00	0.00	0.00
1902	-12	-9	4	1	0.00	55	0.00	0.00	0.00	0.00	0.00
1906	1701	-11	4	1	0.00	55	0.00	0.00	0.00	0.00	0.00
1906	-11	-8	4	1	0.00	55	0.00	0.00	0.00	0.00	0.00

CONDIZIONI DI CARICO ELEMENTARI:

Simbologia

CCE = Numero della condizione di carico elementare
 Comm. = Commento
 s = Coeff. di riduzione
 Mx = Moltiplicatore della massa in dir. X
 My = Moltiplicatore della massa in dir. Y
 Mz = Moltiplicatore della massa in dir. Z
 Jpx = Moltiplicatore del momento d'inerzia intorno all'asse X
 Jpy = Moltiplicatore del momento d'inerzia intorno all'asse Y
 Jpz = Moltiplicatore del momento d'inerzia intorno all'asse Z

CCE	Comm.	s	Mx	My	Mz	Jpx	Jpy	Jpz
1	Peso Proprio	1.00	1.00	1.00	0.00	0.00	0.00	1.00
2	Spinta su Balaustre 300 Kg/m	1.00	1.00	1.00	0.00	0.00	0.00	1.00

ELENCO CARICHI ASTE

CONDIZIONE DI CARICO 1: Peso Proprio

CARICHI DISTRIBUITI

Simbologia

Asta = Numero dell'asta
 N1 = Nodo iniziale
 N2 = Nodo finale
 S = Numero del solaio di provenienza
 T = Tipo di carico
 QA = Carico accidentale da solaio
 QP = Carico permanente da solaio
 PP = Peso proprio
 M = Manuale

DC = Direzione del carico
 XG,YG,ZG = secondo gli assi Globali
 XL,YL,ZL = secondo gli assi Locali
 Xi = Distanza iniziale
 Qi = Carico iniziale
 Xf = Distanza finale
 Qf = Carico finale

Asta	N1	N2	S	T	DC	Xi	Qi	Xf	Qf	Asta	N1	N2	S	T	DC	Xi	Qi	Xf	Qf
						<m>	<kg/m>	<m>	<kg/m>							<m>	<kg/m>	<m>	<kg/m>
1	401	601	--	PP	ZG	0.00	5.50	0.10	5.50	1	601	801	--	PP	ZG	0.00	5.50	0.10	5.50
1	801	1001	--	PP	ZG	0.00	5.50	0.10	5.50	1	1001	1101	--	PP	ZG	0.00	5.50	0.10	5.50
1	1101	1301	--	PP	ZG	0.00	5.50	0.10	5.50	1	1301	1501	--	PP	ZG	0.00	5.50	0.10	5.50
1	1501	1601	--	PP	ZG	0.00	5.50	0.10	5.50	1	1601	1701	--	PP	ZG	0.00	5.50	0.10	5.50
1	1701	1	--	PP	ZG	0.00	5.50	0.10	5.50	1	1	1801	--	PP	ZG	0.00	5.50	0.10	5.50
2	102	202	--	PP	ZG	0.00	5.50	0.10	5.50	2	202	302	--	PP	ZG	0.00	5.50	0.10	5.50
2	302	502	--	PP	ZG	0.00	5.50	0.10	5.50	2	502	702	--	PP	ZG	0.00	5.50	0.10	5.50
2	702	902	--	PP	ZG	0.00	5.50	0.10	5.50	2	902	2	--	PP	ZG	0.00	5.50	0.10	5.50
2	2	-10	--	PP	ZG	0.00	5.50	0.10	5.50	2	-10	-11	--	PP	ZG	0.00	5.50	0.10	5.50
2	-11	-12	--	PP	ZG	0.00	5.50	0.10	5.50	2	-12	-13	--	PP	ZG	0.00	5.50	0.10	5.50
3	3	-1	--	PP	ZG	0.00	5.50	0.10	5.50	3	-1	-2	--	PP	ZG	0.00	5.50	0.10	5.50
3	-2	-3	--	PP	ZG	0.00	5.50	0.10	5.50	3	-3	-4	--	PP	ZG	0.00	5.50	0.10	5.50
3	-4	-5	--	PP	ZG	0.00	5.50	0.10	5.50	3	-5	-6	--	PP	ZG	0.00	5.50	0.10	5.50
3	-6	-7	--	PP	ZG	0.00	5.50	0.10	5.50	3	-7	-8	--	PP	ZG	0.00	5.50	0.10	5.50
3	-8	-9	--	PP	ZG	0.00	5.50	0.10	5.50	3	-9	1203	--	PP	ZG	0.00	5.50	0.10	5.50
602	601	202	--	PP	ZG	0.00	1.21	0.50	1.21	602	202	-1	--	PP	ZG	0.00	1.21	0.50	1.21
802	801	302	--	PP	ZG	0.00	1.21	0.50	1.21	802	302	-2	--	PP	ZG	0.00	1.21	0.50	1.21
902	1001	502	--	PP	ZG	0.00	1.21	0.50	1.21	902	502	-3	--	PP	ZG	0.00	1.21	0.50	1.21
1002	1101	702	--	PP	ZG	0.00	1.21	0.50	1.21	1002	702	-4	--	PP	ZG	0.00	1.21	0.50	1.21
1202	1301	902	--	PP	ZG	0.00	1.21	0.50	1.21	1202	902	-5	--	PP	ZG	0.00	1.21	0.50	1.21
1304	1203	1401	--	PP	ZG	0.00	5.50	0.11	5.50	1402	1501	2	--	PP	ZG	0.00	1.21	0.50	1.21
1402	2	-6	--	PP	ZG	0.00	1.21	0.50	1.21	1502	1601	-10	--	PP	ZG	0.00	1.21	0.50	1.21
1502	-10	-7	--	PP	ZG	0.00	1.21	0.50	1.21	1602	1801	-13	--	PP	ZG	0.00	5.50	0.50	5.50
1602	-13	1203	--	PP	ZG	0.00	5.50	0.50	5.50	1701	1901	1401	--	PP	ZG	0.00	22.20	1.00	22.20
1703	1801	1901	--	PP	ZG	0.00	5.50	0.11	5.50	1902	1	-12	--	PP	ZG	0.00	1.21	0.50	1.21
1902	-12	-9	--	PP	ZG	0.00	1.21	0.50	1.21	1906	1701	-11	--	PP	ZG	0.00	1.21	0.50	1.21
1906	-11	-8	--	PP	ZG	0.00	1.21	0.50	1.21										

ELENCO CARICHI ASTE

CONDIZIONE DI CARICO 2: Spinta su Balaustra 300 Kg/m

CARICHI DISTRIBUITI

Asta	N1	N2	S	T	DC	Xi	Qi	Xf	Qf	
						<m>	<kg/m>	<m>	<kg/m>	
	1701	1901	1401	--	M	YG	0.00	-300.00	1.00	-300.00

PARAMETRI DI CALCOLO

La modellazione della struttura e la rielaborazione dei risultati del calcolo sono stati effettuati con:

ModeSt ver. 7.11, prodotto da Tecnisoft s.a.s. - Prato

La struttura è stata calcolata utilizzando come solutore agli elementi finiti:
SAP2000 ver. 100.0, prodotto da Computers & Structures Inc. - Berkeley, CA

Tipo di normativa: tensioni ammissibili

Tipo di Calcolo: calcolo statico

Schematizzazione piani rigidi: nessun impalcato rigido

Modalità di recupero masse secondarie: mantenere sul nodo masse e forze relative

Opzioni di calcolo: - Sono state considerate infinitamente rigide le zone di connessione fra travi, pilastri ed elementi bidimensionali con una riduzione del 20%

- Calcolo con offset rigidi dai nodi: no

- Uniformare i carichi variabili: no

- Massimizzare i carichi variabili: no

- Minimo carico da considerare: 0 <kg/m>

- Recupero carichi zone rigide: taglio e momento flettente

- Modalità di combinazione momento torcente: disaccoppiare le azioni

Opzioni del solutore:

- Chiudere SAP2000 al termine del calcolo: Si
- Lunghezza max elementi trave su suolo elastico: 0.3
- Numero min. di conci per trave su suolo elastico: 3
- Usare bidimensionali con deformabilità a taglio: No
- Intervento manuale in SAP2000: No

CONDIZIONI DI CARICO ELEMENTARI:

Simbologia

CCE = Numero della condizione di carico elementare

Comm. = Commento

s = Coeff. di riduzione

Mx = Moltiplicatore della massa in dir. X

My = Moltiplicatore della massa in dir. Y

Mz = Moltiplicatore della massa in dir. Z

Jpx = Moltiplicatore del momento d'inerzia intorno all'asse X

Jpy = Moltiplicatore del momento d'inerzia intorno all'asse Y

Jpz = Moltiplicatore del momento d'inerzia intorno all'asse Z

CCE	Comm.	s	Mx	My	Mz	Jpx	Jpy	Jpz
1	Peso Proprio		1.00	1.00	1.00	0.00	0.00	1.00
2	Spinta su Balaustra 300 Kg/m		1.00	1.00	1.00	0.00	0.00	1.00

COMBINAZIONI DELLE CCE:

Simbologia

CC = Numero della combinazione delle condizioni di carico elementari

Comm. = Commento

An. = Tipo di analisi

L = Lineare

NL = Non lineare

Bk = Buckling

S = Si

N = No

CC	Comm.	An.	Bk	1	2
1	Combinazione CCE	L	N	1.00	1.00

ELENCO MASSE NODI:

Simbologia

Nodo = Numero del nodo

Mo = Massa orizzontale

Nodo	Mo	Nodo												
	<KG>													
-13	0.31	-12	0.12	-11	0.12	-10	0.12	-9	0.09	-8	0.09	-7	0.09	-6
0.09														
-5	0.09	-4	0.09	-3	0.09	-2	0.09	-1	0.09	1	0.09	2	0.12	202
0.12														
302	0.12	502	0.12	601	0.09	702	0.12	801	0.09	902	0.12	1001	0.09	1101
0.09														
1203	0.20	1301	0.09	1401	1.16	1501	0.09	1601	0.09	1701	0.09	1801	0.20	1901
1.16														

SPOSTAMENTI NODALI ALLE TA:

Simbologia

Nodo = Numero del nodo
 Sx = Spostamento in dir. X
 CC = Numero della combinazione delle condizioni di carico elementari
 Sy = Spostamento in dir. Y
 Sz = Spostamento in dir. Z
 Rx = Rotazione intorno all'asse X
 Ry = Rotazione intorno all'asse Y
 Rz = Rotazione intorno all'asse Z

Nodo	Sx	CC	Sy	CC	Sz	CC	Rx	CC	Ry	CC	Rz	CC
	<cm>	<cm>	<cm>	<cm>	<cm>	<cm>	<rad>	<rad>	<rad>	<rad>	<rad>	<rad>
-13 Max	0.00	1	0.61	1	0.00	1	-0.0091	1	0.0000	1	0.0066	1
-13 Min.	0.00	1	0.61	1	0.00	1	-0.0091	1	0.0000	1	0.0066	1
-12 Max	0.00	1	0.52	1	0.00	1	-0.0090	1	0.0000	1	0.0064	1
-12 Min.	0.00	1	0.52	1	0.00	1	-0.0090	1	0.0000	1	0.0064	1
-11 Max	0.00	1	0.43	1	0.00	1	-0.0088	1	0.0000	1	0.0061	1
-11 Min.	0.00	1	0.43	1	0.00	1	-0.0088	1	0.0000	1	0.0061	1
-10 Max	0.00	1	0.34	1	0.00	1	-0.0083	1	0.0000	1	0.0057	1
-10 Min.	0.00	1	0.34	1	0.00	1	-0.0083	1	0.0000	1	0.0057	1
-9 Max	0.00	1	0.54	1	0.00	1	-0.0100	1	0.0000	1	0.0077	1
-9 Min.	0.00	1	0.54	1	0.00	1	-0.0100	1	0.0000	1	0.0077	1
-8 Max	0.00	1	0.44	1	0.00	1	-0.0095	1	0.0000	1	0.0070	1
-8 Min.	0.00	1	0.44	1	0.00	1	-0.0095	1	0.0000	1	0.0070	1
-7 Max	0.00	1	0.35	1	0.00	1	-0.0088	1	0.0000	1	0.0063	1
-7 Min.	0.00	1	0.35	1	0.00	1	-0.0088	1	0.0000	1	0.0063	1
-6 Max	0.00	1	0.27	1	0.00	1	-0.0080	1	0.0000	1	0.0055	1
-6 Min.	0.00	1	0.27	1	0.00	1	-0.0080	1	0.0000	1	0.0055	1
-5 Max	0.00	1	0.19	1	0.00	1	-0.0070	1	0.0000	1	0.0047	1
-5 Min.	0.00	1	0.19	1	0.00	1	-0.0070	1	0.0000	1	0.0047	1
-4 Max	0.00	1	0.13	1	0.00	1	-0.0059	1	0.0000	1	0.0039	1
-4 Min.	0.00	1	0.13	1	0.00	1	-0.0059	1	0.0000	1	0.0039	1
-3 Max	0.00	1	0.07	1	0.00	1	-0.0047	1	0.0000	1	0.0030	1
-3 Min.	0.00	1	0.07	1	0.00	1	-0.0047	1	0.0000	1	0.0030	1
-2 Max	0.00	1	0.03	1	0.00	1	-0.0033	1	0.0000	1	0.0020	1
-2 Min.	0.00	1	0.03	1	0.00	1	-0.0033	1	0.0000	1	0.0020	1
-1 Max	0.00	1	0.01	1	0.00	1	-0.0017	1	0.0000	1	0.0010	1
-1 Min.	0.00	1	0.01	1	0.00	1	-0.0017	1	0.0000	1	0.0010	1
1 Max	0.00	1	0.54	1	0.00	1	-0.0097	1	0.0000	1	0.0058	1
1 Min.	0.00	1	0.54	1	0.00	1	-0.0097	1	0.0000	1	0.0058	1
2 Max	0.00	1	0.26	1	0.00	1	-0.0076	1	0.0000	1	0.0052	1
2 Min.	0.00	1	0.26	1	0.00	1	-0.0076	1	0.0000	1	0.0052	1
202 Max	0.00	1	0.01	1	0.00	1	-0.0017	1	0.0000	1	0.0011	1
202 Min.	0.00	1	0.01	1	0.00	1	-0.0017	1	0.0000	1	0.0011	1
302 Max	0.00	1	0.03	1	0.00	1	-0.0033	1	0.0000	1	0.0021	1
302 Min.	0.00	1	0.03	1	0.00	1	-0.0033	1	0.0000	1	0.0021	1
502 Max	0.00	1	0.07	1	0.00	1	-0.0046	1	0.0000	1	0.0031	1
502 Min.	0.00	1	0.07	1	0.00	1	-0.0046	1	0.0000	1	0.0031	1
601 Max	0.00	1	0.01	1	0.00	1	-0.0017	1	0.0000	1	0.0000	1
601 Min.	0.00	1	0.01	1	0.00	1	-0.0017	1	0.0000	1	0.0000	1
702 Max	0.00	1	0.13	1	0.00	1	-0.0058	1	0.0000	1	0.0039	1
702 Min.	0.00	1	0.13	1	0.00	1	-0.0058	1	0.0000	1	0.0039	1
801 Max	0.00	1	0.03	1	0.00	1	-0.0033	1	0.0000	1	0.0019	1
801 Min.	0.00	1	0.03	1	0.00	1	-0.0033	1	0.0000	1	0.0019	1
902 Max	0.00	1	0.19	1	0.00	1	-0.0068	1	0.0000	1	0.0046	1
902 Min.	0.00	1	0.19	1	0.00	1	-0.0068	1	0.0000	1	0.0046	1
1001 Max	0.00	1	0.08	1	0.00	1	-0.0047	1	0.0000	1	0.0027	1
1001 Min.	0.00	1	0.08	1	0.00	1	-0.0047	1	0.0000	1	0.0027	1
1101 Max	0.00	1	0.13	1	0.00	1	-0.0059	1	0.0000	1	0.0035	1
1101 Min.	0.00	1	0.13	1	0.00	1	-0.0059	1	0.0000	1	0.0035	1
1203 Max	0.00	1	0.64	1	0.00	1	-0.0103	1	0.0000	1	0.0083	1
1203 Min.	0.00	1	0.64	1	0.00	1	-0.0103	1	0.0000	1	0.0083	1
1301 Max	0.00	1	0.19	1	0.00	1	-0.0070	1	0.0000	1	0.0041	1
1301 Min.	0.00	1	0.19	1	0.00	1	-0.0070	1	0.0000	1	0.0041	1
1401 Max	0.04	1	0.75	1	0.05	1	-0.0106	1	0.0000	1	0.0067	1
1401 Min.	0.04	1	0.75	1	0.05	1	-0.0106	1	0.0000	1	0.0067	1
1501 Max	0.00	1	0.27	1	0.00	1	-0.0079	1	0.0000	1	0.0047	1
1501 Min.	0.00	1	0.27	1	0.00	1	-0.0079	1	0.0000	1	0.0047	1
1601 Max	0.00	1	0.35	1	0.00	1	-0.0087	1	0.0000	1	0.0051	1
1601 Min.	0.00	1	0.35	1	0.00	1	-0.0087	1	0.0000	1	0.0051	1
1701 Max	0.00	1	0.44	1	0.00	1	-0.0092	1	0.0000	1	0.0055	1
1701 Min.	0.00	1	0.44	1	0.00	1	-0.0092	1	0.0000	1	0.0055	1
1801 Max	0.00	1	0.64	1	0.00	1	-0.0099	1	0.0000	1	0.0061	1

```

1801 Min. 0.00 1 0.64 1 0.00 1 -0.0099 1 0.0000 1 0.0061 1
1901 Max 0.04 1 0.74 1 0.05 1 -0.0099 1 0.0000 1 0.0081 1
1901 Min. 0.04 1 0.74 1 0.05 1 -0.0099 1 0.0000 1 0.0081 1

```

REAZIONI VINCOLARI

Simbologia

Nodo = Numero del nodo
 Rx = Reazione vincolare (forza) in dir. X
 CC = Numero della combinazione delle condizioni di carico elementari
 Ry = Reazione vincolare (forza) in dir. Y
 Rz = Reazione vincolare (forza) in dir. Z
 Mx = Reazione vincolare (momento) intorno all'asse X
 My = Reazione vincolare (momento) intorno all'asse Y
 Mz = Reazione vincolare (momento) intorno all'asse Z

Nodo	Rx <kg>	CC	Ry <kg>	CC	Rz <kg>	CC	Mx <kgm>	CC	My <kgm>	CC	Mz <kgm>	CC
3 Max	-0.14	1	-89.47	1	21.44	1	106.90	1	-4.50E-003	1	-1.76	1
3 Min.	-0.14	1	-89.47	1	21.44	1	106.90	1	-4.50E-003	1	-1.76	1
102 Max	-0.01	1	-108.17	1	13.61	1	108.67	1	0.00E+000	1	-1.86	1
102 Min.	-0.01	1	-108.17	1	13.61	1	108.67	1	0.00E+000	1	-1.86	1
401 Max	0.15	1	-102.36	1	21.23	1	109.58	1	5.61E-003	1	-1.64	1
401 Min.	0.15	1	-102.36	1	21.23	1	109.58	1	5.61E-003	1	-1.64	1

SOLLECITAZIONI ASTE

Simbologia

Asta = Numero dell'asta
 N1 = Nodo1
 N2 = Nodo2
 X = Coordinata progressiva rispetto al nodo iniziale
 N = Sforzo normale
 CC = Numero della combinazione delle condizioni di carico elementari
 Ty = Taglio in dir. Y
 Mz = Momento flettente intorno all'asse Z
 Tz = Taglio in dir. Z
 My = Momento flettente intorno all'asse Y
 Mx = Momento torcente intorno all'asse X

Asta	N1	N2	X <cm>	N <kg>	CC	Ty <kg>	CC	Mz <kgm>	CC	Tz <kg>	CC	My <kgm>	CC	Mx <kgm>	CC	
1	401	601	Max	0.00	-21.23	1	-102.36	1	109.58	1	-0.15	1	0.01	1	1.64	1
1	401	601	Max	10.00	-20.68	1	-102.36	1	99.34	1	-0.15	1	-0.01	1	1.64	1
1	401	601	Min.	0.00	-21.23	1	-102.36	1	109.58	1	-0.15	1	0.01	1	1.64	1
1	401	601	Min.	10.00	-20.68	1	-102.36	1	99.34	1	-0.15	1	-0.01	1	1.64	1
1	601	801	Max	0.00	-20.35	1	-102.05	1	99.38	1	-0.20	1	0.01	1	1.56	1
1	601	801	Max	10.00	-19.80	1	-102.05	1	89.17	1	-0.20	1	-0.01	1	1.56	1
1	601	801	Min.	0.00	-20.35	1	-102.05	1	99.38	1	-0.20	1	0.01	1	1.56	1
1	601	801	Min.	10.00	-19.80	1	-102.05	1	89.17	1	-0.20	1	-0.01	1	1.56	1
1	801	1001	Max	0.00	-19.50	1	-101.54	1	89.25	1	-0.20	1	0.01	1	1.44	1
1	801	1001	Max	10.00	-18.95	1	-101.54	1	79.10	1	-0.20	1	-0.01	1	1.44	1
1	801	1001	Min.	0.00	-19.50	1	-101.54	1	89.25	1	-0.20	1	0.01	1	1.44	1
1	801	1001	Min.	10.00	-18.95	1	-101.54	1	79.10	1	-0.20	1	-0.01	1	1.44	1
1	1001	1101	Max	0.00	-18.65	1	-100.93	1	79.20	1	-0.20	1	0.01	1	1.29	1
1	1001	1101	Max	10.00	-18.10	1	-100.93	1	69.11	1	-0.20	1	-0.01	1	1.29	1
1	1101	1301	Max	0.00	-17.80	1	-100.27	1	69.22	1	-0.20	1	0.01	1	1.13	1
1	1101	1301	Max	10.00	-17.25	1	-100.27	1	59.19	1	-0.20	1	-0.01	1	1.13	1
1	1101	1301	Min.	0.00	-17.80	1	-100.27	1	69.22	1	-0.20	1	0.01	1	1.13	1
1	1101	1301	Min.	10.00	-17.25	1	-100.27	1	59.19	1	-0.20	1	-0.01	1	1.13	1
1	1301	1501	Max	0.00	-16.95	1	-99.61	1	59.31	1	-0.20	1	0.01	1	0.95	1
1	1301	1501	Max	10.00	-16.40	1	-99.61	1	49.35	1	-0.20	1	-0.01	1	0.95	1
1	1301	1501	Min.	0.00	-16.95	1	-99.61	1	59.31	1	-0.20	1	0.01	1	0.95	1
1	1301	1501	Min.	10.00	-16.40	1	-99.61	1	49.35	1	-0.20	1	-0.01	1	0.95	1
1	1501	1601	Max	0.00	-16.11	1	-98.99	1	49.45	1	-0.19	1	0.01	1	0.78	1
1	1501	1601	Max	10.00	-15.56	1	-98.99	1	39.55	1	-0.19	1	-0.01	1	0.78	1
1	1501	1601	Min.	0.00	-16.11	1	-98.99	1	49.45	1	-0.19	1	0.01	1	0.78	1

1	1501	1601	Min.	10.00	-15.56	1	-98.99	1	39.55	1	-0.19	1	-0.01	1	0.78	1
1	1601	1701	Max	0.00	-15.24	1	-98.47	1	39.66	1	-0.22	1	0.01	1	0.63	1
1	1601	1701	Max	10.00	-14.69	1	-98.47	1	29.81	1	-0.22	1	-0.01	1	0.63	1
1	1601	1701	Min.	0.00	-15.24	1	-98.47	1	39.66	1	-0.22	1	0.01	1	0.63	1
1	1601	1701	Min.	10.00	-14.69	1	-98.47	1	29.81	1	-0.22	1	-0.01	1	0.63	1
1	1701	1	Max	0.00	-14.32	1	-98.13	1	29.90	1	-0.30	1	0.01	1	0.52	1
1	1701	1	Max	10.00	-13.77	1	-98.13	1	20.09	1	-0.30	1	-0.02	1	0.52	1
1	1701	1	Min.	0.00	-14.32	1	-98.13	1	29.90	1	-0.30	1	0.01	1	0.52	1
1	1701	1	Min.	10.00	-13.77	1	-98.13	1	20.09	1	-0.30	1	-0.02	1	0.52	1
1	1	1801	Max	0.00	-14.43	1	-98.07	1	20.15	1	1.06	1	0.00	1	0.46	1
1	1	1801	Max	10.00	-13.88	1	-98.07	1	10.34	1	1.06	1	0.11	1	0.46	1
1	1	1801	Min.	0.00	-14.43	1	-98.07	1	20.15	1	1.06	1	0.00	1	0.46	1
1	1	1801	Min.	10.00	-13.88	1	-98.07	1	10.34	1	1.06	1	0.11	1	0.46	1
2	102	202	Max	0.00	-13.61	1	-108.17	1	108.67	1	0.01	1	0.00	1	1.86	1
2	102	202	Max	10.00	-13.06	1	-108.17	1	97.85	1	0.01	1	0.00	1	1.86	1
2	102	202	Min.	0.00	-13.61	1	-108.17	1	108.67	1	0.01	1	0.00	1	1.86	1
2	102	202	Min.	10.00	-13.06	1	-108.17	1	97.85	1	0.01	1	0.00	1	1.86	1
2	202	302	Max	0.00	-12.44	1	-108.25	1	97.93	1	-0.00	1	0.00	1	1.76	1
2	202	302	Max	10.00	-11.89	1	-108.25	1	87.11	1	-0.00	1	0.00	1	1.76	1
2	202	302	Min.	0.00	-12.44	1	-108.25	1	97.93	1	-0.00	1	0.00	1	1.76	1
2	202	302	Min.	10.00	-11.89	1	-108.25	1	87.11	1	-0.00	1	0.00	1	1.76	1
2	302	502	Max	0.00	-11.29	1	-108.39	1	87.23	1	0.00	1	0.00	1	1.61	1
2	302	502	Max	10.00	-10.74	1	-108.39	1	76.39	1	0.00	1	0.00	1	1.61	1
2	302	502	Min.	0.00	-11.29	1	-108.39	1	87.23	1	0.00	1	0.00	1	1.61	1
2	302	502	Min.	10.00	-10.74	1	-108.39	1	76.39	1	0.00	1	0.00	1	1.61	1
2	502	702	Max	0.00	-10.13	1	-108.58	1	76.53	1	0.00	1	0.00	1	1.43	1
2	502	702	Max	10.00	-9.58	1	-108.58	1	65.67	1	0.00	1	0.00	1	1.43	1
2	502	702	Min.	0.00	-10.13	1	-108.58	1	76.53	1	0.00	1	0.00	1	1.43	1
2	502	702	Min.	10.00	-9.58	1	-108.58	1	65.67	1	0.00	1	0.00	1	1.43	1
2	702	902	Max	0.00	-8.97	1	-108.80	1	65.81	1	-0.00	1	0.00	1	1.24	1
2	702	902	Max	10.00	-8.42	1	-108.80	1	54.93	1	-0.00	1	0.00	1	1.24	1
2	702	902	Min.	0.00	-8.97	1	-108.80	1	65.81	1	-0.00	1	0.00	1	1.24	1
2	702	902	Min.	10.00	-8.42	1	-108.80	1	54.93	1	-0.00	1	0.00	1	1.24	1
2	902	2	Max	0.00	-7.80	1	-109.00	1	55.06	1	-0.00	1	0.00	1	1.04	1
2	902	2	Max	10.00	-7.25	1	-109.00	1	44.16	1	-0.00	1	0.00	1	1.04	1
2	902	2	Min.	0.00	-7.80	1	-109.00	1	55.06	1	-0.00	1	0.00	1	1.04	1
2	902	2	Min.	10.00	-7.25	1	-109.00	1	44.16	1	-0.00	1	0.00	1	1.04	1
2	2	-10	Max	0.00	-6.64	1	-109.16	1	44.27	1	-0.00	1	0.00	1	0.84	1
2	2	-10	Max	10.00	-6.09	1	-109.16	1	33.35	1	-0.00	1	0.00	1	0.84	1
2	2	-10	Min.	0.00	-6.64	1	-109.16	1	44.27	1	-0.00	1	0.00	1	0.84	1
2	2	-10	Min.	10.00	-6.09	1	-109.16	1	33.35	1	-0.00	1	0.00	1	0.84	1
2	-10	-11	Max	0.00	-5.47	1	-109.23	1	33.43	1	-0.01	1	0.00	1	0.66	1
2	-10	-11	Max	10.00	-4.92	1	-109.23	1	22.51	1	-0.01	1	0.00	1	0.66	1
2	-10	-11	Min.	0.00	-5.47	1	-109.23	1	33.43	1	-0.01	1	0.00	1	0.66	1
2	-10	-11	Min.	10.00	-4.92	1	-109.23	1	22.51	1	-0.01	1	0.00	1	0.66	1
2	-11	-12	Max	0.00	-4.36	1	-109.11	1	22.55	1	0.06	1	0.00	1	0.49	1
2	-11	-12	Max	10.00	-3.81	1	-109.11	1	11.64	1	0.06	1	0.01	1	0.49	1
2	-11	-12	Min.	0.00	-4.36	1	-109.11	1	22.55	1	0.06	1	0.00	1	0.49	1
2	-11	-12	Min.	10.00	-3.81	1	-109.11	1	11.64	1	0.06	1	0.01	1	0.49	1
2	-12	-13	Max	0.00	-2.83	1	-108.74	1	11.60	1	-0.44	1	0.02	1	0.35	1
2	-12	-13	Max	10.00	-2.28	1	-108.74	1	0.73	1	-0.44	1	-0.03	1	0.35	1
2	-12	-13	Min.	0.00	-2.83	1	-108.74	1	11.60	1	-0.44	1	0.02	1	0.35	1
2	-12	-13	Min.	10.00	-2.28	1	-108.74	1	0.73	1	-0.44	1	-0.03	1	0.35	1
3	3	-1	Max	0.00	-21.44	1	-89.47	1	106.90	1	0.14	1	-0.00	1	1.76	1
3	3	-1	Max	10.00	-20.89	1	-89.47	1	97.95	1	0.14	1	0.01	1	1.76	1
3	3	-1	Min.	0.00	-21.44	1	-89.47	1	106.90	1	0.14	1	-0.00	1	1.76	1
3	3	-1	Min.	10.00	-20.89	1	-89.47	1	97.95	1	0.14	1	0.01	1	1.76	1
3	-1	-2	Max	0.00	-20.64	1	-89.71	1	97.98	1	0.21	1	-0.01	1	1.71	1
3	-1	-2	Max	10.00	-20.09	1	-89.71	1	89.01	1	0.21	1	0.01	1	1.71	1
3	-1	-2	Min.	0.00	-20.64	1	-89.71	1	97.98	1	0.21	1	-0.01	1	1.71	1
3	-1	-2	Min.	10.00	-20.09	1	-89.71	1	89.01	1	0.21	1	0.01	1	1.71	1
3	-2	-3	Max	0.00	-19.78	1	-90.06	1	89.06	1	0.20	1	-0.01	1	1.63	1
3	-2	-3	Max	10.00	-19.23	1	-90.06	1	80.05	1	0.20	1	0.01	1	1.63	1
3	-2	-3	Min.	0.00	-19.78	1	-90.06	1	89.06	1	0.20	1	-0.01	1	1.63	1
3	-2	-3	Min.	10.00	-19.23	1	-90.06	1	80.05	1	0.20	1	0.01	1	1.63	1
3	-3	-4	Max	0.00	-18.93	1	-90.49	1	80.12	1	0.20	1	-0.01	1	1.53	1
3	-3	-4	Max	10.00	-18.38	1	-90.49	1	71.07	1	0.20	1	0.01	1	1.53	1
3	-3	-4	Min.	0.00	-18.93	1	-90.49	1	80.12	1	0.20	1	-0.01	1	1.53	1
3	-3	-4	Min.	10.00	-18.38	1	-90.49	1	71.07	1	0.20	1	0.01	1	1.53	1
3	-4	-5	Max	0.00	-18.08	1	-90.94	1	71.14	1	0.20	1	-0.01	1	1.44	1
3	-4	-5	Max	10.00	-17.53	1	-90.94	1	62.05	1	0.20	1	0.01	1	1.44	1
3	-4	-5	Min.	0.00	-18.08	1	-90.94	1	62.05	1	0.20	1	0.01	1	1.44	1

3	-5	-6	Max	0.00	-17.23	1	-91.39	1	62.13	1	0.20	1	-0.01	1	1.35	1
3	-5	-6	Max	10.00	-16.68	1	-91.39	1	52.99	1	0.20	1	0.01	1	1.35	1
3	-5	-6	Min.	0.00	-17.23	1	-91.39	1	62.13	1	0.20	1	-0.01	1	1.35	1
3	-5	-6	Min.	10.00	-16.68	1	-91.39	1	52.99	1	0.20	1	0.01	1	1.35	1
3	-6	-7	Max	0.00	-16.39	1	-91.85	1	53.07	1	0.20	1	-0.01	1	1.28	1
3	-6	-7	Max	10.00	-15.84	1	-91.85	1	43.88	1	0.20	1	0.01	1	1.28	1
3	-6	-7	Min.	0.00	-16.39	1	-91.85	1	53.07	1	0.20	1	-0.01	1	1.28	1
3	-6	-7	Min.	10.00	-15.84	1	-91.85	1	43.88	1	0.20	1	0.01	1	1.28	1
3	-7	-8	Max	0.00	-15.57	1	-92.31	1	43.99	1	0.23	1	-0.01	1	1.22	1
3	-7	-8	Max	10.00	-15.02	1	-92.31	1	34.76	1	0.23	1	0.01	1	1.22	1
3	-7	-8	Min.	0.00	-15.57	1	-92.31	1	43.99	1	0.23	1	-0.01	1	1.22	1
3	-7	-8	Min.	10.00	-15.02	1	-92.31	1	34.76	1	0.23	1	0.01	1	1.22	1
3	-8	-9	Max	0.00	-14.74	1	-92.75	1	34.87	1	0.25	1	-0.00	1	1.19	1
3	-8	-9	Max	10.00	-14.19	1	-92.75	1	25.59	1	0.25	1	0.02	1	1.19	1
3	-8	-9	Min.	0.00	-14.74	1	-92.75	1	34.87	1	0.25	1	-0.00	1	1.19	1
3	-8	-9	Min.	10.00	-14.19	1	-92.75	1	25.59	1	0.25	1	0.02	1	1.19	1
3	-9	1203	Max	0.00	-13.31	1	-93.20	1	25.71	1	-0.63	1	0.01	1	1.19	1
3	-9	1203	Max	10.00	-12.76	1	-93.20	1	16.39	1	-0.63	1	-0.06	1	1.19	1
3	-9	1203	Min.	0.00	-13.31	1	-93.20	1	25.71	1	-0.63	1	0.01	1	1.19	1
3	-9	1203	Min.	10.00	-12.76	1	-93.20	1	16.39	1	-0.63	1	-0.06	1	1.19	1
602	601	202	Max	0.00	0.24	1	-0.31	1	0.09	1	0.24	1	-0.02	1	-0.00	1
602	601	202	Max	23.75					0.01	1			0.01	1		
602	601	202	Max	50.00	-0.11	1	-0.31	1	-0.07	1	-0.25	1	-0.02	1	-0.00	1
602	601	202	Min.	0.00	0.24	1	-0.31	1	0.09	1	0.24	1	-0.02	1	-0.00	1
602	601	202	Min.	23.75					0.01	1			0.01	1		
602	601	202	Min.	50.00	-0.11	1	-0.31	1	-0.07	1	-0.25	1	-0.02	1	-0.00	1
602	202	-1	Max	0.00	0.26	1	-0.24	1	0.06	1	0.25	1	-0.02	1	0.00	1
602	202	-1	Max	25.00					-0.00	1			0.01	1		
602	202	-1	Max	50.00	-0.09	1	-0.24	1	-0.06	1	-0.24	1	-0.02	1	0.00	1
602	202	-1	Min.	0.00	0.26	1	-0.24	1	0.06	1	0.25	1	-0.02	1	0.00	1
602	202	-1	Min.	25.00					-0.00	1			0.01	1		
602	202	-1	Min.	50.00	-0.09	1	-0.24	1	-0.06	1	-0.24	1	-0.02	1	0.00	1
802	801	302	Max	0.00	0.17	1	-0.50	1	0.14	1	0.24	1	-0.02	1	-0.01	1
802	801	302	Max	23.75					0.02	1			0.01	1		
802	801	302	Max	50.00	-0.18	1	-0.50	1	-0.11	1	-0.25	1	-0.02	1	-0.01	1
802	801	302	Min.	0.00	0.17	1	-0.50	1	0.14	1	0.24	1	-0.02	1	-0.01	1
802	801	302	Min.	23.75					0.02	1			0.01	1		
802	801	302	Min.	50.00	-0.18	1	-0.50	1	-0.11	1	-0.25	1	-0.02	1	-0.01	1
802	302	-2	Max	0.00	0.17	1	-0.36	1	0.08	1	0.25	1	-0.02	1	0.00	1
802	302	-2	Max	25.00					-0.01	1			0.01	1		
802	302	-2	Max	50.00	-0.18	1	-0.36	1	-0.10	1	-0.24	1	-0.02	1	0.00	1
802	302	-2	Min.	0.00	0.17	1	-0.36	1	0.08	1	0.25	1	-0.02	1	0.00	1
802	302	-2	Min.	25.00					-0.01	1			0.01	1		
802	302	-2	Min.	50.00	-0.18	1	-0.36	1	-0.10	1	-0.24	1	-0.02	1	0.00	1
902	1001	502	Max	0.00	0.17	1	-0.61	1	0.18	1	0.24	1	-0.02	1	-0.01	1
902	1001	502	Max	23.75					0.04	1			0.01	1		
902	1001	502	Max	50.00	-0.18	1	-0.61	1	-0.12	1	-0.25	1	-0.02	1	-0.01	1
902	1001	502	Min.	0.00	0.17	1	-0.61	1	0.18	1	0.24	1	-0.02	1	-0.01	1
902	1001	502	Min.	23.75					0.04	1			0.01	1		
902	1001	502	Min.	50.00	-0.18	1	-0.61	1	-0.12	1	-0.25	1	-0.02	1	-0.01	1
902	502	-3	Max	0.00	0.17	1	-0.42	1	0.10	1	0.25	1	-0.02	1	0.00	1
902	502	-3	Max	25.00					-0.01	1			0.01	1		
902	502	-3	Max	50.00	-0.18	1	-0.42	1	-0.11	1	-0.24	1	-0.02	1	0.00	1
902	502	-3	Min.	0.00	0.17	1	-0.42	1	0.10	1	0.25	1	-0.02	1	0.00	1
902	502	-3	Min.	25.00					-0.01	1			0.01	1		
902	502	-3	Min.	50.00	-0.18	1	-0.42	1	-0.11	1	-0.24	1	-0.02	1	0.00	1
1002	1101	702	Max	0.00	0.17	1	-0.67	1	0.20	1	0.24	1	-0.02	1	-0.01	1
1002	1101	702	Max	23.75					0.04	1			0.01	1		
1002	1101	702	Max	50.00	-0.18	1	-0.67	1	-0.13	1	-0.25	1	-0.02	1	-0.01	1
1002	1101	702	Min.	0.00	0.17	1	-0.67	1	0.20	1	0.24	1	-0.02	1	-0.01	1
1002	1101	702	Min.	23.75					0.04	1			0.01	1		
1002	1101	702	Min.	50.00	-0.18	1	-0.67	1	-0.13	1	-0.25	1	-0.02	1	-0.01	1
1002	702	-4	Max	0.00	0.18	1	-0.44	1	0.10	1	0.25	1	-0.02	1	-0.01	1
1002	702	-4	Max	25.00					-0.01	1			0.01	1		
1002	702	-4	Max	50.00	-0.17	1	-0.44	1	-0.12	1	-0.24	1	-0.02	1	-0.01	1
1002	702	-4	Min.	0.00	0.18	1	-0.44	1	0.10	1	0.25	1	-0.02	1	-0.01	1
1002	702	-4	Min.	25.00					-0.01	1			0.01	1		
1002	702	-4	Min.	50.00	-0.17	1	-0.44	1	-0.12	1	-0.24	1	-0.02	1	-0.01	1
1202	1301	902	Max	0.00	0.17	1	-0.66	1	0.21	1	0.24	1	-0.02	1	-0.01	1
1202	1301	902	Max	25.00					0.04	1			0.01	1		
1202	1301	902	Max	50.00	-0.18	1	-0.66	1	-0.12	1	-0.25	1	-0.02	1	-0.01	1
1202	1301	902	Min.	0.00	0.17	1	-0.66	1	0.21	1	0.24	1	-0.02	1	-0.01	1
1202	1301	902	Min.	25.00					0.04	1			0.01	1		

1202	1301	902	Min.	50.00	-0.18	1	-0.66	1	-0.12	1	-0.25	1	-0.02	1	-0.01	1
1202	902	-5	Max	0.00	0.18	1	-0.46	1	0.11	1	0.25	1	-0.02	1	-0.01	1
1202	902	-5	Max	25.00					-0.00	1			0.01	1		
1202	902	-5	Max	50.00	-0.17	1	-0.46	1	-0.12	1	-0.24	1	-0.02	1	-0.01	1
1202	902	-5	Min.	0.00	0.18	1	-0.46	1	0.11	1	0.25	1	-0.02	1	-0.01	1
1202	902	-5	Min.	25.00					-0.00	1			0.01	1		
1202	902	-5	Min.	50.00	-0.17	1	-0.46	1	-0.12	1	-0.24	1	-0.02	1	-0.01	1
1304	1203	1401	Max	0.00	-77.17	1	-128.39	1	19.72	1	-0.31	1	0.92	1	-2.17	1
1304	1203	1401	Max	11.18	-76.62	1	-128.66	1	5.35	1	-0.31	1	0.89	1	-2.17	1
1304	1203	1401	Min.	0.00	-77.17	1	-128.39	1	19.72	1	-0.31	1	0.92	1	-2.17	1
1304	1203	1401	Min.	11.18	-76.62	1	-128.66	1	5.35	1	-0.31	1	0.89	1	-2.17	1
1402	1501	2	Max	0.00	0.16	1	-0.62	1	0.20	1	0.24	1	-0.02	1	-0.00	1
1402	1501	2	Max	25.00					0.04	1			0.01	1		
1402	1501	2	Max	50.00	-0.18	1	-0.62	1	-0.11	1	-0.25	1	-0.02	1	-0.00	1
1402	1501	2	Min.	0.00	0.16	1	-0.62	1	0.20	1	0.24	1	-0.02	1	-0.00	1
1402	1501	2	Min.	25.00					0.04	1			0.01	1		
1402	1501	2	Min.	50.00	-0.18	1	-0.62	1	-0.11	1	-0.25	1	-0.02	1	-0.00	1
1402	2	-6	Max	0.00	0.18	1	-0.46	1	0.12	1	0.25	1	-0.02	1	-0.03	1
1402	2	-6	Max	25.00					0.01	1			0.01	1		
1402	2	-6	Max	50.00	-0.17	1	-0.46	1	-0.11	1	-0.24	1	-0.02	1	-0.03	1
1402	2	-6	Min.	0.00	0.18	1	-0.46	1	0.12	1	0.25	1	-0.02	1	-0.03	1
1402	2	-6	Min.	25.00					0.01	1			0.01	1		
1402	2	-6	Min.	50.00	-0.17	1	-0.46	1	-0.11	1	-0.24	1	-0.02	1	-0.03	1
1502	1601	-10	Max	0.00	0.21	1	-0.51	1	0.18	1	0.24	1	-0.02	1	-0.00	1
1502	1601	-10	Max	25.00					0.05	1			0.01	1		
1502	1601	-10	Max	50.00	-0.14	1	-0.51	1	-0.08	1	-0.25	1	-0.02	1	-0.00	1
1502	1601	-10	Min.	0.00	0.21	1	-0.51	1	0.18	1	0.24	1	-0.02	1	-0.00	1
1502	1601	-10	Min.	25.00					0.05	1			0.01	1		
1502	1601	-10	Min.	50.00	-0.14	1	-0.51	1	-0.08	1	-0.25	1	-0.02	1	-0.00	1
1502	-10	-7	Max	0.00	0.22	1	-0.46	1	0.12	1	0.25	1	-0.02	1	-0.04	1
1502	-10	-7	Max	26.25					0.00	1			0.01	1		
1502	-10	-7	Max	50.00	-0.12	1	-0.46	1	-0.11	1	-0.24	1	-0.02	1	-0.04	1
1502	-10	-7	Min.	0.00	0.22	1	-0.46	1	0.12	1	0.25	1	-0.02	1	-0.04	1
1502	-10	-7	Min.	26.25					0.00	1			0.01	1		
1502	-10	-7	Min.	50.00	-0.12	1	-0.46	1	-0.11	1	-0.24	1	-0.02	1	-0.04	1
1602	1801	-13	Max	0.00	1.80	1	52.59	1	-2.90	1	1.25	1	-0.14	1	0.12	1
1602	1801	-13	Max	27.50					11.56	1			0.04	1		
1602	1801	-13	Max	50.00	0.21	1	52.59	1	23.39	1	-0.99	1	-0.07	1	0.12	1
1602	1801	-13	Min.	0.00	1.80	1	52.59	1	-2.90	1	1.25	1	-0.14	1	0.12	1
1602	1801	-13	Min.	27.50					11.56	1			0.04	1		
1602	1801	-13	Min.	50.00	0.21	1	52.59	1	23.39	1	-0.99	1	-0.07	1	0.12	1
1602	-13	1203	Max	0.00	1.18	1	-56.15	1	23.25	1	1.13	1	-0.10	1	-0.68	1
1602	-13	1203	Max	25.00					9.22	1			0.04	1		
1602	-13	1203	Max	50.00	-0.41	1	-56.15	1	-4.82	1	-1.12	1	-0.09	1	-0.68	1
1602	-13	1203	Min.	0.00	1.18	1	-56.15	1	23.25	1	1.13	1	-0.10	1	-0.68	1
1602	-13	1203	Min.	25.00					9.22	1			0.04	1		
1602	-13	1203	Min.	50.00	-0.41	1	-56.15	1	-4.82	1	-1.12	1	-0.09	1	-0.68	1
1701	1901	1401	Max	0.00	6.72	1	-150.66	1	5.66	1	8.97	1	0.27	1	3.02	1
1701	1901	1401	Max	50.00					-32.17	1			2.49	1		
1701	1901	1401	Max	100.00	-6.09	1	149.35	1	5.00	1	-9.16	1	0.17	1	3.02	1
1701	1901	1401	Min.	0.00	6.72	1	-150.66	1	5.66	1	8.97	1	0.27	1	3.02	1
1701	1901	1401	Min.	50.00					-32.17	1			2.49	1		
1701	1901	1401	Min.	100.00	-6.09	1	149.35	1	5.00	1	-9.16	1	0.17	1	3.02	1
1703	1801	1901	Max	0.00	-77.95	1	-129.46	1	8.76	1	0.31	1	-1.08	1	2.70	1
1703	1801	1901	Max	11.18	-77.40	1	-129.74	1	-5.73	1	0.31	1	-1.04	1	2.70	1
1703	1801	1901	Min.	0.00	-77.95	1	-129.46	1	8.76	1	0.31	1	-1.08	1	2.70	1
1703	1801	1901	Min.	11.18	-77.40	1	-129.74	1	-5.73	1	0.31	1	-1.04	1	2.70	1
1902	1	-12	Max	0.00	-1.49	1	-0.06	1	0.08	1	0.25	1	-0.02	1	0.01	1
1902	1	-12	Max	25.00					0.07	1			0.01	1		
1902	1	-12	Max	50.00	-1.84	1	-0.06	1	0.05	1	-0.25	1	-0.02	1	0.01	1
1902	1	-12	Min.	0.00	-1.49	1	-0.06	1	0.08	1	0.25	1	-0.02	1	0.01	1
1902	1	-12	Min.	25.00					0.07	1			0.01	1		
1902	1	-12	Min.	50.00	-1.84	1	-0.06	1	0.05	1	-0.25	1	-0.02	1	0.01	1
1902	-12	-9	Max	0.00	-0.88	1	-0.43	1	0.15	1	0.27	1	-0.03	1	-0.09	1
1902	-12	-9	Max	27.50					0.03	1			0.01	1		
1902	-12	-9	Max	50.00	-1.23	1	-0.43	1	-0.07	1	-0.22	1	-0.01	1	-0.09	1
1902	-12	-9	Min.	0.00	-0.88	1	-0.43	1	0.15	1	0.27	1	-0.03	1	-0.09	1
1902	-12	-9	Min.	27.50					0.03	1			0.01	1		
1902	-12	-9	Min.	50.00	-1.23	1	-0.43	1	-0.07	1	-0.22	1	-0.01	1	-0.09	1
1906	1701	-11	Max	0.00	0.28	1	-0.34	1	0.15	1	0.25	1	-0.02	1	0.00	1
1906	1701	-11	Max	25.00					0.06	1			0.01	1		
1906	1701	-11	Max	50.00	-0.07	1	-0.34	1	-0.02	1	-0.25	1	-0.02	1	0.00	1
1906	1701	-11	Min.	0.00	0.28	1	-0.34	1	0.15	1	0.25	1	-0.02	1	0.00	1

1906	1701	-11	Min.	25.00			0.06	1	0.01	1						
1906	1701	-11	Min.	50.00	-0.07	1	-0.34	1	-0.02	1	-0.25	1	-0.02	1	0.00	1
1906	-11	-8	Max	0.00	0.20	1	-0.46	1	0.14	1	0.26	1	-0.02	1	-0.07	1
1906	-11	-8	Max	26.25					0.02	1			0.01	1		
1906	-11	-8	Max	50.00	-0.15	1	-0.46	1	-0.09	1	-0.24	1	-0.02	1	-0.07	1
1906	-11	-8	Min.	0.00	0.20	1	-0.46	1	0.14	1	0.26	1	-0.02	1	-0.07	1
1906	-11	-8	Min.	26.25					0.02	1			0.01	1		
1906	-11	-8	Min.	50.00	-0.15	1	-0.46	1	-0.09	1	-0.24	1	-0.02	1	-0.07	1

ASTE IN ACCIAIO

Generali

Numero punti interni per controllo Sigma	15
Numero CC da considerare di tipo I	99
Sigma max amm. senza verifiche di stabilità <%>	2.0
Verifiche da riportare in relazione	Tutte

Specifici

	1
Tipo di acciaio	FE360
Rapporto fra area effettiva e area nominale	1.0
Rapporto fra area netta e area nominale	1.0
Coeff. di forma intorno all'asse Y	1.0
Coeff. di forma intorno all'asse Z	1.0
Valutare la tau per torsione nei punti di spigolo	Si
Riduzione lunghezza libera d'inflessione	
-Distanza fra i nodi dell'asta	x
-Distanza ridotta delle zone rigide moltiplicate per il valore	
Verifiche di stabilità globale in dir. Y locale	Si
-Coeff. Beta intorno all'asse Y	1.0
Verifiche di stabilità globale in dir. Z locale	Si
-Coeff. Beta intorno all'asse Z	1.0
Tipo di accoppiamento aste composte	
-Separate	
-Calastrellate	
-Imbottite	
-Automatico	x
Calcolo momento medio usando valori assoluti	Si
Interasse calastrelli o imbottiture	
-Distanza pari a <m>	
-Interasse da normativa moltiplicato per il valore	0.80
-Aste rigidamente collegate	
Aste laminate	Si
Verifiche di stabilità laterale	Si
-Coeff. per calcolo interasse ritegni torsionali	1.0
Eseguire anche le verifiche al punto 7.3.2	Si
Carichi sull'estradosso	Si
Numeri irrigidimenti orizzontali anima	0
Interasse irrigidimenti verticali anima	
-Numero di suddivisioni	
-Distanza non inferiore a <cm>	
-Pari alla lunghezza dell'asta	x
Modalità di calcolo Sigma cr,id	
-Normativa	
-Massonet	x
-Ballio	
Massimo numero aste costituenti unica membratura	1
Sforzo normale di verifica	
-Massimo valore fra tutte le aste	x
-Media aritmetica dei valori di tutte le aste	
-Media pesata di tutte le aste	
Contributo eventuali sforzi di trazione	No
Verifica nei piani principali	Si
Incremento snellezza	Si
Verifiche di stabilità globale in dir. Y locale	Si
-Coeff. Beta calcolato in funzione dello sforzo normale	
-Coeff. Beta	1.0
Verifiche di stabilità globale in dir. Z locale	Si
-Coeff. Beta calcolato in funzione dello sforzo normale	
-Coeff. Beta	1.0

VERIFICA ASTE IN ACCIAIO

Simbologia

CARATTERISTICHE PROFILATI UTILIZZATI

Sez.	= Numero della sezione
Cod.	= Codice della sezione
Tipos	= tipo di sezione:
I	= I
L	= L
C	= C
T	= T
R	= Rettangolare
Om.	= Omega
Cir.	= Circolare
Cir.c	= Circolare cava
Rc	= Rettangolare cava
2C	= Doppia C lato labbri
2Cdx	= Doppia C lato costola
2I	= Doppia I
2L	= Doppia L lato labbri
2Ldx	= Doppia L lato costole
D	= distanza fra le sezioni
Area, Anet, Aeff	= area, area netta (per compressione), area effettiva (per trazione)
J _y , J _z , J _c , J _e	= momenti d'inerzia intorno agli assi Y, Z, Csi e Eta locali
I _y , I _z , I _c , I _e	= raggi d'inerzia intorno agli assi Y, Z, Csi e Eta locali
w _y , w _z , w _c , w _e min	= moduli di resistenza intorno agli assi Y, Z, Csi e Eta locali

VERIFICHE DI RESISTENZA

x _l	= Coordinata progressiva (dal nodo iniziale dell'asta) in cui viene effettuato il progetto/verifica <m>
N	= sforzo normale <kg>
M _y , M _z	= momenti flettenti intorno agli assi Y e Z <kgm>
T _y , T _z	= tagli in direzione Y e Z <kg>
M _x	= momento torcente <kgm>
M _c , M _e	= momenti flettenti intorno agli assi principali Csi e Eta <kgm>
σ _N , σ _M	= tensione per sforzo normale e per momento flettente <kg/cm ² >
τ	= tensione per taglio e/o torsione <kg/cm ² >
σ _{ID, max}	= tensione ideale massima <kg/cm ² >

CARATTERISTICHE PROFILATI UTILIZZATI

Sez.	Cod.	Tipos	D	Area	Anet	Aeff	J _y	J _z	I _y	I _z	Wymin	Wzmin
3	Piatto 70x10 mm	R		7.00	7.00	7.00	0.58	28.58	0.29	2.02	1.17	8.17
4	Tubolare Ø14 mm	Cir.		1.54	1.54	1.54	0.19	0.19	0.35	0.35	0.27	0.27
5	Corrimano Ø60 mm	Cir.		28.27	28.27	28.27	63.62	63.62	1.50	1.50	21.21	21.21

Asta n. 1 (401 601) Piatto 70x10 mm Crit. 1

- Verifica σ_{max} - CC 1 Xl=0.00

Sollecitazioni: N=-21.23 T_z=-0.15 M_y=0.01 T_y=-102.36 M_z=109.58 M_x=1.64

Tensioni: σ_N=-3.03 σ_M=-1342.28 τ=67.21 σ_{max}=-1345.31

- Verifica τ_{max} - CC 1 Xl=0.00

Sollecitazioni: N=-21.23 T_z=-0.15 M_y=0.01 T_y=-102.36 M_z=109.58 M_x=1.64

Tensioni: σ_N=-3.03 σ_M=0.48 τ=98.25 τ_{max}=98.25

- Verifica σ_{ID, max} - CC 1 Xl=0.00

Sollecitazioni: N=-21.23 T_z=-0.15 M_y=0.01 T_y=-102.36 M_z=109.58 M_x=1.64

Tensioni: σ_N=-3.03 σ_M=-1342.28 τ=67.21 σ_{ID, max}=1350.34

Asta n. 1 (601 801) Piatto 70x10 mm Crit. 1

- Verifica σ_{max} - CC 1 Xl=0.00

Sollecitazioni: N=-20.35 T_z=-0.20 M_y=0.01 T_y=-102.05 M_z=99.38 M_x=1.56

Tensioni: $\sigma_N = -2.91$ $\sigma_M = -1217.81$ $\tau = 63.93$ $\sigma_{max} = -1220.71$

- Verifica τ_{max} - CC 1 Xl=0.00
Sollecitazioni: N=-20.35 Tz=-0.20 My=0.01 Ty=-102.05 Mz=99.38 Mx=1.56
Tensioni: $\sigma_N = -2.91$ $\sigma_M = 0.91$ $\tau = 94.46$ $\tau_{max} = 94.46$
- Verifica $\sigma_{ID,max}$ - CC 1 Xl=0.00
Sollecitazioni: N=-20.35 Tz=-0.20 My=0.01 Ty=-102.05 Mz=99.38 Mx=1.56
Tensioni: $\sigma_N = -2.91$ $\sigma_M = -1217.81$ $\tau = 63.93$ $\sigma_{ID,max} = 1225.73$

Asta n. 1 (801 1001) Piatto 70x10 mm Crit. 1

-
- Verifica σ_{max} - CC 1 Xl=0.00
Sollecitazioni: N=-19.50 Tz=-0.20 My=0.01 Ty=-101.54 Mz=89.25 Mx=1.44
Tensioni: $\sigma_N = -2.79$ $\sigma_M = -1093.73$ $\tau = 59.01$ $\sigma_{max} = -1096.52$
 - Verifica τ_{max} - CC 1 Xl=0.00
Sollecitazioni: N=-19.50 Tz=-0.20 My=0.01 Ty=-101.54 Mz=89.25 Mx=1.44
Tensioni: $\sigma_N = -2.79$ $\sigma_M = 0.88$ $\tau = 88.76$ $\tau_{max} = 88.76$
 - Verifica $\sigma_{ID,max}$ - CC 1 Xl=0.00
Sollecitazioni: N=-19.50 Tz=-0.20 My=0.01 Ty=-101.54 Mz=89.25 Mx=1.44
Tensioni: $\sigma_N = -2.79$ $\sigma_M = -1093.73$ $\tau = 59.01$ $\sigma_{ID,max} = 1101.27$

Asta n. 1 (1001 1101) Piatto 70x10 mm Crit. 1

-
- Verifica σ_{max} - CC 1 Xl=0.00
Sollecitazioni: N=-18.65 Tz=-0.20 My=0.01 Ty=-100.93 Mz=79.20 Mx=1.29
Tensioni: $\sigma_N = -2.66$ $\sigma_M = -970.66$ $\tau = 52.87$ $\sigma_{max} = -973.32$
 - Verifica τ_{max} - CC 1 Xl=0.00
Sollecitazioni: N=-18.65 Tz=-0.20 My=0.01 Ty=-100.93 Mz=79.20 Mx=1.29
Tensioni: $\sigma_N = -2.66$ $\sigma_M = 0.86$ $\tau = 81.66$ $\tau_{max} = 81.66$
 - Verifica $\sigma_{ID,max}$ - CC 1 Xl=0.00
Sollecitazioni: N=-18.65 Tz=-0.20 My=0.01 Ty=-100.93 Mz=79.20 Mx=1.29
Tensioni: $\sigma_N = -2.66$ $\sigma_M = -970.66$ $\tau = 52.87$ $\sigma_{ID,max} = 977.62$

Asta n. 1 (1101 1301) Piatto 70x10 mm Crit. 1

-
- Verifica σ_{max} - CC 1 Xl=0.00
Sollecitazioni: N=-17.80 Tz=-0.20 My=0.01 Ty=-100.27 Mz=69.22 Mx=1.13
Tensioni: $\sigma_N = -2.54$ $\sigma_M = -848.46$ $\tau = 46.33$ $\sigma_{max} = -851.01$
 - Verifica τ_{max} - CC 1 Xl=0.00
Sollecitazioni: N=-17.80 Tz=-0.20 My=0.01 Ty=-100.27 Mz=69.22 Mx=1.13
Tensioni: $\sigma_N = -2.54$ $\sigma_M = 0.87$ $\tau = 74.10$ $\tau_{max} = 74.10$
 - Verifica $\sigma_{ID,max}$ - CC 1 Xl=0.00
Sollecitazioni: N=-17.80 Tz=-0.20 My=0.01 Ty=-100.27 Mz=69.22 Mx=1.13
Tensioni: $\sigma_N = -2.54$ $\sigma_M = -848.46$ $\tau = 46.33$ $\sigma_{ID,max} = 854.78$

Asta n. 1 (1301 1501) Piatto 70x10 mm Crit. 1

-
- Verifica σ_{max} - CC 1 Xl=0.00
Sollecitazioni: N=-16.95 Tz=-0.20 My=0.01 Ty=-99.61 Mz=59.31 Mx=0.95
Tensioni: $\sigma_N = -2.42$ $\sigma_M = -727.13$ $\tau = 38.99$ $\sigma_{max} = -729.55$
 - Verifica τ_{max} - CC 1 Xl=0.00
Sollecitazioni: N=-16.95 Tz=-0.20 My=0.01 Ty=-99.61 Mz=59.31 Mx=0.95
Tensioni: $\sigma_N = -2.42$ $\sigma_M = 0.89$ $\tau = 65.61$ $\tau_{max} = 65.61$
 - Verifica $\sigma_{ID,max}$ - CC 1 Xl=0.00
Sollecitazioni: N=-16.95 Tz=-0.20 My=0.01 Ty=-99.61 Mz=59.31 Mx=0.95

Tensioni: $\sigma_N = -2.42$ $\sigma_M = -727.13$ $\tau = 38.99$ $\sigma_{ID,max} = 732.67$

Asta n. 1 (1501 1601) Piatto 70x10 mm Crit. 1

- Verifica σ_{max} - CC 1 Xl=0.00
Sollecitazioni: N=-16.11 Tz=-0.19 My=0.01 Ty=-98.99 Mz=49.45 Mx=0.78
Tensioni: $\sigma_N = -2.30$ $\sigma_M = -606.44$ $\tau = 32.05$ $\sigma_{max} = -608.74$

- Verifica τ_{max} - CC 1 Xl=0.00
Sollecitazioni: N=-16.11 Tz=-0.19 My=0.01 Ty=-98.99 Mz=49.45 Mx=0.78
Tensioni: $\sigma_N = -2.30$ $\sigma_M = 0.93$ $\tau = 57.61$ $\tau_{max} = 57.61$

- Verifica $\sigma_{ID,max}$ - CC 1 Xl=0.00
Sollecitazioni: N=-16.11 Tz=-0.19 My=0.01 Ty=-98.99 Mz=49.45 Mx=0.78
Tensioni: $\sigma_N = -2.30$ $\sigma_M = -606.44$ $\tau = 32.05$ $\sigma_{ID,max} = 611.27$

Asta n. 1 (1601 1701) Piatto 70x10 mm Crit. 1

- Verifica σ_{max} - CC 1 Xl=0.00
Sollecitazioni: N=-15.24 Tz=-0.22 My=0.01 Ty=-98.47 Mz=39.66 Mx=0.63
Tensioni: $\sigma_N = -2.18$ $\sigma_M = -486.68$ $\tau = 25.94$ $\sigma_{max} = -488.86$

- Verifica τ_{max} - CC 1 Xl=0.00
Sollecitazioni: N=-15.24 Tz=-0.22 My=0.01 Ty=-98.47 Mz=39.66 Mx=0.63
Tensioni: $\sigma_N = -2.18$ $\sigma_M = 1.05$ $\tau = 50.55$ $\tau_{max} = 50.55$

- Verifica $\sigma_{ID,max}$ - CC 1 Xl=0.00
Sollecitazioni: N=-15.24 Tz=-0.22 My=0.01 Ty=-98.47 Mz=39.66 Mx=0.63
Tensioni: $\sigma_N = -2.18$ $\sigma_M = -486.68$ $\tau = 25.94$ $\sigma_{ID,max} = 490.92$

Asta n. 1 (1701 1) Piatto 70x10 mm Crit. 1

- Verifica σ_{max} - CC 1 Xl=0.00
Sollecitazioni: N=-14.32 Tz=-0.30 My=0.01 Ty=-98.13 Mz=29.90 Mx=0.52
Tensioni: $\sigma_N = -2.05$ $\sigma_M = -367.08$ $\tau = 21.45$ $\sigma_{max} = -369.13$

- Verifica τ_{max} - CC 1 Xl=0.00
Sollecitazioni: N=-14.32 Tz=-0.30 My=0.01 Ty=-98.13 Mz=29.90 Mx=0.52
Tensioni: $\sigma_N = -2.05$ $\sigma_M = 0.96$ $\tau = 45.38$ $\tau_{max} = 45.38$

- Verifica $\sigma_{ID,max}$ - CC 1 Xl=0.00
Sollecitazioni: N=-14.32 Tz=-0.30 My=0.01 Ty=-98.13 Mz=29.90 Mx=0.52
Tensioni: $\sigma_N = -2.05$ $\sigma_M = -367.08$ $\tau = 21.45$ $\sigma_{ID,max} = 371.00$

Asta n. 1 (1 1801) Piatto 70x10 mm Crit. 1

- Verifica σ_{max} - CC 1 Xl=0.00
Sollecitazioni: N=-14.43 Tz=1.06 My=0.00 Ty=-98.07 Mz=20.15 Mx=0.46
Tensioni: $\sigma_N = -2.06$ $\sigma_M = -246.90$ $\tau = 18.98$ $\sigma_{max} = -248.96$

- Verifica τ_{max} - CC 1 Xl=0.00
Sollecitazioni: N=-14.43 Tz=1.06 My=0.00 Ty=-98.07 Mz=20.15 Mx=0.46
Tensioni: $\sigma_N = -2.06$ $\sigma_M = 0.16$ $\tau = 42.57$ $\tau_{max} = 42.57$

- Verifica $\sigma_{ID,max}$ - CC 1 Xl=0.00
Sollecitazioni: N=-14.43 Tz=1.06 My=0.00 Ty=-98.07 Mz=20.15 Mx=0.46
Tensioni: $\sigma_N = -2.06$ $\sigma_M = -246.90$ $\tau = 18.98$ $\sigma_{ID,max} = 251.12$

Asta n. 2 (102 202) Piatto 70x10 mm Crit. 1

- Verifica σ_{max} - CC 1 Xl=0.00
Sollecitazioni: N=-13.61 Tz=0.01 My=-0.00 Ty=-108.17 Mz=108.67 Mx=1.86
Tensioni: $\sigma_N = -1.94$ $\sigma_M = -1330.73$ $\tau = 76.31$ $\sigma_{max} = -1332.67$

- Verifica τ_{\max} - CC 1 Xl=0.00
Sollecitazioni: N=-13.61 Tz=0.01 My=-0.00 Ty=-108.17 Mz=108.67 Mx=1.86
Tensioni: $\sigma_N = -1.94$ $\sigma_M = -0.08$ $\tau = 109.83$ $\tau_{\max} = 109.83$

- Verifica $\sigma_{ID,\max}$ - CC 1 Xl=0.00
Sollecitazioni: N=-13.61 Tz=0.01 My=-0.00 Ty=-108.17 Mz=108.67 Mx=1.86
Tensioni: $\sigma_N = -1.94$ $\sigma_M = -1330.73$ $\tau = 76.31$ $\sigma_{ID,\max} = 1339.21$

Asta n. 2 (202 302) Piatto 70x10 mm Crit. 1

- Verifica σ_{\max} - CC 1 Xl=0.00
Sollecitazioni: N=-12.44 Tz=-0.00 My=0.00 Ty=-108.25 Mz=97.93 Mx=1.76
Tensioni: $\sigma_N = -1.78$ $\sigma_M = -1199.16$ $\tau = 72.22$ $\sigma_{\max} = -1200.94$

- Verifica τ_{\max} - CC 1 Xl=0.00
Sollecitazioni: N=-12.44 Tz=-0.00 My=0.00 Ty=-108.25 Mz=97.93 Mx=1.76
Tensioni: $\sigma_N = -1.78$ $\sigma_M = 0.02$ $\tau = 105.20$ $\tau_{\max} = 105.20$

- Verifica $\sigma_{ID,\max}$ - CC 1 Xl=0.00
Sollecitazioni: N=-12.44 Tz=-0.00 My=0.00 Ty=-108.25 Mz=97.93 Mx=1.76
Tensioni: $\sigma_N = -1.78$ $\sigma_M = -1199.16$ $\tau = 72.22$ $\sigma_{ID,\max} = 1207.43$

Asta n. 2 (302 502) Piatto 70x10 mm Crit. 1

- Verifica σ_{\max} - CC 1 Xl=0.00
Sollecitazioni: N=-11.29 Tz=0.00 My=0.00 Ty=-108.39 Mz=87.23 Mx=1.61
Tensioni: $\sigma_N = -1.61$ $\sigma_M = -1068.12$ $\tau = 66.09$ $\sigma_{\max} = -1069.74$

- Verifica τ_{\max} - CC 1 Xl=0.00
Sollecitazioni: N=-11.29 Tz=0.00 My=0.00 Ty=-108.39 Mz=87.23 Mx=1.61
Tensioni: $\sigma_N = -1.61$ $\sigma_M = 0.00$ $\tau = 98.26$ $\tau_{\max} = 98.26$

- Verifica $\sigma_{ID,\max}$ - CC 1 Xl=0.00
Sollecitazioni: N=-11.29 Tz=0.00 My=0.00 Ty=-108.39 Mz=87.23 Mx=1.61
Tensioni: $\sigma_N = -1.61$ $\sigma_M = -1068.12$ $\tau = 66.09$ $\sigma_{ID,\max} = 1075.84$

Asta n. 2 (502 702) Piatto 70x10 mm Crit. 1

- Verifica σ_{\max} - CC 1 Xl=0.00
Sollecitazioni: N=-10.13 Tz=0.00 My=0.00 Ty=-108.58 Mz=76.53 Mx=1.43
Tensioni: $\sigma_N = -1.45$ $\sigma_M = -937.11$ $\tau = 58.73$ $\sigma_{\max} = -938.56$

- Verifica τ_{\max} - CC 1 Xl=0.00
Sollecitazioni: N=-10.13 Tz=0.00 My=0.00 Ty=-108.58 Mz=76.53 Mx=1.43
Tensioni: $\sigma_N = -1.45$ $\sigma_M = 0.01$ $\tau = 89.95$ $\tau_{\max} = 89.95$

- Verifica $\sigma_{ID,\max}$ - CC 1 Xl=0.00
Sollecitazioni: N=-10.13 Tz=0.00 My=0.00 Ty=-108.58 Mz=76.53 Mx=1.43
Tensioni: $\sigma_N = -1.45$ $\sigma_M = -937.11$ $\tau = 58.73$ $\sigma_{ID,\max} = 944.05$

Asta n. 2 (702 902) Piatto 70x10 mm Crit. 1

- Verifica σ_{\max} - CC 1 Xl=0.00
Sollecitazioni: N=-8.97 Tz=-0.00 My=0.00 Ty=-108.80 Mz=65.81 Mx=1.24
Tensioni: $\sigma_N = -1.28$ $\sigma_M = -805.86$ $\tau = 50.96$ $\sigma_{\max} = -807.14$

- Verifica τ_{\max} - CC 1 Xl=0.00
Sollecitazioni: N=-8.97 Tz=-0.00 My=0.00 Ty=-108.80 Mz=65.81 Mx=1.24
Tensioni: $\sigma_N = -1.28$ $\sigma_M = 0.02$ $\tau = 81.18$ $\tau_{\max} = 81.18$

- Verifica $\sigma_{ID,\max}$ - CC 1 Xl=0.00
Sollecitazioni: N=-8.97 Tz=-0.00 My=0.00 Ty=-108.80 Mz=65.81 Mx=1.24
Tensioni: $\sigma_N = -1.28$ $\sigma_M = -805.86$ $\tau = 50.96$ $\sigma_{ID,\max} = 811.95$

Asta n. 2 (902 2) Piatto 70x10 mm Crit. 1

- Verifica σ_{\max} - CC 1 Xl=0.00
Sollecitazioni: N=-7.80 Tz=-0.00 My=0.00 Ty=-109.00 Mz=55.06 Mx=1.04
Tensioni: $\sigma_N = -1.11$ $\sigma_M = -674.25$ $\tau = 42.78$ $\sigma_{\max} = -675.36$
- Verifica τ_{\max} - CC 1 Xl=0.00
Sollecitazioni: N=-7.80 Tz=-0.00 My=0.00 Ty=-109.00 Mz=55.06 Mx=1.04
Tensioni: $\sigma_N = -1.11$ $\sigma_M = 0.05$ $\tau = 71.94$ $\tau_{\max} = 71.94$
- Verifica $\sigma_{ID,\max}$ - CC 1 Xl=0.00
Sollecitazioni: N=-7.80 Tz=-0.00 My=0.00 Ty=-109.00 Mz=55.06 Mx=1.04
Tensioni: $\sigma_N = -1.11$ $\sigma_M = -674.25$ $\tau = 42.78$ $\sigma_{ID,\max} = 679.42$

Asta n. 2 (2 -10) Piatto 70x10 mm Crit. 1

- Verifica σ_{\max} - CC 1 Xl=0.00
Sollecitazioni: N=-6.64 Tz=-0.00 My=0.00 Ty=-109.16 Mz=44.27 Mx=0.84
Tensioni: $\sigma_N = -0.95$ $\sigma_M = -542.18$ $\tau = 34.61$ $\sigma_{\max} = -543.13$
- Verifica τ_{\max} - CC 1 Xl=0.00
Sollecitazioni: N=-6.64 Tz=-0.00 My=0.00 Ty=-109.16 Mz=44.27 Mx=0.84
Tensioni: $\sigma_N = -0.95$ $\sigma_M = 0.10$ $\tau = 62.69$ $\tau_{\max} = 62.69$
- Verifica $\sigma_{ID,\max}$ - CC 1 Xl=0.00
Sollecitazioni: N=-6.64 Tz=-0.00 My=0.00 Ty=-109.16 Mz=44.27 Mx=0.84
Tensioni: $\sigma_N = -0.95$ $\sigma_M = -542.18$ $\tau = 34.61$ $\sigma_{ID,\max} = 546.42$

Asta n. 2 (-10 -11) Piatto 70x10 mm Crit. 1

- Verifica σ_{\max} - CC 1 Xl=0.00
Sollecitazioni: N=-5.47 Tz=-0.01 My=0.00 Ty=-109.23 Mz=33.43 Mx=0.66
Tensioni: $\sigma_N = -0.78$ $\sigma_M = -409.55$ $\tau = 26.86$ $\sigma_{\max} = -410.33$
- Verifica τ_{\max} - CC 1 Xl=0.00
Sollecitazioni: N=-5.47 Tz=-0.01 My=0.00 Ty=-109.23 Mz=33.43 Mx=0.66
Tensioni: $\sigma_N = -0.78$ $\sigma_M = 0.20$ $\tau = 53.90$ $\tau_{\max} = 53.90$
- Verifica $\sigma_{ID,\max}$ - CC 1 Xl=0.00
Sollecitazioni: N=-5.47 Tz=-0.01 My=0.00 Ty=-109.23 Mz=33.43 Mx=0.66
Tensioni: $\sigma_N = -0.78$ $\sigma_M = -409.55$ $\tau = 26.86$ $\sigma_{ID,\max} = 412.95$

Asta n. 2 (-11 -12) Piatto 70x10 mm Crit. 1

- Verifica σ_{\max} - CC 1 Xl=0.00
Sollecitazioni: N=-4.36 Tz=0.06 My=0.00 Ty=-109.11 Mz=22.55 Mx=0.49
Tensioni: $\sigma_N = -0.62$ $\sigma_M = -276.46$ $\tau = 19.93$ $\sigma_{\max} = -277.08$
- Verifica τ_{\max} - CC 1 Xl=0.00
Sollecitazioni: N=-4.36 Tz=0.06 My=0.00 Ty=-109.11 Mz=22.55 Mx=0.49
Tensioni: $\sigma_N = -0.62$ $\sigma_M = 0.34$ $\tau = 46.01$ $\tau_{\max} = 46.01$
- Verifica $\sigma_{ID,\max}$ - CC 1 Xl=0.00
Sollecitazioni: N=-4.36 Tz=0.06 My=0.00 Ty=-109.11 Mz=22.55 Mx=0.49
Tensioni: $\sigma_N = -0.62$ $\sigma_M = -276.46$ $\tau = 19.93$ $\sigma_{ID,\max} = 279.23$

Asta n. 2 (-12 -13) Piatto 70x10 mm Crit. 1

- Verifica σ_{\max} - CC 1 Xl=0.00
Sollecitazioni: N=-2.83 Tz=-0.44 My=0.02 Ty=-108.74 Mz=11.60 Mx=0.35
Tensioni: $\sigma_N = -0.40$ $\sigma_M = -143.53$ $\tau = 14.25$ $\sigma_{\max} = -143.94$
- Verifica τ_{\max} - CC 1 Xl=0.00
Sollecitazioni: N=-2.83 Tz=-0.44 My=0.02 Ty=-108.74 Mz=11.60 Mx=0.35

Tensioni: $\sigma_N = -0.40$ $\sigma_M = 1.45$ $\tau = 39.48$ $\sigma_{max} = 39.48$

- Verifica $\sigma_{ID,max}$ - CC 1 Xl=0.00
Sollecitazioni: N=-2.83 Tz=-0.44 My=0.02 Ty=-108.74 Mz=11.60 Mx=0.35
Tensioni: $\sigma_N = -0.40$ $\sigma_M = -143.53$ $\tau = 14.25$ $\sigma_{ID,max} = 146.04$

Asta n. 3 (3 -1) Piatto 70x10 mm Crit. 1

- Verifica σ_{max} - CC 1 Xl=0.00
Sollecitazioni: N=-21.44 Tz=0.14 My=-0.00 Ty=-89.47 Mz=106.90 Mx=1.76
Tensioni: $\sigma_N = -3.06$ $\sigma_M = -1309.37$ $\tau = 72.29$ $\sigma_{max} = -1312.43$

- Verifica τ_{max} - CC 1 Xl=0.00
Sollecitazioni: N=-21.44 Tz=0.14 My=-0.00 Ty=-89.47 Mz=106.90 Mx=1.76
Tensioni: $\sigma_N = -3.06$ $\sigma_M = -0.39$ $\tau = 101.25$ $\tau_{max} = 101.25$

- Verifica $\sigma_{ID,max}$ - CC 1 Xl=0.00
Sollecitazioni: N=-21.44 Tz=0.14 My=-0.00 Ty=-89.47 Mz=106.90 Mx=1.76
Tensioni: $\sigma_N = -3.06$ $\sigma_M = -1309.37$ $\tau = 72.29$ $\sigma_{ID,max} = 1318.39$

Asta n. 3 (-1 -2) Piatto 70x10 mm Crit. 1

- Verifica σ_{max} - CC 1 Xl=0.00
Sollecitazioni: N=-20.64 Tz=0.21 My=-0.01 Ty=-89.71 Mz=97.98 Mx=1.71
Tensioni: $\sigma_N = -2.95$ $\sigma_M = -1200.67$ $\tau = 70.25$ $\sigma_{max} = -1203.62$

- Verifica τ_{max} - CC 1 Xl=0.00
Sollecitazioni: N=-20.64 Tz=0.21 My=-0.01 Ty=-89.71 Mz=97.98 Mx=1.71
Tensioni: $\sigma_N = -2.95$ $\sigma_M = -0.91$ $\tau = 98.98$ $\tau_{max} = 98.98$

- Verifica $\sigma_{ID,max}$ - CC 1 Xl=0.00
Sollecitazioni: N=-20.64 Tz=0.21 My=-0.01 Ty=-89.71 Mz=97.98 Mx=1.71
Tensioni: $\sigma_N = -2.95$ $\sigma_M = -1200.67$ $\tau = 70.25$ $\sigma_{ID,max} = 1209.75$

Asta n. 3 (-2 -3) Piatto 70x10 mm Crit. 1

- Verifica σ_{max} - CC 1 Xl=0.00
Sollecitazioni: N=-19.78 Tz=0.20 My=-0.01 Ty=-90.06 Mz=89.06 Mx=1.63
Tensioni: $\sigma_N = -2.83$ $\sigma_M = -1091.39$ $\tau = 66.97$ $\sigma_{max} = -1094.22$

- Verifica τ_{max} - CC 1 Xl=0.00
Sollecitazioni: N=-19.78 Tz=0.20 My=-0.01 Ty=-90.06 Mz=89.06 Mx=1.63
Tensioni: $\sigma_N = -2.83$ $\sigma_M = -0.86$ $\tau = 95.34$ $\tau_{max} = 95.34$

- Verifica $\sigma_{ID,max}$ - CC 1 Xl=0.00
Sollecitazioni: N=-19.78 Tz=0.20 My=-0.01 Ty=-90.06 Mz=89.06 Mx=1.63
Tensioni: $\sigma_N = -2.83$ $\sigma_M = -1091.39$ $\tau = 66.97$ $\sigma_{ID,max} = 1100.35$

Asta n. 3 (-3 -4) Piatto 70x10 mm Crit. 1

- Verifica σ_{max} - CC 1 Xl=0.00
Sollecitazioni: N=-18.93 Tz=0.20 My=-0.01 Ty=-90.49 Mz=80.12 Mx=1.53
Tensioni: $\sigma_N = -2.70$ $\sigma_M = -981.90$ $\tau = 62.86$ $\sigma_{max} = -984.61$

- Verifica τ_{max} - CC 1 Xl=0.00
Sollecitazioni: N=-18.93 Tz=0.20 My=-0.01 Ty=-90.49 Mz=80.12 Mx=1.53
Tensioni: $\sigma_N = -2.70$ $\sigma_M = -0.84$ $\tau = 90.77$ $\tau_{max} = 90.77$

- Verifica $\sigma_{ID,max}$ - CC 1 Xl=0.00
Sollecitazioni: N=-18.93 Tz=0.20 My=-0.01 Ty=-90.49 Mz=80.12 Mx=1.53
Tensioni: $\sigma_N = -2.70$ $\sigma_M = -981.90$ $\tau = 62.86$ $\sigma_{ID,max} = 990.61$

Asta n. 3 (-4 -5) Piatto 70x10 mm Crit. 1

- Verifica σ_{\max} - CC 1 Xl=0.00
Sollecitazioni: N=-18.08 Tz=0.20 My=-0.01 Ty=-90.94 Mz=71.14 Mx=1.44
Tensioni: $\sigma_N = -2.58$ $\sigma_M = -871.93$ $\tau = 59.15$ $\sigma_{\max} = -874.51$

- Verifica τ_{\max} - CC 1 Xl=0.00
Sollecitazioni: N=-18.08 Tz=0.20 My=-0.01 Ty=-90.94 Mz=71.14 Mx=1.44
Tensioni: $\sigma_N = -2.58$ $\sigma_M = -0.83$ $\tau = 86.65$ $\tau_{\max} = 86.65$

- Verifica $\sigma_{ID,\max}$ - CC 1 Xl=0.00
Sollecitazioni: N=-18.08 Tz=0.20 My=-0.01 Ty=-90.94 Mz=71.14 Mx=1.44
Tensioni: $\sigma_N = -2.58$ $\sigma_M = -871.93$ $\tau = 59.15$ $\sigma_{ID,\max} = 880.49$

Asta n. 3 (-5 -6) Piatto 70x10 mm Crit. 1

- Verifica σ_{\max} - CC 1 Xl=0.00
Sollecitazioni: N=-17.23 Tz=0.20 My=-0.01 Ty=-91.39 Mz=62.13 Mx=1.35
Tensioni: $\sigma_N = -2.46$ $\sigma_M = -761.58$ $\tau = 55.43$ $\sigma_{\max} = -764.04$

- Verifica τ_{\max} - CC 1 Xl=0.00
Sollecitazioni: N=-17.23 Tz=0.20 My=-0.01 Ty=-91.39 Mz=62.13 Mx=1.35
Tensioni: $\sigma_N = -2.46$ $\sigma_M = -0.80$ $\tau = 82.52$ $\tau_{\max} = 82.52$

- Verifica $\sigma_{ID,\max}$ - CC 1 Xl=0.00
Sollecitazioni: N=-17.23 Tz=0.20 My=-0.01 Ty=-91.39 Mz=62.13 Mx=1.35
Tensioni: $\sigma_N = -2.46$ $\sigma_M = -761.58$ $\tau = 55.43$ $\sigma_{ID,\max} = 770.05$

Asta n. 3 (-6 -7) Piatto 70x10 mm Crit. 1

- Verifica σ_{\max} - CC 1 Xl=0.00
Sollecitazioni: N=-16.39 Tz=0.20 My=-0.01 Ty=-91.85 Mz=53.07 Mx=1.28
Tensioni: $\sigma_N = -2.34$ $\sigma_M = -650.61$ $\tau = 52.51$ $\sigma_{\max} = -652.95$

- Verifica τ_{\max} - CC 1 Xl=0.00
Sollecitazioni: N=-16.39 Tz=0.20 My=-0.01 Ty=-91.85 Mz=53.07 Mx=1.28
Tensioni: $\sigma_N = -2.34$ $\sigma_M = -0.77$ $\tau = 79.30$ $\tau_{\max} = 79.30$

- Verifica $\sigma_{ID,\max}$ - CC 1 Xl=0.00
Sollecitazioni: N=-16.39 Tz=0.20 My=-0.01 Ty=-91.85 Mz=53.07 Mx=1.28
Tensioni: $\sigma_N = -2.34$ $\sigma_M = -650.61$ $\tau = 52.51$ $\sigma_{ID,\max} = 659.25$

Asta n. 3 (-7 -8) Piatto 70x10 mm Crit. 1

- Verifica σ_{\max} - CC 1 Xl=0.00
Sollecitazioni: N=-15.57 Tz=0.23 My=-0.01 Ty=-92.31 Mz=43.99 Mx=1.22
Tensioni: $\sigma_N = -2.22$ $\sigma_M = -539.38$ $\tau = 49.99$ $\sigma_{\max} = -541.60$

- Verifica τ_{\max} - CC 1 Xl=0.00
Sollecitazioni: N=-15.57 Tz=0.23 My=-0.01 Ty=-92.31 Mz=43.99 Mx=1.22
Tensioni: $\sigma_N = -2.22$ $\sigma_M = -0.72$ $\tau = 76.55$ $\tau_{\max} = 76.55$

- Verifica $\sigma_{ID,\max}$ - CC 1 Xl=0.00
Sollecitazioni: N=-15.57 Tz=0.23 My=-0.01 Ty=-92.31 Mz=43.99 Mx=1.22
Tensioni: $\sigma_N = -2.22$ $\sigma_M = -539.38$ $\tau = 49.99$ $\sigma_{ID,\max} = 548.48$

Asta n. 3 (-8 -9) Piatto 70x10 mm Crit. 1

- Verifica σ_{\max} - CC 1 Xl=0.00
Sollecitazioni: N=-14.74 Tz=0.25 My=-0.00 Ty=-92.75 Mz=34.87 Mx=1.19
Tensioni: $\sigma_N = -2.11$ $\sigma_M = -427.24$ $\tau = 48.71$ $\sigma_{\max} = -429.35$

- Verifica τ_{\max} - CC 1 Xl=0.00
Sollecitazioni: N=-14.74 Tz=0.25 My=-0.00 Ty=-92.75 Mz=34.87 Mx=1.19
Tensioni: $\sigma_N = -2.11$ $\sigma_M = -0.26$ $\tau = 75.18$ $\tau_{\max} = 75.18$

- Verifica $\sigma_{ID,max}$ - CC 1 Xl=0.00
 Sollecitazioni: N=-14.74 Tz=0.25 My=-0.00 Ty=-92.75 Mz=34.87 Mx=1.19
 Tensioni: $\sigma_N = -2.11$ $\sigma_M = -427.24$ $\tau = 48.71$ $\sigma_{ID,max} = 437.56$

Asta n. 3 (-9 1203) Piatto 70x10 mm Crit. 1

- Verifica σ_{max} - CC 1 Xl=0.00
 Sollecitazioni: N=-13.31 Tz=-0.63 My=0.01 Ty=-93.20 Mz=25.71 Mx=1.19
 Tensioni: $\sigma_N = -1.90$ $\sigma_M = -315.44$ $\tau = 48.66$ $\sigma_{max} = -317.34$

- Verifica τ_{max} - CC 1 Xl=0.00
 Sollecitazioni: N=-13.31 Tz=-0.63 My=0.01 Ty=-93.20 Mz=25.71 Mx=1.19
 Tensioni: $\sigma_N = -1.90$ $\sigma_M = 0.62$ $\tau = 75.23$ $\tau_{max} = 75.23$

- Verifica $\sigma_{ID,max}$ - CC 1 Xl=0.00
 Sollecitazioni: N=-13.31 Tz=-0.63 My=0.01 Ty=-93.20 Mz=25.71 Mx=1.19
 Tensioni: $\sigma_N = -1.90$ $\sigma_M = -315.44$ $\tau = 48.66$ $\sigma_{ID,max} = 328.34$

Asta n. 602 (601 202) Tubolare Ø14 mm Crit. 1

- Verifica σ_{max} - CC 1 Xl=0.00
 Sollecitazioni: N=0.24 Tz=0.24 My=-0.02 Ty=-0.31 Mz=0.09 Mx=-0.00
 Tensioni: $\sigma_N = 0.16$ $\sigma_M = 33.18$ $\tau = 0.85$ $\sigma_{max} = 33.33$

- Verifica τ_{max} - CC 1 Xl=0.00
 Sollecitazioni: N=0.24 Tz=0.24 My=-0.02 Ty=-0.31 Mz=0.09 Mx=-0.00
 Tensioni: $\sigma_N = 0.16$ $\sigma_M = -7.41$ $\tau = 0.93$ $\tau_{max} = 0.93$

- Verifica $\sigma_{ID,max}$ - CC 1 Xl=0.00
 Sollecitazioni: N=0.24 Tz=0.24 My=-0.02 Ty=-0.31 Mz=0.09 Mx=-0.00
 Tensioni: $\sigma_N = 0.16$ $\sigma_M = 33.18$ $\tau = 0.85$ $\sigma_{ID,max} = 33.37$

Asta n. 602 (202 -1) Tubolare Ø14 mm Crit. 1

- Verifica σ_{max} - CC 1 Xl=0.50
 Sollecitazioni: N=-0.09 Tz=-0.24 My=-0.02 Ty=-0.24 Mz=-0.06 Mx=0.00
 Tensioni: $\sigma_N = -0.06$ $\sigma_M = -24.81$ $\tau = 0.69$ $\sigma_{max} = -24.87$

- Verifica τ_{max} - CC 1 Xl=0.50
 Sollecitazioni: N=-0.09 Tz=-0.24 My=-0.02 Ty=-0.24 Mz=-0.06 Mx=0.00
 Tensioni: $\sigma_N = -0.06$ $\sigma_M = 23.78$ $\tau = 0.71$ $\tau_{max} = 0.71$

- Verifica $\sigma_{ID,max}$ - CC 1 Xl=0.50
 Sollecitazioni: N=-0.09 Tz=-0.24 My=-0.02 Ty=-0.24 Mz=-0.06 Mx=0.00
 Tensioni: $\sigma_N = -0.06$ $\sigma_M = -24.81$ $\tau = 0.69$ $\sigma_{ID,max} = 24.89$

Asta n. 802 (801 302) Tubolare Ø14 mm Crit. 1

- Verifica σ_{max} - CC 1 Xl=0.00
 Sollecitazioni: N=0.17 Tz=0.24 My=-0.02 Ty=-0.50 Mz=0.14 Mx=-0.01
 Tensioni: $\sigma_N = 0.11$ $\sigma_M = 52.16$ $\tau = 1.33$ $\sigma_{max} = 52.27$

- Verifica τ_{max} - CC 1 Xl=0.00
 Sollecitazioni: N=0.17 Tz=0.24 My=-0.02 Ty=-0.50 Mz=0.14 Mx=-0.01
 Tensioni: $\sigma_N = 0.11$ $\sigma_M = -7.43$ $\tau = 1.57$ $\tau_{max} = 1.57$

- Verifica $\sigma_{ID,max}$ - CC 1 Xl=0.00
 Sollecitazioni: N=0.17 Tz=0.24 My=-0.02 Ty=-0.50 Mz=0.14 Mx=-0.01
 Tensioni: $\sigma_N = 0.11$ $\sigma_M = 52.16$ $\tau = 1.33$ $\sigma_{ID,max} = 52.32$

Asta n. 802 (302 -2) Tubolare Ø14 mm Crit. 1

- Verifica σ_{max} - CC 1 Xl=0.50
 Sollecitazioni: N=-0.18 Tz=-0.24 My=-0.02 Ty=-0.36 Mz=-0.10 Mx=0.00

Tensioni: $\sigma_N = -0.12$ $\sigma_M = -36.31$ $\tau = 0.74$ $\sigma_{max} = -36.43$

- Verifica τ_{max} - CC 1 Xl=0.50
Sollecitazioni: N=-0.18 Tz=-0.24 My=-0.02 Ty=-0.36 Mz=-0.10 Mx=0.00
Tensioni: $\sigma_N = -0.12$ $\sigma_M = -35.69$ $\tau = 0.76$ $\tau_{max} = 0.76$
- Verifica $\sigma_{ID,max}$ - CC 1 Xl=0.50
Sollecitazioni: N=-0.18 Tz=-0.24 My=-0.02 Ty=-0.36 Mz=-0.10 Mx=0.00
Tensioni: $\sigma_N = -0.12$ $\sigma_M = -36.31$ $\tau = 0.74$ $\sigma_{ID,max} = 36.45$

Asta n. 902 (1001 502) Tubolare Ø14 mm Crit. 1

- Verifica σ_{max} - CC 1 Xl=0.00
Sollecitazioni: N=0.17 Tz=0.24 My=-0.02 Ty=-0.61 Mz=0.18 Mx=-0.01
Tensioni: $\sigma_N = 0.11$ $\sigma_M = 66.76$ $\tau = 1.61$ $\sigma_{max} = 66.87$
- Verifica τ_{max} - CC 1 Xl=0.00
Sollecitazioni: N=0.17 Tz=0.24 My=-0.02 Ty=-0.61 Mz=0.18 Mx=-0.01
Tensioni: $\sigma_N = 0.11$ $\sigma_M = -7.42$ $\tau = 1.93$ $\tau_{max} = 1.93$
- Verifica $\sigma_{ID,max}$ - CC 1 Xl=0.00
Sollecitazioni: N=0.17 Tz=0.24 My=-0.02 Ty=-0.61 Mz=0.18 Mx=-0.01
Tensioni: $\sigma_N = 0.11$ $\sigma_M = 66.76$ $\tau = 1.61$ $\sigma_{ID,max} = 66.93$

Asta n. 902 (502 -3) Tubolare Ø14 mm Crit. 1

- Verifica σ_{max} - CC 1 Xl=0.50
Sollecitazioni: N=-0.18 Tz=-0.24 My=-0.02 Ty=-0.42 Mz=-0.11 Mx=0.00
Tensioni: $\sigma_N = -0.12$ $\sigma_M = -42.38$ $\tau = 0.25$ $\sigma_{max} = -42.49$
- Verifica τ_{max} - CC 1 Xl=0.00
Sollecitazioni: N=0.17 Tz=0.25 My=-0.02 Ty=-0.42 Mz=0.10 Mx=0.00
Tensioni: $\sigma_N = 0.11$ $\sigma_M = 0.00$ $\tau = 0.42$ $\tau_{max} = 0.42$
- Verifica $\sigma_{ID,max}$ - CC 1 Xl=0.50
Sollecitazioni: N=-0.18 Tz=-0.24 My=-0.02 Ty=-0.42 Mz=-0.11 Mx=0.00
Tensioni: $\sigma_N = -0.12$ $\sigma_M = -42.38$ $\tau = 0.25$ $\sigma_{ID,max} = 42.50$

Asta n. 1002 (1101 702) Tubolare Ø14 mm Crit. 1

- Verifica σ_{max} - CC 1 Xl=0.00
Sollecitazioni: N=0.17 Tz=0.24 My=-0.02 Ty=-0.67 Mz=0.20 Mx=-0.01
Tensioni: $\sigma_N = 0.11$ $\sigma_M = 74.06$ $\tau = 1.67$ $\sigma_{max} = 74.17$
- Verifica τ_{max} - CC 1 Xl=0.00
Sollecitazioni: N=0.17 Tz=0.24 My=-0.02 Ty=-0.67 Mz=0.20 Mx=-0.01
Tensioni: $\sigma_N = 0.11$ $\sigma_M = -7.42$ $\tau = 2.03$ $\tau_{max} = 2.03$
- Verifica $\sigma_{ID,max}$ - CC 1 Xl=0.00
Sollecitazioni: N=0.17 Tz=0.24 My=-0.02 Ty=-0.67 Mz=0.20 Mx=-0.01
Tensioni: $\sigma_N = 0.11$ $\sigma_M = 74.06$ $\tau = 1.67$ $\sigma_{ID,max} = 74.23$

Asta n. 1002 (702 -4) Tubolare Ø14 mm Crit. 1

- Verifica σ_{max} - CC 1 Xl=0.50
Sollecitazioni: N=-0.17 Tz=-0.24 My=-0.02 Ty=-0.44 Mz=-0.12 Mx=-0.01
Tensioni: $\sigma_N = -0.11$ $\sigma_M = -45.23$ $\tau = 0.86$ $\sigma_{max} = -45.34$
- Verifica τ_{max} - CC 1 Xl=0.00
Sollecitazioni: N=0.18 Tz=0.25 My=-0.02 Ty=-0.44 Mz=0.10 Mx=-0.01
Tensioni: $\sigma_N = 0.12$ $\sigma_M = -7.83$ $\tau = 1.42$ $\tau_{max} = 1.42$
- Verifica $\sigma_{ID,max}$ - CC 1 Xl=0.50
Sollecitazioni: N=-0.17 Tz=-0.24 My=-0.02 Ty=-0.44 Mz=-0.12 Mx=-0.01

Tensioni: $\sigma_N = -0.11$ $\sigma_M = -45.23$ $\tau = 0.86$ $\sigma_{ID,max} = 45.37$

Asta n. 1202 (1301 902) Tubolare Ø14 mm Crit. 1

- Verifica σ_{max} - CC 1 Xl=0.00
Sollecitazioni: N=0.17 Tz=0.24 My=-0.02 Ty=-0.66 Mz=0.21 Mx=-0.01
Tensioni: $\sigma_N = 0.11$ $\sigma_M = 77.65$ $\tau = 1.51$ $\sigma_{max} = 77.76$

- Verifica τ_{max} - CC 1 Xl=0.00
Sollecitazioni: N=0.17 Tz=0.24 My=-0.02 Ty=-0.66 Mz=0.21 Mx=-0.01
Tensioni: $\sigma_N = 0.11$ $\sigma_M = -7.43$ $\tau = 1.87$ $\tau_{max} = 1.87$

- Verifica $\sigma_{ID,max}$ - CC 1 Xl=0.00
Sollecitazioni: N=0.17 Tz=0.24 My=-0.02 Ty=-0.66 Mz=0.21 Mx=-0.01
Tensioni: $\sigma_N = 0.11$ $\sigma_M = 77.65$ $\tau = 1.51$ $\sigma_{ID,max} = 77.80$

Asta n. 1202 (902 -5) Tubolare Ø14 mm Crit. 1

- Verifica σ_{max} - CC 1 Xl=0.50
Sollecitazioni: N=-0.17 Tz=-0.24 My=-0.02 Ty=-0.46 Mz=-0.12 Mx=-0.01
Tensioni: $\sigma_N = -0.11$ $\sigma_M = -43.56$ $\tau = 2.59$ $\sigma_{max} = -43.67$

- Verifica τ_{max} - CC 1 Xl=0.00
Sollecitazioni: N=0.18 Tz=0.25 My=-0.02 Ty=-0.46 Mz=0.11 Mx=-0.01
Tensioni: $\sigma_N = 0.12$ $\sigma_M = -7.89$ $\tau = 3.17$ $\tau_{max} = 3.17$

- Verifica $\sigma_{ID,max}$ - CC 1 Xl=0.50
Sollecitazioni: N=-0.17 Tz=-0.24 My=-0.02 Ty=-0.46 Mz=-0.12 Mx=-0.01
Tensioni: $\sigma_N = -0.11$ $\sigma_M = -43.56$ $\tau = 2.59$ $\sigma_{ID,max} = 43.90$

Asta n. 1304 (1203 1401) Piatto 70x10 mm Crit. 1

- Verifica σ_{max} - CC 1 Xl=0.00
Sollecitazioni: N=-77.17 Tz=-0.31 My=0.92 Ty=-128.39 Mz=19.72 Mx=-2.17
Tensioni: $\sigma_N = -11.02$ $\sigma_M = -320.36$ $\tau = 89.06$ $\sigma_{max} = -331.38$

- Verifica τ_{max} - CC 1 Xl=0.11
Sollecitazioni: N=-76.62 Tz=-0.31 My=0.89 Ty=-128.66 Mz=5.35 Mx=-2.17
Tensioni: $\sigma_N = -10.95$ $\sigma_M = -75.92$ $\tau = 128.70$ $\tau_{max} = 128.70$

- Verifica $\sigma_{ID,max}$ - CC 1 Xl=0.00
Sollecitazioni: N=-77.17 Tz=-0.31 My=0.92 Ty=-128.39 Mz=19.72 Mx=-2.17
Tensioni: $\sigma_N = -11.02$ $\sigma_M = -320.36$ $\tau = 89.06$ $\sigma_{ID,max} = 365.53$

Asta n. 1402 (1501 2) Tubolare Ø14 mm Crit. 1

- Verifica σ_{max} - CC 1 Xl=0.00
Sollecitazioni: N=0.16 Tz=0.24 My=-0.02 Ty=-0.62 Mz=0.20 Mx=-0.00
Tensioni: $\sigma_N = 0.11$ $\sigma_M = 73.83$ $\tau = 1.12$ $\sigma_{max} = 73.93$

- Verifica τ_{max} - CC 1 Xl=0.00
Sollecitazioni: N=0.16 Tz=0.24 My=-0.02 Ty=-0.62 Mz=0.20 Mx=-0.00
Tensioni: $\sigma_N = 0.11$ $\sigma_M = -7.48$ $\tau = 1.45$ $\tau_{max} = 1.45$

- Verifica $\sigma_{ID,max}$ - CC 1 Xl=0.00
Sollecitazioni: N=0.16 Tz=0.24 My=-0.02 Ty=-0.62 Mz=0.20 Mx=-0.00
Tensioni: $\sigma_N = 0.11$ $\sigma_M = 73.83$ $\tau = 1.12$ $\sigma_{ID,max} = 73.96$

Asta n. 1402 (2 -6) Tubolare Ø14 mm Crit. 1

- Verifica σ_{max} - CC 1 Xl=0.00
Sollecitazioni: N=0.18 Tz=0.25 My=-0.02 Ty=-0.46 Mz=0.12 Mx=-0.03
Tensioni: $\sigma_N = 0.12$ $\sigma_M = 45.71$ $\tau = 5.40$ $\sigma_{max} = 45.82$

- Verifica τ_{\max} - CC 1 Xl=0.00
Sollecitazioni: N=0.18 T_z=0.25 M_y=-0.02 T_y=-0.46 M_z=0.12 M_x=-0.03
Tensioni: σ_N=0.12 σ_M=-7.99 τ=5.59 τ_{max}=5.59

- Verifica $\sigma_{ID,\max}$ - CC 1 Xl=0.00
Sollecitazioni: N=0.18 T_z=0.25 M_y=-0.02 T_y=-0.46 M_z=0.12 M_x=-0.03
Tensioni: σ_N=0.12 σ_M=45.71 τ=5.40 σ_{ID,max}=46.77

Asta n. 1502 (1601 -10) Tubolare Ø14 mm Crit. 1

- Verifica σ_{\max} - CC 1 Xl=0.00
Sollecitazioni: N=0.21 T_z=0.24 M_y=-0.02 T_y=-0.51 M_z=0.18 M_x=-0.00
Tensioni: σ_N=0.14 σ_M=66.35 τ=0.47 σ_{max}=66.49

- Verifica τ_{\max} - CC 1 Xl=0.00
Sollecitazioni: N=0.21 T_z=0.24 M_y=-0.02 T_y=-0.51 M_z=0.18 M_x=-0.00
Tensioni: σ_N=0.14 σ_M=-7.62 τ=0.70 τ_{max}=0.70

- Verifica $\sigma_{ID,\max}$ - CC 1 Xl=0.00
Sollecitazioni: N=0.21 T_z=0.24 M_y=-0.02 T_y=-0.51 M_z=0.18 M_x=-0.00
Tensioni: σ_N=0.14 σ_M=66.35 τ=0.47 σ_{ID,max}=66.49

Asta n. 1502 (-10 -7) Tubolare Ø14 mm Crit. 1

- Verifica σ_{\max} - CC 1 Xl=0.00
Sollecitazioni: N=0.22 T_z=0.25 M_y=-0.02 T_y=-0.46 M_z=0.12 M_x=-0.04
Tensioni: σ_N=0.15 σ_M=45.81 τ=8.54 σ_{max}=45.96

- Verifica τ_{\max} - CC 1 Xl=0.00
Sollecitazioni: N=0.22 T_z=0.25 M_y=-0.02 T_y=-0.46 M_z=0.12 M_x=-0.04
Tensioni: σ_N=0.15 σ_M=-8.15 τ=8.73 τ_{max}=8.73

- Verifica $\sigma_{ID,\max}$ - CC 1 Xl=0.00
Sollecitazioni: N=0.22 T_z=0.25 M_y=-0.02 T_y=-0.46 M_z=0.12 M_x=-0.04
Tensioni: σ_N=0.15 σ_M=45.81 τ=8.54 σ_{ID,max}=48.28

Asta n. 1602 (1801 -13) Piatto 70x10 mm Crit. 1

- Verifica σ_{\max} - CC 1 Xl=0.50
Sollecitazioni: N=0.21 T_z=-0.99 M_y=-0.07 T_y=52.59 M_z=23.39 M_x=0.12
Tensioni: σ_N=0.03 σ_M=292.60 τ=4.95 σ_{max}=292.63

- Verifica τ_{\max} - CC 1 Xl=0.00
Sollecitazioni: N=1.80 T_z=1.25 M_y=-0.14 T_y=52.59 M_z=-2.90 M_x=0.12
Tensioni: σ_N=0.26 σ_M=11.64 τ=16.89 τ_{max}=16.89

- Verifica $\sigma_{ID,\max}$ - CC 1 Xl=0.50
Sollecitazioni: N=0.21 T_z=-0.99 M_y=-0.07 T_y=52.59 M_z=23.39 M_x=0.12
Tensioni: σ_N=0.03 σ_M=292.60 τ=4.95 σ_{ID,max}=292.75

Asta n. 1602 (-13 1203) Piatto 70x10 mm Crit. 1

- Verifica σ_{\max} - CC 1 Xl=0.00
Sollecitazioni: N=1.18 T_z=1.13 M_y=-0.10 T_y=-56.15 M_z=23.25 M_x=-0.68
Tensioni: σ_N=0.17 σ_M=293.03 τ=27.92 σ_{max}=293.20

- Verifica τ_{\max} - CC 1 Xl=0.00
Sollecitazioni: N=1.18 T_z=1.13 M_y=-0.10 T_y=-56.15 M_z=23.25 M_x=-0.68
Tensioni: σ_N=0.17 σ_M=8.30 τ=43.73 τ_{max}=43.73

- Verifica $\sigma_{ID,\max}$ - CC 1 Xl=0.00
Sollecitazioni: N=1.18 T_z=1.13 M_y=-0.10 T_y=-56.15 M_z=23.25 M_x=-0.68
Tensioni: σ_N=0.17 σ_M=293.03 τ=27.92 σ_{ID,max}=297.16

Asta n. 1701 (1901 1401) Corrimano Ø60 mm Crit. 1

- Verifica σ_{max} - CC 1 Xl=0.50
Sollecitazioni: N=0.32 Tz=-0.10 My=2.49 Ty=-0.66 Mz=-32.17 Mx=3.02
Tensioni: $\sigma_N=0.01$ $\sigma_M=151.70$ $\tau=7.12$ $\sigma_{max}=151.71$
- Verifica τ_{max} - CC 1 Xl=1.00
Sollecitazioni: N=-6.09 Tz=-9.16 My=0.17 Ty=149.35 Mz=5.00 Mx=3.02
Tensioni: $\sigma_N=-0.22$ $\sigma_M=0.81$ $\tau=14.16$ $\tau_{max}=14.16$
- Verifica $\sigma_{ID,max}$ - CC 1 Xl=0.50
Sollecitazioni: N=0.32 Tz=-0.10 My=2.49 Ty=-0.66 Mz=-32.17 Mx=3.02
Tensioni: $\sigma_N=0.01$ $\sigma_M=151.70$ $\tau=7.12$ $\sigma_{ID,max}=152.21$

Asta n. 1703 (1801 1901) Piatto 70x10 mm Crit. 1

- Verifica σ_{max} - CC 1 Xl=0.00
Sollecitazioni: N=-77.95 Tz=0.31 My=-1.08 Ty=-129.46 Mz=8.76 Mx=2.70
Tensioni: $\sigma_N=-11.14$ $\sigma_M=-199.54$ $\tau=110.72$ $\sigma_{max}=-210.67$
- Verifica τ_{max} - CC 1 Xl=0.11
Sollecitazioni: N=-77.40 Tz=0.31 My=-1.04 Ty=-129.74 Mz=-5.73 Mx=2.70
Tensioni: $\sigma_N=-11.06$ $\sigma_M=-89.30$ $\tau=153.51$ $\tau_{max}=153.51$
- Verifica $\sigma_{ID,max}$ - CC 1 Xl=0.00
Sollecitazioni: N=-77.95 Tz=0.31 My=-1.08 Ty=-129.46 Mz=8.76 Mx=2.70
Tensioni: $\sigma_N=-11.14$ $\sigma_M=-163.78$ $\tau=141.12$ $\sigma_{ID,max}=300.57$

Asta n. 1902 (1 -12) Tubolare Ø14 mm Crit. 1

- Verifica σ_{max} - CC 1 Xl=0.00
Sollecitazioni: N=-1.49 Tz=0.25 My=-0.02 Ty=-0.06 Mz=0.08 Mx=0.01
Tensioni: $\sigma_N=-0.97$ $\sigma_M=-30.98$ $\tau=1.85$ $\sigma_{max}=-31.95$
- Verifica τ_{max} - CC 1 Xl=0.50
Sollecitazioni: N=-1.84 Tz=-0.25 My=-0.02 Ty=-0.06 Mz=0.05 Mx=0.01
Tensioni: $\sigma_N=-1.19$ $\sigma_M=18.30$ $\tau=2.25$ $\tau_{max}=2.25$
- Verifica $\sigma_{ID,max}$ - CC 1 Xl=0.00
Sollecitazioni: N=-1.49 Tz=0.25 My=-0.02 Ty=-0.06 Mz=0.08 Mx=0.01
Tensioni: $\sigma_N=-0.97$ $\sigma_M=-30.98$ $\tau=1.85$ $\sigma_{ID,max}=32.11$

Asta n. 1902 (-12 -9) Tubolare Ø14 mm Crit. 1

- Verifica σ_{max} - CC 1 Xl=0.00
Sollecitazioni: N=-0.88 Tz=0.27 My=-0.03 Ty=-0.43 Mz=0.15 Mx=-0.09
Tensioni: $\sigma_N=-0.57$ $\sigma_M=-56.65$ $\tau=17.16$ $\sigma_{max}=-57.23$
- Verifica τ_{max} - CC 1 Xl=0.00
Sollecitazioni: N=-0.88 Tz=0.27 My=-0.03 Ty=-0.43 Mz=0.15 Mx=-0.09
Tensioni: $\sigma_N=-0.57$ $\sigma_M=-9.65$ $\tau=17.32$ $\tau_{max}=17.32$
- Verifica $\sigma_{ID,max}$ - CC 1 Xl=0.00
Sollecitazioni: N=-0.88 Tz=0.27 My=-0.03 Ty=-0.43 Mz=0.15 Mx=-0.09
Tensioni: $\sigma_N=-0.57$ $\sigma_M=-56.65$ $\tau=17.16$ $\sigma_{ID,max}=64.49$

Asta n. 1906 (1701 -11) Tubolare Ø14 mm Crit. 1

- Verifica σ_{max} - CC 1 Xl=0.00
Sollecitazioni: N=0.28 Tz=0.25 My=-0.02 Ty=-0.34 Mz=0.15 Mx=0.00
Tensioni: $\sigma_N=0.18$ $\sigma_M=55.39$ $\tau=0.50$ $\sigma_{max}=55.57$
- Verifica τ_{max} - CC 1 Xl=0.50
Sollecitazioni: N=-0.07 Tz=-0.25 My=-0.02 Ty=-0.34 Mz=-0.02 Mx=0.00

Tensioni: $\sigma_N = -0.04$ $\sigma_M = -8.52$ $\tau = 0.91$ $\tau_{max} = 0.91$

- Verifica $\sigma_{ID,max}$ - CC 1 $Xl=0.00$
Sollecitazioni: $N=0.28$ $T_z=0.25$ $M_y=-0.02$ $T_y=-0.34$ $M_z=0.15$ $M_x=0.00$
Tensioni: $\sigma_N = 0.18$ $\sigma_M = 55.39$ $\tau = 0.50$ $\sigma_{ID,max} = 55.58$

Asta n. 1906 (-11 -8) Tubolare Ø14 mm Crit. 1

- Verifica σ_{max} - CC 1 $Xl=0.00$
Sollecitazioni: $N=0.20$ $T_z=0.26$ $M_y=-0.02$ $T_y=-0.46$ $M_z=0.14$ $M_x=-0.07$
Tensioni: $\sigma_N = 0.13$ $\sigma_M = 53.01$ $\tau = 12.45$ $\sigma_{max} = 53.14$

- Verifica τ_{max} - CC 1 $Xl=0.00$
Sollecitazioni: $N=0.20$ $T_z=0.26$ $M_y=-0.02$ $T_y=-0.46$ $M_z=0.14$ $M_x=-0.07$
Tensioni: $\sigma_N = 0.13$ $\sigma_M = -8.49$ $\tau = 12.64$ $\tau_{max} = 12.64$

- Verifica $\sigma_{ID,max}$ - CC 1 $Xl=0.00$
Sollecitazioni: $N=0.20$ $T_z=0.26$ $M_y=-0.02$ $T_y=-0.46$ $M_z=0.14$ $M_x=-0.07$
Tensioni: $\sigma_N = 0.13$ $\sigma_M = 53.01$ $\tau = 12.45$ $\sigma_{ID,max} = 57.35$

COMPUTO ACCIAIO

Simbologia

Cod. = Codice
Lun. = Lunghezza
Peso = Peso
Sup. = Superficie

Cod.	Lun.	Peso	Sup.
	<mm>	<kg>	<mq>
<hr/>			
Piatto 70x10 mm	4224	23.21	0.676
Tubolare Ø14 mm	9000	10.88	0.396
Corrimano Ø60 mm	1000	22.20	0.189
Totali	14224	56.28	1.260

DISTINTA ACCIAIO

(Lunghezze arrotondate a multipli di 1 mm)

Simbologia

Cod. = Codice
Lun. = Lunghezza
Pez. = Numero pezzi

Cod.	Lun. Pez.	Cod.	Lun. Pez.	Cod.	Lun. Pez.
	<mm>		<mm>		<mm>
<hr/>					
Piatto 70x10 mm	500	2	Piatto 70x10 mm	112	2
Tubolare Ø14 mm	500	18	Corrimano Ø60 mm	1000	1